

UNIVERZITET U NOVOM SADU

TEHNOLOŠKI FAKULTET

*Mr Jelena V. Živković*

**Farmakološki aktivne supstance kestena  
(*Castanea sativa* Mill.)**

**DOKTORSKA DISERTACIJA**

**NOVI SAD, 2009.**

*Ova doktorska disertacija je urađena u laboratoriji za Hemiju i tehnologiju farmaceutskih proizvoda Katedre za biotehnologiju i farmaceutsko inženjerstvo Tehnološkog Fakulteta Univerziteta u Novom Sadu.*

*Najveću zahvalnost dugujem svom mentoru dr Zoranu Zekoviću, redovnom profesoru Tehnološkog Fakulteta u Novom Sadu. Zahvaljujem se dr Ibrahimu Mujiću, redovnom profesoru Biotehničkog fakulteta u Bihaću na pruženoj nesebičnoj pomoći u toku izrade disertacije, kao i dr Žiki Lepojeviću, redovnom profesoru Tehnološkog Fakulteta u Novom Sadu na korisnim sugestijama. Veliku zahvalnost dugujem dr Goranu Nikoliću, vanrednom profesoru i prodekanu za nastavu Medicinskog fakulteta u Nišu – Odsek za Farmaciju na podršci i razumevanju. Veliku zahvalnost dugujem i dr Ivanu Spasojeviću iz Centra za multidisciplinarna istraživanja iz Beograda na pomoći u izradi teze.*

*Najiskrenije se zahvaljujem osoblju laboratorije za Hemiju i tehnologiju farmaceutskih proizvoda Tehnološkog fakulteta u Novom Sadu dipl. ing. Senki Vidović i Slavici Ostojić, laboratorijskom tehničaru, na velikoj pomoći oko realizacije doktorske teze.*

*Svima onima koji su na bilo koji način doprineli izradi ove doktorske disertacije, najtoplje se zahvaljujem.*

*Autor*

**UNIVERZITET U NOVOM SADU  
TEHNOLOŠKI FAKULTET**

**KLJUČNA DOKUMENTACIJSKA INFORMACIJA**

**Redni broj**  
**RBR**

**Identifikacioni broj**  
**IBR**

**Tip dokumentacije**  
**TD** Monografska publikacija

**Tip zapisa**  
**TZ** Tekstualni štampani materijal

**Vrsta rada**  
**VR** Doktorska disertacija

**Autor**  
**AU** Jelena V. Živković

**Mentor**  
**MN** Prof. dr Zoran P. Zeković

**Naslov rada**  
**NR** FARMAKOLOŠKI AKTIVNE SUPSTANCE KESTENA  
(*Castanea sativa* Mill.)

**Jezik publikacije**  
**JP** Srpski (latinica)

**Jezik izvoda**  
**JI** Srpski/engleski

**Zemlja publikovanja**  
**ZP** Srbija

**Uže geografsko područje**  
**UGP** Vojvodina  
**Godina**  
**GO** 2009.

**Izdavač**  
**IZ** Autorski reprint

**Mesto i adresa:**

<b>MA</b>	Tehnološki fakultet, Bulevar Cara Lazara 1, 21000 Novi Sad
<b>Fizički opis rada</b>	
<b>FO</b>	8 poglavlja, 137 stranica, 247 lit. citata, 46 tabela, 42 slike, 3 šeme
<b>Naučna oblast:</b>	
<b>NO</b>	Tehničko-tehnološke nauke
<b>Naučna disciplina:</b>	
<b>ND</b>	Farmaceutsko inženjerstvo i tehnologija
<b>Predmetna odrednica/Ključne reči</b>	
<b>PO</b>	<i>Castanea sativa</i> Mill., ekstrakcija, ukupni fenoli, antioksidativna aktivnost, lipidna peroksidacija, <i>in vitro</i> antioksidativna aktivnost, antimikrobna aktivnost
<b>UDK</b>	
<b>Čuva se</b>	
<b>ČU</b>	Biblioteka Tehnološkog fakulteta u Novom Sadu, 21000 Novi Sad, Bulevar Cara Lazara 1, Srbija
<b>Važna napomena</b>	
<b>VN</b>	Nema
<b>Izvod/Abstrakt</b>	
<b>I/A</b>	<p>Upotreboom 50% etanola i 50% acetona kao ekstragensa izvršena je ekstrakcija delova ploda kestena: srž ploda, braon spoljna kora ploda, crvena unutrašnja kora ploda, ceo plod (bez ježevica), kao i drveta: lišće, resa, ježevice, stara i mlada kora stabla. Ispitivani su pitomi kesten, lovranski marun i kalemljeni italijanski marun. Nakon određivanja prinosa suvog ekstrakta, primenom standardnih spektrofotometrijskih metoda određen je sadržaj fenolnih jedinjenja, flavonoida i kondenzovanih tanina. Iako je primenom 50% acetona kao ekstragensa dobijen veći prinos fenolnih materija, flavonoida i kondenzovanih tanina, za proizvodnju ekstrakata se preporučuje 50% etanol kao ekstragens, jer obezbeđuje sasvim zadovoljavajuće rezultate, a prihvatljiviji je sa aspekta znatno niže toksičnosti.</p> <p>Ekstrakt lista lovanskog maruna i rese pitomog kestena roda 2007. godine štite eritrocite od hemolize izazvane <math>H_2O_2</math>.</p> <p>Glavne komponente hidrolizata nakon metanolizacije ekstrakata su dimetil estar dehidrodigalne kiseline i metil estar dilaktona elaginske i valoneinske kiseline. Kvantitativnom LC/MS i HPLC/DAD analizom najveći sadržaj elagitanina je utvrđen za ekstrakt ježevica (170,6 mg/g ekstrakta).</p> <p>Izvršeno je ispitivanje antioksidativne aktivnosti ekstrakata u</p>

odnosu na 1,1-difenil-2-pikrilhidrazil (DPPH), hidroksi ( $\cdot\text{OH}$ ) i superoksidni anjon ( $\cdot\text{O}_2^-$ ) radikale. Kapacitet ekstrakata za transformaciju organskih hidrofilnih radikalima, ispitana kao sposobnost redukcije spin probe Tempon je najveći za ekstrakt rese pitomog kestena ( $A = 18,1\%$ ), dok ekstrakti lista pitomog kestena i mlade kore drveta ispoljavaju slabu aktivnost. Ispitivanje protektivnog delovanja ekstrakata u odnosu na UV zračenje određeno je kao sposobnost uklanjanja  $\cdot\text{OH}$  i  $\cdot\text{O}_2^-$  radikalima nastalim nakon zračenja. Ekstrakti koji ispoljavaju pozitivne, ali relativno niske RI vrednosti za proizvodnju obe vrste radikalima  $\cdot\text{OH}$  i  $\cdot\text{O}_2^-$  su spoljna braon kora lovanskog maruna, resa sa kalemljenog italijanskog maruna i list lovanskog maruna. Negativne RI vrednosti dobijene za ostale ekstrakte ukazuju na prooksidativnu aktivnost u vodenom rastvoru izloženom UV zračenju. Ekstrakti rese, lista i ježevica ispoljavaju aktivnost u cilju preveniranja/otklanjanja lipidne peroksidacije membrane eritrocita.

Ispitivanjem *in vitro* antioksidativne aktivnosti primenom MTT testa je utvrđeno da ekstrakti rese i ježevica pitomog kestena i lista lovanskog maruna imaju izuzetno visoku antioksidativnu aktivnost u ćeliji. Naročito je povoljna činjenica da deluju u niskim koncentracijama (0,02 mg/ml). Antimikrobna aktivnost ekstrakata *C. sativa* određena je u odnosu na (G+) bakterije: *S. aureus*, *S. lutea*, *B. cereus*, *L. lactis* ssp. *lactis*, *M. pyrogenes* var. *albus*, kao i na (G-) bakterije: *P. mirabilis* i *S. typhimurium*. Značajnu antimikrobnu aktivnost daju ekstrakti kore drveta, ježevica i spoljne braon kore ploda. Ekstrakti srži ploda i celog ploda nisu ispoljili antimikrobnu aktivnost. Postoji značajna i jako značajna korelacija između antimikrobne aktivnosti ekstrakata, kao i antimikrobne i antioksidativne aktivnosti u odnosu na superoksid anjon radikale. Ekstrakti lista, ježevica, spoljne braon i unutrašnje crvene kore ploda, kao i kore drveta *C. sativa* Mill. dobijeni primenom 50% etanola kao ekstragensa predstavljaju značajan izvor komponenata sa farmakološkim delovanjem u cilju smanjenja nivoa oksidativnog stresa, poseduju visok kapacitet sprečavanja lipidne peroksidacije, deluju u pravcu preveniranja/otklanjanja lipidne peroksidacije i zaštite membrane eritrocita, imaju visoku *in vitro* antioksidativnu aktivnost, a ispoljavaju i značajnu antimikrobnu aktivnost.

**Datum prihvatanja teme od strane NN Veća**

**DP**

18.03.2008. godine

**Datum odbrane:**

**DO**

2009. godina

**Članovi komisije**

## **KO**

**Predsednik:** dr Žika Lepojević, red. prof. Tehnološkog fakulteta u Novom Sadu

**Član:** dr Zoran Zeković, red. prof. Tehnološkog fakulteta u Novom Sadu

**Član:** dr Ibrahim Mujić, red. prof. Biotehničkog fakulteta u Bihaću

**UNIVERSITY OF NOVI SAD  
FACULTY OF TECHNOLOGY**

**KEY WORD DOCUMENTATION**

**Accession number**  
**ANO**

**Identifiction number**  
**INO**

**Document type**  
**DT** Monographic publication

**Type of record**  
**TR** Textual material, printed

**Contents code**  
**CC** PhD thesis

**Author**  
**AU** Jelena V. Živković

**Menthor**  
**MN** Prof. dr Zoran P. Zeković

**Title**  
**TI** PHARMACOLOGICALY ACTIVE SUPSTANCES OF  
SWEET CHESTNUT (*Castanea sativa* Mill.)

**Language of text**  
**LT** Serbian (Roman alphabet)

**Language of abstract:**  
**LA** Serbian/English

**Country of publication**  
**CP** Serbia

**Locality of publication**  
**LP** Vojvodina

**Publication year**  
**PY** 2009.

**Publisher**  
**PU** Author's reprint

<b>Publishing place</b>	
<b>PP</b>	Faculty of Technology, Bulevar Cara Lazara 1 21000 Novi Sad
<b>Physical description</b>	
<b>PD</b>	8 chapters, 137 pages, 247 references, 46 tables, 42 figures, 3 shemes
<b>Scientific field</b>	
<b>SF</b>	Technical-technological sciences
<b>Scientific discipline</b>	
<b>SD</b>	Pharmaceutical technology and science
<b>Subject/Key words</b>	
<b>SX</b>	<i>Castanea sativa</i> Mill., extraction, total phenolics, antioxidant activity, lipid peroxidation, <i>in vitro</i> antioxidant activity, antimicrobial activity
<b>UC</b>	
<b>Holding data</b>	
<b>HD</b>	Library of Faculty of Technology, 21000 Novi Sad, Bulevar Cara Lazara 1, Serbia
<b>Note</b>	
<b>N</b>	None
<b>Abstrakt</b>	
<b>AB</b>	<p>Parts of chestnut such as: seeds (without spiny burs), peeled chestnut, red internal seed coat and brown seed coat, as well as parts of the trees: leaf, catkin, spiny burs, young and old chestnut bark have been extracted by 50% ethanol and 50% acetone as an extragent. Three cultivars of <i>Castanea sativa</i> Mill.: sweet chestnut, Lovran's marrone and grafted Italian marrone were examined. After determination of the yield of dry extract, the content of total phenolic compounds, flavonoids and condensed tannins are determined by application of standard spectrophotometrics methods. Although, the highest content of total phenolics, flavonoids and condensed tannins are obtained by 50% acetone as extragents, for production of extracts 50% ethanol is more suitable, regards much lower toxicity.</p> <p>Extracts of the leaf of Lovran's marrone and catkin of sweet chestnut native in 2007, protect erythrocytes from hemolysis provoked by H<sub>2</sub>O<sub>2</sub>.</p> <p>Dehydrodigallic acid dimethyl ester, ellagic acid and valoneic acid dilactone methyl ester are the main compounds in all hydrolysates after methanolisation. The highest content of ellagitannin was detected in extract of spiny burs (170.6 mg/g extract), by application of quantitative LC/MS and</p>

HPLC/DAD analysis.

The examination of antioxidant activity of 2,2-diphenyl-1-picrylhydrazyl (DPPH), hydroxyl ( $\cdot\text{OH}$ ) and superoxide ( $\cdot\text{O}_2^-$ ) radicals have been done. Capacity of extracts for removal of organic, hydrophilic radicals, exanimate as potential of reduction of spin probe Tempon is highest in extract of catkin of sweet chestnut ( $A = 18.1\%$ ), while extracts of catkin, leaf and spiny burs almost have no antioxidative activity. The evaluation of UV-protective activity of extracts is determinated as capacity for removal of  $\cdot\text{OH}$  and  $\cdot\text{O}_2^-$  radicals generated after irradiation. Extracts which showed positive, but relative low RI values for production of both radical species, OH and  $\cdot\text{O}_2^-$  radicals, are brown seed coat of Lovran's marrone, catkin of grafted Italian marrone and leaf of Lovran's marrone. Negative RI values obtained for other extracts show that these have prooxidative activity in aqueous solution exposed to UV radiation. Extracts of catkin, leaf and spiny burs expressed activity to prevent/remove lipid peroxidation in the membrane of erythrocytes.

Examination of antioxidant activity *in vitro* by application of MTT test have been detected especially high antioxidant activity of extracts of catkin, spiny bur of sweet chestnut and leaf of Lovran's marrone in the cell. Particularly is favorable that extracts acting in low concentration (0.02 mg/ml). Antimicrobial activity of extracts of *C. sativa* was determinated against Gram-positive bacteria: *S. aureus*, *S. lutea*, *B. cereus*, *L. lactis* ssp. *lactis*, *M. pyrogenes* var. *albus*, as well as Gram-negative bacteria: *P. mirabilis* and *S. typhimurium*. The significant antimicrobial activity shows extracts of bark, spiny burs and brown seed coat. Extracts of peeled chestnut and seeds didn't show any antimicrobial activity. The very significant and significant correlation existed between antimicrobial activity of extracts, as well as antimicrobial activity and scavenging of  $\cdot\text{O}_2^-$  radical. Extracts of leaf, spiny burs, brown seed coat and red internal seed coat, as well as bark of *C. sativa* Mill. produced by 50% ethanol as extragent represent important resource of components with pharmacological activity in reducing level of oxidative stress, possess high activity to prevent/remove lipid peroxidation and protection of the membrane of erythrocytes, have high *in vitro* antioxidant activity, and also express significant antimicrobial activity.

Accepted by the Scientific Board on  
ASB

18<sup>th</sup> March 2008

Defended on  
DE

2009

**Thesis defend board**  
**DB**

**Chairman:** Dr Žika Lepojević, Full Professor, Faculty of Technology, Novi Sad

**Member:** Dr Zoran Zeković, Full Professor, Faculty of Technology, Novi Sad

**Member:** Dr Ibrahim Mujić, Full Professor, Faculty of Biotechnology, Bihać

## SADRŽAJ

	Strana
<b>1. UVOD .....</b>	<b>1</b>
<b>2. OPŠTI DEO .....</b>	<b>2</b>
<b>2.1. POLIFENOLI.....</b>	<b>2</b>
<b>2.1.1. Tipovi polifenola.....</b>	<b>2</b>
<b>2.1.2. Polifenoli u hrani.....</b>	<b>9</b>
<b>2.1.3. Metabolizam flavonoida.....</b>	<b>9</b>
<b>2.2. SLOBODNI RADIKALI.....</b>	<b>9</b>
<b>2.2.1. Oksidacija .....</b>	<b>9</b>
<b>2.2.2. Reaktivne kiseonične vrste – ROS.....</b>	<b>10</b>
<b>2.2.3. Slobodni radikali nastali tokom lipidne peroksidacije.....</b>	<b>11</b>
<b>2.2.4. Oksidativni stres i starenje.....</b>	<b>13</b>
<b>2.3. ANTIOKSIDANSI I ANTIMIKROBNI AGENSI.....</b>	<b>13</b>
<b>2.3.1. Antioksidansi.....</b>	<b>13</b>
<b>2.3.2. Antioksidativna aktivnost fenolnih jedinjenja .....</b>	<b>14</b>
<b>2.3.3. EPR tehnika .....</b>	<b>16</b>
<b>2.3.4. Antimikrobna aktivnost fenolnih jedinjenja .....</b>	<b>18</b>
<b>2.4. BIOLOŠKA I FARMAKOLOŠKA AKTIVNOST FENOLNIH JEDINJENJA.....</b>	<b>19</b>
<b>2.5. METODE ZA ODREĐIVANJE FENOLNIH JEDINJENJA .....</b>	<b>21</b>
<b>2.5.1. Priprema uzorka .....</b>	<b>21</b>
<b>2.5.1.1. Ekstrakcija .....</b>	<b>21</b>
<b>2.5.1.2. Ultrazvučna ekstrakcija .....</b>	<b>21</b>
<b>2.5.1.3. Hidroliza .....</b>	<b>22</b>
<b>2.5.2. Kolorimetrijske metode za analizu fenolnih jedinjenja.....</b>	<b>22</b>
<b>2.5.3. HPLC analiza .....</b>	<b>25</b>
<b>2.6. METODE ODREĐIVANJA EPR TEHNIKOM.....</b>	<b>26</b>
<b>2.6.1. DPPH radikali .....</b>	<b>26</b>
<b>2.6.2. Hidroksi radikali .....</b>	<b>27</b>
<b>2.6.3. Superoksidni anjon radikali .....</b>	<b>28</b>
<b>2.6.4. Kapacitet uklanjanja lipidne peroksidacije .....</b>	<b>28</b>
<b>2.6.5. Organski hidrofilni radikali .....</b>	<b>28</b>
<b>2.6.6. Protektivni efekat u odnosu na UV zračenje .....</b>	<b>29</b>
<b>2.7. ERITROCITI KAO MODELI ZA ISPITIVANJE STEPENA OKSIDATIVNOG OŠTEĆENJA .....</b>	<b>29</b>

<b>2.8.</b>	<b>TEST VIJABILNOSTI (MTT) .....</b>	30
<b>2.9.</b>	<b>METODA ZA ODREĐIVANJE ANTIMIKROBNE AKTIVNOSTI.....</b>	31
<b>2.10.</b>	<b><i>Castanea sativa</i> Mill. ....</b>	31
<b>2.10.1.</b>	<b>Botanički opis.....</b>	31
<b>2.10.2.</b>	<b>Najvažnije sorte.....</b>	33
<b>2.10.3.</b>	<b>Hemijski sastav.....</b>	35
<b>2.10.4.</b>	<b>Kesten kao lekovita biljka.....</b>	38
<b>3.</b>	<b>REZULTATI I DISKUSIJA .....</b>	39
<b>3.1.</b>	<b>DOBIJANJE I ISPITIVANJE HEMIJSKOG SASTAVA EKSTRAKATA KESTENA.....</b>	39
<b>3.1.1.</b>	<b>Srednji prečnik čestica i prinos suvog ekstrakta kestena.....</b>	39
<b>3.1.2.</b>	<b>Određivanje fenolnih jedinjenja, flavonoida i kondenzovanih tanina.....</b>	42
<b>3.1.2.1.</b>	<b>Standardni dijagram za određivanje ukupnih fenola.....</b>	42
<b>3.1.2.2.</b>	<b>Standardni dijagram za određivanje ukupnih flavonoida .....</b>	43
<b>3.1.2.3.</b>	<b>Standardni dijagram za određivanje kondenzovanih tanina vanilin testom.....</b>	44
<b>3.1.2.4.</b>	<b>Standardni dijagram za određivanje kondenzovanih tanina kiselim butanolnim testom.....</b>	44
<b>3.1.3.</b>	<b>Sadržaj ukupnih fenola i flavonoida.....</b>	45
<b>3.1.4.</b>	<b>Sadržaj ukupnih kondenzovanih tanina.....</b>	48
<b>3.1.5.</b>	<b>Korelaciona analiza .....</b>	51
<b>3.2.</b>	<b>ODREĐIVANJE KAPACITETA EKSTRAKATA U ZAŠТИ ERITROCITA OD HEMOLIZE.....</b>	52
<b>3.3.</b>	<b>ODREĐIVANJE FENOLNIH JEDINJENJA HPLC ANALIZOM.....</b>	52
<b>3.3.1.</b>	<b>HPLC/DAD analiza sadržaja ukupnih fenolnih jedinjenja.....</b>	52
<b>3.3.2.</b>	<b>HPLC/ DAD i LC/MS analiza.....</b>	53
<b>3.4.</b>	<b>ANTIOKSIDATIVNA AKTIVNOST EKSTRAKATA.....</b>	61
<b>3.4.1.</b>	<b>Transformacija DPPH radikala.....</b>	62
<b>3.4.2.</b>	<b>Transformacija hidroksi radikala.....</b>	63
<b>3.4.3.</b>	<b>Korelaciona analiza .....</b>	66
<b>3.4.4.</b>	<b>Transformacija superoksidnog anjon radikala .....</b>	66
<b>3.4.5.</b>	<b>Kapacitet ekstrakata za uklanjanje lipidne peroksidacije.....</b>	68
<b>3.4.6.</b>	<b>Kapacitet ekstrakata za transformaciju organskih hidrofilnih radikala .....</b>	71
<b>3.4.7.</b>	<b>Transformacija hidroksi radikala i superoksid anjon radikala generisanih UV zračenjem.....</b>	72
<b>3.5.</b>	<b>UTICAJ EKSTRAKATA NA PREVENIRANJE/UKLANJANJE LIPIDNE PEROKSIDACIJE MEMBRANE ERITROCITA .....</b>	74
<b>3.6.</b>	<b>UTICAJ EKSTRAKATA NA ZAŠITU MEMBRANSKOG INTEGRITETA ERITROCITA MERENJEM SADRŽAJA KALIJUMA .....</b>	75

<b>3.7.</b>	<b>IN VITRO ANTOXIDATIVNA SVOJSTVA EKSTRAKATA KESTENA . . . . .</b>	76
<b>3.7.1.</b>	<b>STZ/ALX/SNP izazvan dijabetes tip I (<i>Diabetes mellitus</i>-tip I) . . . . .</b>	77
<b>3.8.</b>	<b>ISPITIVANJE ANTIMIKROBNE AKTIVNOSTI EKSTRAKATA . . . . .</b>	78
<b>3.8.1.</b>	<b>Korelaciona analiza . . . . .</b>	81
<b>4.0.</b>	<b>EKSPERIMENTALNI DEO . . . . .</b>	83
<b>4.1.</b>	<b>DOBIJANJE EKSTRAKATA KESTENA . . . . .</b>	83
<b>4.1.1.</b>	<b>Priprema biljnog materijal . . . . .</b>	84
<b>4.1.2.</b>	<b>Ekstrakcija . . . . .</b>	84
<b>4.2.</b>	<b>SPEKTROFOTOMETRIJSKE METODE . . . . .</b>	85
<b>4.2.1.</b>	<b>Određivanje ukupnih fenola . . . . .</b>	85
<b>4.2.2.</b>	<b>Određivanje ukupnih flavonoida . . . . .</b>	85
<b>4.2.3</b>	<b>Odredivanje kondenzovanih tanina vanilin testom . . . . .</b>	86
<b>4.2.4.</b>	<b>Određivanje kondenzovanih tanina kiselim butanolnim testom . . . . .</b>	86
<b>4.2.4.1.</b>	<b>Prečišćavanje ekstrakta kestena na Sephadex-u LH 20 i dobijanje kondenzovanih tanina . . . . .</b>	86
<b>4.2.5.</b>	<b>Spektrofotometrijsko određivanje kapaciteta ekstrakata u zaštiti eritrocita od hemolize izazvane vodonik peroksidom . . . . .</b>	87
<b>4.3.</b>	<b>HPLC ANALIZA . . . . .</b>	88
<b>4.3.1.</b>	<b>HPLC/DAD analiza za kvantitativno određivanje ukupnih fenolnih materija . . . . .</b>	88
<b>4.3.2.</b>	<b>HPLC/ DAD i LC/MS analiza . . . . .</b>	88
<b>4.4.</b>	<b>ISPITIVANJE EKSTRAKATA KESTENA EPR SPEKTRALNOM ANALIZOM . . . . .</b>	89
<b>4.4.1.</b>	<b>Transformacija DPPH radikala . . . . .</b>	89
<b>4.4.2.</b>	<b>Transformacija hidroksi radikala . . . . .</b>	90
<b>4.4.3.</b>	<b>Transformacija superoksidnog anjon radikala . . . . .</b>	91
<b>4.4.4.</b>	<b>Kapacitet ekstrakata za uklanjanje lipidne peroksidacije . . . . .</b>	91
<b>4.4.5.</b>	<b>Kapacitet ekstrakata na transformaciju organskih hidrofilnih radikala . . . . .</b>	92
<b>4.4.6.</b>	<b>Transformacija hidroksi radikala i superoksid anjon radikala generisanih UV zračenjem . . . . .</b>	92
<b>4.5.</b>	<b>PREVENIRANJE/UKLANJANJE LIPIDNE PEROXIDACIJE MEMBRANE ERITROCITA . . . . .</b>	93
<b>4.6.</b>	<b>ISPITIVANJE ZAŠTITE MEMBRANSKOG INTEGRITETA ERITROCITA MERENJEM SADRŽAJA KALIJUMA . . . . .</b>	93
<b>4.7.</b>	<b>ODREĐIVANJE VIJABILNOSTI RIN-5F ĆELIJA POMOĆU MTT TESTA . . . . .</b>	94

	Strana
<b>4.8. MIKROBIOLOŠKA METODA .....</b>	<b>94</b>
<b>4.8.1. Disk-difuziona metoda – metoda za skrining.....</b>	<b>94</b>
<b>4.9. STATISTIČKA OBRADA PODATAKA.....</b>	<b>95</b>
<b>5.0. ZAKLJUČCI.....</b>	<b>96</b>
<b>6.0. PRILOG.....</b>	<b>100</b>
<b>6.1. HPLC/DAD HROMATOGRAMI EKSTRAKATA KESTENA.....</b>	<b>100</b>
<b>6.2. HPLC/MS HROMATOGRAMI EKSTRAKATA KESTENA.....</b>	<b>103</b>
<b>6.3. EPR SPEKTRI TRANSFORMACIJE DPPH RADIKALA.....</b>	<b>114</b>
<b>6.4. EPR SPEKTRI TRANSFORMACIJE HIDROOKSI RADIKALA.....</b>	<b>116</b>
<b>6.5. EPR SPEKTRI TRANSFORMACIJE SUPEROKSIDNOG ANJON RADIKALA .....</b>	<b>119</b>
<b>6.6. EPR SPEKTRI TRANSFORMACIJE HIDROOKSI RADIKALA I SUPEROKSID ANJON RADIKALA GENERISANIH UV ZRAČENJEM....</b>	<b>121</b>
<b>6.7. IN VITRO PROVERA ANTIOKSIDATIVNOG KAPACITETA.....</b>	<b>122</b>
<b>7. LITERATURA.....</b>	<b>123</b>
<b>8. BIOGRAFIJA .....</b>	<b>137</b>



## 1. UVOD

Od oko 250 officinalnih lekovitih supstanci, 11% su biljnog porekla, a veliki broj lekova se dobija iz prirodnih sirovina. Utvrđeno je da su 60% antineoplastičnih i antiinfektivnih agenasa koje su na tržištu, supstance prirodnog porekla<sup>1</sup>. Prirodni proizvodi postaju vodeće komponente koje omogućuju dizajn i racionalno planiranje novih lekova biomimetičkom razvojnom sintezom, kao i razvojem i otkrićem novih terapeutskih mogućnosti poznatih komponenti.

Pitomi kesten *Castanea Sativa* Mill., odnosno seme kestena se u terapiji primenjuje za tretman srčanih smetnji, a lišće se koristi za lečenje suvog kašlja i dijareje<sup>2</sup>. Infuz suvog lista kestena (*Extractum Castanea fluidum*) se od davnina koristi kao efikasno sredstvo protiv paroksizmalnog i konvulzivnog kašlja, kao što je veliki kašalj, kao i kod drugih iritabilnih i ekcitabilnih stanja respiratornih organa<sup>3</sup>. Utvrđeno je da poseduje izraženu *in vitro* antibakterijsku aktivnost<sup>4</sup>.

U okviru ove doktorske disertacije postavljen je zadatak da se ispita ekstrakcija i sastav farmakološki aktivnih supstanci pitomog kestena, kao i mogućnost primene kestena i ekstrakata kestena u terapiji i dijetetskim proizvodima prehrambene industrije. Planirana istraživanja imaju za cilj da ova biljna vrsta, do sada korišćena prevashodno za ishranu, kao gorivo i za dobijanje taninskog ekstrakta, dobije jednu sasvim novu, farmakoterapijsku primenu. Detaljno su prikazane osobine i delovanje fenolnih komponenti kestena, kao moguće ciljne grupe jedinjenja sa antioksidativnim i antimikrobnim svojstvima, koja učestvuju i u inhibiciji lipidne peroksidacije.

Istraživanja obuhvaćena ovom doktorskom disertacijom su podeljena u više delova:

1. Izbor ekstragenasa i odgovarajućeg tehnološkog postupka za dobijanje ekstrakata različitih delova ispitivanih kultivara kestena;
2. Kvantitativno i kvalitativno određivanje fenola i drugih komponenata sadržanih u ekstraktima spektrofometrijskim, HPLC/UV i LC/MS analizama;
3. Antioksidativna aktivnost dobijenih ekstrakata u odnosu na stabilne 2,2-difenil-1-pikrilhidrazil radikale (DPPH), reaktivne hidroksi i peroksi radikale;
4. Kapacitet ekstrakta kestena za uklanjanje organskih, hidrofilnih radikala, sprečavanje lipidne peroksidacije i zaštite od UV zračenja;
5. Delovanje ekstrakata u zaštiti membranskog integriteta eritrocita izloženih  $H_2O_2$ , prevenciji/sprečavanju lipidne peroksidacije membrana izloženih  $H_2O_2$  i zaštite eritrocita pod uticajem  $H_2O_2$ ;
6. *In vitro* antioksidativna aktivnost odabranih ekstrakata primenom MTT testa;
7. Antimikrobna aktivnost ekstrakata u odnosu na odabrane sojeve bakterija i kvasaca primenom disk-difuzione metode;
8. Na osnovu dobijenih rezultata izvršen je izbor ekstrakata sa najboljim farmakološkim delovanjem, odnosno dela *C. sativa* Mill. sa najviše farmakoterapijskih komponenti, a to su ekstrakti rese, lista, ježevica, spoljne braon i unutrašnje crvene kore ploda, kao i kore drveta.

## 2. OPŠTI DEO

Fenolna jedinjenja sa antioksidativnim osobinama predstavljaju značajnu komponentu koja doprinosi blagotvornom delovanju voća i povrća na ljudsko zdravlje. Njihova sposobnost da utiču na bolesti koje su povezane sa oksidativnim stresom do danas još uvek nije dovoljno razjašnjena.

Flavonoidi obuhvataju veliki broj jedinjenja sadržanih u biljkama, koje se u tradicionalnoj i istočnjačkoj medicini koriste već više od hiljadu godina<sup>5</sup>. Sa farmakološkog stanovišta, ova jedinjenja poseduju zavidan spektar biohemiske i farmakološke aktivnosti. Različiti flavonoidi ispoljavaju antioksidativne, antibakterijske, antiinflamatorne, antialergijske, antimutagene, antivirusne, antineoplastične, anti-trombotične i vazodilatorne osobine<sup>6</sup>. Najizrazitiji je antioksidativni i antiinflamatori efekat ovih jedinjenja. Aktivni su kod hroničnih inflamatornih i alergijskih bolesti, raka dojke i kardiovaskularnih bolesti<sup>7</sup>. Posebna pažnja se posvećuje njihovom potencijalu u zaštiti i prevenciji od kardiovaskularnih bolesti, s obzirom da epidemiološke studije ukazuju da flavonoidi poseduju protektivni efekat u odnosu na razvoj ovih bolesti<sup>8</sup>.

Deo pozitivnog efekta upotrebe voća i povrća u ishrani se može pripisati flavonoidima<sup>9</sup>. Tokom "Zutphen Elderly Study", u okviru "Seven Countries Study", ispitivanju koje je izvršeno u Finskoj, utvrđeno je da je unos flavonoida obrnuto srazmeran mortalitetu od koronarnih bolesti. U drugom istraživanju je zaključeno da veći unos kvercetina utiče na niži mortalitet od koronarnih bolesti. Učestalost cerebrovaskularnih bolesti je manja kada se u ishrani poveća sadržaj kemferola, naringenina i hisperidina.

Katehin i derivati katehina, oligomerni proantocijanidini, kvercetin, flavonoglikozidi izolovani iz ginka, kao i drugi, koriste se u prevenciji i tremanu kardiovaskularnih bolesti, kancera, astme, bolesti jetre i katarakte<sup>10</sup>. Zabeležen je trend smanjenja pojave dijabetesa tipa 2 ukoliko se unose veći sadržaji kvercetina i miricetina<sup>11</sup>.

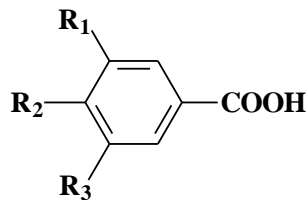
### 2.1. POLIFENOLI

U višim biljkama je identifikovano nekoliko hiljada molekula sa polifenolnom strukturom (više hidroksilnih grupa vezanih za aromatične prstenove), dok ih jestive biljke sadrže nekoliko stotina. Ovi molekuli su sekundarni metaboliti biljaka, a učestvuju u zaštiti od UV zračenja i napada patogenih mikroorganizama.

#### 2.1.1. Tipovi polifenola

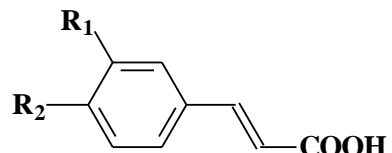
U zavisnosti od broja fenolnih prstenova u svojoj strukturi, kao i od strukturnih elemenata koji međusobno povezuju prstenove polifenoli se dele na fenolne kiseline, flavonoide, stilbene i lignane<sup>12</sup> (slika 1).

### Derivati hidroksibenzoeve kiseline



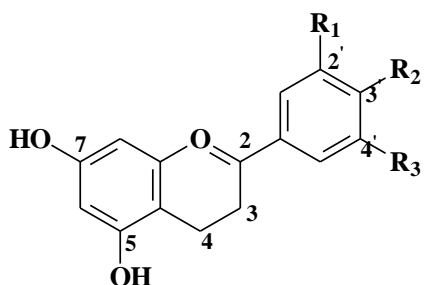
$R_1=R_2=OH$ ;  $R_3=H$  : Protokatehinska kiselina  
 $R_1=R_2=R_3=OH$  : Galna kiselina

### Derivati cimetne kiseline

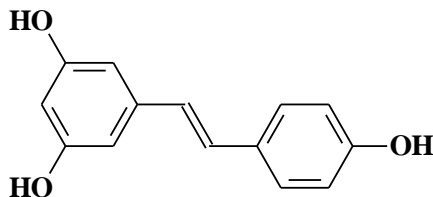


$R_1=OH$ ,  $R_2=H$  : Kumarna kiselina  
 $R_1=R_2=OH$  : Kafena kiselina  
 $R_1=OCH_3$ ,  $R_2=OH$  : Ferulna kiselina

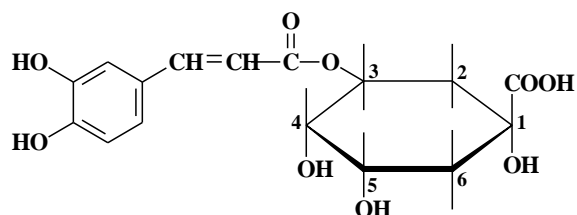
### Flavonoidi



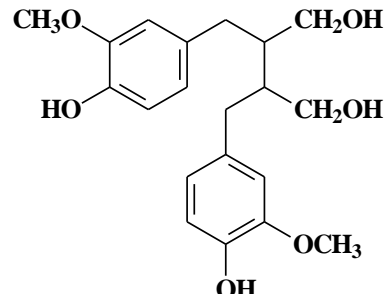
### Stilbeni (rezveratrol)



### Hlorogenska kiselina



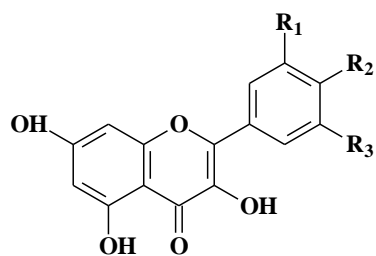
### Lignani (sekoizolaricirezinol)



Slika 1. Hemijske strukture polifenola

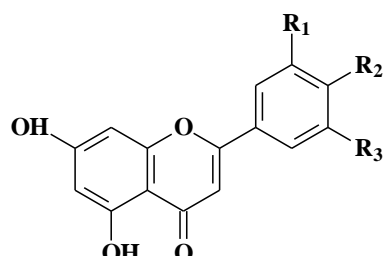
Flavonoidi uobičajene strukture se sastoje od dva aromatična prstena A i B (slika 3), međusobno povezana sa 3 ugljenikovih atoma koji formiraju prsten C. U zavisnosti od tipa strukture, dele se u 6 podklasa: flavonoli, flavoni, izoflavoni, flavanoni, antocijanidini i flavanoli (catehini i proantocijanidini)<sup>7</sup> (slika 2).

### Flavonoli



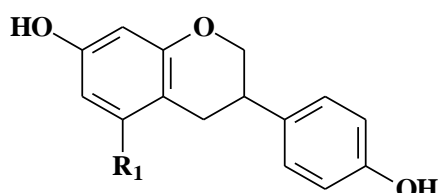
R<sub>1</sub>=OH; R<sub>2</sub>=R<sub>3</sub>=OH : Kemferol  
R<sub>1</sub>=R<sub>2</sub>=OH; R<sub>3</sub>=H : Kvercetin  
R<sub>1</sub>=R<sub>2</sub>=R<sub>3</sub>=OH : Miricetin

### Flavoni



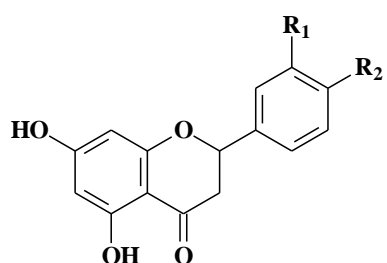
R<sub>1</sub>=H; R<sub>2</sub>=OH, R<sub>3</sub>=H : Apigenin  
R<sub>1</sub>=R<sub>2</sub>=OH, R<sub>3</sub>=H : Luteolin

### Izoflavoni



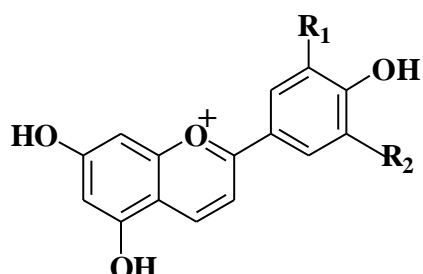
R<sub>1</sub>=H : Daidženin  
R<sub>1</sub>=OH : Genistein

### Flavanoni



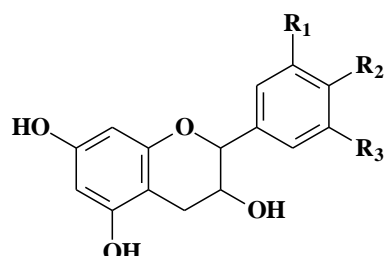
R<sub>1</sub>=H; R<sub>2</sub>=OH : Naringenin  
R<sub>1</sub>=R<sub>2</sub>=OH: Eriodiktiol  
R<sub>1</sub>=OH; R<sub>2</sub>=OCH<sub>3</sub>: Hisperidin

### Antocijanidini



R<sub>1</sub>=R<sub>2</sub>=H : Pelargonidin  
R<sub>1</sub>=H; R<sub>2</sub>=H : Cijanidin  
R<sub>1</sub>=R<sub>2</sub>=OH : Delfnidin  
R<sub>1</sub>=OCH<sub>3</sub>; R<sub>2</sub>=OH : Petunidin  
R<sub>1</sub>=R<sub>2</sub>=OCH<sub>3</sub>: Malvidin

### Flavanoli

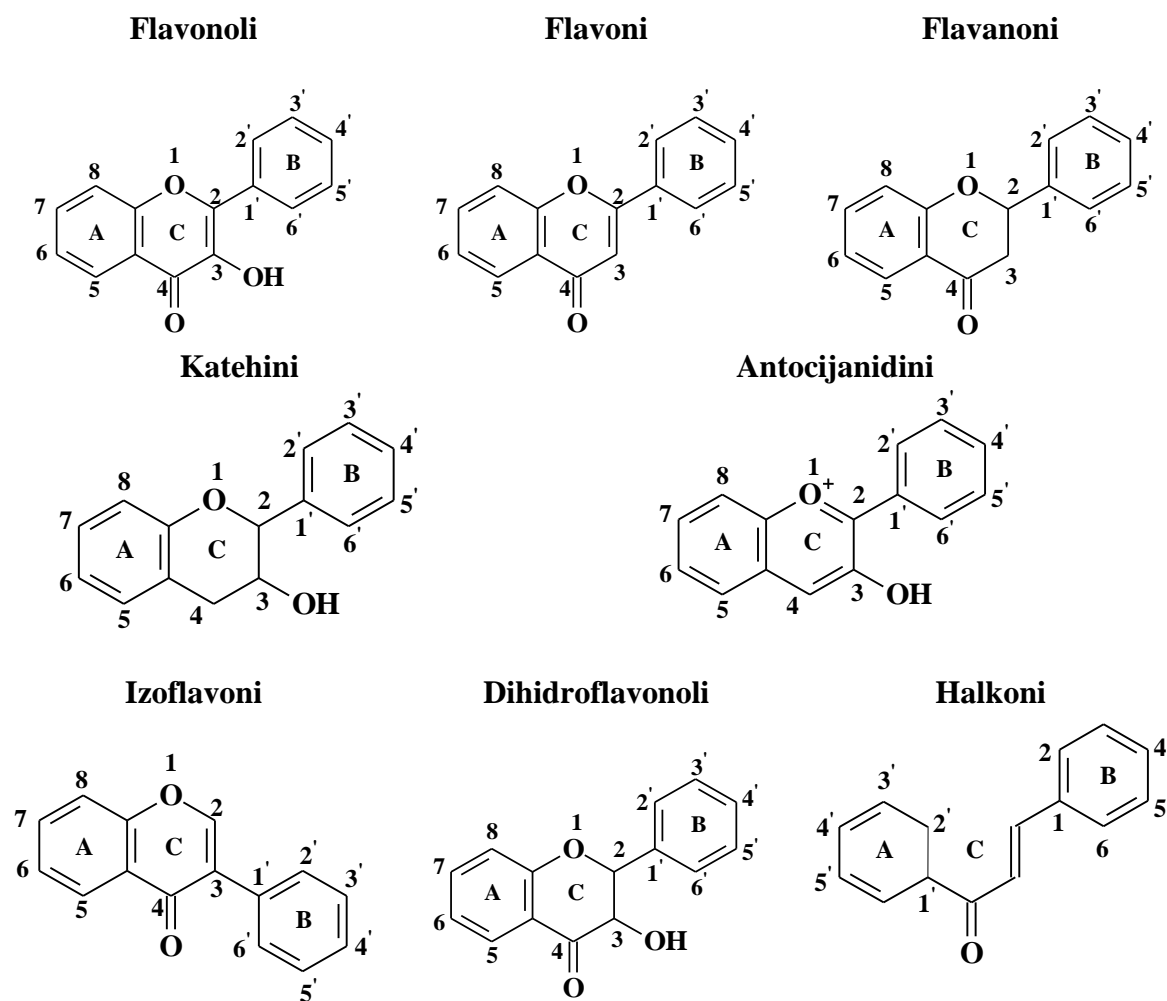


R<sub>1</sub>=R<sub>2</sub>=OH; R<sub>3</sub>=H : Katehin  
R<sub>1</sub>=R<sub>2</sub>=R<sub>3</sub>=OH : Galokatehin

**Slika 2.** Hemijske strukture flavonoida

Pored toga, polifenoli se vezuju sa različitim ugljenim hidratima i organskim kiselinama. Drugi autori<sup>13</sup> dele flavonoide na 8 različitih klasa (flavonoli, flavani, flavanonni, katehini, antocijanidini, izoflavoni, dihidroflavonoli i halkoni), na osnovu

razlika u osnovnoj molekularnoj strukturi (slika 3). Stukturne razlike se prvenstveno ispoljavaju na prstenu sa oznakom C. Flavonoli, dihidroflavonoli, katehini i antocijanidini imaju hidroksilnu grupu na položaju 3. Veza između C atoma u položaju C-2 i C-3 u prstenu C je kod flavanona, katehina i dihidroflavonola zasićena.



Slika 3. Stukturne formule različitih klasa flavonoida

Sva jedinjenja slična flavonoidima imaju B prsten na poziciji C-2 povezan za C prsten, izuzev izoflavona kod kojih je prsten B povezan sa C prstenom na položaju C-3. Katehini i antocijanidini nemaju keto grupu u položaju C-4.

**Fenolne kiseline** se dele na derivate hidroksibenzoeve i cimetne kiseline (slika 1). Čaj je značajan izvor galne kiseline, tako da sveže lišće čaja sadrži 4,5 g galne kiseline/kg<sup>14</sup>. Hidroksibenzoeva kiselina u slobodnoj i esterifikovanoj formi detektovana je samo u nekim višim biljkama. Cimetne kiseline su više zastupljene u odnosu na hidroksibenzovu kiselinu, i čine ih: *p*-kumarna, kafena, ferulna i sinapinska kiselina. Kafena i kininska kiselina formiraju hlorogensku kiselinu, koje ima u mnogim tipovima voća, a u većoj koncentraciji se nalazi u kafi (jedna šoljica sadrži 70-350 mg hlorogenske kiseline)<sup>15</sup>. Cimetna kiselina je pronađena u svim delovima voća, a najveći sadržaj ove kiseline je određen u spoljašnjem omotaču zrelog ploda<sup>16</sup>. Kafena kiselina, u slobodnom i esterifikovanom obliku je najviše zastupljena fenolna

kiselina i čini od 75 do 100% ukupnog sadržaja derivata cimetne kiseline u svom voću, a odavno je izolovana iz kafe. Ferulna kiselina je dominanta fenolna kiselina u zrnima žitarica, njenom najvažnijem izvoru<sup>17</sup>.

**Flavonoli** predstavljaju najrasprostranjenije flavonoide u hrani. Glavni predstavnici ove grupe jedinjenja su kvercetin i kemferol, kojih ima u hrani u relativno niskim koncentracijama (15–30 mg/kg). Crveno vino, kao i čaj sadrže više od 45 mg flavonola/l. Ove komponente su prisutne u glikozidnoj formi, povezane sa šećernom jedinicom, obično glukozom i ramnozom, ali mogu zastupljeni i drugi šećeri (kao galaktoza, arabinoza, ksiloza, glukuronska kiselina). Voće sadrži od 5 do 10 različitih flavonolnih glikozida<sup>10</sup>.

**Flavoni** su manje zastupljeni flavonoidi u voću i povrću. Uglavnom su to glukozida luteolina i apigenina. Značajnije količine flavona su određene u peršunu i celeru. Žitarice sadrže glikozide flavona<sup>18</sup>.

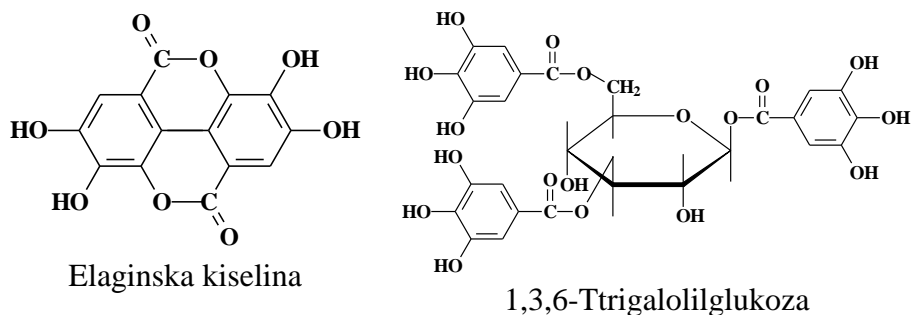
**Flavanoni** su detektovani u paradajzu i nekim aromatičnim biljkama, kao što je menta, a prisutni su u većim koncentracijama u citrus voću. Glavni aglikoni su naringenin u grejpfrutu, hisperidin u pomorandžama, eriodiktol u limunu. Flavanoni su uglavnom u formi glikozida sa disaharidima u položaju C-7<sup>19</sup>.

**Izoflavoni** su flavonoidi koji su strukturno slični estrogenima. Iako nisu steroidi, oni poseduju hidroksilne grupe u položaju C-7 i C-4' u konfiguraciji koja je slična sa hidroksilnim grupama estradiolnog molekula. Ovo doprinosi pseudohormonalnim karakteristikama ovih molekula, uključujući i sposobnost da se vežu za estrogenske receptore, tako da su klasifikovani kao fitoestrogeni. Izoflavoni se nalaze uglavnom u leguminozama. Soja i proizvodi od soje predstavljaju glavni izvor izoflavona u ljudskoj ishrani. Ovi proizvodi sadrže genistein, daidžein i glicitin, uglavnom prisutnim u odnosu 1:1:0,2. Soja sadrži između 580 mg i 3.800 mg izoflavona/kg, dok sojino mleko sadrži od 30 do 175 mg/l<sup>20</sup>.

**Flavanoli** se nalaze u monomernoj formi (catehini) i polimernoj formi (proantocijanidini). Katehin je detektovan u mnogim vrstama voća, a kajsija, koja sadrži 250 mg/kg ovog jedinjenja, je najbogatija ovom komponentom. Takođe su prisutni i u crvenom vinu (više od 300 mg/l), a i zeleni čaj i čokolada ih sadrže u većoj količini<sup>21</sup>. Katehin i epikatehin su najvažniji flavanoli u voću, dok su galokatehin, epigalokatehin i epigalokatehin-galat pronađeni u nekim vrstama semenja i leguminoza, kao i u grožđu, a najveće količine se nalaze u čaju<sup>22</sup>. Za razliku od drugih klasa flavonoida, flavanoli se ne nalaze u glikozidnoj formi. Epikatehini iz čaja su izuzetno stabilni kada su izloženi zagrevanju, samo 15% ovih supstanci se razlaže tokom 7 sati kuvanja u ključaloj vodi na pH 5<sup>23</sup>.

**Tanini** čine kompleksnu grupu u prirodi rasprostranjenih polimera, čiju je tačnu hemijsku strukturu teško definisati. Termin **tanin** se originalno koristi za opisivanje biljnih komponenti koje formiraju stabilne komplekse sa kolagenom iz kože, a poznate su po adstringentnom delovanju. U pitanju su polifenolni metaboliti, čija je molekulска masa veća od 500, sa osobinom da talože želatin i druge proteine iz rastvora<sup>24</sup>, a pronađeni su u skoro svakom delu biljke, kori, drvetu, lišću, plodu i korenju. Na osnovu strukture, dele se na dve grupe, **hidrolizovane i kondenzovane tanine**.

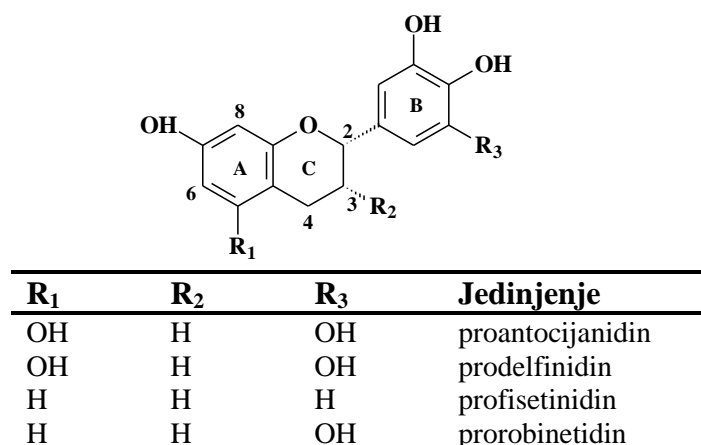
**Hidrolizovani tanini** su estri šećera i fenolnih kiselina ili derivata fenolnih kiselina. Čine ih galotanini, koji hidrolizom u prisustvu alkalija daju galnu kiselinu, kao jedini fenolni deo, i mnogo više rasprostranjeni elagitanini, koji pored galne kiseline daju i jedan od njenih derivata – elaginsku kiselinu (dimer galne kiseline) (slika 4).



**Slika 4.** Struktura osnovnih jedinica hidrolizovanih tanina

**Kondenzovani tanini** se depolimerizuju delovanjem jake kiseline, dajući pigment antocijanidin i druge proizvode, pa je **proantocijanidini** drugi naziv za kondenzovane tanine. Proantocijanidini (PA) ili leukocijanidini, obuhvataju grupu polihidroksilnih flavan-3-ol oligomera i polimera, povezanih C-C vezom između flavonolnih jedinica u položaju C-4 i C-8 (ili C-6) (B tip proantocijanidina) (slike 5 i 6). Stepen polimerizacije varira od 50 flavanolnih molekula<sup>25</sup>, a poznati su kondenzovani tanini sa molekulskom masom većom od 30.000. Kondenzovani tanini su najčešće prisutni u biljnog tkivu, sastoje se od katehina ili epikatehina, a mogu u svojoj strukturi sadržavati i estre galne kiseline.

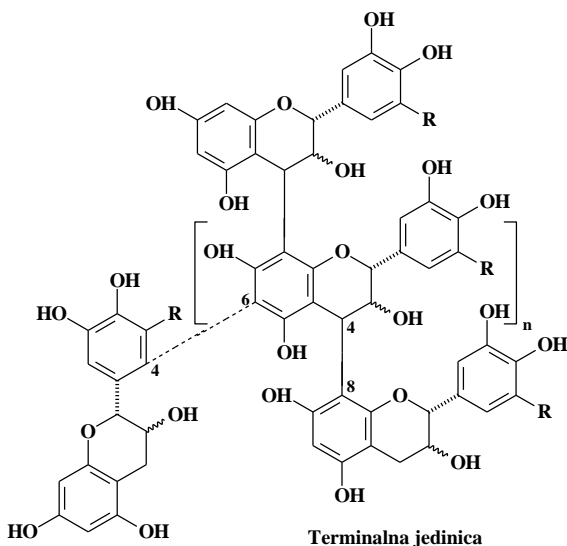
Monomer katehina ima hiralne centre na C-2 i C-3 prstena C. Zapažene su varijacije u stereohemiji ovog položaja kod prirodnih tanina, međutim, one malo utiču na većinu metoda za određivanje tanina. Supstituenti R<sub>1</sub>, R<sub>2</sub> i R<sub>3</sub> na slici 5, imaju značajan uticaj na reaktivnost tanina. Kada je OH grupa esterifikovana galnom kiselinom u pitanju je epigalokatehin galat (R<sub>1</sub>=R<sub>2</sub>=OH, R<sub>3</sub>=O-galoil), glavni polifenolni sastojak zelenog čaja. Prisustvo galatnih estara može znatno menjati biološke karakteristike kondenzovanih tanina<sup>26</sup>.



**Slika 5.** Osnovna jedinica kondenzovanih tanina

Ukoliko je R<sub>1</sub>=R<sub>2</sub>=OH i R<sub>3</sub>=H struktura odgovara (-)-epikatehinu, a kada je R<sub>1</sub>=OH, R<sub>3</sub>=H, a R<sub>2</sub>=O-galoil nastaje katehin galat.

Oksidativna kondenzacija između flavonolnih monomera se najčešće odvija u položajima C-4 i C-8, ali može obuhvatiti i položaje C-4 i C-6 monomera (slika 6), kao i druge položaje.



**Slika 6.** Model struktura kondenzovanih tanina

Ako je R=H ili OH, struktura odgovara procijanidinu ili prodelfinidu. Veza C-4→C-6 (isprekidana linija) je interflavanska veza.

Tokom formiranja kompleksa sa salivatornim proteinima, kondenzovani tanini su odgovorni za adstringentnost voća, kao i čokolade<sup>27</sup>. Teško je odrediti tačan sadržaj proantocijanidina u hrani, jer oni poseduju različite strukture i molekulске mase. Taninske droge imaju pored adstringentnog, antiseptično i antimikrobnog delovanje. Dekokti i tinkture se koriste kao antidijaroici. Tanini su antidoti (protivotrovi) za mnoge teške metale i biljne toksične sastojke. Laboratorijska istraživanja potvrdila su uglavnom inhibitorno delovanje taninskih molekula na brojne enzime, kao što su 5-lipooksigenaza, angiotenzin konvertujući enzim, hijauluronidaza i dr.

**Antocijanini** su pigmenti rastvoreni u ćelijskom soku, vakuolama i epidermalnom tkivu cveća i voća, i daju im ružičastu, crvenu, plavu i ljubičastu boju<sup>28</sup>. Postoje u različitim hemijskim formama, kako obojenim, tako i bezbojnim, u zavisnosti od pH vrednosti. Cijanidin je najzastupljeniji antocijanidin u hrani, a njegova količina je proporcionalna intenzitetu boje. Antocijani su uglavnom pronađeni u pokožici, izuzev kod pojedinih vrsta crvenog voća kod koga se nalaze i u mesu (višnje i jagode). Vino sadrži od 200 do 350 mg/l antocijanina, koji se transformišu u različite kompleksne strukturne forme tokom procesa sazrevanja vina<sup>29</sup>.

**Lignani** se sastoje od dve fenilpopanske jedinice (slika 1). Najbogatiji resurs je seme, a manje bogati lignanima su neke alge, leguminozne biljke, žitarice (tritikale i pšenica) i povrće (luk, asparagus, šargarepa)<sup>30</sup>. Druge žitarice, bobice, voće i pojedino povrće sadrži tragove pojedinih lignana, ali je koncentracija u semenu lana oko 1.000 puta veća od koncentracije u drugoj hrani<sup>31</sup>.

**Stilbeni** su pronađeni samo u malim količinama u hrani. Rezveratrol, koji ispoljava antikancerogeni efekat, analiziran je kod proučavanja lekovitih biljaka, i u niskim koncentracijama detektovan u crvenom vinu (0,3–7 mg/l aglikona i 15 mg/l glikozida)<sup>32</sup>.

## 2.1.2. Polifenoli u hrani

Postoje nepotpuni podaci o količini polifenola koja se dnevno konzumira. Ovi podaci su dobijeni na osnovu analize glavnih aglikona (nakon hidrolize njihovih glikozida i estara) u hrani koja se najčešće koristi u ishrani. Kuhnau<sup>33</sup> je 1976. godine preračunao da je unos flavonoida u Americi oko 1 g/dan i sastoji se od 16% flavonola, flavona i flavanona, 17% antocijana, 20% katehina i 45% biflavona. Flavonoli su najviše istraživani, i utvrđeno je da se ova jedinjenja unose 20–25 mg/dan u Americi, Danskoj i Holandiji<sup>34</sup>. U Italiji, vrednosti se kreću od 5 do 125 mg/dan, sa srednjom vrednošću od 35 mg/dan<sup>35</sup>. Flavanoni se u sličnoj ili većoj meri konzumiraju kao flavonoli, sa srednjom vrednošću od 28,3 do 35 mg/dan hisperidina u Finskoj<sup>36</sup>. Istraživanje dnevne potrošnje antocijanina u Finskoj, zemlji u kojoj se za ishranu dosta koristi bobica voće je polazalo da iznosi 82 mg/dan antocijanina, a u nekim slučajevima i 200 mg/dan<sup>37</sup>.

Može se zaključiti da ukoliko se tokom dana konzumira nekoliko porcija voća i povrća, ukupan unos polifenola verovatno premašuje 1 g/dan, a sa druge strane teško je sprovesti dijetu koja je u potpunosti oslobođena polifenola.

## 2.1.3. Metabolizam flavonoida

Flavonoidi, povezani sa jednim ili više molekula šećera su glikozidi flavonoida, dok su u slobodnoj formi nazvani aglikoni. S izuzetkom flavanola (catehina i proantocijanidina), flavonoidi se nalaze u biljkama uglavnom u formi glikozida<sup>38</sup>. Sposobnost da se proizvedu specifični metaboliti flavonoida, zavisi od specifičnosti mikroflore debelog creva<sup>39</sup>.

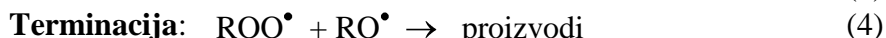
Biovarijabilnost flavonoida je relativno niska, zahvaljujući sporoj apsorpciji i brzoj eliminaciji. Kako se flavonoidi brzo i ekstanzivno metabolišu, biološka aktivnost metabolita nije uvek ista kao početnih komponenti. Maksimalna koncentracija izoflavona i flavanona u plazmi ne premašuje 10 μmol/l nakon *per os* primene. Maksimalna koncentracija antocijanina, flavanola i flavonola u plazmi izmerena posle uzimanja čaja je uglavnom manja od 1 μmol/l<sup>5</sup>.

Enzimi intestinalnih mikroorganizama hidrolizuju glikozide flavonoida do njihovih konstituenasa aglikona i šećera<sup>40</sup>. Većina aglikona se zatim metaboliše uz pomoć mikroorganizama, dok se zanemarljiv deo apsorbuje u formi aglikona<sup>41</sup>.

## 2.2. SLOBODNI RADIKALI

### 2.2.1. Oksidacija

Reakcija molekulskog kiseonika sa organskim molekulima pod umerenim uslovima obično ukazuje na autooksidaciju, što se može prikazati šemom 1.



gde je (RH) organski supstrat, (ROOH) organski peroksid, a (PhOH) fenol

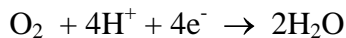
**Šema 1.** Mehanizam oksidacije organskih molekula

Reakcija (1) se odvija brzo, dok je reakcija (4) znatno sporija. Sve organske supstance koje su izložene delovanju vazduha, podležu oksidativnoj degradaciji. Usporavanje ove degradacije se vrši dodavanjem malih količina antioksidanasa. Fenolna jedinjenja su polazne supstance mnogih antioksidanasa koji su u komercijalnoj upotrebi. Njihova aktivnost raste sa sposobnošću da vežu peroksi radikal ( $\text{ROO}^{\bullet}$ ), koji omogućuje lančanu reakciju, doniranjem fenolnog atoma vodonika (reakcija 5). Navedena reakcija je mnogo brža u odnosu na napad organskog supstrata od strane peroksi radikala (reakcija 3).

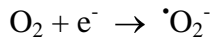
## 2.2.2. Reaktivne kiseonične vrste

Naziv **reactive oxygen species** (ROS) je zajednički za radikale sa centralno postavljenim elektronom na kiseoniku, kao što su superoksidni anjon radikal ( $\cdot\text{O}_2^-$ ), hidroperoksi radikal ( $\cdot\text{O}_2\text{H}$ ) i hidroksi ( $\cdot\text{OH}$ ) radikal, tako i za neradikalske vrste koje sadrže kiseonik, napr. vodonik peroksid ( $\text{H}_2\text{O}_2$ ), singlet kiseonik ( $^1\text{O}_2$ ), hipohlorna kiselina ( $\text{HOCl}$ ) i ozon ( $\text{O}_3$ ).

Kiseonik je snažno oksidaciono sredstvo. Reakcija potpune redukcije kiseonika ima veliki reduksijski potencijal (približno 0,8 V), iako je za nju potrebna i velika energija aktivacije<sup>42</sup>. Iz ovih razloga reakcije, kao što su reakcije respiratornog lanca u mitohondrijima, relativno je teško postići:



Molekul kiseonika u osnovnom stanju ima dva nesparena elektrona. Redukcijom nastaje superoksidni anjon radikal ( $\cdot\text{O}_2^-$ ), a zatim superoksidni anjon  $\text{O}_2^{2-}$ , koji protonovanjem prelazi u vodonik peroksid ( $\text{H}_2\text{O}_2$ ):



Superoksidni radikal je u vodenim medijumima, kao što je citoplazma, slab oksidans, a mnogo je snažnije redukciono sredstvo koje može redukovati komplekse sa gvožđem, kao što je citohrom c<sup>43</sup>.

Hidroksiperoksidni radikal ( $\cdot\text{O}_2\text{H}$ ) jače je redukciono sredstvo i oksidans od superoksidnog radikala, kada je prisutan u malim količinama pri pH vrednosti 7,4.

Vodonik peroksid nastaje kao proizvod delovanja urat oksidaze, glukoza oksidaze, D-aminokiselinske oksidaze ili superoksid dismutaze (SOD). Ovaj molekul lako prolazi kroz ćelijsku membranu, a u prisutvu jona prelaznih metala stvara vrlo reaktivne slobodne radikale. Razgrađuje se delovanjem katalaze (CAT), glutation peroksidaze (GPx), kao i pojedinih drugih peroksidaza.

U unutrašnjosti ćelije slobodni kiseonikovi radikali mogu nastati u toku uobičajenih ćelijskih procesa ili mogu biti indukovani određenim egzogenim supstancama. Načini generisanja superoksidnog radikala dele se na enzimske (u toku katalitičkih reakcija NADPH oksidaze, NADPH-P450 reduktaze, ksantin oksidaze, superoksid dismutaze), ćelijske (radom makrofaga, leukocita, u respiratornom lancu, delovanjem mikrozomalne oksigenaze), a može nastati i delovanjem okruženja (UV- i X-zraci, toksične kemikalije, aromatična nitro jedinjenja). UV zračenje izaziva formiranje  $\cdot\text{OH}$  iz vode i  $\cdot\text{O}_2^-$  iz rastvorenog kiseonika, putem foto-indukovane ekscitacije<sup>44</sup>.

Superoksidnom ( $\cdot\text{O}_2^-$ ) radikalu se pripisuje kako pozitivna, tako i negativna biološka funkcija, dok hidroksil radikal ( $\cdot\text{OH}$ ) deluje isključivo negativno, zbog svoje visoke reaktivnosti<sup>42</sup>.  $\cdot\text{OH}$  se pretežno stvara putem disproporcije  $\text{H}_2\text{O}_2$ , u reakciji oksidacije jona  $\text{Fe}^{2+}$  uz pomoć vodonik peroksida. Oba reaktanta ( $\text{Fe}^{2+}$  i  $\text{H}_2\text{O}_2$ ) su prisutni kako u fiziološkim, tako i u patofiziološkim uslovima. Superoksid se spontano emituje iz mitohondrija.

Nastali  $\text{H}_2\text{O}_2$  u prisustvu jona gvožđa i bakra daje reaktivne hidroksilne radikale i/ili hipohlornu kiselinu ( $\text{HOCl}$ ) u prisutvu  $\text{Cl}^-$  jona, čije nastajanje katalizira enzim mijeloperoksidaza<sup>45</sup>.

Određivanje aktivnosti mijeloperoksidaze može poslužiti kao pokazatelj infiltracije leukocita na mestu upale<sup>46</sup>. Stvaranje radikala u unutrašnjosti mitohondrija nastaje kao posledica nedostatka elektrona koji prelaze na kiseonik, redukujući se pritom do  $\cdot\text{O}_2^-$ .

Hidroksi radikali nastaju enzimski (neradikalnim putem, odnosno delovanjem glikolat oksidaze, acetil-Co oksidaze, NADPH oksidaze, ureat oksidaze i drugim), kao i dismutacijom superoksidnog radikala (radikalni put). Singletni kiseonik ( $^1\text{O}_2$ ) nema svojstva radikala, međutim vrlo je reaktivan zbog spinskih osobina (ima dva nesparena elektrona paralelnih spinova). Uz reaktivne kiseonikove vrste, veliku važnost imaju i reaktivna azotova jedinjenja, od kojih su najvažniji azotmonoksidni radikal  $\text{NO}^\bullet$  i azotdioksidni radikal  $\text{N}_2\text{O}^\bullet$ . ROS imaju centralnu ulogu u delovanju raznih stranih supstanci (napr. ksenobiotika), a njihov povećan sadržaj je uglavnom povezan sa raznim formama oštećenja tkiva<sup>47</sup>. Povećeno stvaranje ROS-a može biti prvi pokazatelj progresije ili sekundarna posledica prilikom oštećenja tkiva. Kontrolisano stvaranje reaktivnih kiseoničnih vrsta ima veoma važnu ulogu u različitim fiziološkim procesima, kao što su receptorima-posredovani signalni putevi i imuni odgovor<sup>48</sup>.

Nasuprot tome, neizbalansirano stvaranje stabilnih radikala visoko je korelisano sa mnogim patofiziološkim bolestima, kao što su neurodegenerativne i maligne bolesti, *diabetes mellitus* i druge. Neki od najpoznatijih negativnih efekata povećanog stvaranja ROS-a u biološkim sistemima obuhvataju peroksidaciju membranskih lipida, oksidativno oštećenje nukleinskih kiselina i šećera, kao i oksidaciju sulfhidrilnih i drugih grupa u proteinima<sup>49</sup>. Za slobodne radikale koji imaju kiseonik u strukturi se smatra da su sposobni da iniciraju i propagiraju kancerogenezu. Postoji povećan interes za ispitivanje uloge ROS-a kod arterioskleroze, šloga, oštećenja miokarda, trauma, artritisa, kancera, kao i sumarnog uticaja ovih vrsta na starenje organizma<sup>50</sup>.

### 2.2.3. Slobodni radikali nastali tokom lipidne peroksidacije

ROS mogu indukovati lipidnu peroksidaciju koja raskida membranski integritet. Poznato je da lipidna peroksidacija korelira sa smanjenjem membranske fluidnosti<sup>51</sup>. Promene u fluidnosti utiču na osobine i funkciju ćelijske membrane, kao što su rast ćelija, prenos signala, permeabilnost, transportni sistem, funkcionisanje receptora ili enzimsku aktivnost<sup>52</sup>.

Gvožđe ima zadatak prenosa elektrona između kisonika i bioloških molekula<sup>53</sup>. Oksidacija organskih jedinjenja u prisustvu gvožđa i vodonik peroksida naziva se Fenton-ovom hemijom, u čast H. J. H. Fenton-a koji je u XIX veku sprovodio istraživanja vezana za oksidaciju vinske kiseline<sup>54</sup>.

Hidroksi radikal ( $\cdot\text{OH}$ ), jedan od najsnažnijih poznatih oksidanasa, može nastati Fenton-ovom reakcijom:



Gvožđe može reagovati i sa lipidnim hidroperoksidima (LOOH), dajući reaktivne lipidne alkoksil radikale LO<sup>•</sup> koji dalje učestvuju u lipidnoj oksidaciji:

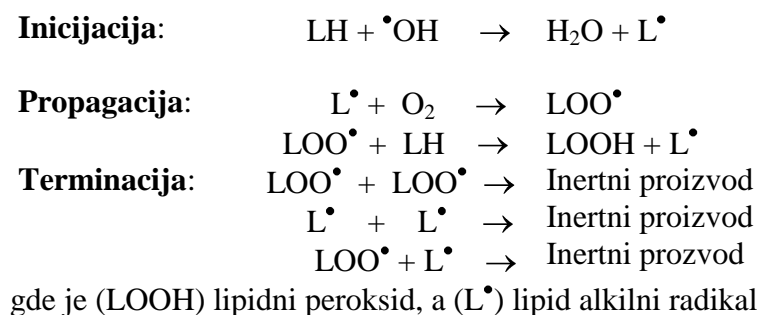


Gvožđe je neposredno povezano sa lipidnom peroksidacijom, a ta pojava je praćena povećanjem malondialdehida (MDA) i drugih reaktivnih jedinjenja sa tiobarbiturnom kiselinom (TBARS)<sup>55</sup>. Unos velikih količina gvožđa i bakra dovodi do degenerativnih bolesti mozga i razvoja tumora, a zabeležene su i promene u aktivnosti superoksid dismutaze<sup>42</sup>. Za neke flavonoide je utvrđeno da inhibiraju kako enzimsku, tako i neenzimsku lipidnu peroksidaciju. Flavonoidi, kao što je kvercetin, mogu suprimirati lipidnu peroksidaciju u model sistemima<sup>56</sup> i nekim biološkim sistemima, kao što su mitohondrije, mikrozomi<sup>57</sup>, hloroplasti<sup>58</sup> i eritrociti<sup>59</sup>.

Lipozomi se često koriste kao dobri modeli membrana, ali se ne može potpuno poistovetiti prirodna ćelijska membrana i lipozomi. To su samoformirajuće koloidne čestice, slične strukture i sastava kao što je ćelijska membrana<sup>57</sup>. Lipozomi su sferne vezikule prečnika od 10 do 1.000 nm. Prednost u ispitivanju oksidacije lipida je što se uticaj slobodnih radikala može ispitati bez hemijskih sistema za proizvodnju reaktivnog oblika kiseonika. Opseg inhibicije enzimske aktivnosti je pozitivno korelisan sa brojem hidroksilnih grupa u izoflavonskom jezgru. Ispitujući inhibitorno delovanje na lipidnu peroksidaju mikrozoma jetre pacova<sup>60</sup> utvrđeno je da su 6,7-dihidroksilni izoflavoni više od 80 puta aktivniji u poređenju sa α-tokoferolom.

Pri dodatku lipidnim radikalima, ROS može reagovati sa drugim biomolekulama i formirati organske hidrofilne radikale (kao napr. askorbil radikal, semihinon, itd). Lipidna peroksidacija se može inhibirati flavonoidima koji deluju kao jaki “skevendžeri” superoksidnog radikala ( $\cdot\text{O}_2^-$ )<sup>61</sup> i gase singlet kiseonik ( ${}^1\text{O}_2$ ). Kada je samostalno prisutan u sistemu,  $\cdot\text{O}_2^-$  nije sposoban da inicira lipidnu peroksidaciju, dok  $\cdot\text{HO}_2$  (protonovana forma  $\cdot\text{O}_2^-$ ) ispoljava dejstvo u izolovanim polinezasićenim masnim kiselinama<sup>50</sup>.

Značaj  ${}^1\text{O}_2$  u lipidnoj peroksidaciji je zanemarljiva. Inicijacija lipidne peroksidacije može biti indukovana  $\cdot\text{OH}$  i slobodnim radikalima metalnih jona (kao što su napr. perferil i feril kompleksi). “Skevendžing”  $\cdot\text{OH}$  molekulima flavonoida umanjuje lipidnu peroksidaciju. Reakcioni mehanizam hidroksi radikala ( $\cdot\text{OH}$ ) i masnih kiselina (LH) je prikazan na šemii 2.



## Šema 2. Mehanizam lipidne peroksidacije

Lipidna peroksidacija može biti sprečena u inicijalnoj fazi “skevendžingom“ slobodnih radikala, dok se lančana reakcija (propagacija) može zaustaviti peroksi-radikalnim “skevendžinzima“, kao što su fenolne komponente.

#### 2.2.4. Oksidativni stres i starenje

Hearman<sup>62</sup> je 1956. godine utvrdio da autooksidacija deluje na čoveka (i druge sisare), a teoriju je nazvao slobodno-radikalnom teorijom starenja. Po njoj, starenje nastaje kao rezultat endogenih kiseoničnih slobodnih radikala, koji se stvaraju tokom normalnog procesa metabolizma razaranjem strukture biopolimera, što rezultuje oštećenjem ćelija. Tako je uspostavljena mehanistička veza između metaboličkih procesa i starenja. Pre jednog stoleća zapaženo je da životinje koje imaju brži metabolizam imaju kraći životni vek. Analize su pokazale da je stvaranje slobodnih radikala, pre nego nivo metaboličkih procesa, u većoj korelaciji sa dugovečnošću.

Ravnoteža između stvaranja slobodnih radikala i antioksidativne odbrane određuje nivo oksidativnog stresa. Prilikom nastanka stresa, odbrana organizma zavisi od sposobnosti ćelija da se suprostave stresu i obnove oštećene molekule<sup>63</sup>. Ukoliko je oksidativni stres važan za starenje, tada će svi faktori koji povećavaju otpornost na stres, delovati u pravcu sprečavanja starenja i dovesti do produženja života. Nakon višegodišnjih istraživanja je utvrđeno da životni vek sisara ne može biti značajno produžen antioksidansima, ali srednja vrednost trajanja života može porasti. Sa ovog stanovišta, teorija slobodno-radikalnog starenja<sup>64</sup> ukazuje da su slobodni radikali uključeni u etiologiju i razvoj mnogih hroničnih bolesti, koje dovode do skraćenja prosečnog životnog veka. Za čoveka, ove hronične bolesti su pre svega arterioskleroz, emfizem i rak. Od antioksidansa se očekuje da predstavljaju ključne komponenente zaštite ćelija od oštećenja, delujući na sakupljanje slobodnih radikala i tako umanjujući u izvesnom stepenu bolest.

### 2.3. ANTIOKSIDANSI I ANTIMIKROBNI AGENSI

#### 2.3.1. Antioksidansi

Antioksidansi su supstance koje u malim koncentracijama u odnosu prema supstratima dovode do odlaganja ili inhibicije oksidacije supstrata.

Delovanje antioksidansa može se opisati sledećim mehanizmima, uklanjanjem:

- kiseonika, ili uticajem na smanjivanje koncentracija kiseonika;
- metalnih jona;
- ciljnih ROS-a kao superoksida ili vodonik peroksida;
- slobodnih radikala;
- singletnog kiseonika.

Membranski antioksidansi se svojim lipofilnim delovima integrišu u membranske sisteme, delujući u njima lokalno (tabela 1). Najpoznatiji antioksidansi su vitamini A, E i β-karoten. Ove prirodne supstance su važne u prevenciji kancera i kardiovaskularnih bolesti<sup>65</sup>. Detoksikacija ROS-a u ćelijama se obezbeđuje kako enzimskim, tako i neenzimskim sistemima koji čine antioksidativni odbrambeni sistem. Enzimski sistem obuhvata intenzivno proučavane enzime, kao što su SOD, katalaza, glutation peroksidaza, kao i glutation regenerišuće enzimske sisteme<sup>66</sup>. Neki enzimski sistemi kao SOD i katalaza, specifično deluju na ROS, dok drugi enzimski

sistemi redukuju tiole. Neenzimski antioksidansi su manje specifični, a mogu da gasi i druge radikale, kako organske, tako i neorganske

**Tabela 1.** Membranski antioksidansi

Membranski antioksidans	Delovanje
Vitamin E	Antioksidativno delovanje ostvaruje kidanjem lanaca
β-Karoten	Ima sposobnost uklanjanja singletnog kiseonika i slobodnih radikala
Koenzim Q	Ima antioksidativno delovanje u respiratornom lancu

Neenzimski antioksidansi se dele na rastvorljive u vodi i u mastima, u zavisnosti da li su reaktivniji u vodenoj fazi ili u lipofilnom regionu ćelijske membrane. Hidrofilni antioksidansi uključuju askorbinsku kiselinu i urat. Ubihinon retinoidi, karotenoidi i tokoferol (vitamin E), predstavljaju neke od antioksidanasa rastvorljivih u mastima<sup>49</sup>.

Plazma proteini, glutation, urat, ubihinon i drugi endogeni antioksidansi, kao što su askorbinska kiselina, karotenoidi, retinoidi, flavonoidi i tokoferol, konstituišu neke sastojke antioksidanasa u hrani (tabela 2).

**Tabela 2.** Niskomolekularni endogeni i hidrofilni antioksidansi

Antioksidans	Delovanje
Glutation	Uklanja radikale, učestvuje u konjugaciji, regeneraciji askorbata i kao koenzim
Vitamin C	Uklanja slobodne radikale doniranjem elektrona, pri čemu nastaje slabo reaktivni askoribilni radikal
Polifenoli	Uklanjaju slobodne radikale i vežu metalne jone
Bilirubin	Uklanja peroksidne radikale
Urat	Uklanja radikale i veže metalne jone
Glukoza	Uklanja hidroksi radikale
Selen	Koenzim glutation peroksidaze

Ove komponente imaju potencijal za gašenje i "skevendžing" različitih radikala (sa centralno postavljenim kiseonikom, centralno postavljenim ugljenikom, alkoksil, peroksil i fenoksil radikali) i ROS-a. Neki antioksidansi se mogu obnavljati uz pomoć enzimskih sistema, kao i pod uticajem drugih, neenzimskih antioksidativnih sistema<sup>67</sup>.

### 2.3.2. Antioksidativna aktivnost fenolnih jedinjenja

Biljni polifenoli se ne smatraju uvek pravim antioksidansima, ali je u mnogim *in vitro* istraživanjama ustanovljen antioksidativni potencijal fenolnih materija u vodenoj fazi, "skevendžing" radikala, kao i pojačanje rezistentnosti prema oksidaciji lipoproteina male gustine, koji ukazuju na patogenezu u slučaju koronarnih bolesti<sup>68</sup>. Smatra se da se deo antioksidativnog potencijala mnogih vrsta voća i bobica može pripisati polifenolnim komponentama.

Sposobnost monomernih fenola da deluju kao antioksidansi zavisi od stepena konjugacije, broja i rasporeda susptitueneta (funkcionalnih grupa) i molekulske mase. Flavonoidi sa najviše hidroksilnih grupa se najlakše oksiduju<sup>69</sup>.

Za jednostavne flavonoidne oligomere stepen polimerizacije je u pozitivnoj korelaciji sa sposobnošću "skevendžinga" slobodnih radikala. Flavonoidi su veoma efikasni "skevendžeri" slobodnih radikala u *in vitro* uslovima<sup>70</sup>. Razmatranjem veze struktura-delovanje flavonoida, poređenjem antioksidativne aktivnosti kvercetina, katehina i cijanidina, utvrđena je važnost prisustva nezasićenja na prstenu C (slika 3), koje omogućava delokalizaciju i stabilizaciju ariloksil radikala<sup>71</sup>. OH grupa u položaju C-3 i njen položaj u blizini keto grupe u položaju C-4, su neophodni preduslovi za maksimalnu efikasnost "skevendžinga" radikala<sup>72</sup>.

Slabiji antioksidativni potencijal katehina (slike 2 i 3) se može pojačati do kvercetina sa dvostrukom vezom C2-C3 i okso funkcionalnom grupom, estarskom vezom OH grupe u položaju C-3 galne kiseline, i OH grupom u položaju C-5' B prstena<sup>73</sup>. Iz ovih razloga je (-)-epigalokatehin-3-O-galat jedan od najefikasnijih "skevendžinga" superoksidanog radikala<sup>74</sup>. Monofenolni prsten B nije efikasan donor vodonika. Njegova antioksidativna aktivnost je maksimalna kada je supstituisan sa dve hidroksilne grupe u *ortho*-difenolnom rasporedu. Prisustvo treće OH grupe na prstenu B ne dovodi do povećanja efektivnosti, izuzev u slučaju katehina. Uticaj koji antioksidativnoj aktivnosti daju hidroksilne grupe u prstenu A je od značaja ukoliko nema dihidroksilne strukture u B prstenu<sup>75</sup>. *O*-metilacija hidroksilnog supstituenta uglavnom inaktivira antioksidativnu aktivnost flavonoida<sup>76</sup>. 3-glikozilacija flavonoida takođe redukuje aktivnost u odnosu na odgovarajuće aglikone<sup>77</sup>. 3',4'-ortodihidroksil konfiguracija prstena B i keto grupa 4, kao i OH grupa u položaju 3 na prstenu C, doprinose optimumu antioksidativne aktivnosti.

Middleton i sar.<sup>12</sup> su dali opšte strukturne karakteristike flavonoida koje doprinose najefikasnijoj "skevendžing" aktivnosti (tabela 3).

**Tabela 3.** Karakteristike flavonoidne strukture koja obezbeđuje najefikasniju radikal "skevendžing" aktivnost

---

**Katehol** - *o*-dihidroksilna grupa u prstenu B doprinosi povećanoj "skevendžing" sposobnosti;

**Pirogalol** - trihidroksil grupa u prstenu B katehola, kao kod miricetina, daje veću aktivnost. Dvostruka veza C2-C3 u C prstenu povećava aktivnost, jer doprinosi stabilnosti proizvedenog fenoksi radikala;

**4-okso-keto** grupa u položaju 4 prstena C, pogotovo kada je povezana sa dvostrukom vezom, povećava "skevendžing" aktivnost delokalizacijom elektrona u prstenu B;

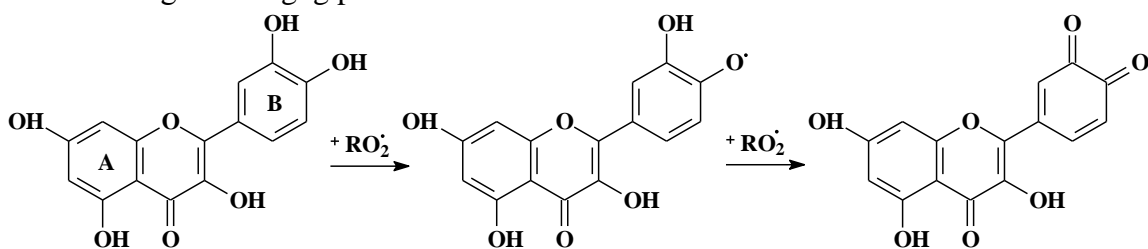
**3-OH grupa prstena C** daje izuzetno jake "skevendžere". Verovatno je najefikasnija kombinacija dvostrukе veze C2-C3 i okso grupe u položaju 4 odmah nakon katehol grupe;

**5-OH i 7-OH** grupa mogu doprineti "skevendžing" potencijalu u nekim slučajevima.

---

U istraživanjima Uri-ja<sup>78</sup> sposobnost flavonoida da inaktiviraju organske peroksil radikale se može uporediti sa ubičajeno korišćenim fenolnim antioksidansima, BHT (butilovani hidroksitoluen) i BHA (butilovani hidroksianizol). Mehanizam dvo-elektronske peroksil radikalske reakcije sa 3',4' i 2',5'-dihidroksiflavonolima i građenje odgovarajućih hinona je prikazan na slici 7. Prva

jedno-elektronska oksidacija daje flavonoidni fenoksi radikal, sa naknadnim "skevendžingom" drugog peroksi radikala.



**Slika 7.** Mehanizam reakcije flavonoida i peroksi radikala

Kao posledica ove reakcije organski peroksil radikal selektivno napada B prsten 3',4'-dihidroksiflavonoida, što važi i za 2',5'-dihidroksiflavonoide.

Antioksidativne osobine fenolnih kiselina imaju važnu ulogu u stabilnosti hrane, kao i u antioksidativnim odbrambenim mehanizmima bioloških sistema<sup>79</sup>. Monohidroksilne benzoeve kiseline su veoma slabi antioksidansi, samo *m*-hidroksibenzoeva kiselina ima antioksidativnu aktivnost. Aktivnost značajno raste kod dihidroksilnih supstituisanih kiselina čiji antioksidativan odgovor zavisi od položaja hidroksilnih grupa u prstenu. Galna kiselina je najbolji antioksidans od svih hidroksibenzoevih kiselina<sup>79</sup>. Aktivnost može porasti sa metoksilacijom supsticuenata, dok formiranje glikozida sa karboksilnim grupama nema uticaja na ove osobine. Antioksidativna aktivnost monofenola u mastima raste proporcionalno sa jednim ili dva metoksi substituenta na *o*-poziciji u odnosu na hidroksilnu grupu<sup>80</sup>.

Utvrđeno je da su tanini ili polimerni polifenoli potentniji antioksidansi u poređenju sa jednostavnim monomernim fenolima<sup>81</sup> i da poseduju malu, ili da uopšte ne poseduju pro-oksidativnu aktivnost, dok su mnogi mali fenolni molekuli pro-oksidantni. Kada se tanini upotrebljavaju kao biološki antioksidanasi mora se imati u vidu uticaj ovih materija na digestiju, jer poseduju potencijal umanjenja svarljivosti hranljivih materija<sup>82</sup>.

### 2.3.3. EPR tehnika

**Electron Paramagnetic Resonance Spectroscopy** - EPR spektroskopija je savremena i precizna spektroskopska analitička tehnika koja se može koristiti za praćanje fizičkih i hemijskih procesa, kao i za određivanje strukture paramagnetskih supstanci. EPR spektroskopija se koristi u mnogim naučnim oblastima, fizici, biologiji i medicini. U hemiji ova metoda je našla veoma raznovrsnu primenu<sup>83</sup>, pogodna je za praćenje oksido-redukcioneih procesa, slobodnoradikalnih reakcija, uključujući ispitivanje kinetike reakcije, molekulske ekscitacije, slobodnoradikalnih reakcija u organskoj hemiji. Ova tehnika omogućava direktnu detekciju slobodnih radikala.

EPR spektroskopija je primenljiva za sve paramagnete sisteme koji imaju zbirni elektron spinski momenat različit od 0. Karakteriše je velika osjetljivost ( $10^{-12}$  mol/l), mala masa uzorka i nedestruktivno delovanje. Za EPR spektralnu analizu slobodnih radikala je neophodno poznavanje prirode ispitivanih slobodnoradikalnih vrsta, odnosno da li su u pitanju relativno stabilni slobodni radikali (dugog vremena života) ili relativno nestabilni slobodni radikali (kratkog vremena života). Potrebno je

poznavati konstante brzina reakcija koje se odvijaju, kao i da li je u sistemu prisutan rastvarač<sup>84</sup>.

Ova tehnika se koristi za utvrđivanje aktivnosti antioksidansa, kao i za njihovu lokalizaciju unutar lipozoma<sup>85</sup>. Ispitivanja antioksidativnih radikala EPR tehnikom obezbeđuje podatke o delokalizaciji elektrona u antioksidansu, koji su u korelaciji sa antioksidativnim osobinama. EPR se takođe može koristiti za praćenje gubitka inteziteta signala DPPH<sup>•</sup>, u cilju detektovanja brzine kojom radikalni antioksidansima oduzimaju fenolni vodonik (koji zato prigušuje EPR signal), a zatim dolazi do formiranja antioksidantnog radikala.

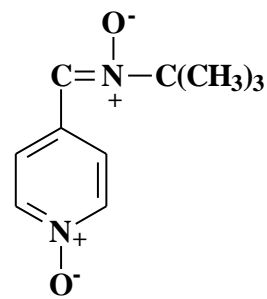
EPR spektralna analiza relativno stabilnih radikala uglavnom ne zahteva posebnu pripemu uzorka i dodatnu aparaturu. Nestabilni slobodni radikali imaju vrlo kratko vreme života, pa je njihova detekcija praktično nemoguća. Oni se mogu detektovati samo ukoliko im se na poseban način, tokom dužeg perioda potrebnog za EPR analizu, koncentracija održava konstantnom. Jedna od najčešće primenjivanih metoda je „Spin trapping“ metoda. Po ovoj metodi se nestabilni radikali hvataju pomoću određenih ogranskih jedinjenja, tzv. „spin trapova“ i nastaju stabilni radikali, tzv. „spin adukti“ koji se mogu detektovati EPR spektroskopijom. Najčešće korišćeni „spin trapovi“ su prikazani u tabeli 4.

**Tabela 4.** „Spin trapovi“

Naziv	Skraćenica	Struktura
<b>terc-Nitrozobutan</b>	tNB	$\begin{array}{c} \text{CH}_3 \\   \\ \text{H}_3\text{C}-\text{C}-\text{N}=\text{O} \\   \\ \text{CH}_3 \end{array}$
<b>N-terc-butil-<math>\alpha</math>-fenilnitron</b>	PNB	$\begin{array}{c} \text{O}^- \\    \\ \text{HC}=\text{N}^+ - \text{C}(\text{CH}_3)_3 \\   \\ \text{C}_6\text{H}_5 \end{array}$
<b>5,5-Dimetil-1-pirolin-N-oksid</b>	DMPO	$\begin{array}{c} \text{O} \\ \uparrow \\ \text{N} \\   \\ \text{CH}_3 \\   \\ \text{CH}_3 \end{array}$
<b>2,4,6-Tri-terc-butilnitrozobenzen</b>	BNB	$\begin{array}{c} \text{N}=\text{O} \\   \\ (\text{CH}_3)_3\text{C}-\text{C}_6\text{H}_3-\text{C}(\text{CH}_3)_3 \\   \\ \text{C}(\text{CH}_3)_3 \end{array}$

**$\alpha$ -(4-Piridil-1-oksid)-N-terc-butil-nitron**

**4-POBN**



### 2.3.4. Antimikrobna aktivnost fenolnih jedinjenja

Stolećima se preparati koji sadrže flavonoide koriste kao glavni aktivni konstituensi preparata za lečenje bolesti<sup>86</sup>. Lekovita svojstva propolisa su pominjana još u Starom Zavetu, a prepisivao ga je i Hipokrat (460-377 p.n.e.) u Staroj Grčkoj za lečenje rana i čira. Smatra se da su za antimikrobne osobine propolisa odgovorni flavonoidi galangin i pinocembrin<sup>87</sup>.

Flavonoidi se sintetišu u biljkama kao odgovor na mikrobiološke infekcije<sup>88</sup>. Zbog toga ne iznenađuje da ova jedinjenja poseduju i u *in vitro* uslovima antimikrobnu aktivnost u odnosu na širok spektar mikroorganizama<sup>89</sup>. Najviše su ispitivane antibakterijske i antifungalne osobine, a utvrđena je i izvesna antivirusna aktivnost ovih komponenti<sup>90</sup>.

Veza struktura-aktivnost u slučaju flavonoida je kontradiktorna. Naime, manje polarne komponente, kao što su flavonoidi bez fenolnih grupa u prstenu B, su manje aktivni u odnosu na flavonoide sa OH grupama<sup>91</sup>. U slučaju meticilin-rezistentnih bakterija *Streptococcus aureus*, alifatični bočni lanac na flavonskom prstenu A (položaj C-6 ili C-8) čini molekul lipofilnijim i povećava antibakterijsku aktivnost u poređenju sa nesupstituisanim flavonima<sup>92</sup>. Fenolne komponente toksično deluju u odnosu na mikroorganizme, a mehanizam delovanja obuhvata inhibiciju oksidovanih komponenti, kao i moguću reakciju sa sulfhidrilnim grupama, kroz više nespecifičnih reakcija sa proteinima<sup>93</sup>. Utvrđeno je da je aktivnost flavonoida rezultat njihove sposobnosti da se kompleksiraju sa ekstracelularnim i rastvorljivim proteinima i daju komplekse sa bakterijskim celijskim zidom.

Za antibakterijsku aktivnost u odnosu na *S. aureus* i *Proteus vulgaris* potreban je 3',4',5'-trihidroksi prsten B, kao i slobodna OH grupa u položaju C-3<sup>94</sup>. Puupponen-Pimiä i sar.<sup>95</sup> su utvrdili široku antimikrobnu aktivnost ispitivanih flavonoida u odnosu na *Lactobacillus* i *Escherichia coli*. Katehini iz čaja, posebno (+)-galokatehin i (-)-epigalokatehin, inhibiraju rast *Streptococcus mutans* (izazivači karijesa zuba)<sup>96</sup>. Pored ove bakterijske vrste, katehini inhibiraju u *in vitro* uslovima *Vibrio cholerae O1*, *Shigella*, kao i neke druge bakterije i mikroorganizme<sup>97</sup>.

(-)Epigalokatehin poseduje antibakterijsku aktivnost u odnosu na *Staphylococcus epidermidis* (G+), *Proteus vulgaris* (G-) i *S. aureus* (G+). Katehin izolovan iz *Camellia sinensis*, deluje na *Shigella spp.* u netoksičnim koncentracijama<sup>98</sup>. Lipofilni flavonoidi (metoksilovani) ne poseduju delovanje u odnosu na mikroorganizme<sup>99</sup>. Glikozidi kvercetina i kvercetagetina nemaju izraženo delovanje u odnosu na neke patogene mikroorganizme<sup>100</sup>.

Scalbert<sup>101</sup> je utvrdio da tanini ispoljavaju inhibitorno delovanje na filamenozne alge, kvasce i bakterije. Procijanidini inhibiraju rast (G-) bakterije *Pseudomonas maltophilia*<sup>102</sup>. Kondenzovani tanini su takođe aktivni u odnosu na (G+) *Streptococcus mutans*<sup>103</sup>, dok su galokatehini aktivni protiv G(+) i G(-)

bakterija<sup>104</sup>. Utvrđeno je da se kondenzovani tanini vezuju za čelijski zid bakterija preživara, sprečavajući rast i aktivnost proteaza<sup>105</sup>. Iako su tanini poznati kao antimikrobni agensi, postoje neke vrste bakterija koje mogu rasti na materijalu bogatom taninima<sup>101</sup>, razvijanjem rezistencije u odnosu na antimikrobne komponente tanina.

Galna kiselina i njeni metil estri ispoljavaju jasan inhibitorni efekat na nekoliko veoma opasnih intestinalnih bakterija<sup>105</sup>, a za šest drugih jednostavnih fenolnih kiselina je utvrđeno da su aktivni protiv različitih bakterija i plesni<sup>106</sup>. Vanilinska i kafena kiselina u potpunosti inhibiraju rast  $\alpha$ -toksina koji stvaraju *Aspergillus flavus* i *Aspergillus parasiticus*. Za antimikrobnu aktivnost meda utvrđeno je da su potencijalno značajne prisutne fenolne kiseline<sup>107</sup>.

## 2.4. BIOLOŠKA I FARMAKOLOŠKA AKTIVNOST FENOLNIH JEDINJENJA

Fenoli prevazilaze očekivanja u tretmanu pojedinih bolesti, zahvaljujući glavnim karakteristikama samog fenolnog jezgra, kao što su:

- kompleksiranje sa metalnim jonima (Fe, Mn, Va, Cu, Al, Ca);
- antioksidativna aktivnost i "skevendžing" radikala;
- mogućnost da grade komplekse sa drugim molekulima, kao što su proteini i polisaharidi.

Metalni joni (gvožđe i bakar), mogu katalizovati stvaranje slobodnih radikala. Sposobnost flavonoida da helatizira (veže) metalne jone je utvrđena u *in vitro* uslovima<sup>109</sup>. U organizmu su Fe i Cu uglavnom vezani za proteine, pa je tako ograničeno njihovo delovanje u stvaranju slobodnih radikala. Osobina metal-helatizirajućeg efekta flavonoida je potencijalno važna za patološka stanja, kada je prisutan višak gvožđa ili bakra, ali nije poznato da flavonoidi i njihovi metaboliti funkcionišu kao helatizirajući agensi u *in vivo* uslovima. Fiziološka i farmakološka delovanja polifenolnih materija<sup>110</sup> su data u tabeli 5.

**Tabela 5.** Fiziološka i farmakološka delovanja fenolnih supstanci

Delovanje
Anthelmintičko delovanje
Moluscidno delovanje
Baktericidno delovanje
Antihepatoksično delovanja
Stimulacija jodiranja fagocitnih ćelija
Inhibicija humane imunodeficientne replikacije virusa (HIV)
Inhibicija humanog simpleks virusa (HSV)
Inhibicija glukozil transferaze <i>Streptococcus mutans</i> -a (dentalnog karijesa)
Inhibicija autoooksidacije askorbata (zeleni čaj)
Inhibicija lipooksigenazno zavisne peroksidacije "francuski paradoks"
Katalizovanje antitumor aktivnosti: citotoksični efekat, inhibicija rasta tumora, inhibicija ornitin dekarboksilaznog odgovora
Inhibicija ksantin oksidaze i monoamino oksidaze

Mnoga *in vitro* istraživanja su ukazala na antioksidativni potencijal fenolnih materija u vodenoj fazi, kao i pojačanje rezistentnosti prema oksidaciji lipoproteina niske gustine, što predstavlja patogenezu kod koronarnih bolesti<sup>68</sup>. S obzirom da je dokazana evidentna inhibicija oksidacije LDL-a i stvaranja krvnih ugrušaka delovanjem flavonoida, smatra se da redovna upotreba hrane i pića koja sadrže flavonoide može zaštитiti od arteroskleroze i tendencije ka trombozi<sup>111</sup>. Međutim, iako

početne hipoteze potvrđuju biološke efekte flavonoida kao antioksidanasa, raspoloživi rezultati dobijeni na čelijskim kulturama ukazuju da su mnogi biološki efekti flavonoida povezani sa promenom signalnih puteva ćelija<sup>112</sup>.

Kalcijum je odgovoran za regulaciju širokog opsega čelijskih procesa. Paradoksalno, ali iako je sposoban da stimuliše mnoge čelijske procese, u isto vreme je izrazito toksičan. Utvrđeno je da povećani sadržaj kalcijuma može dovesti do različitih patoloških procesa, uključujući hipertenziju, arterosklerozu i moguće neurološke poremećaje, kao što su depresija i manična depresija<sup>113</sup>. Homeostaza kalcijuma je regulisana ekstracelularnim ciklusom, koji kontroliše protok kalcijuma između citosola i intracelularnih skladišta u sarkoplazmatičnom retikulumu<sup>114</sup>.

Hipertenzija je uobičajena posledica povišenog intracelularnog nivoa kalcijuma. Limfocitni citosolni kalcijum je znatno povišen kod hipertenzivnih pacijenata<sup>115</sup>. Platelarna aktivacija koja dovodi do tromboze i miokardičnih oštećenja je takođe rezultat slobodnog citoplazmatičnog kalcijuma. Hronična insuficijencija bubrega, kao i neka oštećanja endokrinih žlezdi<sup>116</sup>, su povezana sa povećanim bazalnim nivoom citosolnog  $\text{Ca}^{2+}$  u hepatocitima<sup>117</sup>. Abnormalnosti u homeostazi kalcijuma impliciraju na niz bolesti CNS-a, demeciju i Alchajmerovu bolest<sup>118</sup>.

Za flavonoid kvercetin je utvrđeno da ima spazmolitičko delovanje na glatki aortni mišić pacova<sup>119</sup>, kao i inhibitorno delovanje na intestinalni motilitet kod miševa<sup>120</sup>. Oba efekta se mogu objasniti antagonističkim delovanjem kalcijuma. Upoređivanjem flavonola i flavona, ustanovljeno je da catehin ispoljava najmanju osetljivost na kontraktilni odgovor indukovani vazokonstriktorima<sup>121</sup>. Flavoni i fenilmetani imaju jasan inhibitorni efekat na protok kalcijuma, dok kafena kiselina, ferulna kiselina i flavonoidi povećavaju unos  $\text{Ca}^{2+}$  u ćeliju. Inhibitorni efekat je smanjen glikozidacijom flavonoida.

Vaskularne endotelne ćelije su važne za kardiovaskularni sistem, jer proizvode azot-oksid koji pojačava arterijsku relaksaciju (vazodilataciju). Arterijska vazodilatacija koja rezultuje endotelnom proizvodnjom azot-oksid-a, nazvana je endotelno - zavisna vazodilatacija. Dva kontrolisana klinička istraživanja su pokazala da dnevna konzumacija 4-5 šolja crnog čaja u toku jedne nedelje, značajno poboljšava endotelno zavisnu vazodilataciju kod pacijenata sa koronarnim arterijskim bolestima, kao i kod pacijenata sa blago povišenim serumskim holesterolom. Endotelni azot-oksid inhibira adheziju i agregaciju krvnih ugrušaka<sup>6</sup>.

Tanini nemaju metaboličku ulogu<sup>18</sup>, ali u poslednjoj dekadi posebna pažnja se posvećuje antimutagenim i antitumorogenim osobinama ovih jedinjenja, posebno taninske kiseline<sup>122</sup>. Utvrđena je obrnuta proporcionalnost između unosa povrća i voća i raka pluća<sup>123</sup>, kao i upotrebe luka u ishrani i raka želuca<sup>124</sup>. Kuntz i sar.<sup>125</sup> su utvrdili da polifenoli mogu imati značajnu ulogu u prevenciji raka debelog creva blokiranjem hiper-proliferacije epitela potpomažući apoptozu. Li i sar.<sup>126</sup> su utvrdili da izoflavon genistein inhibira ćelije raka dojke, indukuje apoptozu, reguliše ekspresiju gena i ima potencijal za delovanje kod metastaza kancera. Genistein i naringenin inhibiraju profileraciju ćelija raka, u zavisnosti od vremena i primenjene doze<sup>127</sup>. Ciljna mesta za farmakološko delovanja flavonoida su još uvek nedovoljno poznata, ali postoje indikacije da flavonoidi deluju kao inhibitori kinaza<sup>128</sup>.

## **2.5. METODE ZA ODREĐIVANJE FENOLNIH JEDINJENJA**

### **2.5.1. Priprema uzorka**

Priprema uzorka obuhvata ekstrakciju fenolnih materija, ultrazvučnu ekstrakciju i hidrolizu biljnog materijala ili dobijenih ekstrakata.

#### **2.5.1.1. Ekstrakcija fenolnih materija**

Ekstrakcija fenolnih materija iz biljnog materijala je uslovljena njihovom hemijskom strukturom, primjenjom metodom ekstrakcije i rastvaračem, veličinom čestica, kao i prisustvom supstanci koje reaguju sa fenolima<sup>129</sup>. Hemijske strukture fenolnih materija se razlikuju, a ove supstance ispoljavaju sklonost da reaguju sa ugljenim hidratima, proteinima i drugim komponentama i obrazuju komplekse, koji mogu biti slabo rastvorljivi<sup>130</sup>. Ekstrakti biljnog materijala se sastoje od više klasa fenolnih jedinjenja sa različitom rastvorljivošću u primjenjenim rastvaračima. Rastvorljivost zavisi od tipa (polarnosti) upotrebljenog rastvarača, stepena polimerizacije fenolnih materija, kao i interakcije sa drugim sastojcima i formiranja kompleksa. Zbog toga ne postoji jedinstvena ili u potpunosti zadovoljavajuća procedura koja je primenljiva za ekstrakciju fenolnih materija.

Najčešće se kao ekstragensi koriste metanol, etanol, voda, etil-acetat i u manjoj meri, propanol, dimetilformamid i njihove kombinacije<sup>131</sup>. Vreme ekstrakcije može biti od 1 min<sup>132</sup> do 24 sata. Duža ekstrakcija ujedno povećava mogućnost oksidacije fenolnih materija, ukoliko se ne primeni neki redukcion agens<sup>133</sup>. Deshpande<sup>134</sup> je utvrdio da je optimalno vreme ekstrakcije za fenolne materije u suvom grašku 50-60 min. Efikasnost ekstrakcije je uslovljena i odnosom mase uzorka i zapremine primjenjenog rastvarača. Naczk i sar.<sup>135</sup> su ustanovili da se povećanjem ovog odnosa povećava i prinos ekstrahovanih kondenzovanih tanina.

#### **2.5.1.2. Ultrazvučna ekstrakcija**

Ekstrakcija koja primenjuje ultrazvuk u cilju intenzifikacije procesa se često zove sonifikacija i predstavlja upotrebu visoko-frekfentnog ultrazvuka u operaciji ekstrakcije supstanci iz biljnog materijala. Tip primenjene metode ekstrakcije zavisi od prirode polaznog materijala, odnosno da li je u pitanju biljni materijal<sup>136</sup> ili životinjska tkiva<sup>137</sup>.

Ultrazvuk proizvodi razaranje ćelija, redukovanje veličine čestica i prolaz ultrazvučnog talasa kroz čvrst materijal, što dovodi do veće dodirne površine između čvrste i tečne faze, kao i boljeg kontakta rastvarača sa komponentama u poređenju sa tradicionalnim metodama ekstrakcije<sup>138</sup>. Ekstrakcija ultrazvukom je brži proces u poređenju sa tradicionalnim laboratorijskim metodama, kao što su napr. maceracija i Soxhlet ekstrakcija, zbog razaranja čestica u bilnjom materijalu<sup>139</sup>, a moguće je dobiti isti prinos kao i primenom mikrotalasne ekstrakcije. Njena primena se preporučuje za ekstrakciju supstanci sa manjom molekulskom masom<sup>136</sup>, dok u slučaju ekstrakcije velikih molekula, kao što su napr. DNA ili proteini, mogu nastati poteškoće. Tokom procesa sonifikacije se može generisati dosta toplotne, tako da komponente koje su osjetljive na toplotu (kao proteini), zahtevaju primenu hlađenja<sup>140</sup>.

Tipičan proces podrazumeva ekstrakciju ultrazvukom usitnjenoj ispitivanog materijala sa rastvaračem u vremenskom periodu od 0,5 do 2 sata. Ekstrakcija biljnog

materijala primenom ultrazvuka je dala veoma dobre rezultate, a primenjuju se i u industrijskim procesima za dobijanje komponenata sa farmakološkim delovanjem<sup>141</sup>.

### 2.5.1.3. Hidroliza

Izvršena su mnoga ispitivanja i identifikacije estara fenolnih kiselina u biljnom materijalu, s obzirom na izuzetnu raznovrsnost ovih derivata. Hidroliza estara do karboksilnih kiselina pojednostavljuje analizu i daje fenolni profil kiselina<sup>130</sup>. Stepen kiselo-bazne hidrolize glikozida zavisi od jačine baze-kiseline, prirode šećera i položaja za koji je vezan za flavonoidni nukleus. Tako se glukuronidi opiru kiseloj hidrolizi, dok se u poređenju sa njima glukozidi brže razgrađuju. Hidroliza često prethodi HPLC analizi.

Postoje dva načina za hidrolizu estara, kisela hidroliza i saponifikacija. U trećoj, manje primenjivanoj tehnici koriste se enzimi (esteraze), odnosno enzimska hidroliza.

**Kisela hidroliza** predstavlja tretiranje uzorka sa neorganskim kiselinama, kao što je HCl, u prisustvu vode ili alkohola kao rastvarača, a na temperaturi ključanja ili ispod nje. Koristi se HCl koncentracije 1 - 2 mol/l, a vreme reakcije je od 30 min do 1 sata<sup>142</sup>. Basile i sar.<sup>4</sup> preporučuju sulfatnu kiselinu koncentracije 3 mol/l, vreme ekstrakcije 2 sata na temperaturi od 95°C. Proizvodi hidrolize imaju veoma blizak ili praktično identičan UV spektar.

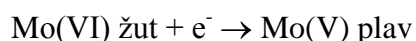
**Saponifikacija** obuhvata tretiranje uzorka sa rastvorom NaOH, koncentracija od 1 do 4 mol/l. Većina reakcija propisuje sobnu temperaturu, a reakciono vreme varira od 15 min do 8 časova<sup>143</sup>.

**Enzimi** (pektinaze, celulaze, amilaze) se koriste za hidrolizu veza između šećera i fenolnih kiselina, uz oslobadanje fenolnih kiselina (uglavom ferulne i *p*-kumarne kiseline). Slobodne kiseline se dobijaju hidrolizom veze između acetalne i hemiacetalne grupe šećera i hidroksilne grupe aromatičnog prstena fenolnih kiselina<sup>144</sup>.

### 2.5.2. Kolorimetrijske metode za analizu fenolnih jedinjenja

**Folin-Ciocalteu** (FC) metodom se određuje sadržaj ukupnih fenola u biljnom materijalu. Metod se zasniva na redukujućoj sposobnosti hidroksilnih grupa. Folin-Ciocalteu reagens nije specifičan, jer kao i Folin-Denis reagens detektuje sve fenolne OH grupe supstanci prisutnih u ekstraktima, uključujući i one koji se nalaze u ekstraktibilnim proteinima<sup>129</sup>. FC predstavlja poboljšanu i unapredenu verziju Folin-Denis testa, jer manje interferira sa nefenolnim jedinjenjima od originalnog metoda.

Originalni FC metod potiče iz 1927. godine, od hemijske metode kojom se određuje sadržaj tirozina<sup>145</sup>. Metoda se sastoji u oksidaciji fenola sa molibdo-volframatskim reagensom uz formiranje obojenog proizvoda koji ima apsorpcioni maksimum na talasnoj dužini 745-750 nm.

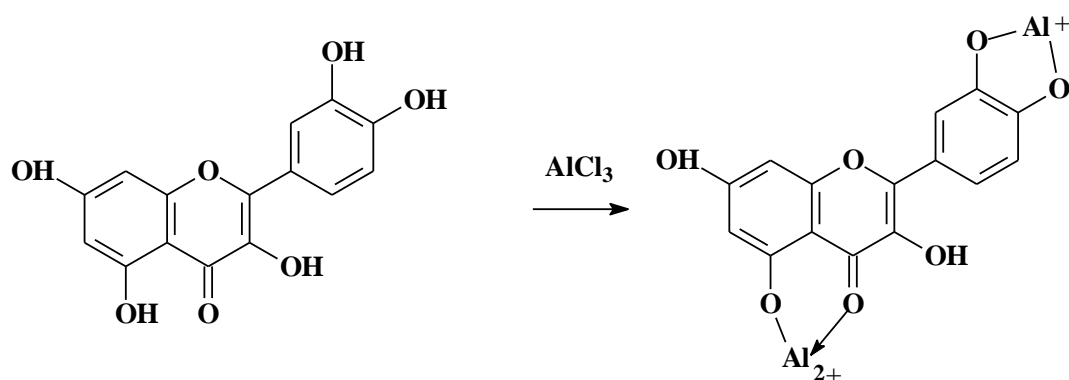


Reakcija je spora i u kiseloj sredini nedovoljno specifična, pa su Singleton i Rossi 1965.<sup>146</sup> godine razvili FC metod sa molibdo-fosfo-volframatskim heteropolijon reagensom koji je specifičniji za fenole i daje obojeni proizvod na 765 nm. Određivanje se sastoji u formiranju polimernog jona sa fosfor-molibdatskom ( $\text{H}_3\text{PMo}_{12}\text{O}_{40}$ ) i fosforo-volframatomovom ( $\text{H}_3\text{PW}_{12}\text{O}_{40}$ ) kiselinom. Polifenolna

jedinjenja se oksiduju ovim reagensom, a sam reagens se redukuje u smešu volfram-oksida ( $W_8O_{23}$ ) i molibden-oksida ( $Mo_8O_{23}$ ). Stvorena hromofora postaje intezivno plave boje, a intezitet obojenosti je srazmeran koncentraciji polifenolnih supstanci. Struktura kompleksa još uvek nije tačno određena, a mehanizam same reakcije nije dovoljno razjašnjen.

Uslovi koji obezbeđuju pouzdanost i ponovljivost rezultata analize su: odgovarajući odnos alkalija i FC reagensa, optimalno reakciono vreme i temperatura, određivanje na talasnoj dužini od 765 nm i upotreba galne kiseline kao standarda<sup>146</sup>.

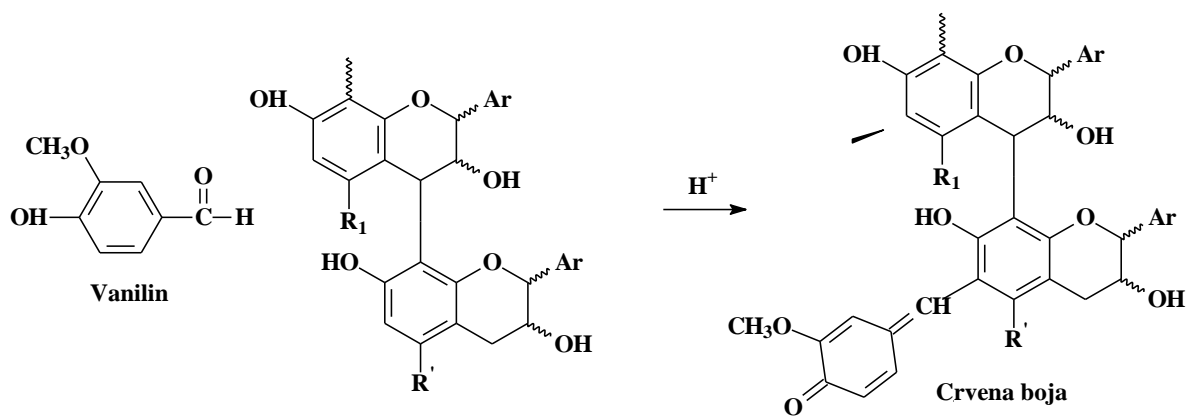
**Obrazovanje kompleksa fenolnih jedinjenja i Al(III)-jona** se koristi za spektrofotometrijska određivanja ukupne kafene kiseline, flavonoida i tanina. Jedna od modifikacija alumunijum(III)-hlorid određivanja predstavlja reakciju fenola sadržanih u ekstraktu sa natrijum-nitritom, praćenu formiranjem flavonoid-aluminijum kompleksa (slika 8).



Slika 8. Obrazovanje kompleksa kvercetina sa aluminijumom

**Vanilin test** se često koristi za određivanje kondenzovanih tanina, zbog svoje osetljivosti, specifičnosti i jednostavnosti<sup>147</sup>. Vanilin reaguje samo sa flavan-3-olima, ili sa terminalnim grupama proantocijanidina. Metoda je osetljiva i specifična za flavan-3-ole, dihidrohalkone i proantocijanidine<sup>148</sup>. Prednost u odnosu na redoks metode (FC metod), koje detektuju sve prisutne fenolne grupe, ogleda se u specifičnosti u odnosu na mali broj flavanola i dihidrohalkona koji imaju jednostruku vezu u poziciji C-2, C-3 i slobodnu *meta* orijentisanu hidroksilnu grupu na prstenu B<sup>149,150</sup>. Ova metoda kombinovana sa kiselim butanolnim određivanjem, obezbeđuje definisanje stepena polimerizacije, i već dugo se koristi kao standardna kolorimetrijska metoda za određivanje flavanola<sup>151</sup>.

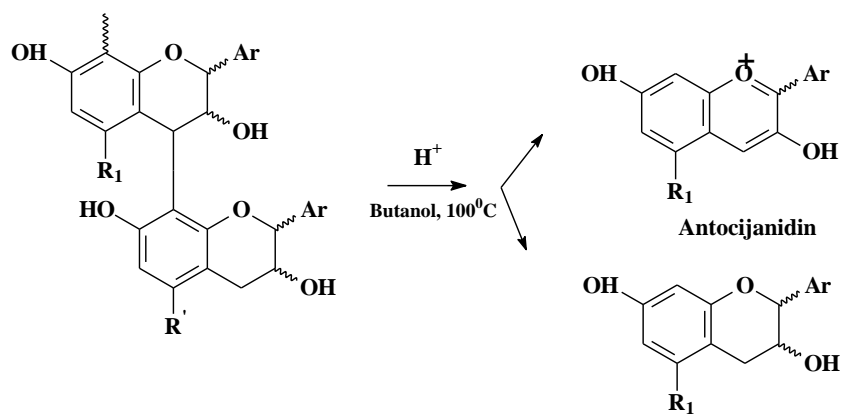
Mehanizam hemijske reakcije je prikazan na slici 9. Za uspeh reakcije je od značaja primjenjeni rastvarač, priroda i koncentracija kiseline, vreme i temperatura reakcije, kao i tip referentnog standarda<sup>152</sup>. Najčešće se kao standard koristi katehin, iako neki autori preporučuju upotrebu unutrašnjeg standarda, prečišćenog tanina iz materijala koji se ispituje, na isti način kao kod kiselog butanolnog testa<sup>149</sup>. Druga osobina je da je ovaj test nedovoljno specifičan, tako da će svaki pogodno supstituisani monomerni flavanol reagovati primenom ove metode<sup>26</sup>.



Slika 9. Hemiske reakcije vanilin testa za kondenzovane tanine

Vrh strelice označava drugo potencijalno mesto vezivanja (slika 9). Reaktivnost proantocijanidina (PA) sa molekulima od biološkog značaja ima značajne nutritivne i fiziološke posledice. Brojne fenolne hidroksilne grupe vode ka formiranju kompleksa sa proteinima, metalnim jonima i drugim molekulima, kao što su polisaharidi<sup>153</sup>. Proantocijanidini

**Kiseli butanolni test** se koristi za određivanje sadržaja kondenzovanih tanina (proantocijanidina - PA)<sup>154</sup>. Iako je test jednostavan, daje dobru indikaciju na prisustvo kondenzovanih tanina, putem kiselo-katalizovane depolimerizacije kondenzovanih tanina i dobijanja crvenih pigmenata antocijanidina (slika 10). Preciznost reakcije zavisi od više faktora. Hemiske karakteristike tanina, kao što su broj i položaj OH grupa i interflavanska veza, kao i način oksidacije, utiču na intenzitet boje. Prisustvo vode u reakcionej smeši značajno smanjuje intenzitet boje i treba je ukloniti pre određivanja. Nezavisnost rezultata od temperature se obezbeđuje termostatiranjem reagenasa, standarda i uzorka na vodenom kupatilu ( $30^{\circ}\text{C}$ ), pre početka rada. Utvrđeno je da ion  $\text{Fe}^{3+}$  predstavlja najeffekasniji prelazni metal koji katalizuje formiranje boje u butanol-HCl reakciji. Idealan odnos reagenasa koji se dodaju uzorku je kiselina : butanol = 6 : 1. Izbor standarda predstavlja problem zbog raznovrsnosti kondenzovanih tanina i nedostataka prikladnih standarda za njihovu kvantifikaciju. Da bi se minimizirao problem korišćenja neprikladnog standarda, preporučuje se upotreba standarda izolovanog iz biljnog materijala<sup>26</sup>. Najveća tačnost se postiže kada su prisutne polimerne interflavanske strukture. Treba napomenuti da pri ovom određivanju hidrolizovani tanini ne reaguju.



Slika 10. Hemiske reakcije kiselog butanolnog testa

Reakcija obuhvata oksidaciju, a terminalna jedinica ne daje obojeni antocijanidin.

Sephadex se koristi za razdvajanje nepolimernih i polimernih fenola (tanini). Jednostavnim hromatografskim metodom (hromatografija u koloni) upotrebom Sephadex LH-20 nepolimerni fenoli se eluiraju sa gela 95% etanolom. Naknadnim eluiranjem sa 50% acetonom se kvantitativno dobijaju polimerni fenoli.

### 2.5.3. HPLC analiza

**High Pressure Liquid Chromatography** (HPLC), odnosno tečna hromatografija pod visokom pritiskom je jedna od najviše korišćenih metoda za analizu biljnih fenola<sup>155</sup>. HPLC tehnika se široko koristi, kako za razdvajanje, tako i za određivanje fenolnih komponenti. HPLC kombinuje prednosti simultane separacije i u većini slučajeva kvantifikacije bez prethodne derivatizacije.

Fenolne materije se obično analiziraju korišćenjem različitih vrsta detektora, kao što su: UV-VIS detektori sa fotodiodnim nizom (PDA), diodnim nizom (DAD), kao i UV fluorescentni detektori. Intezivna upotreba detektori sa fotodiodnim nizom se može pripisati sposobnošću dobijanja jedno-linijskog spektra bez primene tehnika za zaustavljanje protoka. Fluorescentna detekcija doprinosi senzitivnosti i selektivnosti analize flavonoida. Romani i sar.<sup>156</sup> su poredili tačnost koju pružaju različite vrste detektora, pulsni voltametrijski, amperometrijski biosenzorni i DAD. Utvrđena je prednost HPLC/DAD tehnike u pogledu preciznosti i tačnosti određivanja fenolnih materija. Primena DAD detektora obezbeđuje skeniranje celog UV-VIS područja od 210 do 650 nm. Za određivanje prirodnih proizvoda je od velikog značaja različitost njihovih maksimuma apsorpcije. Antocijanidini i antocijanini se određuju u rasponu talasnih dužina od 515 do 520 nm, dok se za glikozide flavanona koristi talasna dužina od 280 nm, a 313 nm za polimetoksilovane flavone. Flavonoidi se generalno detektuju između 245 i 350 nm. Za HPLC analizu aglikona flavonoida je neophodno prethodno izvršiti kiselu hidrolizu<sup>157</sup>.

Uslovi određivanja i primenjene mobilne faze su različite za određivanje antocijanina, flavanona, flavanola, flavan-3-ola, flavona, proantocijanidina i fenolnih kiselina<sup>158</sup>. U tabeli 6 su date neke od HPLC metoda za određivanje različitih klasa fenolnih materija u hrani.

**HPLC/masena spektrometrija (MS)**, obezbeđuje obilje podataka o strukturi supstanci<sup>162</sup> uz dobro razdvajanje i osetljivost<sup>163</sup>. Ova tehnika se koristi i za strukturno određivanje fenolnih komponenti<sup>129</sup>. Potencijal LC/MS određivanja katehina u čaju i biološkim matriksima je veliki, s obzirom na veliku selektivnost koju obezbeđuje maseni spektrometar kao detektor. Međutim, ovaj metod ima i neka ograničenja prilikom analize supstanci kao što su: korišćenje smeše prethodno frakcionisanih katehina za analizu, nisku osetljivost (~5–30 mg analita neophodnih za analizu), nemogućnost razdvajanja i analize (–)-galokatehin galata, strukturnog diastereoizomera jednog od najviše proučavanih katehina, (–)-epigalokatehin galata<sup>163</sup>. Glikolizidi flavonoida se mogu odrediti nedestruktivnim pristupom uz primenu ove tehnike.

**Tabela 6.** HPLC procedure za određivanje različitih klasa fenolnih materija u hrani

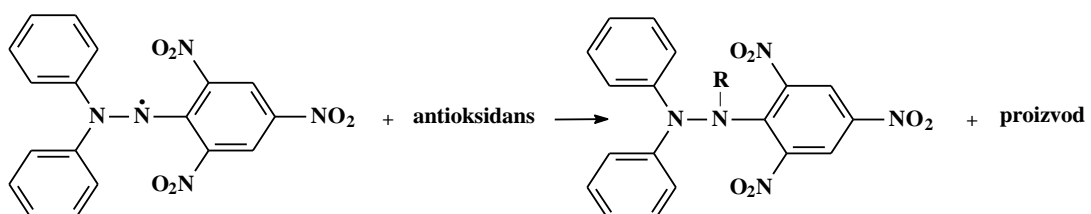
Hrana	Žuti i zeleni francuski grašak	Propolis	Kikiriki
Fenolne materije	Flavoni i flavonoli	Fenolne kiseline, flavoni, flavanoni, flavanoli	Rezveratrol
Priprema uzorka	Ekstrakcija hloroformom, uklanjanje hloroforma i karotenoida, sušenje, ekstrakcija 70% metanolom, uparavanje metanola, prečišćavanje fenolnih materija upotrebom poliamidnih ketridža, filtracija	Rastvaranje u etanolu, alkalna hidroliza, acidifikacija, ekstrakcija fenolnih materija etil acetatom, uparavanje, rastvaranje u etanolu	Ekstrakcija 80% etanolom, centrifugiranje, semi-purifikacija $\text{Al}_2\text{O}_3$ : silika gel 60R <sub>18</sub> (1:1)
Stacionarna faza	LiChrospher 100 RP-18 (250 x 4,5 mm), kuplovana sa pretkolonom (4 x 4 mm) pakovana sa istom stacionarnom fazom	Lichrosorb RP18 (200 x 3 mm, 7 $\mu\text{m}$ ) kuplovana sa C <sub>18</sub> pretkolonom	RP Vydac C <sub>18</sub> (150 x 4,5 mm)
Mobilna faza	(A) Acetonitril; (B) 2% acetatna kiselina u vodi; gradijent: 10–30% A u B, 0–35 min; 30–45% A u B, 35–37 min; 45% A u B, 37–42 min; 45–10% A u B, 42–44 min	a) H <sub>2</sub> O sa pH 2,6 podešenim dodavanjem H <sub>3</sub> PO <sub>4</sub> ; (B) acetonitril; gradijent: 0–9% B u A, 0–12 min; 9–13% B u A, 12–20 min; 13–40% B u A, 20–40 min; 40–70% B u A, 40–60 min; 70% B u A, 60–85 min	(A) Acetonitril; (B) 0,1% TFA (trifluoracetatna kiselina); gradijent: 0% A u B, 0–1 min; 0–15% A u B, 1–3 min; 15–27% A u B, 3–23 min; 27–100% A u B, 23–28 min
Referenca	<sup>159</sup> Hempel i Bohm, 1996.	<sup>160</sup> Siess i sar., 1996.	<sup>161</sup> Sanders i sar., 2000.

## 2.6. METODE ODREĐIVANJA EPR TEHNIKOM

### 2.6.1. DPPH radikali

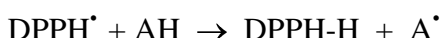
1,1-Difenil-2-pikrilhidrazil (DPPH) radikal predstavlja stabilni organski azotov radikal, kao i jedan od najviše korišćenih primarnih standarda u EPR spektrometriji<sup>164</sup>. Poznato je da DPPH reaguje sa merkaptanima, aminima, fenolima, kiselinama, aromatičnim ugljovodonicima, što se u velikoj meri koristi u analitičkoj praksi za titrimetrijsko kvantitativno i semi-kvantitativno određivanje ovih supstanci. Pored toga, DPPH ima primenu i kao "skevendžer" slobodnih radikala<sup>165,166</sup>, kao i za određivanje efikasnosti (G-vrednosti) grešaka nastalih u čvrstoj fazi nakon primene visoko-energetskog zračenja. Upotreba DPPH za ispitivanje kapacita prirodnih antioksidanasa za "skevendžing" slobodnih radikala, predložen je od strane Blois-a<sup>167</sup>

1958. godine. Za razliku od slobodnih radikala generisanih u laboratoriji, kao što su superoksidni i hidroksi, upotreba stabilnih slobodnih radikala ima prednost, jer nije pod uticajem sporednih reakcija, kao što je helatiziranje sa metalima i enzimska inhibicija, koju izazivaju aditivi. Redukcija DPPH radikala se obično prati merenjem intenziteta EPR signala. Struktura DPPH radikala je ilustrovana reakcijom DPPH sa antioksidansima i prikazana je na slici 11.



**Slika 11.** Struktura DPPH i mehanizam reakcije sa antioksidansima

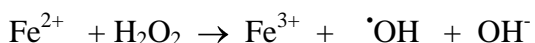
Antioksidansi različitim hemijskim transformacijama redukuju stabilne DPPH radikale u DPPH-H sledećim reakcionim mehanizmom:



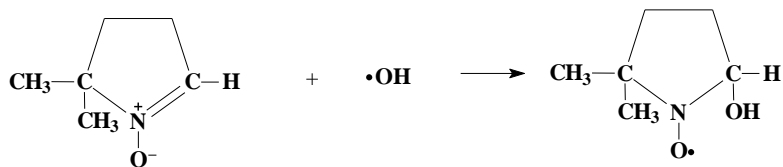
Hemijske promene prikazane hemijskom reakcijom se mogu odrediti spektrofotometrijski ili EPR spektrometrijski, direktnim merenjem koncentracije DPPH radikala.

### 2.6.2. Hidroksi radikali

U cilju ispitivanja antioksidativne aktivnosti EPR tehnikom u odnosu na hidroksi radikale, primenjuje se Fenton-ov reakcioni sistem za generisanje ovih radikala:



Nastali reaktivni  $\cdot\text{OH}$  radikali u prisustvu spin trapa DMPO (5,5-dimetil-pirolin-N-oksid), (formiraju stabilne nitroksid radikale, odnosno DMPO-OH spin adukte (slika 12).

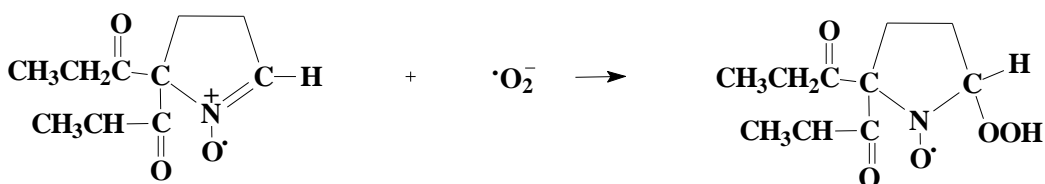


**Slika 12.** Formiranje hidroksi adukta sa DMPO

Stabilni DMPO-OH spin adukti imaju relativno dugo vreme života, pa su pogodni za detekciju EPR tehnikom.

### 2.6.3. Superoksidni anjon radikal

Spin trap DMPO se koristi već duže vreme za vezivanje kiseonika u biološkim sistemima. Glavni nedostatak ovog spin trapa je što se DMPO superoksidni adukt (DMPO/OOH) spontano i brzo razgrađuje do DMPO hidroksilnog adukta (DMPO/OH) i kao proizvod nastaje superoksidni anjon radikal<sup>168</sup>. Istraživanja su pokazala da su određivanja superoksidna EPR tehnikom uz upotrebu spin trapa DMPO ograničana zbog veoma kratkog vremena poluživota superoksidnog spin adukta DMPO/OOH (50 s na pH vrednosti 7)<sup>169</sup>. Da bi se prevazišao ovaj problem, koristi se fosforilovan analog DMPO koji se označava kao DEPMPO (5-(dietoksifosforil)-5-metil-1-pirolin-N-oksid). Za razliku od DMPO/OOH, DEPMPO superoksidni adukt (DEPMPO/OOH) se ne razgrađuje do DEPMPO/OH. Spin trap DEPMPO stvara superoksidni adukt koji ima poluvreme života od skoro 15 minuta<sup>170</sup>. Superoksidni anjon radikali generisani hipoksantin/ksantin-oksidaza sistemom (HX/XO), reaguju sa spin trapom DEPMPO i formiraju DEPMPO/OOH adukte (slika 13).

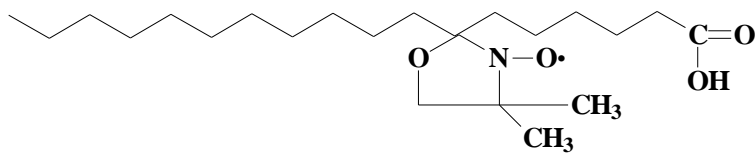


Slika 13. Formiranje superoksid adukta sa DEPMPO

### 2.6.4. Kapacitet uklanjanja lipidne peroksidacije

Reaktivne kiseonične vrste sposobne su da indukuju lipidnu peroksidaciju. Intenzivna lipidna peroksidacija u biološkim membranama dovodi do gubitka fluidnosti, opadanja vrednosti membranskog potencijala, povećanja permeabilnosti prema H<sup>+</sup> i drugim jonima, pa može dovesti do rupture ćelije i otpuštanja njenog sadržaja<sup>43</sup>. Aktivnost antioksidanasa u prevenciji i/ili otklanjanju lipidne peroksidacije lipozoma testira se upotrebom Fenton-ove reakcije u cilju stvaranja ·OH radikala. Ovi radikali mogu efikasno da izazovu peroksidaciju.

EPR tehnika i membranska spin proba 7-doksilstearat (2-(5-karboksipentil)-2-andecil-4,4-dimetilosazolidin-3-oksildimetilosazolidin-3-oksil), odnosno (7-DS) (slika 14) se koristi za procenu smanjenja membranske fluidnosti<sup>171</sup>.

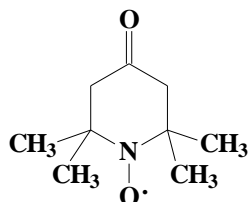


Slika 14. Struktura 7-DS

### 2.6.5. Organski hidrofilni radikal

ROS može da reaguje sa biomolekulima i formira organske hidrofilne radikale. Zato je potrebno ispitati sposobnost uklanjanja ovakvih reaktivnih vrsta. Kao

model komponenta za ispitivanje organskih radikala koristi se hidrofilna spin proba (2,2,6,6-tetrametilpiperidin-N-oksil-4-on), odnosno Tempon (slika 15).



**Slika 15.** Struktura Tempon-a

Ova metoda je slična nespecifičnoj spektrofotometrijskoj metodi koja se često koristi za određivanje antioksidativne aktivnosti nekih supstanci i ekstrakata u kojoj se prate promene UV/VIS spektra. Međutim, EPR metoda daje znatno preciznije rezultate<sup>172</sup>. Antioksidativni kapacitet se određuje merenjem smanjenja amplitude signala Tempon-a koji izazivaju ekstrakti u odnosu na amplitudu signala netretiranog uzorka. Za Tempon je poznato da se pozicionira isključivo sa spoljašnje strane membrane. Kompleksna kinetika redukcije Tempon-a pokazuje da membrana poseduje sistem za istovremenu proizvodnju superoksid i hidroksi radikala.

#### 2.6.6. Protektivni efekat u odnosu na UV zračenje

Koncentracija slobodnih radikala se povećava primenom zračenja (UV ili jonizujućeg) ili stabilizacijom na niskim temperaturama<sup>173</sup>. Tako UV radijacija može da izazove stvaranje ·OH od vode i ·O<sub>2</sub><sup>-</sup> iz rastvorenog kiseonika u vodenim rastvorima<sup>174</sup>. Starenje kože, kao i razvoj nekih bolesti kože (melanom) je u korelaciji sa neizbalansiranim stvaranjem slobodnih radikala u ćelijama kože. Jurkiewicz i Buettner<sup>175</sup> su utvrdili upotrebo EPR spin trap tehnike *in situ* spin trap adukt, nakon izlaganja UV radijaciji kože čoveka. Istraživanje potencijalnih UV-protektivnih komponenti i smeša je od velikog značaja. Protektivni kapacitet se može ispitati sposobnošću antioksidanasa da otklone slobodne radikale (·OH i ·O<sub>2</sub><sup>-</sup>) iz vodenih rastvora, koji su izloženi UV zračenju.

### 2.7. ERITROCITI KAO MODELI ZA ISPITIVANJE STEPENA OKSIDATIVNOG OŠTEĆENJA

Kod nekih patofizioloških stanja eritrociti su izloženi povećenom sadržaju vodonik perokksida. Tako u slučaju protromboze, H<sub>2</sub>O<sub>2</sub> nastaje aktiviranjem leukocita<sup>176</sup> i krvnih pločica<sup>177</sup>. Visoke doze ROS-a stvaraju se tokom infekcija<sup>178</sup>, imunog odgovora organizma, upala<sup>179</sup>, auto-imunih bolesti<sup>180</sup> i stanja ishemije/reperfuzije<sup>181</sup>. Vodonik peroksid može proći ćelijske membrane sa susednih tkiva u kojima se dešava neki patološki proces oksidativnog napada i/ili su mitohondrije oštećene i dospeti u krv<sup>182</sup>.

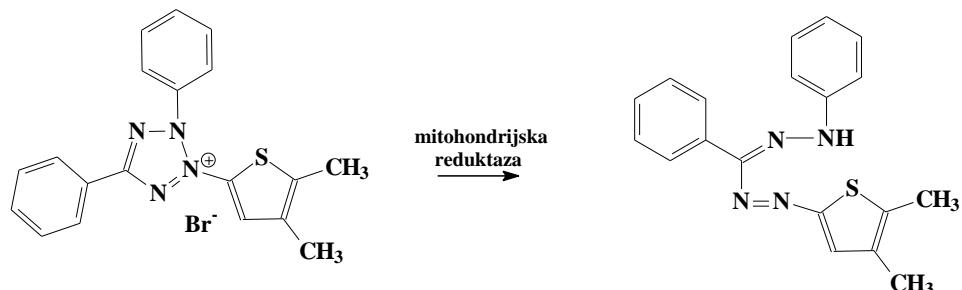
Eritrociti su kontinualno izloženi dejstvu velikih koncentracija kiseonika, kao i čestim varijacijama u pritisku kiseonika, a kako hemoglobin sadrži gvožđe, može podleći oksidativnom stresu kroz Fenton-ovu, Haber-Weiss-ovu<sup>183</sup> i druge reakcije, kao što je auto-oksidacija hemoglobina<sup>184</sup>. Zbog ovih intracelularnih faktora, eritrociti su opremljeni specifičnim antioksidativnim sistemom sastavljenim od glutation-peroksidaze i katalaze<sup>185</sup> koji uklanjaju vodonik peroksid i superoksid dismutazu koja

dizmutira superoksid. Kao posledica toga, glavna meta za egzogeni  $H_2O_2$  u peroksidima nije intracelularni deo eritrocita, već pre svega membrana. Iako vodonik peroksid može proći membranu, može reagovati i sa mastima, izazivajući peroksidaciju i oksidativno oštećenje. Smatra se da  $H_2O_2$  izaziva smanjenje membranske fluidnosti<sup>186</sup>. Oštećenje membrane eritrocita se može odraziti kao nedostatak nekih celularnih konstituenasa<sup>187</sup>, kao što je  $K^+$ . U finalnom stadijumu oštećenja, eritrociti će podleći hemolizi, što se detektuje prisustvom hemoglobina i dezoksihemoglobina u plazmi.

Pored direktnog interesovanja za ispitivanje efekata izazvanih  $H_2O_2$  na eritrocitima kao glavnim nosiocima kiseonika, kao i razvojem preparata za antioksidativnu odbranu, eritrociti se intezivno koriste i za ispitivanje oksidativnog oštećenja, sa posebnim naglaskom na oštećenje ćelijske membrane<sup>188</sup>. Dobijeni rezultati u ispitivanju antioksidativnog oštećenja izazvanog na membranama eritrocita se mogu iskoristiti za razumevanje procesa koji se dešavaju na membranama ćelija drugih organizama. Ukoliko su antioksidansi sposobni da zaštite membranu eritrocita, mogu da zaštite i druga tkiva.

## 2.8. TEST VIJABILNOSTI (MTT)

MTT test je laboratorijski test i standardni kololorimetrijski metod određivanja preživljavanja i proliferacije ćelija sisara. Koristi se žuta tetrazolijum so MTT [3-(4,5-dimetiazol-2-il)-2,5-dipfeniltetrazolijum-bromid], koju u fazi proliferacije metabolički razgrađuje mitohondrijska sukcinat dehidrogenaza, dajući ljubičasti formazonski proizvod (slika 16). Na taj način se detektuje aktivnost enzima u redukciji MTT-a do formazona<sup>189</sup>.



Slika 16. Redukcija MTT-a do formazona

MTT test se koristiti i za određivanje citotoksičnosti potencijalnih medicinskih agenasa i drugih toksičnih materijala. Povećanje ćelijske toksičnosti rezultuje metaboličkom disfunkcijom koja se ogleda opadanjem vrednosti u testu. Ovaj test detektuje žive, a ne mrtve ćelije, a generisani signal zavisi od stepena aktivacije ćelija.

Glavne prednosti kolorimetrijskog određivanja su brzina, preciznost i odsustvo primene radioizotopa. Tokom rada se ne vrši ispiranje. Efekat testa je posebno naglašen u prisustvu fetalnog seruma govečeta. Da bi se povećala rastvorljivost nerastvornog ljubičastog proizvoda (formazona), dodaje se solubilizirajući rastvor, obično dimetil sulfoksid (DMSO), acidifikovani etanolni rastvor ili rastvor deterdženta (natrijum-dodecil sulfata u razblaženoj hloridnoj kiselini), pri čemu

formazon prelazi u obojeni rastvor. Apsorbancija ovog obojenog rastvora se meri na spektrofotometru (obično između 500 i 600 nm) ili ELISA čitaču.

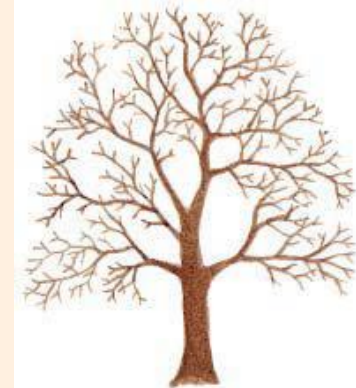
## 2.9. METODA ZA ODREĐIVANJE ANTIMIKROBNE AKTIVNOSTI

**Disk difuzioni metod** karakteriše jednostavnost, osetljivost, efikasnost i pouzdanost<sup>190</sup>. Prečnik inhibicije je direktno proporcionalan koncentraciji antibiotika. Primena ove metode je moguća za ispitivanje antimikrobne aktivnosti različitih ekstrakata, a ne samo antibiotika.

## 2.10. *Castanea sativa* Mill.

Evropski **pitomi kesten** (lat. *Castanea sativa* Miller) je drvo iz porodice **bukvi** (*Fagaceae*), u kojoj se nalaze bukva i hrast.

### 2.10.1. Botanički opis



Vrste iz ove porodice su šumsko drveće, sa jednostavnim, naizmenično poređanim listovima i cvetovima koji su obično skupljeni u rese. Semenke nekih vrsta su jestive i bogate hranjivim materijama, i koriste se u ishrani još od davnih vremena. Pitomi kesten je listopadno drvo visine 20-30 m, sa obimom stabla i do 2 m. Krošnja je gusta i dobro razvijena, a dostiže starost i do 500 godina. Kora drveta je glatka, crvenkastosive do sivocrne boje<sup>191</sup>. **Listovi** su naizmenični, duguljasto lancetasti, krupno nazubljeni, dužine peteljke do 5 cm, dužine 10-30 cm i širine 3-6 cm, s istaknutim žilama sa donje strane.

**Prašnički cvetovi** stoje u žućkastim čupercima u grupama od po 3 ili više, i formiraju 10-30 cm duge uspravne i isprekidane rese.

**Tučkovi** cvetova, koji su obavijeni zelenkastom opnom, stoje u zajedničkoj kupoli, i obično se razvijaju u tri ploda, retko kao jedan. Kesten se oprašuje vетrom ili pomoću insekata, u zavisnosti od vlažnosti vazduha. Veličina zrna polena je mala (14-18 µm), što omogućava da se polen transportuje do udaljenosti od 100 km<sup>192</sup>.



**Ježevice** su loptaste, kožaste i gusto pokrivene igličastim bodljama, opadaju u oktobru. Masa ploda iznosi **10-25 g**, a od 1 do 3 ploda se nalazi u ježevici<sup>193</sup>. **Plodovi** pitomog kestena su veliko skrobno orašasto voće, pokriveni kožastom, tamnosmeđom, sjajnom, adstringentnom membranom nazvanom pelikula. Debljina varira od tanke kao papir do relativno tankog drvenastog tkiva, a plodovi su polukruglasti ili zaobljeno pljosnati.



Ponekad pelikula ulazi unutar mesa i cepa kotiledone, što otežava ljuštenje. Veličina ploda, stepen odvajanja ježevice od ljske, lakoća odvajanja ljske i pelikula, kao i aroma, veoma su važni parametri kvaliteta ploda. Kesten je seme, koje se gaji kao drvo. Kestenovo drvo može godišnje da rodi do 200 kg plodova. Koristi se u kuromanom (pečenom) obliku, a ima primenu i u konditorskoj industriji.

Od kestena se pravi delikates "marrone glacé" koji je skuplji od čokolade. Kesten se suši i proizvodi se brašno od kestena. Veoma je značajna namirnica u Kini, Japanu i Severnoj Evropi, pa ga zato zovu "**hlebno drvo**"<sup>194</sup>. Naziv kesten je dobio po mestu **Kastano** u Grčkoj<sup>195</sup>. Smatra se da je postojbina pitomog kestena Mala Azija, a u Evropu je prenet još u V. veku p.n.e., prvo u Grčku, a zatim u Italiju i Španiju.



U Aziji se japanski kesten *C. crenata* gaji još od XI veka, dok se kineski kesten *C. molissima* gaji od pre 6.000 godina. U Evropi raste kao samoniklo šumsko drvo ili kao kultivisan, pa se pretpostavlja da je kesten u Evropi autohton<sup>196</sup>, a najviše je rasprostranjen u Sredozemlju. Postoji drvo veoma sličnog imena i ploda kao pitomi kesten, koje često izaziva zabunu. Radi se o tzv. **divljem kestenu** (lat. *Aesculus hippocastanum*) koji botanički nije srođan pitomom kestenu, a plodovi nemaju priјatan ukus i nisu jestivi.



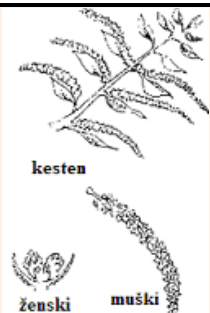
muški cvet



ženski cvet



resa (muški cvetovi)



**Slika 17.** Izgled cveta kestena

U tabeli 7 su dati taksonomski podaci vezani za kesten.

**Tabela 7.** Taksonomija *C. sativa*

Carstvo	Plantae	Biljno
Potcarstvo	<i>Tracheobionta</i>	vaskularne biljke
Superodeljak	<i>Spermatophyta</i>	semenjače
Odeljak	<i>Magnoliophyta</i>	cvetnice
Klasa	<i>Magnoliopsida</i>	dikotiledone biljke
Potklasa	<i>Hamamelididae</i>	
Red	<i>Fagales</i>	
Familija	<i>Fagaceae</i>	familija bukvi
Rod	<i>Castanea</i> Mill.	kesten
Vrsta	<i>Castanea sativa</i> Mill.	evropski kesten

Kesten pripada rodu *Castanea* sa 9 vrsti (tabela 8), od kojih su četiri komercijalno najvažnije: *C. sativa*, *C. dentata*, *C. mollissima* i *C. crenata*<sup>197</sup> (slika 18).

**Tabela 8.** Vrste roda *Castanea*

Vrste
<i>Castanea alnifolia</i>
<i>Castanea crenata</i>
<i>Castanea dentata</i>
<i>Castanea henryi</i>
<i>Castanea mollissima</i>
<i>Castanea ozarkensis</i>
<i>Castanea pumila</i>
<i>Castanea sativa</i>
<i>Castanea seguinii</i>

## 2.10.2. Najvažnije sorte

### *Castanea crenata*

Japanski kesten je prirodno nastanjen u Japanu, Kini i Koreji, manje je bujnosti, ali je krupniji od evropskog. Drvo raste do 15 m visine. Rezisentno je na većinu poznatih biljnih bolesti, međutim ukus ploda je inferiorniji u odnosu na druge sorte. Drvo je manje visine u odnosu na *C. dentata*, sa veličinom ploda koja se nalazi između *C. dentata* i *C. sativa*. Plod je veliki i sa grubom teksturom. Poseduje izvesno pomanjkanje ukusa u odnosu na druge vrste kestena. Razvijeno je nekoliko varijeteta, a samo drvo po svojoj teksturi i formi nije zadovoljavajuće za proizvodnju drveta<sup>198</sup>. U tabeli 9 su date karakteristike najvažnijih sorti kestena.

**Tabela 9.** Osobine sorti kestena

Vrsta	Uobičajeno ime	Visina (m)	Veličina jezgra	Aroma jezgra	Rezistentnost na <i>Cryphonectria parasitica</i>
<i>C. crenata</i>	japanski kesten	12-18	varira	loša	srednja
<i>C. dentata</i>	američki kesten	18-30	mala	izvrsna	loša
<i>C. molissima</i>	kineski kesten	9-15	srednja	dobra	veoma visoka
<i>C. sativa</i>	evropski kesten	18-24	velika	dobra	veoma niska

### *Castanea dentata*

Američki kesten je nastanjen u Apačkim planinama od država Džordžija i Mejn do Mičigena u Americi. Dostiže visinu od 30 m, obim drveta 80-150 cm. Jezgra su mala i porkrivena tankom, svetlom paperjastom opnom (77 jezgara/kg). U ježevici ih ima 2-3. Osetljiv je prema endotivnom raku kore kestena - *Cryphonectria parasitica* (raniji naziv *Endothia parasitica*), dok je otporan prema korenastoј gljivi, mastiljavoj bolesti (*Phytophtora cambivora*). Plod je sladi i sa finijom strukturom u odnosu na *C. crenata*<sup>199</sup>.



Američki - kineski – japanski - evropski

**Slika 18.** Izgled ploda različitih vrsti kestena

### *Castanea molissima*

Kineski kesten raste u Kini i Koreji, najniže je drvo roda *Castanea*, dostiže visinu do 12 m. Prirodno je nastanjen u severnoj i zapadnoj Kini. Srednje veličine jezgra (66 jezgara/kg), dobrog kvaliteta. Daje plodove u ranoj dobi (trogodišnje), a plodovi su ukusniji od ostalih vrsta. Najrezistentnije je vrsta u odnosu na *Cryphonectria parasitica* i *Phytophtora cambivora*<sup>200</sup>.

### *Castanea sativa*

Evropski kesten prirodno raste u planinskim predelima zapadne Azije, Evrope i Severne Afrike. Jako je tolerantan na uslove gajenja i kada uslovi nisu adekvatni. Plod je znatno veći od američkog kestena. Kvalitet orašice se jako razlikuje, u zavisnosti od varijeteta.

Pored čistih vrsta, gaje se i pojedini hibridi različitih vrsta. Među pojedinim vrstama i kultivarima postoje razlike u prinosu, nutritivnoj vrednosti, kao i drugim osobinama. **Marun** je velika, oplemenjena sorta pitomog kestena nastala kalemljenjem plemkama maruna. U Hrvatskoj ga ima mnogo po obroncima Učke, najviše u okolini Lovrana i Opatije, pa se u ovim krajevima još naziva i "lovranski marun"<sup>201</sup>. Za lovranski marun se smatra da je dobijen ukrštanjem divljeg kestena i sadnica koje su lovranski mornari doneli iz neke od zemalja Dalekog istoka, najverovatnije Japana. Marun je izgledom veći, svetlije ljuske, koja se lako odvaja, i sladi je od običnog kestena. U Italiji su maruni posebna sorta, sa plodovima odličnog kvaliteta, čija su stabla jako zahtevna i manje produktivna u odnosu na "obične" vrste kestena.

Kesten ima izuzetne hortikulturne mogućnosti za proizvodnju jestivog orašastog voća *Castanea* vrste. Pored toga, predstavlja izvor drveta i drugih šumskih proizvoda važnih za zaštitu čovekove sredine, kao što su uređenje prostora i zaštitu zemljišta od erozije.

Vrste koje se koriste za jelo su:

- *C. sativa* (evropski ≈ španski ≈ slatki kesten);
- *C. mollisima*, najvažnija vrsta za proizvodnju plodova;
- *C. crenata*, koji daje velike plodove.

Svetska godišnja proizvodnja kestena iznosi 540.000 t. Najveću proizvodnju kestena u svetu imaju Južna Koreja 119.790 t (*C. crenata*) i Kina 118.000 t (*C. mollisima*). U Evropi su najveći proizvođači: Italija sa 78.420 t, zatim Turska 70.000 t, Portugalija 20.000 t i Francuska 12.600 t<sup>194</sup>.

#### 2.10.3. Hemijski sastav

Plod kestena kao hrana ima visoku energetsку vrednost (200 kcal/100 g pečenog kestena). Međutim, to je i dalje mnogo niži sadržaj kalorija u odnosu na drugo suvo orašasto voće, koje sadrži oko 600 kcal/100 g<sup>202</sup>. Plodovi oraha, lešnika i badema, kao glavni sastojak imaju masno ulje, dok je glavni sastojak kestena skrob. Pored toga, u kestenu ima šećera, blizu 4% proteina, oko 2% masti, a svega oko 5 mg% vitamina C.

Za razliku od većine voća koja daju pulpu (jabuke, kajsije), sadržaj vode u kestenu je nizak, iznosi 52,9% u svežem i 10% u suvom kestenu, dok je sadržaj vode u jabuci 84,8% (tabela 10). Svež kesten ima visoku energetsku vrednost (160 kcal/100 g), zadovoljavajući sadržaj hranljivih vlakana (7-8%), izuzetan sadržaj ugljenih hidrata (oko 35%), visok sadržaj proteina i nizak sadržaj masti<sup>194</sup>.

**Tabela 10.** Hemijski sastav ploda kestena

<b>Komponenta</b>	<b>Sirov</b>	<b>Suv</b>	<b>Pečen</b>	<b>Kuvan</b>	<b>Brašno</b>
Jestivi deo (%)	81	100	82	88	100
Voda (%)	52,9	10,1	42,4	63,3	11,4
Energetska vrednost (kcal/100g)	160	287	200	120	343
Hranljivi elementi (g/100 g)					
Ugljeni hidrati	34,0	57,8	39	24,4	63,3
Šećeri	9,6	16,1	10,7	7,5	23,6
Skrob	24,4	41,7	28,3	16,9	40
Hranljiva vlakna (g/100 g)					
Ukupna	7,3	13,8	8,3	5,4	14,2
Rastvorljiva	0,6	1,1	0,7	0,6	1
Nerastvorljiva	6,7	12,7	7,6	4,8	13,2
Proteini (g/100 g)	3,2	6	3,7	2,5	6,1
Masti (g/100 g)	1,8	3,4	2,4	1,3	3,7

Sadržaj ugljenih hidrata (šećera i skroba), dominira u odnosu na druge hranjive sastojke (34 g/100 g). Skrob je prisutan u značajnom iznosu (24,4 g/100g), što ga u poređenju sa sirovim krompirom (15,9 g/100 g) i pasuljem (19,5 g/100 g), čini glavnim izvorom skroba u ishrani<sup>203</sup>. Upotreba kestena je znatno manja u odnosu na krompir, pasulj i druge mahunarke. Kako ugljene hidrate kestena uglavnom čine polisaharidi (skrob se razgrađuje do glukoze pre nego što se asimiliara), to ograničava upotrebu jednostavnih šećera, posebno saharoze, na 7-8% ukupnog energetskog unosa. Zbog toga je kesten izvrstan izvor energije, pogotovo kod stanja iscrpljenosti i stresa, a ne preporučuje se dijabetičarima. Alergije na laktuzu, naročito kod dece, su sve češće, pa se kao alternativno rešenje preporučuje kestenovo brašno<sup>204</sup>. Monosaharidi daju kestenu karakterističan sladak ukus. Generalno, voće sa visokim sadržajem skroba zahteva pečenje ili kuvanje, da bi tekstura i aroma došli do punog izražaja.

Biljna vlakna (7,3 g/100 g), sastoje se od nerastvornog dela, koji preovlađuje u odnosu na rastvoran. Ovaj parametar je važan za strukturne osobine semena, koje ga čine prihvatljivim za upotrebu. Vlakna se sastoje uglavnom od polisaharida koji se ne mogu asimilirati u telu, međutim znatno pomažu u prevenciji intestinalnih problema, dok u isto vreme snižavaju sadržaj holesterola. Kesten je veoma lako svarljiv. Sadržaj proteina (3,2 g/100 g), ekvivalentan je sadržaju proteina u mleku. Proteini su najvišeg kvaliteta, jer sadrže esencijalne amino kiseline, triptofan i lizin, kao i amino kiseline koje sadrži sumpor, metionin i cistin. Uporediv je sa sadržajem proteina u jajima, gde je njihov odnos u idealnoj ravnoteži<sup>205</sup>. Tako kesten izvrsno upotpunjuje one materije koje nedostaju povrću.

Orašasto voće je izuzetno bogato u mastima, međutim kesten ima relativno nizak sadržaj masti (1,8-2 g/100 g), što ga čini idealnim za primenu u dijetama gde se preporučuje visok sadržaj ugljenih hidrata, a nizak sadržaj masti, kao i u cilju smanjenja rizika nastajanja raka i kardiovaskularnih bolesti. Iako je sadržaj masti nizak, njihov sastav je jako kvalitetan. Kesten ima nizak sadržaj "loših" zasićenih masti i dosta "dobrih" nezasićenih masti. Ne sadrži holesterol, a dragocen je izvor esencijalnih masnih kiselina (posebno linolne kiseline), koja je značajna u prevenciji srčanih oboljenja<sup>206</sup>.

U tabeli 11 su date nutritivne vrednosti kestena u poređenju sa jabukom.

**Tabela 11.** Nutritivan sastav ploda kestena u poređenju sa jabukom (/100 g sveže mase)

Sastojak	Kesten	Jabuka
Voda (%)	52,5	84,8
Proteini (g)	2,9	0,2
Masti (g)	1,5	0,6
Ugljeni hidrati (g)	42,1	14,1
Tiamin (mg)	0,22	0,03
Riboflavin (mg)	0,22	0,02
Niacin (mg)	0,6	0,1
Kalcijum (mg)	27	7
Fosfor (mg)	88	10
Gvožđe (mg)	1,7	0,3
Natrijum (mg)	6	1
Kalijum (mg)	454	110

Kesten ima visok sadržaj kalijuma, elementa koji doprinosi mišićnoj kontrakciji i radu srca. Druge mineralne materije su prisutne u manjoj meri (kalcijum, magnezijum, gvožđe i fosfor) (tabela 12). Sadržaj hidrosolubilnih vitamina (B<sub>1</sub> i B<sub>2</sub>) je mali.

**Tabela 12.** Mikroelementi kestena (mg/100 g sveže mase)

Tip	K	Fe	Ca	P	Tiamin vitamin B <sub>1</sub>	Riboflavin vitamin B <sub>2</sub>	Niacin	Vitamin A
Kesten sirov	395	0,9	30	81	0,08	0,28	1,1	0
Kesten suv	738	1,9	56	131	0,2	0,5	2,1	0
Kesten brašno	847	3,2	50	164	0,2	0,4	1,0	0

Sirov oljušten kesten ima mali sadržaj flavonoida. Sadržaj flavonoida u sirovom oljuštenom kestenu iznosi 0,01 mg/100 g (+)-catehina i (+)-galokatehina, dok ostali flavan-(3)-oli, (-)-epikatehin, (-)-epikatehin 3-galat, (-)-epigalokatehin i (-)-epigalo-katehin 3-galat nisu detektovani.<sup>207</sup>

#### 2.10.4. Kesten kao lekovita biljka



U Hilandarskom medicinskom kodesku broj 517 (XV vek), koji se smatra prvim medicinskim delom kod Srba, odnosno prvom srpskom farmakopejom, pominje se upotreba kestena. U delu o zaraznim bolestima se preporučuje rekonvalescentima, da nakon zaraznih bolesti uzimaju, radi jačanja, hranu od plodova kestena sa limunom i pomorandžom.

**Drvo, kora i ježevica** imaju visok procenat tanina, pa služe kao adstrigensi i odlično sredstvo protiv katara pluća. Sa 10% vlage, kora drveta sadrži oko 6,8%, a drvo 13,4% tanina<sup>208</sup>. Tonik kore *C. pumila* se koristi kao okrepljujuće sredstvo i adstrigens<sup>209</sup>. Od svih domaćih sirovina za dobijanje taninskog ekstrakta, pitomi kesten je najekonomičniji, jer sadrži najviše taninskih materija<sup>210</sup>.



**Listovi i kora** deluju antiinflamatorno, kao ekspektoransi i tonici<sup>211</sup>. **Seme** se koristi u pedijatriji za tretman gastroenteritisa i primene dijete bez glutena<sup>212</sup>. Još se u Srednjem veku sveže seme koristilo za tretman srčanih smetnji<sup>213</sup>.



**Lišće** se koristi u vidu infuza, ekstrakta i tinkture. Prikuplja se juna i jula kada je u najboljem stanju i suši. Može se koristiti i sveže. Lišće je bez mirisa, ali adstringentnog ukusa. Infuz dobijen od suvog lišća (*Extractum Castanea fluidum*) deluje efikasno na iritabilno i ekscitirajuće stanje respiratornog nerva i protiv upale grla<sup>214, 215</sup>.

U listu kestena, pored tanina ima i pektina, fitosterina, flabofena, kao i drugih supstanci. Veoma značajan sastojak lista je vitamin K, jer pospešuje zaustavljanje krvarenja<sup>216</sup>. Lišće se koristiti i za tretman reumatizma, u slučaju manjih bolova u leđima, kao i ukočenosti mišića i zglobova. Čaj od kestena je odlično sredstvo protiv katara pluća i bronhijalne astme. Infuz od 1 kašike suvog lišća i 1 dl ključale vode se uzima 3-5 puta dnevno, po 1 kašiku. Smatra se da je velika efikasnost čaja rezultat prisustva kodeina<sup>212</sup>. Ekstrakti lišća kestena imaju osim izraženog antibakterijskog efekta<sup>4</sup> i dobar antioksidativni potencijal<sup>83</sup>. Allona i sar.<sup>217</sup> su utvrđili antifungalnu aktivnost kestena u odnosu na *Trichoderma viride*.

Ispitujući lekovite biljke koje se tradicionalno koriste u Italiji za lečenje životinja<sup>218</sup>, Viegi i sar.<sup>219</sup> navode upotrebu *C. sativa* u ishrani svinja, da bi one bile robusnije i izdržljivije.

### **3. REZULTATI I DISKUSIJA**

U okviru ove disertacije, radi ispunjavanja prethodno postavljenih zadataka, bilo je neophodno izvršiti karakterizaciju polaznog biljnog materija, delova ploda kestena: oljušten kesten, tj. srž ploda, braon spoljna i crvena unutrašnja kora ploda, ceo plod (bez ježevica), kao i drveta: lišća, rese, ježevice, stare i mlade kora stabla. Pored toga, trebalo je raspolagati odgovarajućim analitičkim metodama za određivanje kvalitativnog i kvantitativnog sastava dobijenih ekstrakata kestena.

Iz ovih razloga istraživanja obuhvaćena ovom disertacijom su podeljena na sledeće segmente:

- dobijanje ekstrakata kestena ekstrakcijom različitih delova ploda i drveta upotrebom 50% etanola i 50% acetona kao ekstragensa, određivanje srednjeg prečnika čestica i prinosa suvog ekstrakta, utvrđivanje hemijskog sastava, primena standardnih spektrofotometrijskih metoda za određivanje sadržaja fenolnih jedinjenja, flavonoida i kondenzovanih tanina;
- određivanje kapaciteta ekstrakata u zaštiti eritrocita od hemolize;
- kvalitativna i kvantitativna analiza fenolnih materija HPLC/DAD i HPLC/MS analizom;
- EPR-a ispitanje antioksidativne aktivnosti ekstrakata u odnosu na DPPH, hidroksi i superoksid anjon radikale, kapacitet ekstrakata za uklanjanje lipidne peroksidacije, transformaciju organskih hidrofilnih radikala, kao i transformaciju hidroksi i superoksid anjon radikala generisanih UV zračenjem;
- uticaj ekstrakata na preveniranje/uklanjanje lipidne peroksidacije membrane eritrocita, kao i uticaj ekstrakata na zaštitu membranskog integriteta eritrocita merenjem sadržaja kalijuma, upotrebom EPR tehnike;
- *in vitro* antioksidativna svojstva ekstrakata;
- ispitivanje antimikrobne aktivnosti ekstrakata.

Analizom dobijenih rezultata istraživanja izdvojeni su ekstrakti sa značajnim farmakološkim delovanjem, odnosno definisan je deo pitomog kestena sa najviše farmakoterapijskih komponenti. Pored toga, predložen je pogodan tehnološki postupak za dobijanje kvalitetnog proizvoda.

#### **3.1. DOBIJANJE I ISPITIVANJE HEMIJSKOG SASTAVA EKSTRAKATA KESTENA**

Nakon pripreme biljnog materijala, određivanja srednjeg prečnika čestica i ekstrakcije, izvršene su hemijske i instrumentalne analize dobijenih ekstrakata *C. sativa*.

##### **3.1.1. Srednji prečnik čestica i prinos suvog ekstrakta kestena**

Rezultati prinosa suvog ekstrakta, za tri ispitivana kultivara kestena roda 2006. godine su dati u tabelama 13, 14 i 15. Detaljna ispitivanja su izvršena na pitomom

kestenu, a za druga dva kultivara su ispitivani samo pojedini delovi ploda i drveta. Izbor vrste i najpovoljnije koncentracije ekstragensa izvršen je u skladu sa literaturnim podacima<sup>129-131</sup>.

**Tabela 13.** Prinos suvog ekstrakta za pitomi kesten (rod 2006. godine)

Delovi kestena	Ekstragens	
	50% ac*	50% et**
	Prinos suvog ekstrakta, %(m/m)	
Ceo plod***	14,94±0,086	7,09±0,091
Srž ploda	13,70±0,075	12,79±0,092
Spoljna braon kora ploda	3,30±0,045	3,30±0,083
Crvena unutrašnja kora ploda	-	6,79±0,077
Resa	25,09±0,939	10,04±0,046
List	19,83±0,083	4,94±0,038
Mlada kora drveta	12,48±0,079	7,84±0,073
Stara kora drveta	8,17±0,069	3,40±0,089
Ježevice	7,50±0,076	1,82±0,066

\*ac - aceton

\*\*et - etanol

\*\*\*ceo plod – srž ploda + crvena unutrašnja + spoljna braon kora ploda

**Tabela 14.** Prinos suvog ekstrakta za lovranski marun (rod 2006. godine)

Delovi kestena	Ekstragens	
	50% ac	50% et
	Prinos suvog ekstrakta, %(m/m)	
Ceo plod	8,28±0,096	5,78±0,066
Srž ploda	15,38±0,107	5,51±0,096
Spoljna braon kora ploda	3,38±0,054	7,13±0,034
Crvena unutrašnja kora ploda	15,45±0,093	13,32±0,096
List	23,22±0,124	7,03±0,063

**Tabela 15.** Prinos suvog ekstrakta za kalemljeni italijanski marun (rod 2006. godine)

Delovi kestena	Ekstragens	
	50% ac	50% et
	Prinos suvog ekstrakta, %(m/m)	
Ceo plod	8,21±0,096	6,68±0,035
Resa	33,56±0,172	10,58±0,078
List	22,08±0,110	6,18±0,045

Srednji prečnik čestica se kreće od 0,18 mm za list pitomog kestena i crvenu unutrašnju kora ploda lovanskog maruna do 0,40 mm za spoljnu braon koru ploda pitomog kestena.

U zavisnosti od dela kestena prinos suvog ekstrakta primenom 50% acetona kao ekstragensa iznosi od 3,30% za spoljnu braon koru ploda pitomog kestena, do 33,56% za resu kalemljenog italijanskog maruna. Za ekstrakte dobijene ekstrakcijom sa 50% etanolom, najmanji prinos suvog ekstrakta (1,82%) je određen za ježevice, dok je najveći prinos 13,32% dobijen za crvenu unutrašnju koru ploda lovanskog maruna.

U tabeli 16 je dat procentualni sastav ploda pitomog kestena i lovanskog maruna.

**Tabela 16.** Sastav ploda kestena (rod 2006. godine)

Delovi ploda	Kultivari	
	Pitomi kesten	Lovranski marun
	Sastav ploda, %(m/m)	
Srž ploda	68,9±0,319	70,45±0,521
Spoljna braon kora ploda	24,41±0,107	21,03±0,178
Crvena unutrašnja kora ploda	6,68±0,047	8,52±0,065
Kora (spoljna + unutrašnja)	31,1±0,077	29,55±0,122

Odnos srži i kore ploda pitomog kestena i lovanskog maruna je sličan (70% : 30%).

Prinosi suvog ekstrakta rese i lista ispitivanih kultivara kestena roda 2007. godine, dati su u tabeli 17. Uzorci su usitnjeni do sitnog i vrlo sitnog praška (veličina čestica se kreće od 0,25 mm za list pitomog kestena i kalemljenog italijanskog maruna do 0,32 mm za resu pitomog kestena).

**Tabela 17.** Srednji prečnik čestica i prinos suvog ekstrakta (rod 2007. godine)

Delovi kestena	Ekstragens	
	50% ac	50% et
	Prinos suvog ekstrakta, %(m/m)	
<b>Pitomi kesten</b>		
Resa	23,53±0,121	9,33±0,045
List	22,78±0,098	14,19±0,063
<b>Lovranski marun</b>		
Resa	9,70±0,054	7,67±0,039
List	17,88±0,087	5,01±0,073
<b>Kalemljeni italijanski marun</b>		
List	24,53±0,015	13±0,036

Upotrebom 50% acetona kao ekstragensa, najmanji prinos suvog ekstrakta (9,70%) dobijen je za resu lovanskog maruna, a najveći (24,53%) za list kalemljenog italijanskog maruna. Za uzorke dobijene 50% etanolom, prinos suvog ekstrakta se kreće od 5,01% za list lovanskog maruna do 14,19% za list pitomog kestena.

Prinosi suvog ekstrakta su veći upotrebom 50% acetona kao ekstragensa u odnosu na 50% etanol.

Utvrđen je sledeći redosled prinosa suvog ekstrakta u zavisnosti od analiziranog dela kestena, uz primenu oba ekstragensa:

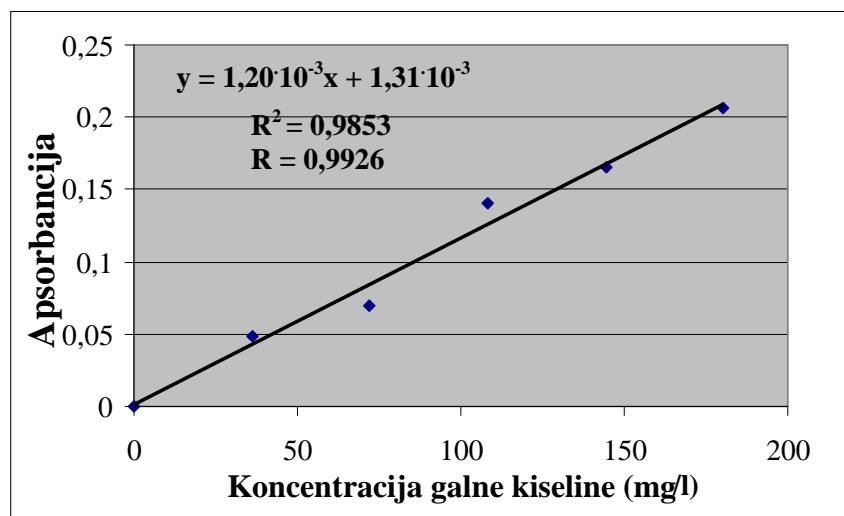
resa > list > srž ploda > ceo plod > crvena unutrašnja kora ploda >  
mlada kora drveta > stara kora drveta > spoljna braon kora ploda > ježevice.

### **3.1.2. Određivanje ukupnih fenolnih jedinjenja, flavonoida i kondenzovanih tanina**

U dobijenim ekstraktima ispitivanih delova *C. sativa* određeni su sadržaji ukupnih fenola, flavonoida i kondenzovanih tanina primenom spektrofotometrijskih metoda<sup>129, 145-154</sup>.

#### **3.1.2.1. Standardni dijagram za određivanje ukupnih fenola**

U cilju određivanja sadržaja ukupnih fenola izrađen je standardni dijagram zavisnosti apsorbancije od koncentracije galne kiseline (slika 19).



**Slika 19.** Standardni dijagram za galnu kiselinu

Na osnovu dobijenih vrednosti apsorbancija i prikazane jednačine, sadržaj ukupnih fenolnih jedinjenja ( $X_1$ ) je izražen kao ekvivalent galne kiseline (GAE), u mg GAE/g suvog ekstrakta.

$$X_1 = \frac{A - 1,31 \cdot 10^{-3}}{1,20 \cdot 10^{-3}} \quad (6)$$

gde je:

$X_1$  - sadržaj ukupnih fenola u uzorku, sračunat kao mg GAE/g suvog ekstrakta;

A – apsorbancija rastvora.

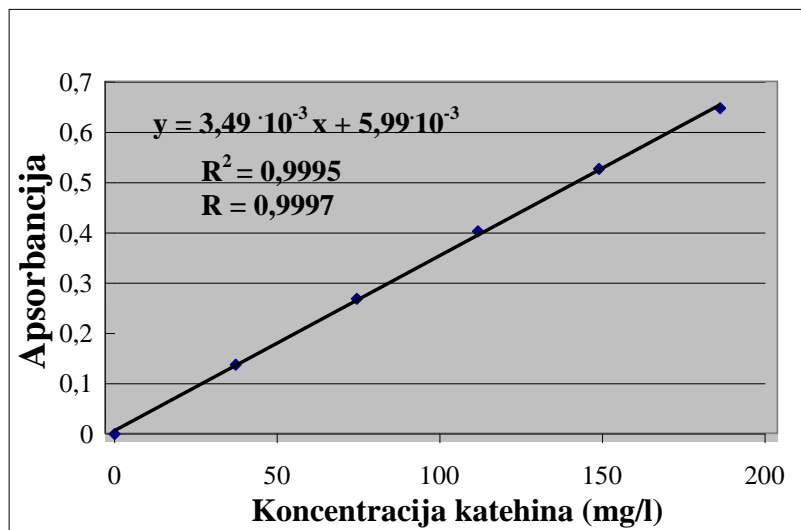
Ispitivani ekstrakti *C. sativa* rastvoreni su u metanolu u finalnoj koncentraciji 1 mg/ml.

Sadržaj ukupnih fenola u drogi ( $Y_1$ ), izražen kao mg GAE/100 g droge, se dobija kada se sadržaj ukupnih fenolnih jedinjenja u uzorku ( $X_1$ ) pomnoži sa prinosom suvog ekstrakta ( $Y$ ):

$$Y_1 = X_1 \cdot Y \quad (7)$$

### 3.1.2.2. Standardni dijagram za određivanje ukupnih flavonoida

Sadržaj ukupnih flavonoida je određen iz standardnog dijagraama zavisnosti apsorbancije od koncentracije (+)-katehina (slika 20).



Slika 20. Standardni dijagram za katehin

Na osnovu dobijenih vrednosti apsorbancija i prikazane jednačine izračunat je sadržaj ukupnih flavonoida ( $X_2$ ) i izražen kao ekvivalent katehina (CE) u mg CE/g suvog ekstrakta:

$$X_2 = \frac{A - 5,99 \cdot 10^{-3}}{3,49 \cdot 10^{-3}} \quad (8)$$

gde je:

$X_2$  – sadržaj ukupnih flavonoida u uzorku, sračunat kao mg CE/g suvog ekstrakta;

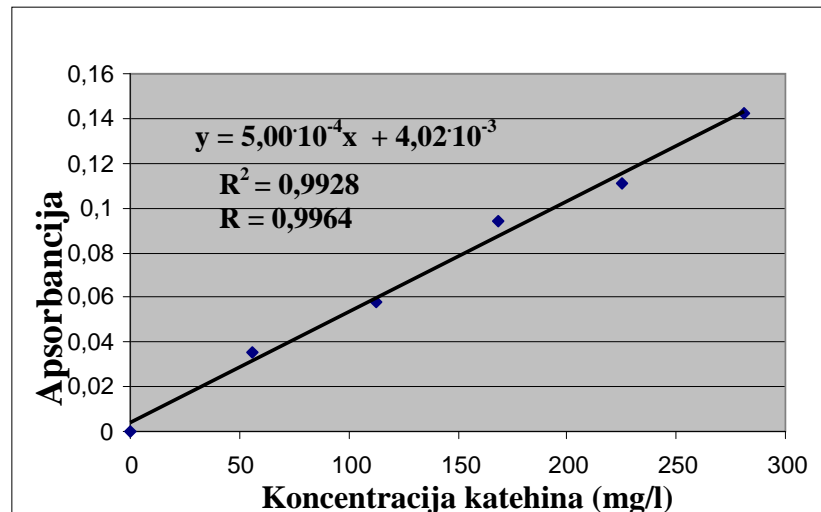
$A$  – apsorbancija rastvora.

Kada se sadržaj ukupnih flavonoida u uzorku ( $X_2$ ) pomnoži sa prinosom suvog ekstrakta ( $Y$ ), dobija se sadržaj ukupnih flavonoida ( $Y_2$ ), izražen kao mg CE/100 g droge:

$$Y_2 = X_2 \cdot Y \quad (9)$$

### 3.1.2.3. Standardni dijagram za određivanje kondenzovanih tanina vanilin testom

U cilju određivanja sadržaja kondenzovanih tanina primenom vanilin testa izrađen je standardni dijagram zavisnosti apsorbancije od koncentracije katehina (slika 21).



**Slika 21.** Standardni dijagram za katehin (vanilin test)

Na osnovu dobijenih vrednosti apsorbancija i prikazane jednačine, sadržaj kondenzovanih tanina ( $X_3$ ) je izražen kao ekvivalent katehina (CE), u mg CE/g suvog ekstrakta:

$$X_3 = \frac{A - 4,02 \cdot 10^{-3}}{5,00 \cdot 10^{-4}} \quad (10)$$

gde je:

$X_3$  – sadržaj kondenzovanih tanina u uzorku, izražen kao mg CE/g suvog ekstrakta;

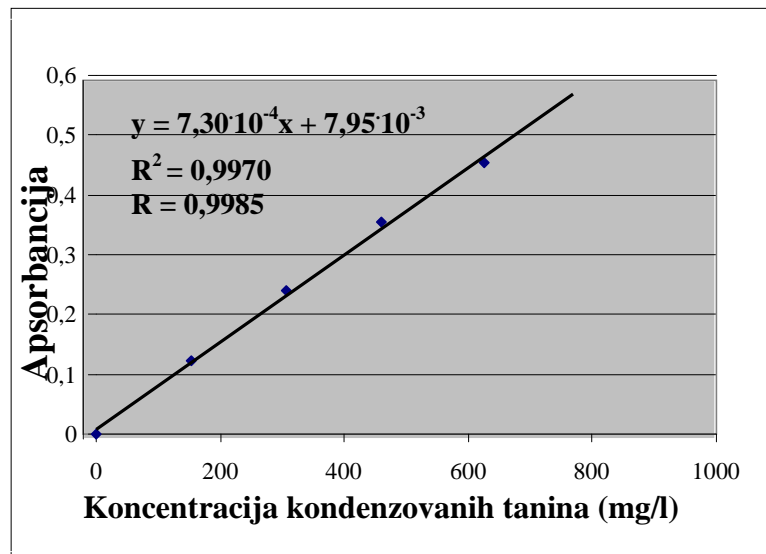
$A$  – apsorbancija rastvora.

Sadržaj kondenzovanih tanina dobijen vanilin testom ( $X_3$ ) se množi sa prinosom suvog ekstrakta ( $Y$ ) i dobija se sadržaj kondenzovanih tanina ( $Y_3$ ), izražen u mg CE/100 g droge:

$$Y_3 = X_3 \cdot Y \quad (11)$$

### 3.1.2.4. Standardni dijagram za određivanje kondenzovanih tanina kiselim butanolnim testom

Kondenzovani tanini – proantocijanidini, korišćeni za izradu standardnog dijagrama za kiseli butanolni test (slika 22), dobijeni su iz ekstrakta lista kestena prečišćavanjem sa 50% acetonom na koloni sa Sephadex-om.



**Slika 22.** Standardni dijagram za kondenzovane tanine – proantocijanidine (kiseli butanolni test)

Sadržaj kondenzovanih tanina ( $X_4$ ) izražen kao ekvivalent kondenzovanih tanina (CT), u mg CT/g suvog ekstrakta se dobija na osnovu vrednosti apsorbancija i prikazane jednačine:

$$X_4 = \frac{A - 7,95 \cdot 10^{-3}}{7,30 \cdot 10^{-4}} \quad (12)$$

gde je:

$X_4$  – sadržaj kondenzovanih tanina u uzorku, izražen kao mg CT/g suvog ekstrakta;

$A$  – apsorbancija rastvora.

Množenjem sadržaja kondenzovanih tanina u uzorku ( $X_4$ ) sa prinosom suvog ekstrakta (Y), dobija se sadržaj kondenzovanih tanina ( $Y_4$ ) u drogi, izražen u mg CT/100 g droge:

$$Y_4 = X_4 \cdot Y \quad (13)$$

### 3.1.3. Sadržaj ukupnih fenola i flavonoida

Za kultivare kestena roda 2006. godine, prinos ukupnih fenola i flavonoida je dat u tabelama 18, 19 i 20.

**Tabela 18.** Sadržaj ukupnih fenola i flavonoida u različitim delovima pitomog kestena (rod 2006. godine)

Delovi kestena	Ekstragens					
	50% ac	50% et	50% ac	50% et	50% ac	50% et
	Sadržaj fenola (%GAE)*		Sadržaj flavonoida (%CE)**		Ukupni flavonoidi Ukupni fenoli x100 (%)	
Ceo plod	1,22±0,104	0,42±0,067	0,49±0,046	0,17±0,008	40	40
Srž ploda	1,00±0,093	0,59±0,029	0,02±0,009	0,07±0,003	2,0	11,86
Spoljna braon kora ploda	1,07±0,109	1,19±0,126	0,43±0,086	0,65±0,021	40,18	54,62
Crvena unutrašnja kora ploda	-	2,82±0,063	-	1,44±0,096	-	51,06
Resa	10,16±0,291	3,28±0,154	2,45±0,157	0,60±0,031	24,11	18,29
List	6,89±0,194	1,40±0,011	1,50±0,073	0,33±0,008	21,77	23,57
Mlada kora drveta	5,38±0,201	3,00±0,078	1,38±0,059	0,75±0,069	25,65	25,00
Stara kora drveta	3,21±0,247	1,70±0,097	2,12±0,046	0,69±0,056	66,04	40,58
Ježevice	1,06±0,086	0,49±0,023	0,67±0,025	0,13±0,017	63,20	26,53

\*%GAE – g galne kiseline/100 g droge

\*\*%CE – g katehina/100 g droge

**Tabela 19.** Sadržaj ukupnih fenola i flavonoida u različitim delovima lovranskog maruna (rod 2006. godine)

Delovi kestena	Ekstragens					
	50% ac	50% et	50% ac	50% et	50% ac	50% et
	Sadržaj fenola (%GAE)		Sadržaj flavonoida (%CE)		Ukupni flavonoidi Ukupni fenoli x100 (%)	
Ceo plod	0,93±0,086	0,67±0,045	0,50±0,034	0,16±0,010	53,76	23,88
Srž ploda	0,60±0,045	0,11±0,009	0,02±0,008	0,02±0,011	3,33	18,18
Spoljna braon kora ploda	1,53±0,073	3,24±0,023	0,87±0,092	1,06±0,056	56,86	32,71
Crvena unutrašnja kora ploda	6,08±0,175	6,16±0,145	2,03±0,074	1,62±0,099	33,39	26,29
List	11,05±0,252	2,43±0,056	2,26±0,049	0,61±0,024	20,45	25,10

**Tabela 20.** Sadržaj ukupnih fenola i flavonoida u različitim delovima kalemljenog italijanskog maruna (rod 2006. godine)

Delovi kestena	Ekstragens					
	50% ac	50% et	50% ac	50% et	50% ac	50% et
	Sadržaj fenola (%GAE)		Sadržaj flavonoida (%CE)		$\frac{\text{Ukupni flavonoidi}}{\text{Ukupni fenoli}} \times 100 (\%)$	
Ceo plod	0,82±0,045	0,41±0,031	0,38±0,043	0,24±0,032	46,34	58,53
Resa	11,42±0,056	3,96±0,012	2,19±0,069	0,83±0,056	19,18	20,96
List	6,45±0,079	1,71±0,065	1,68±0,085	0,42±0,039	26,04	24,56

Sadržaj ukupnih fenola dobijen upotrebom 50% acetona kao ekstragensa se kreće od 0,60 %GAE za ekstrakt srži ploda lovranskog maruna do 11,42 %GAE za resu kalemljenog italijanskog maruna. Korišćenjem 50% etanola kao ekstragensa, najmanji sadržaj ukupnih fenola je dobijen za srž ploda lovranskog maruna (0,11 %GAE), a najveći (3,96 %GAE) za resu kalemljenog italijanskog maruna.

Najmanji sadržaj ukupnih flavonoida uz ekstragens 50% aceton (0,02 %CE) ima srž ploda pitomog kestena i lovranskog maruna, a najveći (2,45 %CE) resa pitomog kestena. Sadržaj ukupnih flavonoida (ekstragens 50% etanol) se kreće od 0,02 %CE za srž ploda lovranskog maruna do 1,62 %CE za crvenu unutrašnju koru ploda lovranskog maruna.

Rezultati sadržaja ukupnih fenola i flavonoida u ekstraktima kestena, roda 2007. godine su dati u tabeli 21.

**Tabela 21.** Sadržaj ukupnih fenola i flavonoida u različitim delovima kultivara kestena (rod 2007. godine)

Delovi kestena	Ekstragens					
	50% ac	50% et	50% ac	50% et	50% ac	50% et
	Sadržaj fenola (%GAE)		Sadržaj flavonoida (%CE)		$\frac{\text{Ukupni flavonoidi}}{\text{Ukupni fenoli}} \times 100 (\%)$	
<b>Pitomi kesten</b>						
Resa	9,79±0,096	3,98±0,011	2,67±0,069	0,96±0,013	27,27	24,12
List	8,16±0,102	4,03±0,035	1,99±0,043	1,51±0,075	24,39	37,46
<b>Lovranski marun</b>						
Resa	6,96±0,061	3,43±0,079	0,75±0,043	0,62±0,016	10,76	18,08
List	4,49±0,081	2,55±0,063	1,82±0,045	0,72±0,033	40,53	28,23
<b>Kalemljeni italijanski marun</b>						
List	15,22±0,106	4,42 ±0,059	3,48±0,055	1,10±0,046	22,86	24,89

Najmanji odnos ukupni flavonoidi/ukupni fenoli je dobijen za ekstrakt srži pitomog kestena (2%), a najveći za staru koru drveta 66,04% i ježevice 63,20% (u svim slučajevima je kao ekstragens korišćen 50% aceton). Srž ploda kestena ima niske vrednosti odnosa ukupnih flavonoida/ukupnih fenola (tabele 18 i 19). Poznato je da sirov oljušten kesten sadrži malo flavonoida<sup>207</sup>. Veće vrednosti odnosa ukupni flavonoidi/ukupni fenoli su dobijene za staru koru drveta, spoljnu braon koru i crvenu

unutrašnju koru ploda. Za ekstrakte čvrstih delova su pored visokih ukupnih flavonoida dobijene i veće vrednosti ukupnih fenola. Veći prosečan sadržaj ukupnih fenola, flavonoida i odnosa ukupni flavonoidi/ukupni fenoli je dobijen upotrebom 50% acetona kao ekstragensa u poređenju sa 50% etanolom.

Na osnovu dobijenih rezultata može se ustanoviti sledeći redosled sadržaja ukupnih fenola i flavonoida (primenom oba ekstragensa):

crvena unutrašnja kora ploda > resa > list > mlada kora drveta > stara kora drveta >  
spoljna braon kora ploda > ceo plod > ježevice > srž ploda.

Poređenjem sadržaja ukupnih fenola i flavonoida odgovarajućih uzorka roda 2006. i 2007. godine utvrđeno je da su veće vrednosti dobijene 2007. godine u odnosu na 2006. godinu primenom oba ekstragensa. Flavonoidi se formiraju u biljci i učestvuju u svetloj fazi fotosinteze tokom koje katalizuju prenos elektrona<sup>12</sup>. Sinteza flavonoida se može stimulisati UV zračenjem, interakcijama izazvanim mikroorganizmima, ali i hemijski stres može biti stimulans. Na stvaranje fenolnih materija utiču pored svetlosti, temperatura, zemljište i drugi faktori.

### 3.1.4. Sadržaj ukupnih kondenzovanih tanina

Sadržaj ukupnih kondenzovanih tanina za ekstrakte kestena roda 2006. godine je dat u tabelama 22, 23 i 24.

**Tabela 22.** Sadržaj kondenzovanih tanina u različitim delovima pitomog kestena (rod 2006. godine)

Delovi kestena	Ekstragens			
	50% ac	50% et	50% ac	50% et
			Kondenzovani tanini (%CE)*	Kondenzovani tanini (%CT)**
Ceo plod	0,87±0,052	0,39±0,022	2,75±0,059	0,88±0,023
Srž ploda	0	0	0,09±0,018	0
Spoljna braon kora ploda	2,29±0,087	2,78±0,093	2,88±0,054	1,67±0,058
Crvena unutrašnja kora ploda	-	15,29±0,282	-	3,12±0,085
Resa	0,35±0,020	0,49±0,042	2,35±0,084	0,95±0,082
List	0	0	0,93±0,037	0,08±0,007
Mlada kora drveta	6,64±0,069	3,91±0,063	4,15±0,091	1,89±0,081
Stara kora drveta	1,51±0,074	0,76±0,045	1,89±0,063	0,58±0,034
Ježevice	0,09±0,007	0	0,25±0,009	0,08±0,008

\*%CE – g katehina/100 g droge – vanilin test

\*\* %CT – g kondenzovanih tanina/100 g droge

**Tabela 23.** Sadržaj kondenzovanih tanina u različitim delovima lovranskog maruna (rod 2006. godine)

Delovi kestena	Ekstragens			
	50% ac	50% et	50% ac	50% et
	Kondenzovani tanini (%CE)		Kondenzovani tanini (%CT)	
Ceo plod	1,63±0,083	0,32±0,020	1,62±0,081	0,97±0,022
Srž ploda	0	0	0,08±0,008	0,04±0,005
Spoljna braon kora ploda	3,09±0,073	8,64±0,216	3,03±0,081	5,63±0,104
Crvena unutrašnja kora ploda	27,29±0,164	23,93±0,154	6,13±0,108	11,37±0,094
List	0	0	0,78±0,023	0,07±0,006

**Tabela 24.** Sadržaj kondenzovanih tanina u različitim delovima kalemljenog italijanskog maruna (rod 2006. godine)

Delovi kestena	Ekstragens			
	50% ac	50% et	50% ac	50% et
	Kondenzovani tanini (%CE)		Kondenzovani tanini (%CT)	
Ceo plod	1,11±0,067	0,83±0,045	1,88±0,049	0,74±0,053
Resa	2,34±0,077	0,44±0,021	1,42±0,076	1,46±0,039
List	0	0	2,89±0,083	0,11±0,032

Korišćenjem vanilin testa kondenzovani tanini nisu detektovani u ekstraktima lista i srži ploda ispitivanih kultivara, uz primenu oba ekstragensa. Najveći prinos kondenzovanih tanina vanilin testom dobijen je za ekstrakt crvene unutrašnje kore ploda lovranskog maruna 27,29 %CE (50% acetona), odnosno 23,93 %CE, kada je 50% etanol primenjen kao ekstragens.

Najmanji prinos kondenzovanih tanina određen kiselim butanolnoim testom uz primenu 50% acetona kao ekstragensa iznosi 0,08 %CT za srž ploda, dok je najveći dobijen za crvenu unutrašnju koru ploda lovranskog maruna (6,13 %CT). Kiselim butanolnim testom kondenzovani tanini nisu detektovani u ekstraktu (ekstragens 50% etanol) srži ploda pitomog kestena, a najveći prinos ovih jedinjenja (11,37%CT) dobijen je za crvenu unutrašnju koru ploda lovranskog maruna.

Primenom vanilin testa kondenzovani tanini nisu detektovani u ekstraktima lista i rese roda 2007. godine. Rezultati prinsosa kondenzovanih tanina dobijeni primenom kiselog butanolnog testa su dati u tabeli 25.

**Tabela 25.** Sadržaj kondenzovanih tanina u različitim delovima kultivara kestena (rod 2007. godine)

Delovi kestena	Ekstragens	
	50% ac	50% et
	Kondenzovani tanini (%CT)	
<b>Pitomi kesten</b>		
Resa	2,66±0,070	0,96±0,029
List	1,99±0,061	1,00±0,032
<b>Lovranski marun</b>		
List	1,76±0,059	0,29±0,014
Resa	0,74±0,034	0,62±0,028
<b>Kalemljeni italijanski marun</b>		
List	3,48±0,081	1,10±0,037

Najmanji prinos kondenzovanih tanina određen je za ekstrakt rese lovranskog maruna (0,74 %CT), a najveći (3,48 %CT) za list kalemljenog italijanskog maruna (ekstragens 50% acetona). Kada se za ekstrakciju koristi 50% etanol, najmanji prinos kondenzovanih tanina je dobiđen za ekstrakt lista lovranskog maruna (0,29 %CT), dok najveći ima list kalemljenog italijanskog maruna (1,10 %CT).

Primenom 50% acetona kao ekstragensa određen je veći prinos kondenzovanih tanina, upotrebom oba testa. Vanilin testom je dobiđen veći prinos kondenzovanih tanina (izražen kao %CE) u odnosu na prinos kondenzovanih tanina dobiđen kiselim butanolnim testom (izražen kao %CT).

Vanilin test je zasnovan na reakciji egzo tipa u kojoj *meta* suptituisani prsten flavanola formira hromoforu, a broj flavanola je proporcionalan apsorbanciji rastvora. Iako se dosta koristi za određivanje kondenzovanih tanina (proantocijanidina) ovaj metod nije specifičan za PA. Svaki pogodno supstituisani flavonoid reaguje, uključujući i "monomer" kondenzovanih tanina catehin dajući obojeni proizvod, pa se catehin koristi kao standard u određivanju<sup>153</sup>. Kiseli butanolni test je zasnovan na endo tipu reakcije depolimerizacije kondenzovanih tanina u butanolu koja je katalizovana hloridnom kiselinom. Stvara se crveno obojeni proizvod - antocijanidin koji se određuje spektrofotometrijski. Za standardizovanje ove metode korišćen je proantocijanidin dobiđen iz ekstrakta lista kestena.

Zbog razlika koje postoje između ove dve metode, kao i različitih standarda (catehina i kondenzovanih tanina) rezultati određivanja za kondenzovane tanine dobiđeni vanilin i kiselim-butanolnim testom se uglavnom dosta razlikuju.

Na osnovu dobiđenih rezultata primenom vanilin i kiselog butanolnog testa može se ustanoviti sledeći redosled sadržaja kondenzovanih tanina (važi za oba ekstragensa):

crvena unutrašnja kora ploda > mlada kora drveta > stara kora drveta >  
spoljna braon kora ploda > ceo plod > ježevice > resa > srž ploda > list.

Veći prinosi kondenzovanih tanina određeni kiselim butanolnim testom su dobiđeni kod ekstrakata roda 2006. godine u odnosu na 2007. godinu uz primenu oba ekstragensa.

### 3.1.5. Korelaciona analiza

Korelacija između prinosa suvog ekstrakta, ukupnih fenola, flavonoida i kondenzovanih tanina je data u tabeli 26. Analizom su obuhvaćeni rezultati uzoraka roda 2006. i 2007. godine.

**Tabela 26.** Korelacija između prinosa suvog ekstrakta, sadržaja ukupnih fenola, ukupnih flavonoida i kondenzovanih tanina

Parametar	Sadržaj fenola (%GAE)	Sadržaj flavonoida (%CE)	Kondenzovani tanini (%CE)
<b>Prinos suvog ekstrakta (%m/m)</b>	0,81* (50% ac)  0,65* (50% et)	0,69** (50% ac)	0,64* (50% et)
<b>Sadržaj flavonoida (%CE)</b>	0,89* (50% ac)  0,78* (50% et)		n.s. **
<b>Kondenzovani tanini (%CT)</b>	0,64* (50% et)	n.s.	0,73* (50% ac)  0,92* (50% et)

\* Korelacija je značajna na nivou 0,01

\*\* n.s. - nije signifikantno ( $P > 0,05$ )

Veoma značajna korelacija ( $P < 0,01$ ) utvrđena je između: prinosa suvog ekstrakta i ukupnih fenola, ukupnih fenola i ukupnih flavonoida, kao i kondenzovanih tanina određenih vanilin i kiselim butanolnim testom kod ekstrakata dobijenih upotreboom oba ispitivana ekstragensa.

Upotreboom 50% etanola kao ekstragensa utvrđena je veoma značajna razlika između ukupnih flavonoida i kondenzovanih tanina određenih vanilin testom ( $r = 0,64$ ), kao i između ukupnih flavonoida i kondenzovanih tanina određenih kiselim butanolnim testom.

Između prinosa suvog ekstrakta i ukupnih flavonoida (ekstragens 50% aceton) je takođe utvrđena veoma značajna korelacija ( $P < 0,01$ ). Između ostalih određivanja nije utvrđena signifikanta korelacija ( $P > 0,05$ ).

Iako su zapažene razlike u prinosu kondenzovanih tanina dobijenih uz pomoć dva testa, između njih je utvrđena veoma značajna korelaciona zavisnost.

S obzirom da fenolne materije i flavonoidi predstavljaju materije sa raznovrstnim farmakološkim delovanjem, veoma signifikantna zavisnost između prinosa suvog ekstrakta i ukupnih fenola, kao i prinosa suvog ekstrakta i ukupnih flavonoida je važan parametar za proizvodni proces dobijanja ekstrakata kestena sa primenom u dijeti i terapiji.

Sva dalja istraživanja su vršena na ekstraktima kestena dobijenim upotreboom 50% etanola kao ekstragensa. Etanol kao ekstragens obezbeđuje sasvim zadovoljavajuće rezultate, a prihvatljiviji je sa aspekata znatno niže toksičnosti u odnosu na 50% aceton.

### **3.2. ODREĐIVANJE KAPACITETA EKSTRAKATA U ZAŠTITI ERITROCITA OD HEMOLIZE**

Rezultati za nivo hemolize izazvan dodatkom 3 mmol/l H<sub>2</sub>O<sub>2</sub> u prisustvu ekstrakata kestena su dati u tabeli 27. Kompletan hemoliza eritrocita inkubiranih u vodi 30 minuta uzima se kao 100% hemolize. Nivo ekstracelularnog hemoglobina i dezoksihemoglobina se izračunava na osnovu merenja apsorbancija na 540 nm i 560 nm.

**Tabela 27.** Nivo hemolize indukovane dodatkom 3 mmol/l H<sub>2</sub>O<sub>2</sub> u prisustvu ekstrakata kestena

<b>Kontrola</b>	<b>Talasna dužina (nm)</b>	
	<b>540</b>	<b>560</b>
Eritrociti (netretirani)	0,6±0,002	0,5±0,001
Eritrociti (tretirani sa H <sub>2</sub> O <sub>2</sub> )	1,1±0,001	1,1±0,002
<b>Rod Delovi kestena (godina)</b>		
2006.	Resa kalemljenog italijanskog maruna	1,0±0,001
	List lovranskog maruna	0,8±0,001
	Ježevice	1,0±0,001
2007.	Resa lovranskog maruna	1,2±0,003
	List lovranskog maruna	0,7±0,003
	Resa pitomog kestena	0,9±0,003

Pod primjenjenim eksperimentalnim uslovima (30 minutna inkubacija), tretman sa H<sub>2</sub>O<sub>2</sub> navedene koncentracije izaziva nizak stepen hemolize. Ekstrakti lista lovranskog maruna i rese pitomog kestena roda 2007. godine štite eritrocite od hemolize. Sa druge strane ekstrakti kestena roda 2006. godine ispoljavaju manji kapacitet zaštite. S obzirom da je došlo do veoma blage hemolize, stepen zaštite nije jako izražen.

### **3.3. ODREĐIVANJE FENOLNIH JEDINJENJA HPLC ANALIZOM**

#### **3.3.1. HPLC/DAD analiza sadržaja ukupnih fenolnih jedinjenja**

Hidroliza glikozida do aglikona je jedan od praktičnih metoda za određivanje flavonoida u hrani. Resa i list sva tri ispitivana kultivara kestena su podvrgnuti kiseloj hidrolizi. Nakon toga izvršena je HPLC/DAD analiza sadržaja ukupnih fenolnih materija. Pored toga, ekstrakt rese pitomog kestena je analiziran bez prethodne kisele hidrolize (tabela 28).

Najveći sadržaj fenolnih materija određen za ekstrakt rese pitomog kestena (0,083 %RE), a najmanji za resu kalemljenog pitomog kestena (0,021 %RE). Dobijeni HPLC hromatogrami su prikazani na slici P1a-f u Prilogu.

**Tabela 28.** Sadržaj fenola i flavonoida u ekstraktima kultivara kestena

Delovi kestena	Sadržaj fenola (%GAE) <sup>*</sup>	Sadržaj flavonoida (%CE) <sup>**</sup>	Sadržaj fenola HPLC (mg RE/g SE) <sup>***</sup>	Sadržaj fenola HPLC (%RE) <sup>****</sup>
<b>Pitomi kesten</b>				
Resa	0,082±0,004	0,077±0,015	284,57±0,89	0,083±0,015
List	0,240±0,009	0,105±0,007	176,82±0,52	0,065±0,003
<b>Lovranski marun</b>				
List	0,116±0,010	0,038±0,006	144,59±0,55	0,057±0,019
<b>Kalemljeni italijanski marun</b>				
Resa	0,074±0,010	0,014±0,003	95,56±0,32	0,021±0,007
List	0,061±0,008	0,015±0,008	187,63±0,97	0,041±0,022
Pitomi kesten resa <b>(bez hidrolize)</b>	3,28±0,154	0,60±0,031	39,39±0,18	0,395±0,043

<sup>\*</sup>%GAE – g galne kiseline/100 g droge<sup>\*\*</sup>%CE – g katehina/100 g droge<sup>\*\*\*</sup>mg RE/g SE – mg rutina/g suvog ekstrakta<sup>\*\*\*\*</sup>%RE – g rutina/100 g droge

Veoma značajna korelacija ( $P < 0,01$ ) je utvrđena između: ukupnih fenola (HPLC) i ukupnih flavonoida ( $r = 0,996$ ), ukupnih fenola (FC metod) i ukupnih flavonoida ( $r = 0,994$ ), ukupnih fenola (HPLC) i ukupnih fenola (FC metod) ( $r = 0,989$ ).

Dobijeni rezultati ukazuju da je FC metod pogodan za analizu fenolnih materija ekstrakata kestena.

### 3.3.2. HPLC/DAD i LC/MS analiza

Metodama LC/MS i HPLC/DAD analize izvršena su ispitivanja sastava hidrolizata ekstrakata *C. sativa* i dobijeni rezultati su dati u tabelama 29a i 29b.

**Tabela 29a.** Rezultati HPLC/DAD analize

Redni broj pika	$t_R$ (min)	Naziv komponente	$\lambda_{max}$ (nm)	Rod 2006. godine		
				Resa kalemljenog italijanskog maruna	List lovranskog maruna	Ježevice pitomog kestena
Sadržaj (mg/ g SE)						
1	8,61	Elagitanin	254, 374	4,1±0,4	7,5±0,5	8,9±0,5
2	9,15	Derivat galne kiseline	220, 272	5,4±0,5	4,0±0,5	nd*
3	9,53	Derivat galne kiseline	218, 276	5,1±0,4	13,2±0,8	11,9±0,8
4	10,00	Metil galat	218, 272	36,3±1,2	40,7±1,2	30,8±1,2
5	10,40	Derivat galne kiseline	222, 272	5,9±0,5	4,5±0,2	nd
6	11,39	Derivat galne kiseline	216, 276	3,6±0,2	8,8±0,5	8,8±0,5
7	12,00	Elagitanin	224, 268sh**	3,2±0,2	4,8±0,3	2,9±0,2
8	13,02	Elagitanin	224, 268 sh	5,4±0,4	6,3±0,4	4,5±0,4
9	15,16	Flavogaloinska kiselina	218, 256, 298, 366	3,1±0,4	7,2±0,4	9,3±0,5
10	17,92	Derivat galne kiseline	216, 276	0,7±0,1	2,7±0,2	1,8±0,2
11	18,21	Metil estar flavogaloinske kiseline	218, 256, 298, 366	1,5±0,2	2,8±0,2	3,5±0,2
12	18,53	Derivat protokatehinske kiseline	278, 344	2,1±0,2	2,5±0,2	2,7±0,2
13	21,16	Dimetil estar dehidrodigalne kiseline	224, 272	100,5 ±1,8	63,1±1,5	6,3±0,5
14	22,34	Elaginska kiselina	254, 368	53,9±1,2	52,1±1,2	84,1±1,2
15	24,91	Metil estar dilaktona valoneinske kiseline	220, 254, 302, 364	35,8±1,2	61,7±1,5	73,7±1,7
16	27,84	Kvercetin	202, 256, 372	7,9±0,5	5,7±0,4	12,7±0,7
17	28,41	Metil estar <i>p</i> -kumarne kiseline	228, 298, 310	8,7±0,4	16,6±0,8	20,5±0,8
18	29,72	Kemferol	196, 222	3,1±0,2	4,1±0,4	7,4±0,5
19	30,2	Izohromatin	226 sh, 306 sh, 326 sh, 370	5,0±0,5	4,0±0,3	4,0±0,4
		Elaginska kiselina i njeni derivati (9, 11, 14, 15)		94,3±1,0	123,8±1,1	170,6±1,3
$\Sigma$		Derivati galne kiseline (4, 13)		136,8±1,0	103,8±1,2	37,1±0,67
		Jedinjenja sa flavonoidnom strukturom (16, 18 i 19)		16±0,7	13,5±0,5	13,8±0,9

\*nd – nije detektovano

\*\*"sh" – shoulder ≈ rame ≈ pik nije jasan

**Nastavak tabele 29a.** Rezultati HPLC/DAD analize

Redni broj pika	$t_R$ (min)	Naziv komponente	$\lambda_{max}$ (nm)	Rod 2007. godine		
				List lovranskog maruna	Resa domaćeg pitomog kestena	Resa lovranskog maruna
				Sadržaj (mg/g SE)		
1	8,61	Elagitanin	254, 374	10,5±0,5	3,5±0,2	6,5±0,5
2	9,15	Derivat galne kiseline	220, 272	2,1±0,2	5,1±0,5	5,1±0,5
3	9,53	Derivat galnekiseline	218, 276	5,7±0,5	3,8±0,2	6,4±0,5
4	10,00	Metil galat	218, 272	41,4±1,2	43,7±1,4	31,1±1,2
5	10,40	Derivat galne kiseline	222, 272	2,5±0,2	5,7±0,4	6,1±0,5
6	11,39	Derivat galne kiseline	216, 276	5,0±0,5	2,9±0,2	6,1±0,5
7	12,00	Elagitanin	224, 268 sh	4,3±0,2	3,9±0,4	6,5±0,5
8	13,02	Elagitanin	224, 268 sh	3,0±0,2	4,5±0,4	7,8±0,3
9	15,16	Flavogaloinska kiselina	218, 256, 298, 366	3,3±0,2	3,9±0,4	5,8±0,4
10	17,92	Derivat galne kiseline	216, 276	1,1±0,2	0,7±0,1	1,5±0,2
11	18,21	Metil estar flavogaloinske kiseline	218, 256, 298, 366	2,9±0,2	1,4±0,2	1,7±0,2
12	18,53	Derivat protokatehinske kiseline	278, 344	2,6±0,2	1,7±0,2	2,2±0,2
13	21,16	Dimetil estar dehidrodigalne kiseline	224, 272	41,8±1,3	73,2±1,6	67,0±1,2
14	22,34	Elaginska kiselina	254, 368	84,0±1,2	45,7±1,2	59,1±1,2
15	24,91	Metil estar dilaktona valoneinske kiseline	220, 254, 302, 364	49,0±1,2	32,8±1,2	41,3±1,3
16	27,84	Kvercetin	202, 256, 372	5,5±0,5	11,5±0,7	2,5±0,2
17	28,41	Metil estar <i>p</i> -kumarne kiseline	228, 298, 310	12,6±0,8	19,0±0,8	13,6±0,8
18	29,72	Kemferol	196, 222	2,9±0,2	7,3±0,5	2,0±0,2
19	30,2	Izohromatin	226 sh, 306 sh, 326 sh, 370	2,2±0,2	16,1±0,7	2,5±0,2
Elaginska kiselina i njeni derivati (9, 11, 14, 15)				139,2±0,9	83,8±1,3	107,9±1,0
Derivati galne kiseline (4, 13)				82,9±0,8	116,9±1,6	98,1±0,86
$\Sigma$	Jedinjenja sa flavonoidnom strukturom (16, 18 i 19)			10,6±0,9	34,9±0,9	7±0,3

**Tabela 29b.** Rezultati HPLC/DAD analize

Redni broj pika	$t_R$ (min)	Naziv komponente	$\lambda_{max}$ (nm)	Rod 2006. godine		Rod 2007. godine	
				List pitomog kestena	List kalemljenog italijanskog maruna	Resa domaćeg pitomog kestena	List domaćeg pitomog kestena
<b>Sadržaj (mg/g SE)</b>							
1	8,39	Elagitanin	254, 374	t	t	0,5±0,1	0,2±0,1
2	8,94	Derivat galne kiseline	220, 272	t	t	2,5±0,1	0,8±0,1
3	9,28	Derivat galne kiseline	218, 276	1,6±0,1	2,1±0,1	2,5±0,1	2,9±0,1
4	9,8	Metil galat	218, 272	8,9±0,1	11,5±0,1	14,4±0,1	9,3±0,1
5	10,18	Derivat galne kiseline	222, 272	t	t	4,1±0,1	0,9±0,1
6	11,09	Derivat galne kiseline	216, 276	t	0,6±0,1	0,5±0,1	0,6±0,1
7	11,67	Elagitanin	224, 268 sh	0,6±0,1	t	1,9±0,1	0,6±0,1
8	12,65	Elagitanin	224, 268 sh	1,0±0,1	1,8±0,1	2,1±0,1	2,4±0,1
9	14,87	Flavogaloinska kiselina	218, 256, 298, 366	0,1±0,1	0,1±0,1	0,7±0,1	1,3±0,1
10	17,92	Derivat galne kiseline	216, 276	nd	nd	nd	nd
11	18,21	Metil estar flavogaloinske kiseline	218, 256, 298	nd	nd	nd	nd
12	18,53	Derivat protokatehinske kiseline	278, 344	nd	nd	nd	nd
13	20,68	Dimetil estar dehidrodigalne kiseline	224, 272	15,2±0,3	12,7±0,2	43,9 ±0,3	16,0±0,2
14	21,98	Elaginska kiselina	254, 368	20,2±0,3	18,0±0,3	13,7±0,3	10,8±0,1
15	24,72	Metil estar dilaktona valoneinske kiseline	220, 254, 302, 364	14,8±0,2	14,9±0,3	10,5±0,3	9,8±0,1
16	27,68	Kvercetin	202, 256, 372	1,0±0,1	1,9±0,1	0,3±0,1	t
17	28,21	Metil estar p-kumarne kiseline	228, 298, 310	2,7±0,1	5,0±0,1	1,5±0,1	3,6±0,1
18	29,58	Kemferol	264, 368	t	0,5±0,1	0,2±0,1	t
19	29,98	Izohromatin	254, 266 sh, 306 sh, 326 sh, 370	t	t	0,2±0,1	t
Elaginska kiselina i njeni derivati (9, 11, 14, 15)				35,1±0,3	33,0±0,4	24,9±0,4	21,9±0,2
$\Sigma$	Derivati galne kiseline (4, 13)			24,1±0,4	24,2±0,7	58,3±0,6	25,3±0,3
	Jedinjenja sa flavonoidnom strukturom (16, 18 i 19)			1,0±0,1	2,4±0,6	0,6±0,1	0,6±0,1

t – tragovi

U slučajevima kada struktura komponenata nije nedvosmisleno određena, komponente su definisane kao elagitanini (komponente **1, 7 i 8**), derivati galne kiseline (komponente **2, 3, 5, 6 i 10**) ili derivat protokatehinske kiseline (komponenta

**12).** Za ove komponente (izuzev za komponente **7** i **8**) prikazane su verovatne strukture.

Na osnovu izvršenih analiza, strukture identifikovanih komponenti u ekstraktima *C. sativa* su prikazane na slici 23a-c.

Elagitanini iz različitih biljaka poseduju visok antioksidativni kapacitet, a deluju inhibitorno na inicijaciju i razvoj kancerogeneze<sup>220</sup>. Elagitanini su sastojci svakodnevne dijete, a netoksični su nakon dugotrajnog konzumiranja<sup>221</sup>. Elagitanini se ne apsorbuju u nepromjenjenom obliku, već se metabolišu dejstvom intestinalne mikroflore do elaginske kiseline i njenih derivata<sup>222</sup>. Metaboliti elagitanina imaju dugo vreme polu-života u krvnoj plazmi. Derivati elagitanina ispoljavaju visok antioksidativni potencijal elagitanina i deluju blagovorno kao sastojci dijete kod patofizioloških stanja povezanih sa oksidativnim stresom.

Poznato je da su glavni sastojci ekstrakata *C. sativa* kompleksni, a sastoje se od hidrolizovanih tanina, kao što su elagitanini i galotanini<sup>223</sup>. U cilju simulacije metabolizma tanina u intestinumu čoveka i olakšane analize, ekstrakti *C. sativa* su podvrgnuti metanolizaciji.

Tačna merenja masa molekularnih i fragmentiranih jona komponenata su dobijena na (TOF) "time-of-flight" masenom spektrometru na pozitivnom i negativnom polarnom modu. Rezultati LC/MS analize su sumarno dati u tabelama 30a i 30b.

**Tabela 30a.** Rezultati LC/MS analize

Redni broj pika	Pozitivan mod		Negativan mod		
	Detektovana jonska vrsta	Molekulska masa	Detektovana jonska vrsta	Molekulska masa	Molekulska formula
1	M+H, M+Na, 2M+H	596,0414	M-H, 2M-H	596,0429	C <sub>27</sub> H <sub>16</sub> O <sub>16</sub>
2	M+H, M+Na, M+K	352,0428	M-H	352,0430	C <sub>15</sub> H <sub>12</sub> O <sub>10</sub>
3	M+H, M+Na, M+K, 2M+Na, 2M+K	498,1002	M-H, 2M-H	498,1013	C <sub>21</sub> H <sub>22</sub> O <sub>14</sub>
4	M+H, M+Na, M+K	184,0367	M-H, 2M-H	184,0377	C <sub>8</sub> H <sub>8</sub> O <sub>5</sub>
5	M+H, M+Na, M+K	352,0433	M-H	352,0432	C <sub>15</sub> H <sub>12</sub> O <sub>10</sub>
6	M+H, M+Na, M+K, 2M+Na	498,1008	M-H, 2M-H	498,1008	C <sub>21</sub> H <sub>22</sub> O <sub>14</sub>
7	M+2H, M+Na,	1130,1081	M-2H	1130,1063	C <sub>50</sub> H <sub>34</sub> O <sub>31</sub>
8	M+2H, M+H, M+Na, M+K	1116,0927	M-2H	1116,0909	C <sub>49</sub> H <sub>32</sub> O <sub>31</sub>
9	M+H, M+Na, 2M+H, 2M+Na	470,0127	M-H, 2M-H	470,0118	C <sub>21</sub> H <sub>10</sub> O <sub>13</sub>
10	M+H, M+Na, M+K	498,1006	M-H	498,1004	C <sub>21</sub> H <sub>22</sub> O <sub>14</sub>
11	M+H, M+Na, M+K, 2M+Na	484,0275	M-H	484,0269	C <sub>22</sub> H <sub>12</sub> O <sub>13</sub>
12	M+H, M+Na	306,0376	M-H, 2M-H	306,0374	C <sub>14</sub> H <sub>10</sub> O <sub>8</sub>
13	M+H, M+Na, M+K	366,0585	M-H	366,0585	C <sub>16</sub> H <sub>14</sub> O <sub>10</sub>
14	M+H, M+Na, M+K, 2M+Na	302,0060	M-H	302,0060	C <sub>14</sub> H <sub>6</sub> O <sub>8</sub>
15	M+H, 2M+H	484,0271	M-H, 2M-H	484,0289	C <sub>22</sub> H <sub>12</sub> O <sub>13</sub>
16	M+H	302,0423	M-H, 2M-H	302,0421	C <sub>15</sub> H <sub>10</sub> O <sub>7</sub>
17	M+H, M+Na	178,0626	M-H	178,0631	C <sub>10</sub> H <sub>10</sub> O <sub>3</sub>
18	M+H, M+Na	286,0478	M-H	286,0474	C <sub>15</sub> H <sub>10</sub> O <sub>6</sub>
19	M+H	316,0575	M-H	316,0582	C <sub>16</sub> H <sub>12</sub> O <sub>7</sub>

**Tabela 30b.** Rezultati LC/MS analize

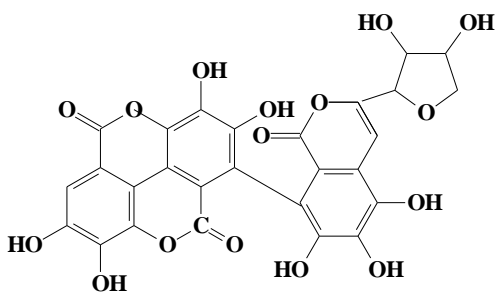
Redni broj pika	Pozitivan mod		Negativan mod		
	Detektovana jonska vrsta	Molekulska masa	Detektovana jonska vrsta	Molekulska masa	Molekulska formula
1	M+H, M+Na, 2M+H	596,0414	M-H, 2M-H	596,0429	C <sub>27</sub> H <sub>16</sub> O <sub>16</sub>
2	M+H, M+Na, M+K	352,0428	M-H	352,0430	C <sub>15</sub> H <sub>12</sub> O <sub>10</sub>
3	M+H, M+Na, M+K, 2M+Na, 2M+K	498,1002	M-H, 2M-H	498,1013	C <sub>21</sub> H <sub>22</sub> O <sub>14</sub>
4	M+H, M+Na, M+K	184,0367	M-H, 2M-H	184,0377	C <sub>8</sub> H <sub>8</sub> O <sub>5</sub>
5	M+H, M+Na, M+K	352,0433	M-H	352,0432	C <sub>15</sub> H <sub>12</sub> O <sub>10</sub>
6	M+H, M+Na, M+K, 2M+Na	498,1008	M-H, 2M-H	498,1008	C <sub>21</sub> H <sub>22</sub> O <sub>14</sub>
7	M+2H, M+Na,	1130,1081	M-2H	1130,1063	C <sub>50</sub> H <sub>34</sub> O <sub>31</sub>
8	M+2H, M+H, M+Na, M+K	1116,0927	M-2H	1116,0909	C <sub>49</sub> H <sub>32</sub> O <sub>31</sub>
9	M+H, M+Na, 2M+H, 2M+Na	470,0127	M-H, 2M-H	470,0118	C <sub>21</sub> H <sub>10</sub> O <sub>13</sub>
13	M+H, M+Na, M+K	366,0585	M-H	366,0585	C <sub>16</sub> H <sub>14</sub> O <sub>10</sub>
14	M+H, M+Na, M+K, 2M+Na	302,0060	M-H	302,0060	C <sub>14</sub> H <sub>6</sub> O <sub>8</sub>
15	M+H, 2M+H	484,0271	M-H, 2M-H	484,0289	C <sub>22</sub> H <sub>12</sub> O <sub>13</sub>
16	M+H	302,0423	M-H, 2M-H	302,0421	C <sub>15</sub> H <sub>10</sub> O <sub>7</sub>
17	M+H, M+Na	178,0626	M-H	178,0631	C <sub>10</sub> H <sub>10</sub> O <sub>3</sub>
18	M+H, M+Na	286,0478	M-H	286,0474	C <sub>15</sub> H <sub>10</sub> O <sub>6</sub>
19	M+H	316,0575	M-H	316,0582	C <sub>16</sub> H <sub>12</sub> O <sub>7</sub>

Dominantna vrsta registrovana na pozitivnom modu za većinu komponenta je [M+H]<sup>+</sup> pseudomolekularni jon. Za neke od njih prisutan je takođe [2M-H]<sup>-</sup> adukt. U većini slučajeva su prisutni [M+Na]<sup>+</sup>, [M+K]<sup>+</sup>, [2M+Na]<sup>+</sup> i [2M+K]<sup>+</sup> adukti natrijuma i kalijuma. Sve identifikovane komponente ispoljavaju kvazi-molekularni jon [M-H]<sup>-</sup> na negativnom modu, a u nekim slučajevima potvrđena je molekulska masa [2M-H]<sup>-</sup> jona.

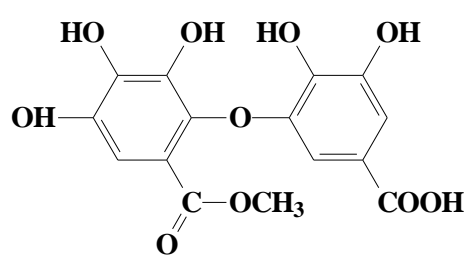
Za elagitanine veće molekulske mase **7** i **8**, dodatno su zapažene dvostruko nanelektrisane [M+2H]<sup>2+</sup> i [M-2H]<sup>2-</sup> vrste. Pored toga, spektralni podaci dobijeni na UV/VIS detektoru sa fotodidodnim nizom omogućuju konačno određivanje mnogih struktura. UV/VIS maksimumi karakteristični za različite klase polifenolnih komponenata su upoređeni sa onima iz literaturnih podataka<sup>224,225</sup>.

Izvršeno je kvantitativno određivanje komponenata upotrebom HPLC/DAD metode merenjem apsorbancija na 280 nm. Sadržaj svih ispitivanih komponenata je dođen na osnovu površine integrala, korišćenjem kalibracione jednačine za galnu kiselinu. HPLC hromatogrami su prikazani na slici P2a-k (u Prilogu), a sadržaj 19 detektovanih komponenata je dat u tabelama 29a i 29b. Ekstrakt ježevica ima najveći sadržaj elagitanina (170,6 mg/g) (tabela 30a).

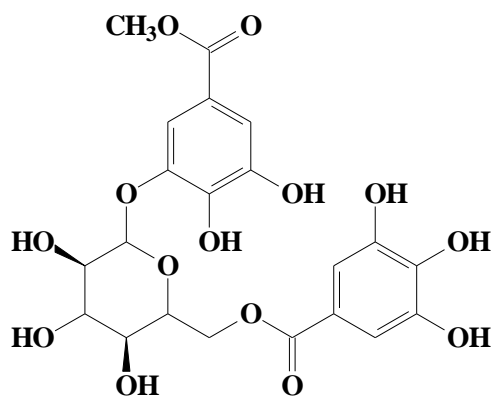
Identifikovovane komponente se mogu klasifikovati u elaginsku kiselinu i njene derivate (9, 11, 14, 15), koji predstavljaju proizvode nastale od elagitanina, derivate galne kiseline (4, 13), zatim tri flavonoidne strukture (16, 18 i 19), kao i na metil estar kumarne kiseline (17). Glavne komponente hidrolizata nakon metanolizacije su dimetil estar dehidrodigalne kiseline, kao i metil estar dilaktona elaginske i valoneinske kiseline.



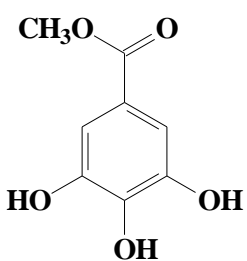
Verovatna struktura 1



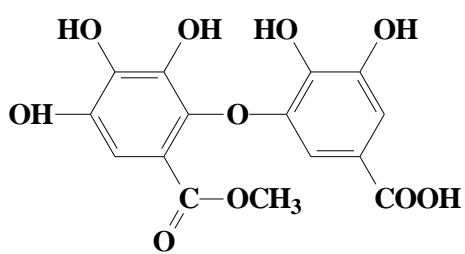
Verovatna struktura 2\*



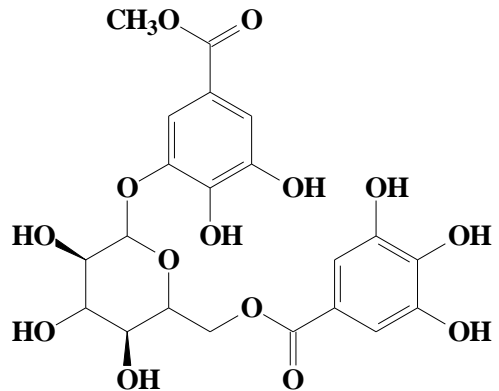
Verovatna struktura 3\*\*



4



Verovatna struktura 5\*

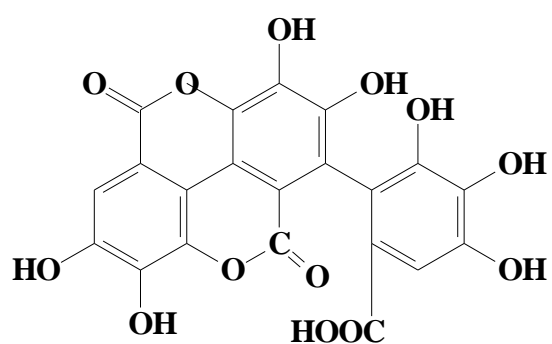


Verovatna struktura 6\*\*

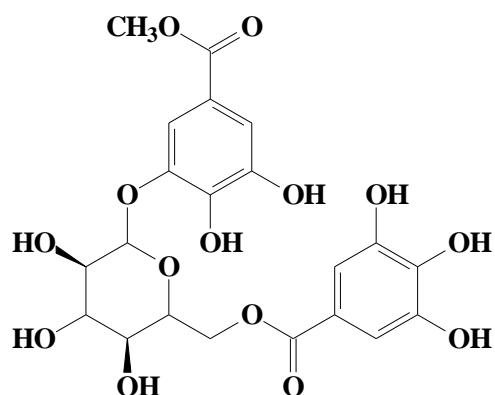
\*2 i 5 su izomeri, pa je predložena ista formula

\*\*3, 6 i 10 su izomeri (predložena je ista formula)

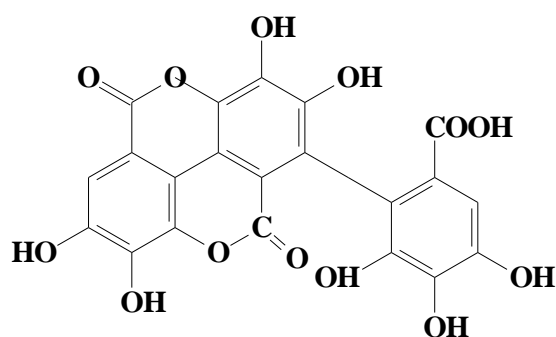
**Slika 23a.** Strukture različitih identifikovanih komponenti



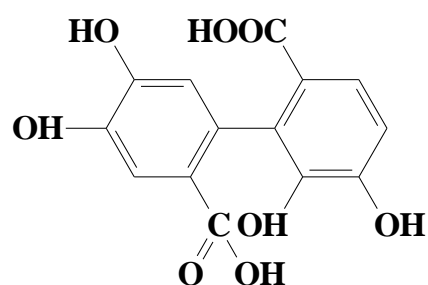
**9**



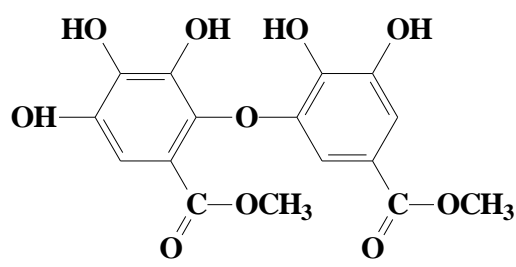
Verovatna struktura **10**\*\*



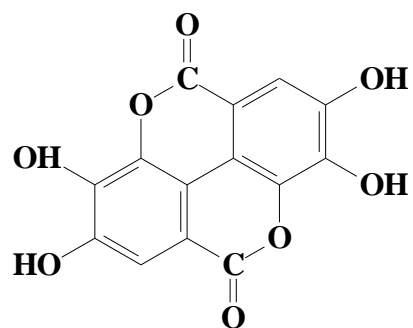
**11**



Verovatna struktura **12**

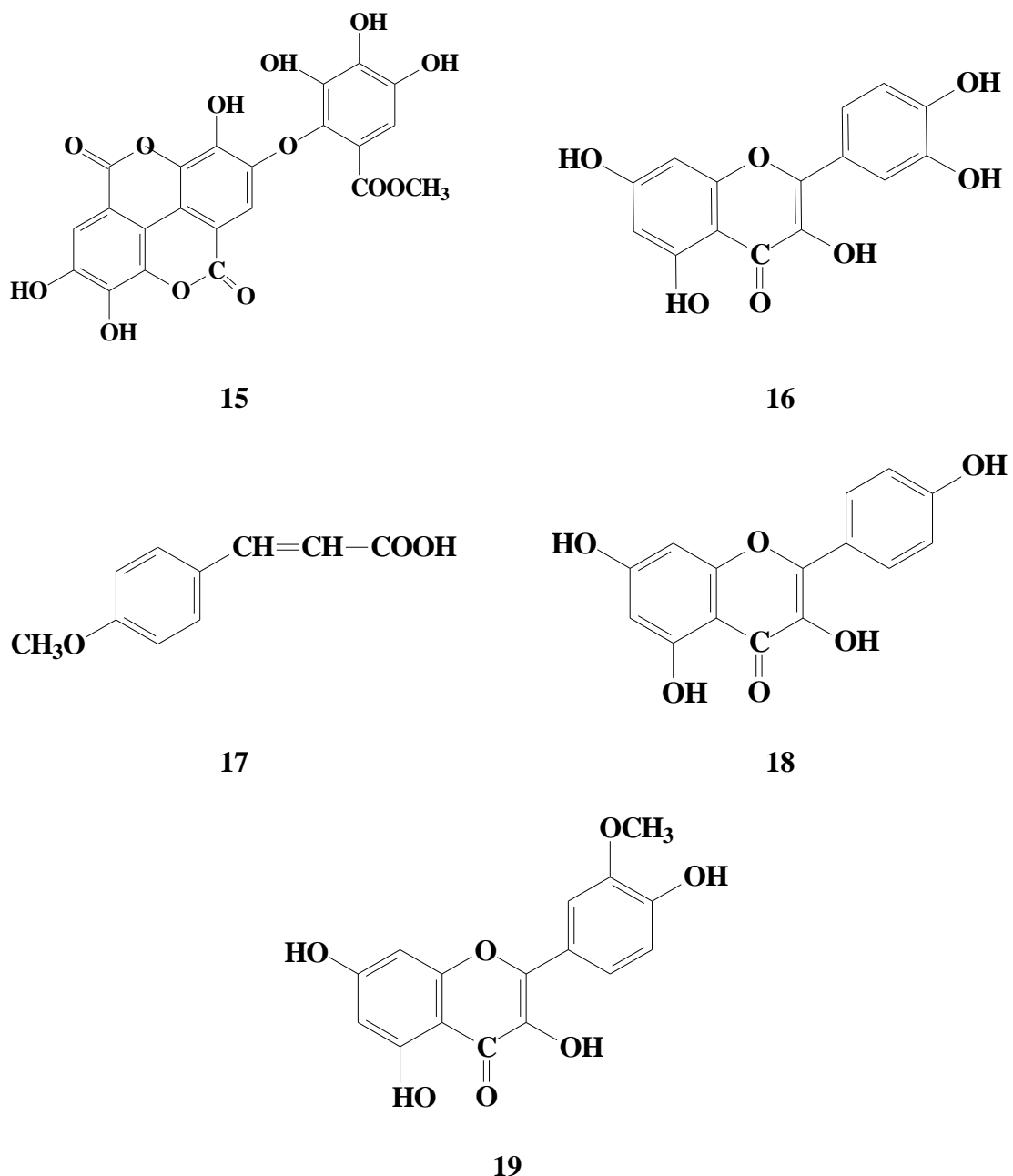


**13**



**14**

**Slika 23b.** Strukture različitih identifikovanih komponenti



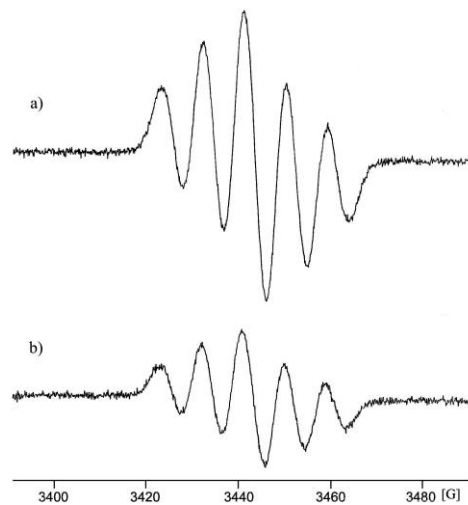
**Slika 23c.** Strukture različitih identifikovanih komponenti

### 3.4. ANTIOKSIDATIVNA AKTIVNOST EKSTRAKATA KESTENA

Ispitana je antioksidativna aktivnost ekstrakata *C. sativa* u odnosu na transformaciju DPPH, hidroksi i superoksidnog anjon radikala, kapacitet ekstrakata za uklanjanje lipidne peroksidacije, transformacije organskih hidrofilnih radikala i transformacije radikalnih vrsta generisanih UV zračenjem.

### 3.4.1. Transformacija DPPH radikala

EPR spektar stabilnog DPPH radikala se lako može prepoznati po blanku (slepoj probi) koja ima 5 linija relativnog odnosa inteziteta 1:2:3:2:1 i hiperfine konstante kuplovanja  $a_N = 9,03\text{G}$  (slika 24a). Hiperfina struktura EPR spektra stabilnih DPPH radikala potiče od interakcije nesparenog elektrona i dva  $^{14}\text{N}$  atoma, sa spinским kvantim brojem  $I=1$ .



**Slika 24.** a. EPR spektar DPPH radikala bez dodavanja ekstrakta (slepa proba)  
b. EPR spektar DPPH radikala sa dodatkom ekstrakta rese pitomog kestena

(Koncentracija DPPH radikala je  $11,8 \times 10^{-4} \text{ mmol/dm}^3$ , ekstrakt rese je dodat u koncentraciji od  $0,2 \text{ mg/ml}$ , rastvoren u vodi)

U tabeli 31 su rezultati za antioksidativnu aktivnost (AA) u odnosu na DPPH radikale ekstrakata različitih kultivara i delova *C. sativa*, rastvorenih u vodi u koncentraciji  $0,2 \text{ mg/ml}$ . Ekstrakt rese pitomog kestena ispoljio je najveću antioksidativnu aktivnost AA = 37,50% (slika 24b). U isto vreme, ovaj ekstrakt poseduje i visok sadržaj ukupnih fenolnih komponenti, i to 3,28 %GAE (tabela 18). Visoka antioksidativna aktivnost je takođe utvrđena za ekstrakte spoljne braon kore lovranskog maruna (AA = 36,52%) i lista kalemljenog italijanskog maruna (AA = 29,96%). Ceo plod kestena i srž ploda nisu ispoljili antioksidativnu aktivnost. Dobijene vrednosti za antioksidativnu aktivnost srži, ploda i spoljne braon kore su povezane sa sastavom ploda pitomog kestena, gde srž ploda učestvuje sa 69,9%, a spoljna braon kora sa 24,41% (tabela 16).

**Tabela 31.** Antioksidativna aktivnost u odnosu na DPPH radikale

<b>Delovi kestena</b>	<b>DPPH aktivnost (%) ± SD</b>
<b>Pitomi kesten</b>	
Ceo plod	0
Srž ploda	0
Spoljna braon kora ploda	21,43±0,23
Resa	37,50±0,96
List	21,43±0,78
Stara kora drveta	21,74±0,35
Ježevice	1,19±0,07
<b>Lovranski marun</b>	
Spoljna braon kora ploda	36,52±1,13
List	15,48±0,08
<b>Kalemljeni italijanski marun</b>	
Resa	9,56±0,09
List	29,96±0,78

Istraživanja Yokozawe i sar.<sup>226</sup> su pokazala da tanini i neki flavonoidi ispoljavaju aktivnost u odnosu na DPPH radikale i da je aktivnost u tesnoj vezi sa njihovom hemijskom strukturom. Sa porastom broja galoi grupa, molekulske mase i *ortho*-hidroksidnih grupa u strukturi raste aktivnost tanina, a broj i pozicija hidroksilnih grupa predstavljaju važnu karakteristiku flavonoida za "hvatanje" slobodnih radikala.

Na slikama P3a-1 (u Prilogu) prikazani su spektri DPPH radikala nastalih u prisustvu 0,2 mg/ml ispitivanih ekstrakata rastvorenih u vodi.

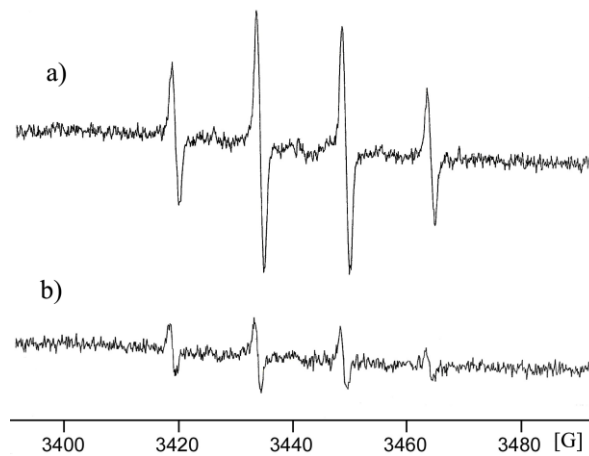
U svim slučajevima nema promene u obliku EPR spektra, ali je relativan intezitet EPR signala redukovani dodatkom *C. sativa* ekstrakata (slike P3d-1). EPR spektar celog ploda (slika P3b) i srži kestena (slika P3c) su identični slepoj probi (slika P3a), jer je antioksidativna aktivnost ovih ekstrakata u odnosu na DPPH radikale jednaka 0.

### 3.4.2. Transformacija hidroksi radikala

Ispitan je kapacitet različitih ekstrakata *C. sativa* Mill. za inhibiciju hidroksilnih radikala generisanih u Fenton-ovoj reakciji ( $\text{Fe}^{2+}/\text{H}_2\text{O}_2$ ). Od svih kiseoničnih radikala, hidroksi radikali su najreaktivniji i indukuju ozbiljna oštećenja okolnih biomolekula<sup>227</sup>.

Na slici 25 su prikazani EPR spektri DMPO-OH spin adukta snimanih 5 min nakon mešanja slepe probe sa 0,2 mg/ml ispitivanih ekstrakata kestena rastvorenih u vodi (aparat I).

Kako je prikazano na slici 25a, reakcija  $\text{Fe}^{2+}$  i  $\text{H}_2\text{O}_2$  u prisustvu spin trap agensa DMPO generiše 1:2:2:1 kvartet linija u EPR spektru sa hiperfinom strukturom i konstantom kuplovanja  $a_N$  i  $a_H=14,9$  G.



**Slika 25.** a. EPR spektar DMPO-OH spin adukta slepe probe (blank)  
 b. EPR spektar DMPO-OH spin adukta ekstrakta stare kore kestena rastvorenog u vodi.

(Slepa proba je dobijena mešanjem 2 ml 0,8 mol/dm<sup>3</sup> DMPO, 0,2 ml 10 m mol/dm<sup>3</sup> H<sub>2</sub>O<sub>2</sub>, 0,2 ml 10 mmol/dm<sup>3</sup> Fe<sup>2+</sup> i 0,2 ml vode. Ekstrakt stare kore je dodat rastvoren u vodi u finalnoj koncentraciji od 0,2 mg/ml. EPR spektri su snimani 5 minuta nakon dodavanja reagenasa)

Antioksidativna aktivnost u odnosu na hidroksi radikale ispitivanih ekstrakata je data u tabeli 32.

**Tabela 32.** Antioksidativna aktivnost ekstrakata kestena roda 2006. godine u odnosu na OH radikale

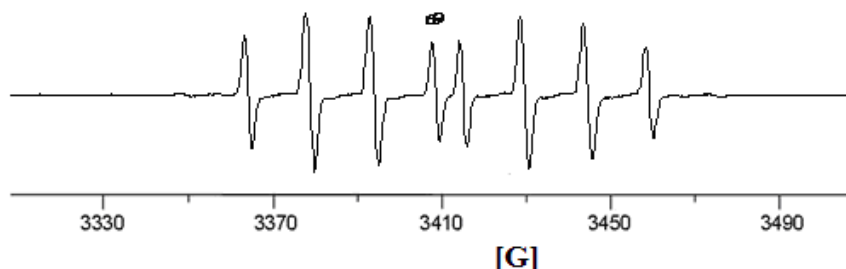
Delovi kestena	OH aktivnost (%) ± SD
<b>Pitomi kesten</b>	
Ceo plod	5,45±0,31
Srž ploda	0
Spoljna braon kora ploda	21,82±0,93
Resa	43,64±1,72
List	0
Stara kora drveta	68,18±2,43
Ježevice	1,82±0,08
<b>Lovranski marun</b>	
Spoljna braon kora ploda	56,36±2,51
List	5,45±0,07
<b>Kalemjeni italijanski marun</b>	
Resa	59,09±1,78
List	48,18±1,32

EPR spektar DMPO-OH spin adukta formiran u prisustvu ekstrakata stare kore drveta kestena je dat na slici 25b sa najvećom "skevendžing" radikalском активношћу која iznosi AA = 68,18% (tabela 32). Visoka "skevendžing" radikalска активност je

ispoljena i za resu kalemljenog italijanskog maruna (AA = 59,09%) (slika P4l) i spoljnju braon kore lovranskog maruna (AA = 56,36%) (slika P4i). Antioksidativna aktivnost u odnosu na OH radikale nije detektovana za ekstrakt srži kestena (slika P4c), kao i lista kestena (slika P4f). Niska vrednost antioksidativne aktivnosti je određena za ceo plod kestena (AA = 5,45%) (slika P4b).

Porast hidroksi radikalne "skevendžing" aktivnosti se može objasniti osobinom tanina da helatiziraju gvožđe.

Karakterističan EPR signal za DEPMPO/OH adukt dobijen u Fenton-ovoj reakciji (aparat II) je prikazan na slici 26.



**Slika 26.** EPR signal DEPMPO adukta ·OH radikala generisanog u Fenton-ovoj reakciji  
(Označen je DEPMPO/OH pik čija se amplituda određuje)

EPR spektar DEMPO/OH spin adukta snimanog 5 min nakon kombinovanja 28 mmol/l DEPMPO, 2 mmol/l H<sub>2</sub>O<sub>2</sub>, 0,075 mmol/l FeSO<sub>4</sub> i 0,2 ml Fe<sup>2+</sup> i vode (blank) je prikazan u Prilogu, na slici P5a. Na slikama P5b-f (u Prilogu) su prikazani EPR spektri DEMPO/OH spin adukta snimanog 5 minuta nakon dodavanja ekstrakata koncentracije 0,2 mg/ml prethodno rastvorenih u vodi.

U tabeli 33 su dati rezultati za antioksidativnu aktivnost u odnosu na hidroksi radikale ekstrakata rese i lista roda 2007. godine.

**Tabela 33.** Sposobnost ekstrakata kestena roda 2007. da redukuju stvaranje ·OH radikala u Fenton-ovoj reakciji

<b>Delovi kestena</b>	<b>RI (%) ± SD</b>
<b>Pitomi kesten</b>	
Resa	20±0,03
List	29±0,04
<b>Lovranski marun</b>	
Resa	23±0,03
List	34±0,02
<b>Kalemljeni italijanski marun</b>	
List	33±0,03

Svi ekstrakti su ispoljili "skevendžing" ·OH radikala, ali u različitoj meri. Ekstrakti rese ispoljavaju niže vrednosti antioksidativne aktivnosti u poređenju sa ekstraktima lista.

### 3.4.3. Korelaciona analiza

Izvršena je korelaciona analiza između sadržaja ukupnih fenola, flavonoida, kondenzovanih tanina, kao i antioksidativne aktivnosti u odnosu na DPPH i hidroksi radikale (aparat I) (tabela 34). Analizom su obuhvaćeni ekstrakti dobijeni od kestena roda 2006. godine.

**Tabela 34.** Korelacija između sadržaja ukupnih fenola, flavonoida, kondenzovanih tanina i antioksidativne aktivnosti u odnosu na DPPH i OH radikale

Parametar	Sadržaj fenola (%GAE)	Sadržaj flavonoida (%CE)	DPPH aktivnost (%)
<b>Sadržaj fenola (%GAE)</b>		0,83**	0,60*
<b>Sadržaj flavonoida (% CE)</b>			0,66*
<b>OH aktivnost (%)</b>	0,68*	0,76**	0,60*
<b>Kondenzovani tanini (%CE)</b>	n.s.***	0,67*	n.s.
<b>Kondenzovani tanini (%CT)</b>	n.s.	0,73**	n.s.

\* Korelacija je značajna na nivou 0,05

\*\* Korelacija je značajna na nivou 0,01

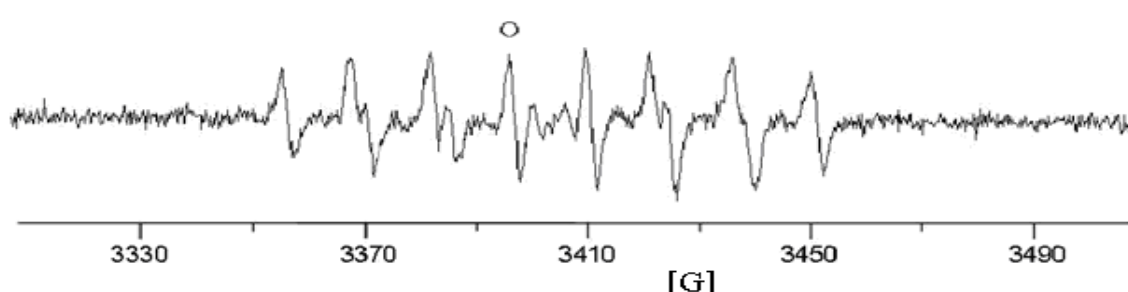
\*\*\* n.s. - nije signifikantno ( $P > 0,05$ )

Veoma značajna korelacija ( $P < 0,01$ ) je utvrđena između sadržaja fenola i flavonoida, sadržaja flavonoida i OH antioksidativne aktivnosti, kao i sadržaja flavonoida i kondenzovanih tanina određenih kiselim butanolnim testom. Značajna korelacija ( $P < 0,05$ ) je utvrđena između sadržaja fenola i OH aktivnosti, sadržaja fenola i DPPH aktivnosti, sadržaja flavonoida i DPPH aktivnosti, kao i između sadržaja flavonoida i kondenzovanih tanina određenih vanilin testom.

Između ostalih određivanja nije ustanovljena signifikanta korelaciona zavisnost ( $P > 0,05$ ).

### 3.4.4. Transformacija superoksidnog anjon radikala

Karakterističan EPR signal dobijen u HX/XO sistemu upotrebom DEPMPO je prikazan na slici 27.



**Slika 27.** EPR signal DEMPO adukta dobijen u HX/XO sistemu

(Na spektru je označena linija DEPMPO/OOH signala čija se amplituda određuje)

Slab signal DEPMPO/OH adukta se takođe može zapaziti u vidu dva mala centralna signala, ali on ne utiče na amplitudu i oštrinu dve centralne linije koje potiču od DEPMPO/OOH signala.

Svi ispitivani ekstrakti ispoljili su izrazitu "skevendžing" aktivnost u odnosu na  $\cdot\text{O}_2^-$  radikale (tabela 35). Karakteristični spektri slepe probe i ekstrakata su prikazani na slikama P6 i P7 (u Prilogu).

**Tabela 35.** Relativna inhibicija  $\cdot\text{O}_2^-$  radikala proizvedenih u HX/XO sistemu indukovanim ekstraktima kestena

Delovi kestena	RI (%) ± SD
<b>Pitomi kesten</b>	
Ceo plod	67±0,05
Srž ploda	54± 0,01
Spoljna braon kora ploda	70±0,03
Crvena unutrašnja kora ploda	53±0,05
Resa	70±0,04
List	73±0,06
Mlada kora drveta	75±0,04
Stara kora drveta	77±0,07
Ježevice	79±0,03
<b>Lovranski marun</b>	
Ceo plod	20±0,02
Srž ploda	45±0,04
Spoljna braon kora ploda	77±0,01
Crvena unutrašnja kora ploda	75±0,05
List	80±0,03
<b>Kalemljeni italijanski marun</b>	
Ceo plod	25±0,04
Resa	85±0,04
List	86±0,04

Iako svi ekstrakti ispoljavaju signifikantnu antioksidativnu aktivnost u odnosu na uklanjanje  $\cdot\text{O}_2^-$  radikala, najjefikasniji su ekstrakti lista (RI = 86) i rese kalemljenog italijanskog maruna (RI = 85), kao i lista lovranskog maruna (RI = 80) i ježevica (RI = 79).

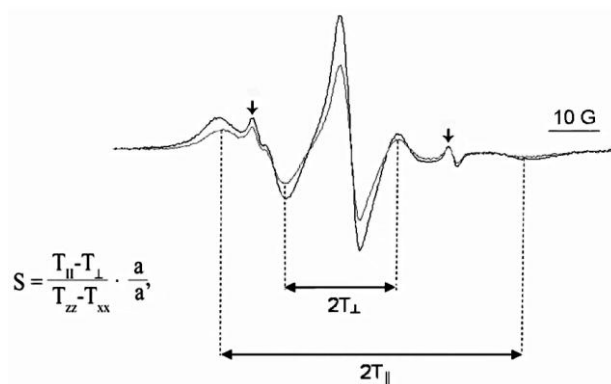
Za razliku od njih, ekstrakt celog ploda lovranskog maruna (RI = 20), srži lovranskog maruna (RI = 45), celog ploda kalemljenog italijanskog maruna (RI = 25), kao i ekstrakti celog ploda i srži pitomog kestena ispoljavaju znatno nižu antioksidativnu aktivnost.

Utvrđen je sledeći redosled RI aktivnosti ispitivanih ekstrakata u odnosu na  $\cdot\text{O}_2^-$  radikale:

resa > list > ježevice > stara kora drveta > spoljna braon kora ploda > mlada kora drveta > crvena unutrašnja kora ploda > srž ploda > ceo plod.

### 3.4.5. Kapacitet ekstrakata za uklanjanje lipidne peroksidacije

Kapacitet ekstrakata da prevenira ili uklanja lipidnu peroksidaciju lipozoma je testiran korišćenjem Fenton-ove reakcije u kojoj se stvara  $\cdot\text{OH}$ , koji efikasno izaziva peroksidaciju. Iz spektra 7-DS-a koji se inkorporira u lipozome određuje se parametar reda S koji je recipročno proporcionalan membranskoj fluidnosti.



**Slika 28.** EPR spektar lipozoma obeleženih 7-DS-om

(Tamno: lipozomi tretirani  $\cdot\text{OH}$  radikalima; svetlo: netretirani lipozomi); S: parametar;  $2T_{\parallel}$ : spoljašnje hiperfino kuplovanje;  $2T_{\perp}$ : unutrašnje hiperfino kuplovanje; a: izotropna hiperfina konstanta kuplovanja kristala [ $a = 1/3(T_{xx} + T_{yy} + T_{zz})$ ];  $a'$ : izotropna hiperfina konstanta kuplovanja membrane [ $a' = 1/3(T_{\parallel} + 2T_{\perp})$ ];  $T_{xx}$ ,  $T_{yy}$ ,  $T_{zz}$ : hyperfine konstante (za 7-DS, uzima se da je  $T_{xx} = T_{yy} = 6,1$  G,  $T_{zz} = 32,4$  G)

(Slika pokazuje kako se  $2T_{\parallel}$  i  $2T_{\perp}$  određuju za netretirane lipozome. Dve bliske linije (vertikalne linije) potiču od 7-DS u rastvoru)

Tabela 36 daje vrednosti za parametar reda (S) za: i) čiste lipozome, ii) lipozome izložene Fenton-ovom sistemu, iii) lipozome pomešane sa ekstraktima kestena i iv) lipozome pomešane sa ekstraktima kestena izložene Fenton-ovom sistemu.

**Tabela 36.** Parametar S lipozoma i lipozoma pomešanih s ekstraktom kestena roda 2006. godine, određen upotrebom EPR-a i spin probe 7-DS

			<b>S ± SD</b>
<b>Kontrola</b>	Netretirani lipozomi Tretirani lipozomi	(i) (ii)	0,590±0,002 0,609±0,004
<b>Delovi kestena</b>			
<b>Pitomi kesten</b>			
Ceo plod	Netretirani lipozomi/ekstrakt (iii)		0,621±0,002
	Tretirani lipozomi/ekstrakt (iv)		0,619±0,010
Srž ploda	nt t	** *	0,595±0,004 0,587±0,005
Spoljna braon kora ploda	nt t		0,613±0,003 0,611±0,003
Crvena unutrašnja kora ploda	nt t		0,612±0,003 0,617±0,003
Resa	nt t		0,590±0,004 0,601±0,002
List	nt t		0,610±0,004 0,604±0,003
Mlada kora drveta	nt t		0,620±0,005 0,619±0,003
Stara kora drveta	nt t		0,597±0,002 0,597±0,004
Ježevice	nt t		0,579±0,002 0,587±0,010
<b>Lovranski marun</b>			
Ceo plod	nt t		0,612±0,004 0,621±0,002
Srž ploda	nt t		0,606±0,002 0,620±0,005
Spoljna braon kora ploda	nt t		0,604±0,007 0,603±0,009
Crvena unutrašnja kora ploda	nt t		0,606±0,007 0,603±0,009
List	nt t		0,592±0,003 0,588±0,003
<b>Kalemljeni italijanski marun</b>			
Resa	nt t		0,598±0,005 0,606±0,003
List	nt t		0,593±0,002 0,597±0,002

\* t – tretirani

\*\* nt – netretirani

Merenjem parametra reda S za čiste lipozome i lipozome izložene Fenton-ovom sistemu određuje se stepen smanjenja membranske fluidnosti izazvan od strane  $\cdot\text{OH}$  radikala stvorenih u Fenton-ovom sistemu. Merenjem S za netretirane lipozome pomešane sa ekstraktima utvrđuje se da li komponente u ekstraktima izazivaju promenu membranske fluidnosti. Dobijene vrednosti ukazuju na mehanizam zaštite od peroksidacije, kao i neke druge moguće primene ekstrakata.

Iz tabele 36 se može videti da većina ekstrakata kestena ispoljava aktivnost.

Ekstrakt mlade kore drveta i celog ploda pitomog kestena izaziva signifikantno smanjenje membranske fluidnosti kod lipozoma koji nisu tretirani u Fenton-ovoj rekciji (uzorci koji nisu izloženi  $\cdot\text{OH}$ ), dok ekstrakti celog ploda lovanskog maruna, crvene unutrašnje kore i spoljne braon kore lovanskog maruna, crvene unutrašnje kore, braon spoljne kore i lista pitomog kestena ispoljavaju smanjenje koje nije tako izrazito. Ekstrakt rese pitomog kestena, celog ploda i srži lovanskog maruna ne ispoljava sposobnost zaštite lipozoma od peroksidacije.

Promene u fluidnosti kod netretiranih lipozoma ukazuju da se neke komponente iz ekstrakata celog ploda, lista i ježevica ugrađuju u membranu. Lipofilne komponente ekstrakata menjaju fluidnost lipozoma i prvenstveno uklanjanju lipidne radikale unutar membrane. Drugi ekstrakti najverovatnije preveniraju lipidnu peroksidaciju uklanjanjem  $\cdot\text{OH}$  radikala iz rastvora. Smanjenje membranske fluidnosti izazvane ekstraktom ježevica se može uzeti u razmatranje za njegovu dalju primenu u dijeti i terapiji kod hipertenzije.

Rezultati dobijeni za ekstrakte kestena roda 2007. godine su prikazani u tabeli 37.

**Tabela 37.** Parametar (S) lipozoma i lipozoma pomešanih sa ekstraktom kestena roda 2007. godine, određen upotrebom EPR-a i spin probe 7-DS

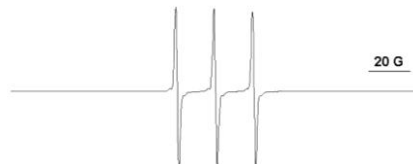
	S ± SD	
<b>Kontrola</b>	Netretirani lipozomi	0,600±0,005
	Tretirani lipozomi	0,616±0,002
<b>Delovi kestena</b>		
<b>Pitomi kesten</b>		
Resa	n	0,593±0,002
	t	0,605±0,010
List	n	0,599±0,004
	t	0,599±0,003
<b>Lovranski marun</b>		
Resa	n	0,603±0,002
	t	0,606±0,002
List	n	0,605±0,004
	t	0,605±0,005
<b>Kalemljeni italijanski marun</b>		
List	n	0,621±0,002
	t	0,616±0,004

Ekstrakt rese pitomog kestena (tabela 37) neznatno povećava fluidnost kod netretiranih lipozoma i prevenira lipidnu peroksidaciju, što treba uzeti u obzir u daljim ispitivanjima. Ekstrakt lista kalemljenog italijanskog maruna izaziva signifikanto smanjenje membranske fluidnosti lipozoma koji nisu izloženi Fenton-ovom sistemu. Poredanjem ekstrakata rese i lista roda 2006. i 2007. godine zapaža se da ekstrakti

kestena roda 2006. godine neznatno smanjuju membransku fluidnost kod netretiranih lipozoma, dok ekstrakt rese kalemljenog italijanskog maruna roda 2007. godine ispoljava izrazito smanjenje membranske fluidnosti kod netretiranih lipozoma.

### 3.4.6. Kapacitet ekstrakata za transformaciju organskih hidrofilnih radikala

Ispitivanje sposobnosti ekstrakta kestena da reaguje sa organskim hidrofilnim radikalima izvršena je korišćenjem hidrofilne probe Tempon. Na slici 29 je prikazan karakterističan EPR signal u vodenom rastvoru Tempon-a. Prilikom merenja se određuje amplituda središnjeg pika.



**Slika 29.** EPR spektar spin probe Tempon-a u vodenom rastvoru

Kapacitet za uklanjanje Tempon-a (model komponente za organske, hidrofilne radikale) je ispoljen u slučaju skoro svih ispitivanih ekstrakata kestena (tabela 38).

**Tabela 38.** Sposobnost redukcije spin probe Tempon ekstrakata kestena rod 2006. god.

Delovi kestena	AA (%) ± SD
<b>Pitomi kesten</b>	
Ceo plod	0,4± 0,002
Srž ploda	4,6±0,001
Spoljna braon kora ploda	5,9±0,002
Crvena unutrašnja kora ploda	8,3±0,004
Resa	18,1±0,002
List	0,2±0,002
Mlada kora drveta	0,5±0,001
Stara kora drveta	7,0±0,006
Ježevice	8,4±0,004
<b>Lovranski marun</b>	
Ceo plod	2,1±0,002
Srž ploda	1,8±0,002
Spoljna braon kora ploda	12,6±0,002
Crvena unutrašnja kora ploda	4,3±0,003
List	4,1±0,003
<b>Kalemljeni italijanski marun</b>	
Resa	9,1±0,004
List	7,1±0,005

Ekstrakti rese pitomog kestena ( $A = 18,1\%$ ) i spoljne braon kore lovranskog maruna ( $A = 12,6\%$ ) ispoljavaju najveću antioksidativnu aktivnost u pogledu redukcije spin probe Tempon. Visoke vrednosti ispoljavaju i ekstrakt rese kalemljenog italijanskog maruna, crvena unutrašnja kora pitomog kestena i ježevica. Ekstrakti lista pitomog kestena i mlade kore drveta ispoljavaju minimalnu aktivnost.

U tabeli 39 su dati rezultati dobijeni za ekstrakte kestena roda 2007. godine.

**Tabela 39.** Sposobnost redukcije spin probe Tempon ekstrakata kestena rod 2007. god.

Delovi kestena	AA (%) $\pm$ SD
<b>Pitomi kesten</b>	
Resa	5,1 $\pm$ 0,002
List	2,5 $\pm$ 0,001
<b>Lovranski marun</b>	
Resa	7,3 $\pm$ 0,003
List	4,5 $\pm$ 0,003
<b>Kalemljeni italijanski marun</b>	
List	2,4 $\pm$ 0,002

Ekstrakti rese ispoljavaju veću antioksidativnu aktivnost u odnosu na organske hidrofilne radikale u poređenju sa ekstraktima lista.

Na osnovu dobijenih rezultata za kapacitet ekstrakata na transformaciju organskih hidrofilnih radikalja (Tempon), određen je sledeći redosled aktivnosti analiziranih ekstrakata:

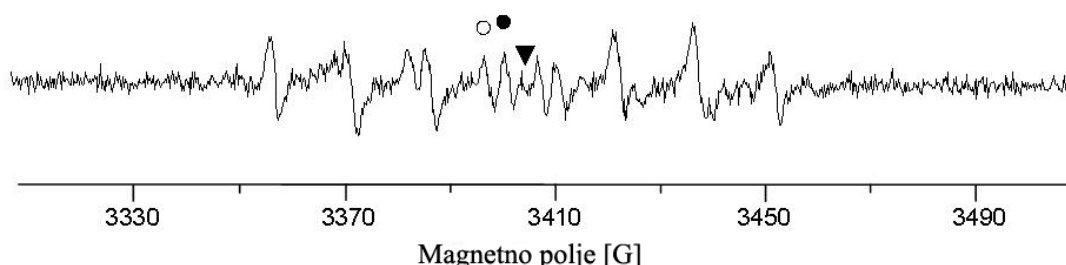
resa > spoljna braon kora ploda > crvena unutrašnja kora ploda > ježevice >  
stara kora drveta > list > srž ploda > ceo plod > mlada kora drveta.

Ekstrakti rese pitomog kestena i lista kalemljenog italijanskog maruna roda 2006. godine ispoljavaju veću antioksidativnu aktivnost u odnosu na odgovarajuće uzorke roda 2007. godine, dok je za ekstrakte lista pitomog kestena i lovranskog maruna roda 2007. godine zabeležena veća aktivnost u odnosu na 2006. godinu

#### 3.4.7. Transformacija hidroksi radikala i superoksid anjon radikala generisanih UV zračenjem

Ispitivanje protektivnog delovanja ekstrakata na UV zračenje ispituje se sposobnošću uklanjanja  $\cdot\text{OH}$  i  $\cdot\text{O}_2^-$  radikala nastalih nakon zračenja.

Na slici 30 je prikazan karakterističan kombinovani spektar DEPMPO/OH i DEPMPO/OOH adukta, dobijen u vodenom rastvoru izloženom UV zračenju.



**Slika 30.** EPR signal dobijen UV zračenjem vodenog rastvora ekstrakta srži pitomog kestena

Krugom je označen pik DEPMPO/OOH adukta čija se amplituda meri. Popunjениm krugom označen je karakterističan pik za DEPMPO/OH adukt. Trouglom je označen signal oksidovanog hidroksilamina generisanog UV zračenjem indukovanim razgradnjom DEPMPO.

Karakteristični spektri dobijeni za slepu probu i vodene rastvore suvih ekstrakata dodavane u koncentraciji (0,2 mg/ml) su prikazani na slici P8 (u Prilogu).

Analiza UV protektivne aktivnosti ekstakata je složena zbog dodatnog signala oksidovanog hidroksilamina koji se stvara razgradnjom DEPMPO indukovanim UV zračenjem<sup>228</sup>. Nepoželjni signal (najjintezivniji u slepoj probi) (slika P8) značajno se preklapa sa spektrima DEPMPO/OH i DEPMPO/OOH adukta, što dovodi do teškoća u određivanju amplitude pika. Zapaženo delovanje ukazuje da ekstrakti obezbeđuju zaštitu spin trapa od degradacije izazvane UV zračenjem.

U tabeli 40 su dati rezultati za relativnu inhibiciju u odnosu na UV zračenje izazvano stvorenim  $\cdot\text{OH}$  i  $\cdot\text{O}_2^-$  radikalima indukovanim u ekstraktima kestena.

**Tabela 40.** Relativna inhibicija  $\cdot\text{OH}$  i  $\cdot\text{O}_2^-$  radikala indukovana ekstraktima kestena (rod 2006. godine)

Delovi kestena	RI ( $\cdot\text{OH}$ ) $\pm$ SD	RI ( $\cdot\text{O}_2^-$ ) $\pm$ SD
<b>Pitomi kesten</b>		
Ceo plod	16 $\pm$ 0,05	-119 $\pm$ 0,10
Srž ploda	-5 $\pm$ 0,02	-150 $\pm$ 0,12
Resa	18 $\pm$ 0,02	-12 $\pm$ 0,02
List	8 $\pm$ 0,03	-6 $\pm$ 0,02
Stara kora drveta	-18 $\pm$ 0,03	-19 $\pm$ 0,05
Ježevice	-13 $\pm$ 0,03	-69 $\pm$ 0,09
<b>Lovranski marun</b>		
Spoljna braon kora ploda	21 $\pm$ 0,04	12 $\pm$ 0,05
List	21 $\pm$ 0,02	25 $\pm$ 0,05
<b>Kalemljeni italijanski marun</b>		
Resa	29 $\pm$ 0,02	12 $\pm$ 0,05
List	34 $\pm$ 0,09	-31 $\pm$ 0,02

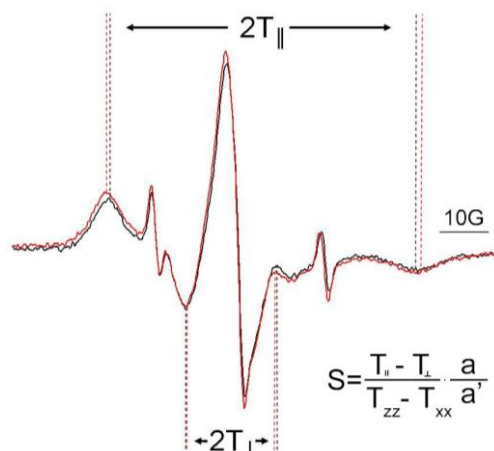
Tri ekstrakta poseduju pozitivne RI vrednosti za relativnu inhibiciju u odnosu na obe vrste radikala,  $\cdot\text{OH}$  i  $\cdot\text{O}_2^-$  i to: spoljna braon kora lovranskog maruna (RI ( $\cdot\text{OH}$ ) = 21; RI ( $\cdot\text{O}_2^-$ ) = 12), resa sa kalemljenog italijanskog maruna (RI ( $\cdot\text{OH}$ ) = 29; RI ( $\cdot\text{O}_2^-$ ) = 12) i list lovranskog maruna (RI ( $\cdot\text{OH}$ ) = 21; RI ( $\cdot\text{O}_2^-$ ) = 25).

Negativne RI vrednosti dobijene za ostale ekstrakte ukazuju da oni ispoljavaju prooksidativnu aktivnost u vodenom rastvoru izloženom UV zračenju. Zapažena prooksidativna aktivnost, kao i veoma slaba antioksidativna aktivnost navedenih ekstrakata sa pozitivnim vrednostima RI u odnosu na oba ispitana radikala, ukazuju da se oni ne mogu koristiti u cilju UV zaštite. Visoka senzitivnost ekstrakata srži ploda pitomog kestena, ježevica i celog ploda pitomog kestena u odnosu na UV zračenje uslovjava da se one drže dalje od svetlosti u cilju sprečavanja razgradnje.

### 3.5. UTICAJ EKSTRAKATA NA PREVENIRANJE/UKLANJANJE LIPIDNE MEMBRANE ERITROCITA

Kapacitet ekstrakata *C. sativa* je u odnosu na zaštitu membrane eritrocita od lipidne peroksidacije i promene fluidnosti ispitana je upotrebom EPR-a.

Na slici 31 je prikazan karakterističan spektar netretiranih eritrocita i eritrocita tretiranih  $\text{H}_2\text{O}_2$  i obeleženih 7-DS-om.



**Slika 31.** EPR spektar eritrocita obeleženih sa 7-DS-om

(Crna boja – netretirani eritrociti; crvena boja – eritrociti izloženi 3 mmol/l  $\text{H}_2\text{O}_2$  nakon perioda inkubacije od 30 minuta); S: parametar.  $2T_{\parallel}$ : spoljašnje hiperfino kuplovanje.  $2T_{\perp}$ : unutrašnje hiperfino kuplovanje; a: izotropna hiperfina konstanta kuplovanja kristala [ $a = 1/3(T_{xx} + T_{yy} + T_{zz})$ ]; a': izotropna hiperfina konstanta kuplovanja membrane [ $a' = 1/3(T_{\parallel} + 2T_{\perp})$ ];  $T_{xx}$ ,  $T_{yy}$ ,  $T_{zz}$ : hyperfine konstante (za 7-DS, uzima se da je  $T_{xx} = T_{yy} = 6,1$  G,  $T_{zz} = 32,4$  G)<sup>229</sup>

Dve bliske linije (vertikalne linije) potiču od 7-DS u rastvoru.

Na slici 31 se može zapaziti povećanje parametra reda S utvrđenim za eritrocite tretirane  $\text{H}_2\text{O}_2$ . U tabeli 41 su date vrednosti parametra reda S.

**Tabela 41.** Parametar reda S netretirananih eritrocita i eritrocita tretiranih  $H_2O_2$  u prisustvu ekstrakata kestena upotrebom spin probe 7-DS

		<b>Uzorak</b>	<b>S ± SD</b>
<b>Kontrola</b>		Netretirani eritrociti	0,753±0,005
		Tretirani eritrociti	0,776±0,006
<b>Rod (godina)</b>	<b>Delovi ploda</b>		
2006.	Resa kalemljenog italijanskog maruna	Netretirani eritrociti + e	0,752±0,009
	List lovranskog maruna	Tretirani eritrociti + e	0,757±0,006
	Ježevice	Netretirani eritrociti + e	0,753±0,005
	Resa lovranskog maruna	Tretirani eritrociti + e	0,752±0,004
2007.	List lovranskog maruna	Netretirani eritrociti + e	0,761±0,005
	Resa pitomog kestena	Tretirani eritrociti + e	0,760±0,005
		Netretirani eritrociti + e	0,761±0,008
		Tretirani eritrociti + e	0,765±0,014
		Netretirani eritrociti + e	0,760±0,014
		Tretirani eritrociti + e	0,758±0,015
		Netretirani eritrociti + e	0,749±0,007
		Tretirani eritrociti + e	0,758±0,011

e – ekstrakt

Tretirani eritrociti su izloženi dejству 3 mmol/l  $H_2O_2$ . Utvrđeno je da svi ispitvani ekstrakti štite membrane od lipidne peroksidacije. Najslabije delovanje je zapaženo za ekstrakte pitomog kestena roda 2006. godine. Kako razlika između parametra reda S za netretirane eritrocite i eritrocite tretirane  $H_2O_2$  nije statistički značajana, može se zaključiti da svi ispitvani ekstrakti ispoljavaju antioksidativnu aktivnost dovoljnu da preveniraju/otklone lipidnu peroksidaciju membrane eritrocita.

### 3.6. UTICAJ EKSTRAKATA NA ZAŠTITU MEMBRANSKOG INTEGRITETA MERENJEM SADRŽAJA KALIJUMA

U tabeli 42 su dati rezultati efluksa kalijuma, koji je izazvan izlaganjem kontrole i ekstrakata dejstvu 3 mmol/l rastvora  $H_2O_2$  nakon 30 min.

Efluks se dobija oduzimanjem  $[K^+]_{\text{netretirani}}$  od  $[K^+]_{\text{tretirani}}$ . Kontrolni eksperiment je postavljen određivanjem razlike u koncentraciji kalijuma između tretiranog i netretiranog uzorka eritrocita.

**Tabela 42.** Efluks kalijuma iz eritrocita izloženih H<sub>2</sub>O<sub>2</sub>

<b>Uzorak</b>	<b>Efluks (mmol/l) ± SD</b>	
<b>Kontrola</b>	4,35±0,018	
<b>Rod</b> <b>(godina)</b>	<b>Delovi kestena</b>	
2006.	Resa kalemljenog italijanskog maruna List lovranskog maruna Ježevice Resa lovranskog maruna List lovranskog maruna	0,39±0,01 5,80±0,02 1,67±0,006 0,96±0,009 0,46±0,022
2007.	Resa pitomog kestena	0,75±0,019

Može se zapaziti da H<sub>2</sub>O<sub>2</sub> utiče na membranu eritrocita izazivajući povećanje efluksa K<sup>+</sup> (kontrola). Efluks K<sup>+</sup> nije statistički značajan u slučaju eritrocita izloženih H<sub>2</sub>O<sub>2</sub> u prisustvu ekstrakata rese kalemljenog italijanskog maruna, kao i u slučaju sva tri ekstrakta kestena roda 2007. god. To ukazuje da ovi ekstrakti štite membranu eritrocita. Ekstrakt lista lovranskog maruna (rod 2006. godine) ne štiti integritet membrane, s obzirom de je efluks kalijuma isti kao i u kontrolnom uzorku. Ekstrakt ježevica daje manju vrednost efluksa kalijuma u odnosu na kontrolu, pa ne obezbeđuje zaštitu eritrocita kao gore navedeni ekstrakti. Ekstrakt lista lovranskog maruna potiču od istog kultivara, ali iz različitih godina. Ekstrakt kestena (rod 2007. godine) poseduje veći sadržaj ukupnih fenola i flavonoida (tabela 21), i ovaj ekstrakt štiti eritrocite, a odgovarajući ekstrakt iz prethodne godine sa manjim sadržajem ovih supstanci (tabela 19) ne deluje u smislu zaštite. Fenoli i flavonoidi predstavljaju potencijalno aktivne supstance u eritrocitima u odnosu na oksidativno oštećenje.

S obzirom da svi ekstrakti pokazuju dobar kapacitet u preveniranju lipidne peroksidacije (tabela 37 i 38) gubitak aktivnosti za ekstrakte lista lovranskog maruna (2006. god.) i ježevica, ne bi trebalo da utiče na efekat indukovani kod membranskih lipida. Delovanje H<sub>2</sub>O<sub>2</sub> ide u pravcu disfunkcije nekih membranskih proteina kao što su K<sup>+</sup>/Na<sup>+</sup> ATP-aze<sup>230</sup>, ili čak može povećati propustljivost membrane eritrocita u odnosu na K<sup>+</sup>.

### 3.7. IN VITRO ANTIOKSIDATIVNA SVOJSTVA EKSTRAKATA KESTENA

Dijabetes nastaje kao posledica propadanja i disfunkcije β-ćelija pankreasa, što rezultuje smanjenom ili obustavljenom proizvodnjom insulina. Ovim putem organizam razvija netoleranciju ka glukozi što dovodi do dijabetesa. Obzirom da je *Diabetes mellitus* definisan kao stanje pojačanog oksidativnog stresa, veoma je važno uvesti ćeliju u ekvilibriju<sup>42</sup>.

U cilju uspostavljanja model-sistema dijabetesa, β-ćelije pankreasa (Rin-5F) su inkubirane sa streptozotocinom (STZ), aloksanom (ALX) i Na-nitroprusidom (SNP). STZ i ALX su poznati izazivači dijabetesa koji učestvuju u formiranju slobodnih radikala izazivajući oštećenje DNK, proteina, lipida i drugih molekula u ćeliji. Od stepena oštećenja i ćeljske sposobnosti da odgovori na indukovani stimulans zavisi i stepen smrtnosti ćelija<sup>231</sup>.

Sposobnost balansiranja poremećenog oksidativnog stanja praćena je analizom ćelijskog preživljavanja pomoću MTT testa na Rin-5F ćelijama, nakon istovremenog tretmana sa dijabetogenim agensima i ekstraktima kestena.

### 3.7.1. STZ/ALX/SNP izazvan dijabetes tip I (*Diabetes mellitus-tip I*)

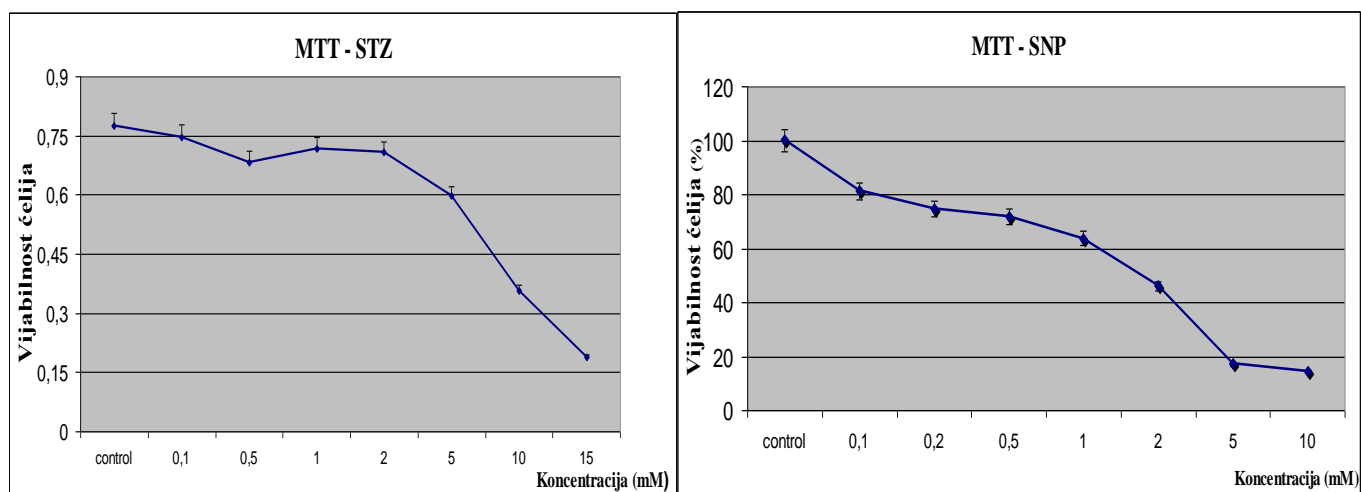
Analizirane su kontrolne Rin-5F ćelije, zatim ćelije sa indukovanim dijabetesom primenom STZ-a ili SNP-a i Rin-5F ćelije koje su pre tretmana sa izazivačima dijabetesa inkubirane sa ekstraktima kestena. Inkubacija sa odabranim ekstraktima traje sve vreme u toku kojeg su ćelije izložene dejstvu dijabetogenih agenasa-STZ/SNP. U tabeli 43 su dati delovi dva kultivara kestena i njihove oznake u okviru ovih ispitivanja.

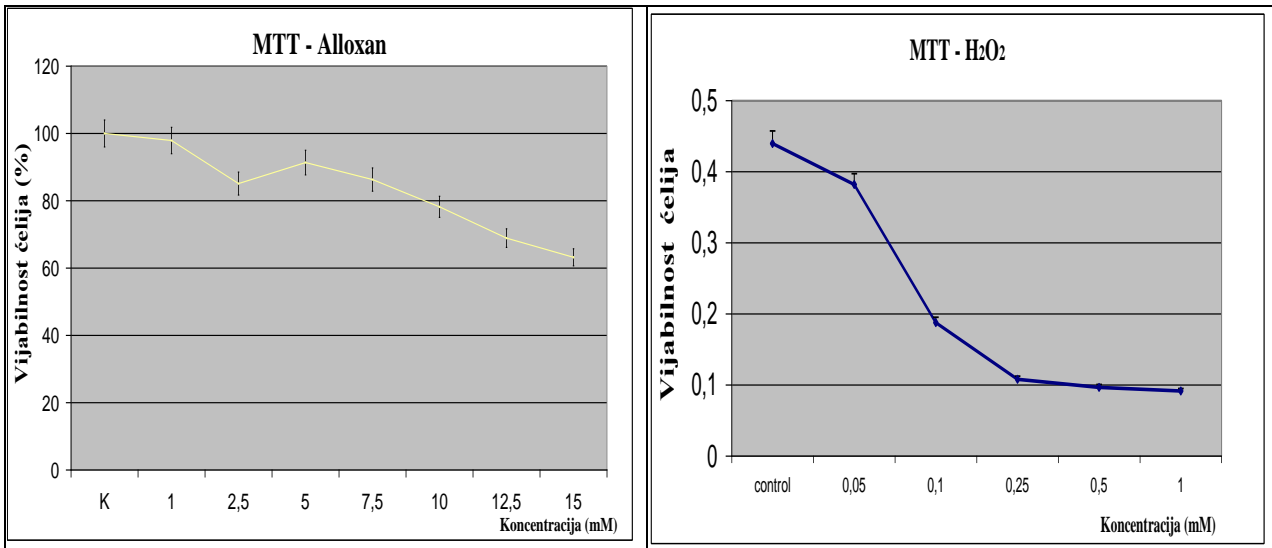
**Tabela 43.** Uzorci na kojima je rađeno *in vitro* antioksidativno ispitivanje

Delovi kestena	Oznaka uzorka
<b>Pitomi kesten</b>	
Resa	Ekstrakt 15
Ježevice	Ekstrakt 32
<b>Lovranski marun</b>	
List	Ekstrakt 23

Primenom dijabetogenih agenasa (STZ, ALX) u rastućim koncentracijama dobijena je opadajuća kriva ćelijskog preživljavanja (slika 32). Dijabetogenim stanjem se smatra kada je manje od 60% ćelija vijabilno. Primjenom STZ-a u koncentraciji od 5 do 10 mmol/l dovodi do razvijanja modela dijabetesa, dok ALX deluje u koncentraciji od 15 mmol/l, što je nefiziološka doza, koja ne dovodi do razvijanja dijabetesa. SNP je klasičan egzogeni donor azot monoksida (NO).

U pripremi eksperimenta SNP je korišćen u cilju potvrde mehanizma dejstva STZ-a. SNP dovodi do dijabetogenog stanja u koncentraciji od 1 mmol/l. H<sub>2</sub>O<sub>2</sub> je korišćen kao pozitivna kontrola samog testa i ćelijske smrti, rastvaran u je vodi a primenjene su sledeće koncentracije: 0, 0,05, 0,1, 0,25, 0,5 i 1 mmol/l.





**Slika 32.** Test vijabilnosti (MTT) urađen na  $\beta$ -ćelijama pankreasa nakon tretmana ćelija sa dijabetogenim agensima – STZ, ALX i SNP-a ( $\text{H}_2\text{O}_2$  je korišćen kao pozitivna kontrola ćeljske smrti)

STZ u ćeliji *in vivo* pokreće nekoliko destruktivnih mehanizama među kojima su posebno značajni citotoksična metilacija DNK i stvaranje  $\cdot\text{OH}$  i NO radikala. Prepostavlja se da glavni signal destrukcije  $\beta$ -ćelija pankreasa potiče od sposobnosti STZ-a da formira NO radikal. Stoga STZ - indukovani dijabetes predstavlja veoma pogodan eksperimentalni sistem za proučavanje komplikacija u dijabetesu, kao što su ćeljska oštećenja i smrt.

Izvršena je analiza ekstrakata kestena (tabela 43) u *in vitro* u kulturi Rin-5F ćelija. Ćelije su istovremeno inkubirane sa ekstraktima i sa STZ ili SNP-om, koji dovode do poremećaja oksidativnog statusa ćelije. Svaki ekstrakt je korišćen u koncentraciji od 0,02 mg/ml, koja je u DPPH testu doveo do oko 80% redukcije DPPH<sup>232</sup> (što je mera antioksidativne funkcije, tj. funkcije "skevendžinga" slobodnih radikala).

Inkubacija ekstrakata i dijabetogenih agenasa sa Rin-5F ćelijama je trajala 24 h. Nakon toga su rađeni testovi vijabilnosti (MTT-test), prikazani na slici P9 (u Prilogu).

Ekstrakti rese i ježevica pitomog kestena i lista lovanskog maruna imaju izuzetno visoku antioksidativnu aktivnost u ćeliji. Naročito je povoljna činjenica da su delotvorni u niskim koncentracijama (oko 0,02 mg/ml). Ekstrakti rese pitomog kestena i lista lovanskog maruna su slični po antioksidativnom kapacitetu i za nijansu bolji od ekstrakta ježevica.

Askorbinska kiselina (AA), odnosno vitamin C je korišćena u koncentraciji 250  $\mu\text{mol/l}$  kao kontrola. AA se pokazala kao blago toksična u kombinaciji sa većim koncentracijama dijabetogenih agenasa – STZ i SNP-a.

### 3.8. ISPITIVANJE ANTIMIKROBNE AKTIVNOSTI EKSTRAKATA

Antimikrobnu aktivnost suvih ekstrakata *C. sativa* i standarda rastvorenih u 30% etanolu je prikazana u tabelama 44 i 45.

**Tabela 44.** Antimikrobnna aktivnost ekstrakata *C. sativa* i referentnih standarda

Delovi kestena	Mikroorganizmi			
	<i>Staphylococcus aureus</i>	<i>Sarcina lutea</i>	<i>Bacillus cereus</i>	<i>Proteus mirabilis</i>
<b>ZI*</b>				
<b>Pitomi kesten</b>				
Ceo plod	NI**	NI	NI	NI
Srž ploda	NI	NI	NI	NI
Spoljna braon kora ploda	9,67 ± 0,58	7,33 ± 0,58	9,33 ± 0,58	10 ± 0
Resa	15,33 ± 0,58	13,66 ± 0,58	10 ± 0	11,33 ± 0,47
List	14 ± 4,89	11 ± 1	10 ± 0	12 ± 0
Stara kora drveta	14,67 ± 0,58	9,33 ± 0,58	10 ± 0	11 ± 0
Ježevice	9,33 ± 0,58	10 ± 0	10 ± 1	11,33 ± 0,47
<b>Lovranski marun</b>				
Spoljna braon kora ploda	10 ± 0	10,33 ± 0,58	10,67 ± 0,59	10,33 ± 0,58
List	16 ± 3,46	13 ± 1	10,33 ± 0,58	12,66 ± 0,47
<b>Kalemljeni italijanski marun</b>				
Resa	16,67 ± 0,58	15,66 ± 0,58	9,33 ± 0,58	12 ± 0
List	14 ± 1,73	9 ± 1	9,67 ± 0,58	11,33 ± 0,47
<b>Standardi</b>				
Amoksicilin	27,3 ± 1,15	55,0 ± 1,0	29,0 ± 0	26,33 ± 0,57
Penicilin	30,3 ± 2,25	37,7 ± 0,49	34,0 ± 0	34,33 ± 0,57

\*ZI se izražava kao srednja vrednost ± SD (mm)

\*\*NI – nema inhibicije

Svi ispitivani ekstrakti su ispoljili aktivnost u odnosu na gram pozitivne bakterije: *Staphylococcus aureus*, *Sarcina lutea*, *Bacillus cereus*, *Lactococcus lactis* ssp. *lactis*, *Micrococcus pyrogenes* var. *albus*, kao i na gram negativne bakterije *Proteus mirabilis* i *Salmonella typhimurium*. Samo je ekstrakt lista sva tri ispitivana kulitivara ispoljio antimikrobnu aktivnost u odnosu na kvasac *Rhodotorula*.

Najveća aktivnost ekstrakata je utvrđena u odnosu na bakterije *M. pyrogenes* var. *albus*, *S. aureus* i *S. typhimurium*, a ekstrakti su najmanje aktivni u odnosu na kvasac *Rhodotorula*. Resa i list svih ispitivanih kulitvara daju maksimalnu antimikrobnu aktivnost. Ekstrakti rese i lista ispitivanih kulitvara kestena poseduju visok sadržaj fenola i flavonoida (tabele 18, 19 i 20). Visoku aktivnost ispoljavaju i ekstrakti stare kore drveta, ježevice i spoljne braon kore ploda.

Sa druge strane, ceo plod i srž ploda pitomog kestena (sa izuzetkom *L. lactis* ssp. *lactis*) ne ispoljava antimikrobnu aktivnost. To je uglavnom rezultat visokog sadržaja ugljenih hidrata, pre svega skroba<sup>193</sup>, koji su zastupljeni u sastavu ploda (tabela 10).

**Tabela 45.** Antimikrobna aktivnost ekstrakata *C. sativa* i referentnih standarda

Delovi kestena	<i>Lactococcus lactis</i> ssp. <i>lactis</i>	<i>Micrococcus pyrogenes</i> var. <i>albus</i>	Mikroorganizmi			
			<i>Salmonella typhimurium</i>	<i>Rhodotorula</i>		
<b>ZI</b>						
<b>Pitomi kesten</b>						
Ceo plod	10,67 ± 1,53	NI	NI	NI		
Srž ploda	NI	NI	NI	NI		
Spoljna braon kora ploda	15 ± 2,5	12,33 ± 1,15	NI	NI		
Resa	10,33 ± 0,72	15,5 ± 2,59	17,82 ± 0,78	NI		
List	14,5 ± 2,5	14,33 ± 1,15	13,67 ± 0,88	12 ± 1,58		
Stara kora drveta	12,33 ± 1,53	13,67 ± 0,58	11,65 ± 0,55			
Ježevice	10 ± 1	14,16 ± 1,25	15,83 ± 1,82			
<b>Lovranski marun</b>						
Spoljna braon kora ploda	11,33 ± 2,08	12,67 ± 2,08	11,5 ± 0,53	NI		
List	11,5 ± 0,84	16,33 ± 0,58	17,83 ± 1,19	15 ± 0		
<b>Kalemljeni italijanski marun</b>						
Resa	9,0 ± 0	17,83 ± 2,25	18,59 ± 1,12	NI		
List	14 ± 1,73	14,33 ± 1,15	12,47 ± 0,61	12,33 ± 0,58		
<b>Standardi</b>						
Amoksicilin	8 ± 0	36 ± 0,58	16 ± 0			
Penicilin	12 ± 0,58	52 ± 0	15 ± 0			
Ketokonazol				25 ± 0		
Nistatin				18 ± 0		
Amfotericin B				10,3 ± 0,58		

Najveću aktivnost ekstrakti su ispoljili u odnosu na *M. pyrogenes* var. *albus*, *S. aureus*, *S. typhimurium*, *L. lactis* ssp. *lactis*, a najmanju u odnosu na kvasac *Rhodotorula*.

Ispitivani delovi kestena ispoljavaju jaku antibakterijsku aktivnost u odnosu na *Staphylococcus aureus*, jednu od gram pozitivnih bakterija čestog izazivača kvarenja hrane. Nekada slabo rasprostranjen, danas čini 50% svih *S. aureus* izolata, a karakteristična je rezistencija ovog soja na antibiotik meticilin, detektovana kod nekih sojeva *S. aureus*.

Na slici 33 je prikazano ispitivanje antimikrobne aktivnosti ekstrakata *C. sativa* u odnosu na inokulat *S. aureus*.



**Slika 33.** Antimikrobnna aktivnost ekstrakata *C. sativa* u odnosu na *S. aureus* (1-11: ekstrakti; 12 kontrola)

Rauha i sar.<sup>233</sup> su pokazali da je rast *S. aureus* efikasno inhibiran flavonima, flavonolima i naringeninom, što ukazuje da flavonoidi u kestenu predstavljaju potencijalno aktivne antimikrobne supstance. Flavonoidi se sintetišu u biljkama kao odgovor na mikrobiološke infekcije. Zbog toga ne iznenađuje da ova jedinjenja poseduju i u *in vitro* uslovima antimikrobnu aktivnost u odnosu na širok spektar mikroorganizama<sup>234</sup>. Sa punim uvažavanjem prirodnih proizvoda, generalno je prihvaćeno da fitohemikalije predstavljaju manje potentne anti-infektivne agense u odnosu na agense mikrobiološkog porekla, kao što su antibiotici<sup>235</sup>.

Ispitivani uzorci ekstrakata *C. sativa* nisu ispoljili aktivnost u odnosu na bakterije *Escherichia coli* (G-) i *Enterococcus gallinarum* (G+), kao i kvasce *Saccharomyces cerevisiae* i *Candida albicans*.

Ispitivani soj *E. coli* ima najmanju aktivnost u odnosu na antibiotike koji se u ovim istraživanjima koriste kao referentni standardi: Amoksicilin ( $21,33 \pm 1,15$  mm) i Penicilin ( $10 \pm 0$  mm). Izostanak aktivnosti ekstrakata u odnosu na patogenu bakteriju *E. coli* se može objasniti visokom rezistentnošću ovog soja u odnosu na ove antibiotike i samim tim na ispitivane ekstrakte. Iako ekstrakti nisu ispoljili aktivnost u odnosu na *E. coli*, ispoljili su aktivnost u odnosu na ostale gram negativne bakterije, *P. mirabilis* i *S. typhimurium*, što ukazuje da struktura čelijskog zida nije od presudnog značaja za aktivnost ekstrakata.

### 3.8.1. Korelaciona analiza

Rezultati korelace analize između antimikrobne i antioksidativne aktivnosti u odnosu na superoksid anjon radikale su dati u tabeli 46.

Signifikantna korelacija ( $r = 0,65$ ) je ustanovljena između antimikrobne aktivnosti ekstrakta u odnosu na *L. lactis* ssp. *lactis* i *B. cereus*, kao i antimikrobne aktivnosti ekstrakta u odnosu na *L. lactis* ssp. *lactis* i *P. mirabilis* ( $r = 0,63$ ). U svim ostalim slučajevima je ustanovljena jako signifikantna korelacija ( $P < 0,01$ )

**Tabela 46.** Korelacija između antimikrobne aktivnosti i antioksidativne aktivnosti u odnosu na superoksid anjon radikale

Parametar	<i>L. lactis</i> ssp. <i>lactis</i>	<i>M. pyrogenes</i> var. <i>albus</i>	<i>S. typhimurium</i>	<i>S. aureus</i>	<i>S. lutea</i>	<i>P. mirabilis</i>	Sadržaj fenola (%GAE)	O <sub>2</sub> <sup>-</sup> aktivnost (%)
<i>M. pyrogenes</i> var. <i>albus</i>	n.s. ***						0,65*	
<i>S. typhimurium</i>	n.s.	0,84**					0,66*	
<i>S. aureus</i>	n.s.	0,96**	0,84**				0,69*	
<i>S. lutea</i>	n.s.	0,96**	0,91**	0,94**			0,78**	
<i>B. cereus</i>	0,65*	0,97**	0,74**	0,89**	0,89**	0,98**	n.s.	0,74*
<i>P. mirabilis</i>	0,63*	0,90**	0,80**	0,94**	0,93**		n.s.	
O <sub>2</sub> <sup>-</sup> aktivnost (%)	0,60*	0,80**	0,72*	0,76**	0,73*	0,78**	n.s.	

\* Korelacija je značajna na nivou 0,05

\*\* Korelacija je značajna na nivou 0,01

\*\*\* n.s. - nije signifikantno (P > 0,05)

Sadržaj ukupnih fenola je u veoma značajnoj korelaciji sa antimikrobnom aktivnosti ekstrakata u odnosu na *S. lutea* ( $r = 0,78$ ). Utvrđena je značajna korelacija ( $P < 0,05$ ) između ukupnih fenola i antimikrobne aktivnosti ekstrakata u odnosu na *S. aureus* ( $r = 0,69$ ), antimikrobne aktivnosti ekstrakata u odnosu na *S. typhimurium* ( $r = 0,66$ ) i antimikrobne aktivnosti ekstrakata u odnosu na *M. pyrogenes* var. *albus* ( $r = 0,65$ ).

Veoma signifikantna korelacija ( $P < 0,01$ ) utvrđena je između antimikrobne aktivnosti ekstrakata u odnosu *M. pyrogenes* var. *albus* i antioksidativne aktivnosti u odnosu na O<sub>2</sub><sup>-</sup> radikale ( $r = 0,80$ ), antimikrobne aktivnosti ekstrakata u odnosu na *P. mirabilis* i antioksidativne aktivnosti u odnosu na O<sub>2</sub><sup>-</sup> radikale ( $r = 0,78$ ). U svim ostalim slučajevima je utvrđena signifikantna korelacija ( $P < 0,05$ ).

## **4.0. EKSPERIMENTALNI DEO**

Proizvođač galne kiseline monohidrata i (+)-catehin monohidrata je Fluka A.G., a Sephadex-a LH-20 Pharmacia Fine, Chemicals, Uppsala, Sweden. Galna kiselina (98%) za HPLC, L- $\alpha$ -fosfatidilholin, ksantin, ksantin oksidaza i DPPH su proizvedeni u Sigma, St. Louis, MO, USA, a K<sub>3</sub>EDTA u Vacuette EDTA, Greiner Bio-One, Austria. Acetonitril i metanol, LiChrosolv, čistoće za hromatografiju i vanilin su proizvedeni u Merck (Darmstadt, Germany). Trolox je proizведен u Aldrich (Milw, WI, USA). 7-DS i Tempon u Molecular Probes (Junction City, OR, USA). Proizvođač H<sub>2</sub>O<sub>2</sub> je Renal, Budapest, Hungary, a FeSO<sub>4</sub> je Merck, Darmstadt, Germany. Spin-trapovi DMPO i DEPMPO su proizvodi Alexis Biochemical (Lausen, Switzerland), DEPMPO je precišćen i testiran na hidroksilaminske nečistoće. Za Mueller-Hinton agar proizvođač je Difco, Detroit, MI, USA, a za Sabouraud dekstrozni agar Merck, Darmstadt, Germany. Proizvođač streptozotocina je MP Biomedicals, USA, dok je proizvođač Aloxana (Cat. No. A7413-10G), Nanitroprusida (Cat. No. 228710-5G), boje (MTT) (Cat. No. M5655-1G) i RPMI 1640 medijuma (Cat. No. E15-848) Sigma St. Louis, MO, USA. Svi drugi reagensi i hemikalije upotrebljeni u eksperimentalnom radu bili su analitičke čistoće (p.a.).

Teflonske epruvete su proizvedene u Zeus industries, Raritan, USA, a Petri kutije u HiMedia®, Mumbai, India. Filteri su proizvedeni u Rotilabo–Spritzenfilter, Roth, Karlsruhe, Germany.

Za ekstrakciju je korišćeno vodeno kupatilo Branson model b-220 Smith-Kline Company (50/60 Hz, 125 W). Spektrofotometrijska određivanja rađena su na spektrofotometru Hewlett Packard 8452A. EPR određivanja su izvršena na EPR spektrometru Bruker 300E i Varian E104-A spektometru opremljenom sa X-trakom (9,51 GHz). Snimanje na Varian E104-A spektometru izvršeno je korišćenjem EW softvera (Scientific Software, Bloomington, IL, USA). Sadržaj kalijuma je određen korišćenjem PFP7 plamenog fotometra (Dunmow, England, UK). HPLC određivanja su izvršena na HP1090 (Hewlett-Packard Company, Avondale, PA, USA) sa DAD detektorom (kolona i pretkolona Zorbax SB-C18, proizvođača Agilent, USA) i na Agilent 1200 HPLC/DAD, USA, povezanim sa Agilent MSD TOF, USA. LC/MS analiza je izvršena na Agilent MSD TOF kuplovanom za Agilent 1200. *In vitro* antioksidativna svojstva su određena na ELISA 96-well plate reader (Behring, FR Germany).

### **4.1. DOBIJANJE EKSTRAKATA KESTENA**

Opisan je postupak pripreme delova kestena za analizu i postupka ekstrakcije sa dva ekstragensa (50% etanol i 50% aceton).

#### **4.1.1. Priprema biljnog materijala**

Uzorkovanje kestena vršeno je prikupljanjem plodova iz četiri opštine Unsko-sanskog kantona (Bužim, Velika Kladuša, Cazin i Bosanska Krupa). Izabrana su tri najrasprostranjenija kultivara: pitomi kesten, kalemljeni italijanski marun i lovranski marun. Uzorkovanje je izvršeno u sezoni sazrevanja, od sredine septembra do kraja oktobra 2006. i 2007. godine. Nakon toga je u laboratoriji metodom četvrtanja<sup>236</sup> dobijen reprezentativni uzorak. Analizirani su pojedini delovi ploda: oljušten kesten, odnosno srž ploda, braon spoljna kora ploda, crvena unutrašnja kora ploda, ceo plod (bez ježevica), lišće, resa, ježevice, stara i mlada kora stabla. Pitomi kesten je detaljno analiziran, dok su za ostala dva kultivara izabrani samo pojedini delovi (ceo plod, list, resa).

Delovi kestena su u laboratorijskom mlinu samleveni za dalju analizu. Srednji prečnik čestica (d) je određen primenom seta sita (Erweka, Germany) po postupku jugoslovenske farmakopeje<sup>237</sup>. Određivanje se vrši tako što se usitnjena droga prenese na set sita (prvo sito na setu, odozgo na dole je ono kroz koje prolazi celokupna masa usitnjene droge), stavi poklopac i seje 20 minuta<sup>238</sup>.

Nakon toga meri se masa dela droge (na situ sa manjim prečnikom otvora) i izračunava maseni procenat frakcije (m). Srednji prečnik čestica (d) izračunava se primenom sledeće jednačine:

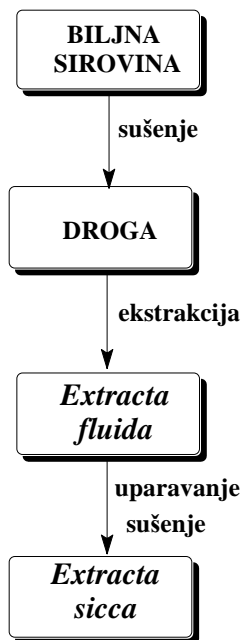
$$\frac{100}{d} = \sum \left( \frac{m_i}{d_i} \right) \quad (14)$$

gde je:

$m_i$  - maseni procenat i-te frakcije (%);  
 $d_i$  - srednji prečnik i-te frakcije (mm).

#### **4.1.2. Ekstrakcija**

Uzorak droge (50,0 g) se prenese u erlenmajer sa šlifom i doda 50% etanol (250 ml), pri čemu je odnos droge i ekstagensa 1 : 5 (m:V). Opisani postupak ekstrakcije je u slučaju primene 50% acetona kao ekstragensa u potpunosti isti, s tim što je odnos droge i rastvarača 1:10. Erlenmajeri su tarirani i izvršena je ekstrakcija primenom ultrazvuka (30 min). Nakon provere mase i dodavanja eventualno otparenog rastvarača, izvršena je filtracija, pri čemu je dobijen tečni ekstrakt. Tačno odmerena zapremina dobijenog ekstrakta (100 ml) se prenese u tarirani balon i rastvarač ukloni primenom rotacionog vakuum uparivača na temperaturi od 40°C do suva, i precizno izmeri masa suvog ostatka. Postupak dobijanje suvog ekstrakta je prikazan na šemii 3. Na osnovu dobijene mase suvog ekstrakta (SE) izračunava se prinos ekstrakcije Y (g SE/100 g droge), odnosno % (m/m). Dobijeni suvi ekstrakti su čuvani u frižideru u staklenim bočicama.



**Šema 3.** Blok šema dobijanja suvog ekstrakta (*Extracta sicca*)

## 4.2. SPEKTROFOTOMETRIJSKE METODE

Opisani su postupci standardnih kolorimetrijskih metoda za određivanje ukupnih fenola, flavonoida i kondenzovanih tanina primenjenih za analizu uzoraka.

### 4.2.1. Određivanje ukupnih fenola

Određivanje ukupnih fenola se vrši metodom po Folin-Ciocalteu<sup>146</sup>. Rastvor ispitivanih ekstrakata u metanolu (0,1 ml) koncentracije 1 mg/ml ili standarda galne kiseline se prenese u epruvetu i doda 7,9 ml destilovane vode, 0,5 ml Folin-Ciocalteu reagesa i 1,5 ml 20% Na<sub>2</sub>CO<sub>3</sub> (4 g anhidrovanog Na<sub>2</sub>CO<sub>3</sub> se rastvori uz zagrevanje (70°C) u 16 ml destilovane vode). Za slepu probu se umesto ekstrakta u epruvetu doda 0,1 ml destilovane vode i ponovi prethodno opisani postupak.

Nakon inkubacije od 2 h na sobnoj temperaturi, meri se apsorbancija na talasnoj dužini od 765 nm. Ukupni fenoli su izraženi kao ekvivalent galne kiseline, GAE/100 g uzorka<sup>239</sup>.

Za formiranje standardnog dijagrama galne kiseline se u normalni sud (10 ml) odmeri 2, 4, 6 ili 8 ml standardnog rastvora galne kiseline monohidrata (200 mg/l) i dopuni do crte metanolom. U epruvetu se prenese po 0,1 ml prethodno pripremljenih standardnih rastvora, a u poslednju epruvetu se odmeri 0,1 ml standardnog rastvora galne kiseline monohidrata. Nakon dodavanja reagenasa po prethodno opisanoj proceduri i inkubacije, meri se apsorbancija na talasnoj dužini od 765 nm.

### 4.2.2. Određivanje ukupnih flavonoida

Određivanje ukupnih flavonoida je izvršeno kolorimetrijskom metodom primenom aluminijum-hlorida<sup>240</sup>. Rastvori ekstrakta u metanolu (1 ml) ili standardnog

rastvora (+)-katehina: 20, 40, 60, 80 ili 100 mg/l, se prenesu u normalni sud od 10 ml u kome se nalazi 4 ml destilovane vode i 0,3 ml 5% natrijum-nitrita. Nakon 5 minuta, doda se 0,3 ml 10% rastvora  $\text{AlCl}_3 \cdot 6\text{H}_2\text{O}$ , a posle 6 minuta još 2 ml NaOH (1 mol/l) i normalni sud dopuni do crte destilovanom vodom. Rastvor se promučka i apsorbancija se meri na talasnoj dužini od 510 nm.

#### **4.2.3. Određivanje kondenzovanih tanina vanilin testom**

Zapremina od 0 do 1 ml (0,2, 0,4, 0,6, 0,8 ili 1 ml) standardnog rastvora katehina u metanolu (300 mg/l) se prenese u epruvete, a zatim se do 1 ml dopune apsolutnim metanolom. Na opisani način pripreme se po 2 paralelne probe standardnih rastvora<sup>151</sup>. Jednom setu epruveta se doda 5 ml vanilin reagensa (1% vanilin u metanolu : 4% HCl u metanolu = 1:1 (V:V)), rastvor se priprema neposredno pre određivanja, a drugom setu 5 ml 4% HCl u metanolu. Između dodavanja ovih reagenasa potrebno je da prođe ne više od 1 minut.

Epruvete se inkubiraju na vodenom kupatilu 20 minuta (30°C). Vrednosti apsorbancija uzorka se takođe mere u 1 minutnom intervalu na talasnoj dužini od 500 nm. Apsorbancija slepe probe (metanolni rastvor ekstrakta kome nije dodat vanilin reagens, a sadrži 4% HCl u metanolu) se oduzima od apsorbancije uzorka koji sadrži vanilin reagens.

Po 1 ml metanolnog rastvora ekstrakta (1 mg/ml) se prenese u 2 epruvete, tako da svaki uzorak ima svoju slepu probu. Nakon primene prethodno opisanog postupka i inkubacije, meri se apsorbancija.

#### **4.2.4. Određivanje kondenzovanih tanina kiselim butanolnim testom**

U epruvete se doda 6 ml kiselog butanolnog reagensa (n-butanol : cc. HCl = 95 : 5 (V:V)) i 1 ml metanolnih rastvora ekstrakata koncentracije 1 mg/ml. Doda se 0,2 ml gvožđe reagensa (0,5 g  $\text{FeNH}_4(\text{SO}_4)_2 \cdot 12\text{H}_2\text{O}$ ) se rastvori u 25 ml rastvora HCl (2 mol/l) i uzorak se pomeša. Epruvete se zatvore staklenim zatvaračem i stave na ključalo vodeno kupatilo (50 min). Nakon hlađenja, apsorbancija se meri na talasnoj dužini od 550 nm. Od dobijene vrednosti se oduzima apsorbancija slepe probe koja sadrži 1 ml rastvarača (metanol), kisi butanol reagens i gvožđe reagens<sup>241</sup>.

Standardizacija metode se vrši odgovarajućim proantocijanidinom, dobijenim iz ekstrakta kestena prečišćavanjem preko Sephadex-a LH 20, rastvorenim u metanolu u koncentraciji 1 mg/ml.

##### **4.2.4.1. Prečišćavanje ekstrakta kestena na Sephadex-u LH 20 i dobijanje kondenzovanih tanina**

Kolona dimenzija 1 cm x 17,8 cm se napuni Sephadex-om LH 20 (3 g liofiliziranog Sephadex-a se doda u 100 ml 95% etanola). Zatim se Sephadex-u dodaje etanol da bi se formirao stabilan sloj. Na kolonu se nanosi uzorak ekstrakta kestena (100 mg suvog ekstrakta u 5 ml 95% etanola). Za odvajanje nepolimernih fenolnih materija, kolona se prvo eluira 95% etanolom. Brzina eluiranja je 0,2 ml/min. Eluat se sakuplja u označene epruvete, do zapremine 5 ml, sve dok ispoljava pozitivnu reakciju na Prussian plavo.

**Prussian blue test:** Za ovaj test uzorku (0,1 ml) se doda po 1 ml 0,02 mol/l FeCl<sub>3</sub> rastvorenog u 0,1 mol/dm HCl i 1 ml 0,016 mol/l K<sub>3</sub>Fe(CN)<sub>6</sub>, kao i 5 ml vode. Prisustvo fenolnih komponenata se detektuje obrazovanjem plave boje<sup>242</sup>.

Prikupljene frakcije istog sastava se spoje i rastvarač u potpunosti ukloni na rotacionom vakuum uparivaču (T=40°C). Na ovaj način su dobijeni nepolimerni fenoli.

Eluiranjem kolone 50% acetonom se dobijaju frakcije koje sadrže tanine (polimerne fenole). Acetonske frakcije se spoje i aceton se ukloni na vakuum uparivaču. Obe frakcije (netaninski fenoli i proantocijanidini) se osuše do konstantne mase u sušnici, zatim se izmeri njihova masa i kvantitativno se prenesu u staklene bočice koje se do ispitivanja čuvaju u frižideru.

#### **4.2.5. Spektrofotometrijsko određivanje kapaciteta ekstrakata u zaštiti eritrocita od hemolize izazvane vodonik peroksidom**

Stepen zaštite membranskog integriteta je određen u zavisnosti od mere kojom ekstrakti mogu da spreče hemolizu eritrocita. Eritrociti izloženi intenzivnom ili produženom oksidativnom stresu, mogu podleći hemolizi, koja se može detektovati prisustvom hemoglobina i dezoksihemoglobina u plazmi.

U cilju određivanja relativnog stepena hemolize, meri se vrednost apsorbancija na talasnim dužinama od 540 nm i 560 nm. Na ovim talasnim dužinama hemoglobin i dezoksihemoglobin ispoljavaju maksimum apsorbancije<sup>188</sup>. Pod normalnim uslovima, hemoglobin i dezoksihemoglobin se ne nalaze u plazmi, tako da njihovo prisustvo predstavlja indikator da je došlo do hemolize. Izvesni mali stepen hemolize se dešava i kod netretiranih eritrocita, kao posledica mehaničkih oštećenja u toku manipulacije uzorcima.

Sveža krv je uzeta od tri zdrava volontera (starosti od 23 do 35 godina). U epruvete u kojima se nalazi 0,072 ml 7,5% rastvor K<sub>3</sub>EDTA kao antiokoagulans, unese se 3 ml krvi. Sveža krv je prethodno tri puta isprana izotoničnim rastvorom fosfatnog pufera (NaCl 8,8 g/l, Na<sub>2</sub>HPO<sub>4</sub> 1,2 g/l, NaH<sub>2</sub>PO<sub>4</sub> 0,43 g/l, pH je podešen na 7,4 primenom 1 mol/l HCl), a zatim je izvršeno centrifugiranje na 3500 x g (10 min, 23°C). Hematokrit sveže krvi je 40%, a pre inkubacije je u svim uzorcima postignut isti hematokrit. U svim istraživanjima je H<sub>2</sub>O<sub>2</sub> dodat do finalne koncentracije od 3 mmol/l. Uzorci bez H<sub>2</sub>O<sub>2</sub> se koriste kao slepe probe.

Eritrociti tretirani sa H<sub>2</sub>O<sub>2</sub> koji ne sadrže ekstrakte služe kao kontrola. Za svaki ekstrakt je pripremljeno dva tipa uzorka, sa i bez vodonik peroksidu. Finalne koncentracije ekstrakata su bile 0,2 mg/ml. Svi uzorci su inkubirani 30 minuta na 37°C. Nakon inkubacije uzorci su pomešani sa 10 puta većom zapreminom fosfatnog pufera u cilju uklanjanja H<sub>2</sub>O<sub>2</sub> i centrifugirani na 3500 x g (10 min, 20°C).

Dobijeni supernatant je razblažen 100 puta, nakon čega se određuje apsorbancija na navedenim talasnim dužinama. Stepen hemolize se izražava u procentima (%), tako da apsorbancija u uzorcima u kojima je postiguta kompletna liza eritrocita predstavlja 100% hemolize. Za pripremu uzorka sa kompletном hemolizom, eritrociti su inkubirani 30 minuta sa vodom umesto fosfatnog pufera.

### **4.3. HPLC ANALIZA**

Za kvantitativno određivanje ukupnih fenolnih materija je primenjen HPLC uređaj HP1090, dok je kvalitativna i kvantitativna analiza fenolnih materija izvršena primenom Agilent MSD TOF kuplovanim sa HPLC uređajem Agilent 1200.

#### **4.3.1. HPLC/DAD analiza za kvantitativno određivanje ukupnih fenolnih materija**

Odmeri se 5 g uzoraka i doda 50 ml  $H_2SO_4$  (pH=3). Izvrši se kisela hidroliza, zagrevanjem balona sa povratnim kondenzatorom na ključalom vodenom kupatilu u toku 2 h. Nakon filtracije, 20 ml vodenog ekstrakta se ekstrahuje (2 x 10 ml etil-acetata) u levku za odvajanje. Spojeni etil-acetatni ekstrakti se upare do suva na rotacionom vakuum uparivaču.

**HPLC analiza** je izvršena upotrebom tečnog hromatografa HP1090 sa DAD detektorom. Korišćena je kolona na obrnutoj fazi (Zorbax SB-C18, 3,0 x 250 mm, 5  $\mu m$ ), koja je zaštićena pretkolonom (Zorbax SB-C18, 4,6 x 12,5 mm, 5  $\mu m$ ). Detekcija je izvršena na 277 nm, a apsorpcioni spektar komponenata je sniman u intervalu od 210 do 400 nm. Gradijent mobilne faze je formiran varijacijom odnosa mobilne faze A (1% sirčetna kiselina u vodi, V/V) i mobilne faze B (acetonitril). HPLC separacija je izvršena sledećim linearnim gradijentom: 0-10 min, 80% A; 10-40 min, 60% A; 40-80 min, 40% A; 80-130 min 50% A. Kolona je uravnotežena na početne uslove sa 95% A, 10 min. Brzina protoka mobilne faze je 0,30 ml/min. Analiza je izvršena na sobnoj temperaturi ( $22^{\circ}C$ ). Uzorak (rastvor hidrolizovanog ekstrakta ili standard rutin) je injektovan mikrošpricem (10  $\mu l$ ). Svi ekstrakti *C. sativa* dobijeni nakon kisele hidrolize je rastvoren u smeši metanol : voda = 2 : 3 (V/V). Svi rastvorovi su filtrirani pre injektovanja u HPLC sistem, kroz filter veličine otvora pora 0,45  $\mu m$ .

#### **4.3.2. HPLC/ DAD i LC/MS analiza**

Svi ekstrakti (100 mg) se rastvori u 1 ml metanola i doda 2 ml 3% HCl (u metanolu). Normalni sud sa reakcionom smešom se zatvori i stavi na ključalo vodeno kupatio u toku 2 h. Nakon hlađenja, rastvor se razblaži deset puta i injektuje u HPLC/DAD i LC/MS sistem.

#### **HPLC/DAD analiza**

HPLC analiza hidrolizovanih ekstrakata je izvršena primenom uređaja Agilent 1200 serije sa RR Zorbax Eclipse Plus C18 kolonom (150 x 4,6 mm, 1,8  $\mu m$ ). Mobilna faza A je 0,2% mravlja kiselina u vodi, a mobilna faza B je acetonitril. Injektovana zapremina uzorka je 1  $\mu l$ , a protok mobilne faze 0,95 ml/min, sa programom gradijenta: 0-20 min 5-16% B, 20-28 min 16-40% B, 28-32 min 40-70% B, 32-36 min 70-99% B, 36-45 min 99% B, 45-46 min 99,5% B. UV-VIS detekcija je na talasnim dužinama 230, 280 i 320 nm. Kvantitativna analiza je zasnovana na merenju površine dobijenih pikova standardnih rastvora uz korišćenje standardnog dijagrama galne kiseline, odnosno na osnovu zavisnosti površine pika od mase galne kiseline i odgovarajuće jednačine, u koncentracionom opsegu od 0,1 do 1,0 mg/ml.

## **LC/MS analiza**

LC/MS analiza je izvršena na aparatu Agilent MSD TOF kuplovanim sa Agilent 1200 HPLC aparatom, upotrebom iste kolone i programom gradijenta kao i u HPLC/DAD analizi. Analize mase molekula i fragmentiranih jona je izvršena na osnovu masenih spektara dobijenih upotrebom Agilent ESI-MSD (TOF) "time-of-flight" masenog spektrometra na pozitivnom i negativnom polarnom modu. Protok gasa ( $N_2$ ) je  $12 \text{ dm}^3/\text{min}$ ; pritisak nebulizatora 45 psig; temperaura gasa je  $350^\circ\text{C}$ . Za ESI analizu, parametri su bili: kapilarni napon, 4.000 V; fragmentor, 140 V; skimer, 60 V; Oct RF V 250 V, za pozitivan i negativan mod. Opseg je od 100 to 2.000  $m/z$ .

## **4.4. ISPITIVANJE EKSTRAKATA KESTENA EPR SPEKTRALNOM ANALIZOM**

EPR spektri su za određivanja DPPH i hidroksi radikala snimani na EPR spektrometu Bruker 300E (aparat je označen oznakom I).

Sva ostala EPR određivanja rađena su na Varian E104-A EPR spektrometru opremljenom sa X-trakom (9,51 GHz) (aparat je označen oznakom II). Za pojedine uzorce su na ovom aparatu rađena i ispitivanja hidroksi radikala.

### **4.4.1. Transformacija DPPH radikala**

#### **Analiza na aparatu I**

Stabilni DPPH slobodni radikali ispitivani su u reakcionaloj smeši koja se dobija mešanjem  $200 \mu\text{l}$  vode i  $600 \mu\text{l}$  0,4 mmol/l rastvora DPPH (slepa proba). Uticaj ekstrakata na transformaciju DPPH radikala analiziran je u rastvoru koji se dobija mešanjem:  $x \mu\text{l}$  1% vodenog rasvora kestena,  $(200-x) \mu\text{l}$  vode i  $600 \mu\text{l}$  0,4 mmol/l vodenog rastvora DPPH. Svaki uzorak je inkubiran 20 minuta na sobnoj temperaturi ( $20^\circ\text{C}$ ), a zatim su izvršena merenja primenom aparata I sa vremenom skeniranja od 4 minute.

Za ispitivanje uticaja ekstrakata na stvaranje i transformaciju DPPH radikala, ekstrakti su rastvoreni u destilovanoj vodi u koncentraciji od 1 mg/ml i dodavani u Fenton-ov model sistem u koncentraciji od 0,2 mg/ml. Paralelno je ispitivan uticaj sintetičkog antioksidansa BHA na transformaciju DPPH radikala, pri istim koncentracijama.

Smeša je intezivno mešana u toku 2 minuta i preneta u Bruker-160 FC kvarcnu kivetu za vodene rastvore. EPR spektri su snimani pri sledećim uslovima: frekvencija modulacije, 100 kHz; amplituda modulacije, 0,256 G; vremenska konstanta, 40,96 ms; vremenski opseg merenja, 327,68 ms; centar polja, 3.440,00 G; ukupan opseg merenja, 100,00 G; frekvencija mikrotalasnog područja, 9,45 GHz; jačina struje,  $2 \times 10^4$ ; snaga mikrotalasnog područja, 20 mW; temperatura merenja,  $23^\circ\text{C}$ . U svim eksperimentima korišćena je ultra-čista voda čija je otpornost  $18 \text{ M}\Omega$ . Svi eksperimenti su rađeni u tri ponavljanja i rezultati su prikazani kao srednja vrednost  $\pm$  standardna devijacija.

Antioksidativna aktivnost ( $\text{AA}_{\text{DPPH}}$ ) ekstrakata definisana je sledećim izrazom:

$$A_{DPPH} = \frac{h_o - h_x}{h_x} 100 \text{ (%)} \quad (15)$$

gde je:  $h_o$  - visina drugog pika EPR signala slepe probe;  
 $h_x$  - visina drugog pika EPR signala uzorka sa ekstraktom.

#### 4.4.2. Transformacija hidroksi radikala

##### Analiza na aparatu I

U Fenton-ovom model sistemu, koji je dobijen mešanjem 200  $\mu\text{l}$  10 mmol/l  $\text{FeCl}_2 \times 4\text{H}_2\text{O}$ , 200  $\mu\text{l}$  80 mmol/l DMPO i 200  $\mu\text{l}$  10 mmol/l  $\text{H}_2\text{O}_2$  ispitano je nastajanje hidroksi radikala nakon reakcionog perioda od 5 min. Finalne koncentracije ekstrakata iznosile su 0,2 mg/ml.

Ispitan je i uticaj komercijalnog antioksidansa BHA, pri koncentracijama 0,1, 0,2 i 0,3 mg/ml, na stvaranje i transformaciju hidroksi radikala.

EPR spektralna određivanja hidroksi radikala u svim ispitivanim model sistemima koji su se nalazili u Bruker ER-160 FC kvarcnoj kiveti za vodene rastvore, izvršena su na EPR spektrometru I pri sledećim radnim karakteristikama: frekvencija modulacije, 100 kHz; amplituda modulacije, 0,521 G; vremenska konstanta, 81,92 ms; vremenski opseg merenja, 327,68 ms; centar polja, 3.440,00 G; ukupan opseg merenja, 100,00 G; frekvencija mikrotalasnog područja, 9,64 GHz; jačina struje,  $2,00 \times 10^5$ ; snaga mikrotalasnog područja, 20 mW; temperatura merenja,  $23^\circ\text{C}$ .

Antioksidativna aktivnost ( $AA_{OH}$ ) ekstrakta definisana je jednačinom:

$$A_{OH} = \frac{h_o - h_x}{h_x} 100 \text{ (%)} \quad (16)$$

gde je:  $h_o$  - visina drugog pika EPR signala slepe probe;  
 $h_x$  - visina drugog pika EPR signala uzorka sa ekstraktom ili BHA.

##### Analiza na aparatu II

Tipičan EPR spin trapping eksperiment se odvija na sledeći način<sup>243</sup>: a) željeni radikal se proizvodi u radikal generišućem sistemu i njegova koncentracija se određuje na osnovu amplitude EPR signala koji potiče od spin trap adukta koji se formira trappingom radikala, b) isti eksperiment se ponavlja nakon dodavanja ispitivanog ekstrakata koji je "skevendžer" ispitivanih slobodnih radikala, što bi trebalo da izazove smanjenje intenziteta EPR signala, s obzirom da ekstrakt uklanja određenu količinu proizvedenih radikala.

Sposobnost ispitivanog ekstrakta da ukloni radikale se ispituje na osnovu razlike amplituda između EPR signala trapovanog radikala u radikal – generišućem sistemu, sa i bez dodavanja ispitivanog ekstrakta. Rezultati se predstavljaju kao relativno smanjenje stvaranja radikala, odnosno kao relativna inhibicija (RI):

$$RI = \frac{P_{rgs} - P_{rgs+e}}{P_{rgs}} 100 \text{ (%)} \quad (17)$$

gde je:  $P_{rgs}$  - pik amplitude (radikal generišući sistem);

$P_{rgs+e}$  - pik amplitude (radikal generišući sistem + ekstrakt).

Sposobnost ekstrakata da izvrše "skevendžing"  $\cdot\text{OH}$  radikala je ispitana upotrebom Fenton-ove reakcije kao " $\cdot\text{OH}$  proizvođačkog" sistema. Za Fenton-ovu reakciju je korišćen rastvor dobijen kombinovanjem 2 mmol/l  $\text{H}_2\text{O}_2$  i 0,075 mmol/l  $\text{FeSO}_4$  za stvaranje  $\cdot\text{OH}$ , a korišćen je spin-trap DEPMPO u finalnoj koncentraciji od 28 mmol/l. DEPMPO reaguje sa  $\cdot\text{OH}$  i formira DEPMPO/OH adukt. Finalna koncentracija ekstrakta (prethodno rastvorenih u vodi) je 0,2 mg/ml. Uzorci bez dodatog ekstrakta se koriste kao slepa proba.

EPR spektri su snimani na sobnoj temperaturi, pri sledećim uslovima: frekvencija modulacije, 100 kHz; amplituda modulacije, 2,0 G; vremenska konstanta, 32 ms; centar polja, 3.410,00 G; ukupan opseg merenja, 200,00 G; snaga mikrotalasnog područja, 10 mW. Uzorci su prebačeni u gas-permeabilne teflonske epruvete. Merenja su izvršena uz primenu kvarcnih kapilara u koje su postavljene teflonske epruvete. Snimanje je izvršeno 2 minuta nakon početka reakcije, a trajalo je 4 minuta.

#### 4.4.3. Transformacija superoksidnog anjon radikala

Superoksidni anjon radikali su generisani u ksantin (1,6 mmol/l)/ksantin oksidaza (6 IU/ml) (X/XO) sistemu, rastvorenom u vodi visoke čistoće ( $18 \text{ M}\Omega$ ). Finalna koncentracija DEPMPO je 28 mmol/l. Vreme inkubacije je 2 minuta.

Za ispitivanje uticaja ekstrakata na stvaranje i transformaciju superoksidnog anjon radikala, ekstrakti su rastvoreni u destilovanoj vodi u koncentraciji od 1 mg/ml i dodavani u sistem u finalnoj koncentraciji od 0,2 mg/ml. Uzorak koji ne sadrži ekstrakt je služio kao kontrola. Sposobnost ispitivanih ekstrakata da vežu radikale ispitana je na osnovu razlike amplituda između EPR signala radikala u spin-trapu i u radikal-generišućem sistemu, sa i bez dodavanja ispitivanog ekstrakta. Rezultati su prikazani kao antioksidativna aktivnost (AA) korišćenjem sledeće jednačine:

$$\text{AA} = \frac{h_o - h_x}{h_x} 100 \text{ (%)} \quad (18)$$

gde su  $h_o$  i  $h_x$  amplitude karakterističnih linija u EPR spektru, dobijenih sa kontrolom, odnosno sa uzorkom koji sadrži ekstrakt.

EPR spektri su snimani pri istim prethodno opisanim uslovima za transformaciju hidroksi radikala (aparat II).

#### 4.4.4. Kapacitet ekstrakata za uklanjanje lipidne peroksidacije

Ispitivanje sposobnosti ekstrakata u prevenciji i/ili otklanjanju lipidne peroksidacije lipozoma testirano je upotrebom Fenton-ove reakcije u stvaranju  $\cdot\text{OH}$  radikala, za koje je poznato da efikasno izazivaju peroksidaciju. EPR spin probing tehnika i membranska spin proba (7-DS) je upotrebljena za procenu smanjenja membranske fluidnosti, za koju se zna da korelira sa lipidnom peroksidacijom<sup>45</sup>. Spin

probe daju sopstveni signal u EPR spektru za razliku od spin trapova koji daju signal tek u formi spin adukta.

Na osnovu spektra 7-DS ugrađenog u lipozome izvršeno je izračunavanje parametra reda (S), koji je obrnuto proporcionalan membranskoj fluidnosti<sup>244</sup>. Za pripremu lipozoma, hloroformski rastvor L- $\alpha$ -fosfatidilholina uparen je do suva u vakuumu. Zatim je dodat fosfatni pufer ( $\text{Na}_2\text{HPO}_4$  1,2 g/l,  $\text{NaH}_2\text{PO}_4$  0,43 g/l, pH vrednost 7,4) da bi se dobila koncentracija od 125 mmol/l lipida i suspenzija je homogenizovana na vortex-u 5 minuta. Ekstrakti su rastvoreni u puferu do finalne koncentracije od 0,2 mg/ml (finalna koncentracija lipida je 100 mmol/l). U kontrolnom uzorku se umesto ekstrakta nalazi pufer u istoj zapremini. Uzorcima je zatim dodata radikal-generišuća smeša sačinjena od 0,5 mmol/l  $\text{H}_2\text{O}_2$  i 0,075 mmol/l  $\text{FeSO}_4$ . Reakcija je trajala 20 minuta, a zatim je dodata 10 puta veća zapremina fosfatnog pufera da bi se reakcija zaustavila. Uzorci su centrifugirani 10 min (10.000 o/min) i supernatant je odbačen. Lipozomi su rastvoreni u puferu, rastvor dodat 7-DS -u i nakon toga homogenizovan.

Kontrolni uzorak je tretiran na isti način, ali bez izlaganja radikal-generišućem sistemu (spin proba)/(membranski lipid)<sup>245</sup> u odnosu 1:200.

EPR spektri su snimani pri istim uslovima kao za transformaciju hidroksi radikala (aparat II).

#### 4.4.5. Kapacitet ekstrakata na transformaciju organskih hidrofilnih radikala

Za određivanja kapaciteta ekstrakata za transformaciju organskih radikala koristi se hidrofilna spin proba Tempon, koja se ugrađuje u čelijsku membranu za razliku od 7-DS. Finalna koncentracija Tempon-a u uzorku je 0,1 mmol/l, a finalna koncentracija ekstrakta 0,2 mg/ml. Svaka proba je inkubirana 20 minuta, a zatim je izvršeno merenje sa 4 minutnim vremenom skeniranja na sobnoj temperaturi (20°C).

EPR spektri su snimani pri istim uslovima kao za transformaciju hidroksi radikala (aparat II).

Izmerena je amplituda sredine pika upotrebnom EPR signala i antioksidativna aktivnost (AA) svakog uzorka je dobijena korišćenjem jednačine:

$$AA = \frac{A_{sp} - A_e}{A_{sp}} \cdot 100 \quad (\%) \quad (19)$$

gde su  $A_{sp}$  i  $A_e$  amplituda središnjeg pika slepe probe i amplituda središnjeg pika uzorka sa ekstraktom.

#### 4.4.6. Transformacija hidroksi radikala i superoksid anjon radikala generisanih UV zračenjem

Mogući protektivni kapacitet ekstrakata u odnosu na UV zračenje ispituje se sposobnošću "skevendžinga" slobodnih radikala ( $\cdot\text{OH}$  i  $\cdot\text{O}_2^-$ ), nastalih izlaganjem UV zračenju. Kontrolni uzorak, voden rastvor DEMPO (28 mmol/l), izložen je UV zračenju. Zračenje je izvršeno u UV reaktoru (snage 1.000 W) i trajalo je 10 minuta. Ekstrakti su rastvoreni do finalne koncentracije od 0,2 mg/ml i izloženi UV zračenju na isti prethodno opisani način za kontrolni uzorak. Nakon inkubacije, uzorci su

prebačeni u teflonske epruvete i izvršena su EPR određivanja pri istim uslovima kao za transformaciju hidroksi radikala (aparat II).

UV protektivna aktivnost se može izraziti kao relativna inhibicija (RI), na sledeći način:

$$RI = \frac{P_v - P_e}{P_v} 100 \text{ (%)}$$
 (20)

gde je:  $P_v$  - pik amplitude (voda);

$P_e$  - pik amplitude (ekstrakt).

#### **4.5. PREVENIRANJE/UKLANJANJE LIPIDNE PEROKSIDACIJE MEMBRANE ERITROCITA**

Glavna meta napada egzogenog  $H_2O_2$  u eritrocitima nije intracelularna sredina, već češće membrana eritrocita. Kako  $H_2O_2$  može proći membranu, on takođe poseduje sposobnost reagovanja sa mastima izazivajući peroksidaciju i oksidativna oštećenja. Utvrđeno je da  $H_2O_2$  izaziva smanjenje membranske fluidnosti<sup>185</sup>.

Priprema uzorka je identična kao za spektrofotometrijsko određivanje kapaciteta ekstrakata u zaštiti eritrocita od hemolize izazvane vodonik peroksidom, s tim što se za ovu metodu superant uklanja. Eritrociti se rastvaraju u dvostrukoj zapremini fosfatnog pufera. Etanolni rastvor 7-DS koji se koristi kao spin proba se nanese na zidove epruvete. Nakon uparavanja etanola, doda se uzorak ekstrakta do finalne koncentracije od 0,2 mg/ml i epruveta blago promučka. 7-DS se dodaje eritrocitima tako da se dobije optimalan odnos spin-obeleživač/membranski lipid<sup>230</sup>, koji iznosi oko 1:100.

Zatim se pristupa snimanju EPR spektra, pri istim uslovima kao za transformaciju hidroksi radikala (aparat II).

#### **4.6. ISPITIVANJE ZAŠTITE MEMBRANSKOG INTEGRITETA ERITROCITA MERENJEM SADRŽAJA KALIJUMA**

Sposobnost neke supstance da zaštitи membranski integritet eritrocita izloženih oksidativnom stresu se može odrediti merenjem sadržaja kalijuma, koji je dobar indikator koegzistentnosti i funkcionalnosti membrane eritrocita.

Efluks jona  $K^+$  u odsustvu stimulansa stvara potencijalnu razliku kroz ćelijsku membranu. Veličina potencijala kroz ćelijsku membranu zavisi od ravnotežnog potencijala za  $K^+$  i selektivne permeabilnosti membrane ćelije za  $K^+$ . Sve dok je intraćelijska aktivnost  $K^+$  mnogo veća od ekstraćelijske, ravnotežni potencijal za  $K^+$  je osetljiviji na ekstraćelijske promene<sup>246</sup> aktivnosti  $K^+$ . Oštećenje membrane se može reflektovati oslobođanjem konstituenasa ćelije, kao što je kalijum.

Određivanje zaštite membranskog integriteta je izvršena ispitivanjem da li ekstrakti kestena mogu da preveniraju efluks kalijuma. Sadržaj kalijuma je određen plamenom fotometrijom.

Eritrociti su tretirani na isti način kako je objašnjeno u prethodnom eksperimentu, izuzev što nakon 30 minutnog perioda inkubacije, uzorci nisu prani. Centrifugiranje je obavljeno na 3500 x g (10 min, 20°C) i dobije se supernatant u kome se određuje sadržaj  $K^+$  upotrebom PFP7 plamenog fotometra.

Supernatant je razblažen 100 puta da bi se dobole koncentracija kalijuma u opsegu detekcije plamenog fotometra, i meren je ekstracelularni kalijum. Efluks kalijuma povezan sa gubitkom membranskog integriteta izazvanog vodonik peroksidom se preračunava na osnovu koncentracije kalijuma u supernatantu za uzorke koji su tretirani sa H<sub>2</sub>O<sub>2</sub> i netretiranih uzoraka. S obzirom da ekstrakt kestena može sadržavati kalijum i uticati na eritrocite membrane, ekstrakt se dodaje i netretiranom uzorku.

#### **4.7. ODREĐIVANJE VIJABILNOSTI RIN-5F ĆELIJA POMOĆU MTT TESTA**

Izvršeno je uspostavljanje model-sistema dijabetesa u kulturi β-ćelija pankreasa (Rin-5F) upotrebom STZ, ALX i SNP.

Rin-5F ćelije su uzgajane u RPMI 1640 medijumu koji je obogaćen albuminom govečeta iz seruma, 10% glutaminom i koktelom antibiotika (penicilin/streptomicin). Medijum je menjan svaki treći dan, a ćelije pasažirane u trenutku dostizanja 70% konfluentnosti suda u kome se uzgajaju.

- STZ je rastvoren u RPMI medijumu i korišćen na Rin-5F ćelije u seriji koncentracija: 0, 0,1, 0,5, 1, 2, 5, 10 i 15 mmol/l
- ALX je rastvoren u RPMI medijumu i korišćen u koncentracijama: 0, 1, 2, 5, 7,5, 10 i 15 mmol/l
- SNP je rastvoren u vodi, a primenjene su sledeće koncentracije: 0, 0,1, 0,2, 0,5, 1, 2, 5 i 10 mmol/l.

Navedeni izazivači dijabetogenog stanja inkubirani su sa Rin-5F ćelijama 24 h. Ćelije su potom isprane u PBS-u, tripsinizovane, sakupljene centrifugiranjem 1000 x g (5 min, 20°C) i korišćene u daljim eksperimentima. Vijabilnost Rin-5F ćelija praćena je pomoću MTT testa<sup>247</sup>. Boja MTT (2,5 mg/5 ml RPMI medijuma) nanese se na tretirane i kontrolne Rin-5F ćelije. Inkubacija traje u mraku na sobnoj temperaturi 2 h. Boja lako prodire u viabilne ćelije. Vizualizacija se vrši rastvaranjem MTT-om fiksiranih ćelija u dimetil-sulfoksidu (DMSO)-u. Nakon rastvaranja vidljiva ljubičasta boja se očitava u ELIZA čitaču korišćenjem filtera od 570 nm.

#### **4.8. MIKROBIOLOŠKA METODA ISPITIVANJA**

Muzejske kulture referentnih sojeva mikroorganizama i izolata, čuvane u frižideru na temperaturi od 4°C uz redovno presejavanje, su za ispitivanje antimikrobne aktivnosti biljnih ekstrakata fiziološki aktivirane dvostrukim pasažiranjem po Mueller-Hinton agaru (MHA) za bakterije, ili Sabouraud-dextrose agaru za kvasce.

##### **4.8.1. Disk-difuziona metoda – metoda za skrining**

Nakon pasažiranja od referentnih kultura je pripremljena suspenzija u 9 ml fiziološkog rastvora. Broj ćelija u suspenziji je procenjen McFarland nefelometrom i prema potrebi pripremljena serija razređenja tako da broj ćelija u suspenziji za inkokulaciju podloge nije manji od 1 x 10<sup>7</sup> cfu/ml (cfu ≈ colony forming unit). Po 1 ml ove suspenzije je homogenizovan sa 9 ml otopljene i ohlađene (do 45°C) podloge

koje su odmah razlivene u Petri kutije prečnika 10 cm i ostavljene da želiraju. Po očvrsloj podlozi postavljeni su sterilni diskovi prečnika 6 mm.

U aseptičnim uslovima na diskove je naneto po 10 µl *Castanea sativa* ekstrakata koncentracije 10 mg/ml rastvorenih u 30% etanolu.

Petri kutije su inkubirane 48 h u termostatu na temperaturi od 37°C za bakterije ili 25°C za kvasce, nakon čega su izmerene zone inhibicije oko diskova (ZI, uključujući disk) i izražene u mm sa preciznošću od 0,1 mm. Prisustvo ove zone potvrda je antimikrobne aktivnosti ekstrakta.

Kao referentne supstance korišćeni su sledeći antibiotici: penicilin (10 U/disc), amoksicilin (25 µg/disc), kao i antimikotici: ketokonazol (25 µg/disc), nistatin (100 U/disc) i amfotericin B (100 U/disc) Bioanalyse®, Ankara, Turska.

Za ispitivanje antimikrobne aktivnosti kestena, upotrebljeni su sledeći sojevi bakterija i kvasaca: *Sarcina lutea* (ATCC 9341, (G+) bakterija), *Staphylococcus aureus* (ATCC 25923, (G+) bakterija), *Bacillus cereus* (ATCC 10876, (G+) bakterija), *Proteus mirabilis* (ATCC 35659, (G-) bakterija), *Escherichia coli* (ATCC 25922, (G-) bakterija), *Lactococcus lactis* ssp. *lactis* (B-4449, (G+) bakterija), *Micrococcus pyrogenes* var. *albus* ((G+) bakterija, izolat iz prirodne sredine), *Enterococcus gallinarum* ((G+) bakterija, izolat iz prirodne sredine), *Salmonella typhimuri* (ATCC 14028, (G-) bakterija), *Saccharomyces cerevisiae* (112, Hefebank Weihenstephan, kvasac), *Candida albicans* (ATCC 10231, kvasac), *Rhodotorula* (izolat iz prirodne sredine, kvasac).

Bakterije i kvasci su deo kolekcije Mikrobiološke laboratorije Tehnološkog fakulteta Univerziteta u Novom Sadu.

Paralelno sa antimikrobnim ispitivanjem ekstrakata *C. sativa*, ispitana je i čist rastvarač u smislu ispoljavanja eventualne antimikrobne aktivnosti.

Napomena: ATCC- American Type of Collection Cultures

#### **4.9. STATISTIČKA OBRADA PODATAKA**

Svi eksperimenti su rađeni u tri ponavljanja, a rezultati predstavljeni kao srednja vrednost ± standardna greška. Svi podaci dobijeni u ispitivanjima obrađeni su pomoću softverskog paketa Microsoft Excel 2000 (CORREL statistička funkcija). Pearson-ov korelacioni test je upotrebljen za određivanje korelacije između promenljivih. Nivo značajnosti definisan je kao  $P \leq 0,05$ .

## 5. ZAKLJUČCI



1. Najveći prinos suvog ekstrakta je dobijen za resu kalemljenog italijanskog maruna (33,56%) primenom 50% acetona, dok je primenom 50% etanola kao ekstragensa najveći prinos suvog ekstrakta 13,32% dobijen za crvenu unutrašnju koru ploda lovranskog maruna. Najmanji prinos suvog ekstrakta (1,82%) je određen za ježevice (50% etanol) i spoljnu braon koru ploda pitomog kestena (3,30%) (50% aceton). U zavisnosti od analiziranog dela kestena utvrđen je sledeći redosled prinosa suvog ekstrakta (važi za oba ekstragensa): resa > list > srž ploda > ceo plod > crvena unutrašnja kora ploda > mlada kora drveta > stara kora drveta > spoljna braon kora ploda > ježevice. Iako se radi o dva različita kultivara, odnos srži i kore ploda pitomog kestena i lovranskog maruna je sličan (70% : 30%).
2. Primenom spektrofotometrijskih metoda utvrđeno je da ekstrakt rese kalemljenog italijanskog maruna ima najveći sadržaj ukupnih fenola (11,42 %GAE) (ekstragens 50% aceton), dok je najmanji sadržaj dobijen za srž ploda lovranskog maruna (0,11 %GAE) (50% etanol). Najveći sadržaj ukupnih flavonoida je određen za resu pitomog kestena (2,45 %CE), ekstragens 50% aceton, a najmanji 0,02%CE za srž ploda pitomog kestena (50% etanol). Definisan je sledeći redosled sadržaja ukupnih fenola i flavonoida u analiziranim ekstraktima: crvena unutrašnja kora ploda > resa > list > mlada kora drveta > stara kora drveta > spoljna braon kora ploda > ceo plod > ježevice > srž ploda. Najveći sadržaj kondenzovanih tanina je određen u ekstraktu crvene unutrašnje kore ploda lovranskog maruna 27,29 %CE (50% aceton), odnosno 23,93 %CE, kada je 50% etanol primenjen kao ekstragens. Sadržaj kondenzovanih tanina primenom kiselog butanolnog testa je najveći (11,37 %CT) u uzorku crvene unutrašnje kore ploda lovranskog maruna (ekstragens 50% etanol), a kondenzovani tanini nisu detektovani u ekstraktu srži ploda pitomog kestena (50% etanol). Na osnovu rezultata sadržaja kondenzovanih tanina dobija se sledeći redosled ispitivanih ekstrakata (važi za oba ekstragensa): crvena unutrašnja kora ploda > mlada kora drveta > stara kora drveta > spoljna braon kora ploda > ceo plod > ježevice > resa > srž ploda > list.
3. Utvrđena je veoma značajna korelacija ( $P < 0,01$ ) između prinosa suvog ekstrakta i ukupnih fenola, ukupnih fenola i ukupnih flavonoida, kao i kondenzovanih tanina određenih vanilin i kiselim butanolnim testom za ekstrakte dobijene upotrebom oba ekstragensa. Iako je primenom 50% acetona kao ekstragensa dobijen veći sadržaj fenolnih materija, flavonoida i kondenzovanih tanina, za proizvodnju ekstrakata se preporučuje 50% etanol kao ekstragens, jer obezbeđuje sasvim zadovoljavajuće rezultate, a prihvatljiviji je sa aspekata znatno niže toksičnosti. Sva dalja istraživanja su vršena na ekstraktima kestena dobijenim upotrebom 50% etanola kao ekstragensa.

4. Ekstrakt lista lovanskog maruna i rese pitomog kestena roda 2007. godine štite eritrocite od hemolize izazvane  $H_2O_2$ , ali ova zaštita nije izražena, jer je došlo do veoma blage hemolize. Ekstrakti kestena roda 2006. godine ispoljavaju manji kapacitet zaštite.
5. Primenom HPLC/DAD analize najveći sadržaj fenolnih materija je određen za ekstrakt rese pitomog kestena (284,57mg RE/g ekstrakta) odnosno 0,083 %RE. Utvrđena je jako značajna korelacija ( $r = 0,989$ ) između rezultata HPLC/DAD metode za određivanje ukupnih fenola i spektrofotometrijske metode za određivanje ukupnih fenola (FC) metod, što pokazuje da je FC metod pogodan za analizu fenolnih materija ekstrakata kestena. Kvalitativnom i kvantitativnom analizom hidrolizata *C. sativa* dobijenog nakon metanolizacije ekstrakata, metodama LC/MS i HPLC/DAD analize, identifikovana su: elaginska kiselina i njeni derivati, jedinjena sa flavonoidnom strukturom, kao i metil estar *p*-kumarne kiseline. Glavne komponente hidrolizata nakon metanolizacije su dimetil estar dehidrodigalne kiseline i metil estar dilaktona elaginske i valoneinske kiseline. Kvantitativnom HPLC/DAD analizom najveći sadržaj elagitanina je utvrđen za ekstrakt ježevica (170,6 mg/g ekstrakta). Derivati elagitanina imaju dugu postojanost unutar tela, delujući sa prolongiranim antioksidativnim efektom. Ova činjenica ukazuje da elagitanini iz ekstrakata *C. sativa* predstavljaju značajne komponente u ishrani kod patofizioloških stanja povezanih sa antioksidativnim stresom.
6. Najveća antioksidativna aktivnost u odnosu na 1-difenil-2-pikrilhidrazil (DPPH) radikale ( $AA = 37,50\%$ ) je dobijena za ekstrakt rese pitomog kestena, kod koga je određen i visok sadržaj ukupnih fenolnih komponenti (3,28 %GAE). Antioksidativna aktivnost u odnosu na DPPH radikale je visoka za ekstrakt spoljne braon kore lovanskog maruna ( $AA = 36,52\%$ ) i lista kalemljenog italijanskog maruna ( $AA = 29,96\%$ ). Ceo plod kestena i srž ploda nisu ispoljili antioksidativnu aktivnost. Dobijene vrednosti za antioksidativnu aktivnost srži, ploda i spoljne braon kore su povezane sa sastavom ploda pitomog kestena, gde srž ploda učestvuje sa 69,90%, a spoljna braon kora sa 24,41%. Utvrđena je značajna korelacija ( $P < 0,05$ ) između sadržaja fenola i DPPH aktivnosti. Ekstrakt stare kore drveta kestena ispoljava najveću "skevendžing" radikalnu aktivnost u odnosu na hidroksi ( $\cdot OH$ ) radikale ( $AA = 68,18\%$ ). Visoka "skevendžing" aktivnost utvrđena je za resu kalemljenog italijanskog maruna ( $AA = 59,09\%$ ) i spoljnu braon koru lovanskog maruna ( $AA = 56,36\%$ ). Antioksidativna aktivnost za ekstrakt srži kestena je jednaka 0, a niska vrednost je određena za ceo plod kestena ( $AA = 5,45\%$ ). Veoma značajna korelacija ( $P < 0,01$ ) je utvrđena između sadržaja flavonoida i OH antioksidativne aktivnosti, dok je između sadržaja fenola i OH antioksidativne aktivnosti određena značajna korelacija.
7. Svi analizirani ekstrakti ispoljavaju signifikantnu antioksidativnu aktivnost u odnosu na uklanjanje superoksidnih anjon ( $\cdot O_2^-$ ) radikala, a kao najjefikasniji su se pokazali ekstrakti lista ( $RI = 86$ ) i rese kalemljenog italijanskog maruna ( $RI = 85$ ), kao i lista lovanskog maruna ( $RI = 80$ ) i ježevica ( $RI = 79$ ). Najmanja antioksidativna aktivnost u odnosu na superoksid anjon radikale je određena za ekstrakt celog ploda lovanskog maruna ( $RI = 20$ ). Redosled relativne inhibicije ( $RI$ ) aktivnosti ispitivanih ekstrakata u odnosu na  $\cdot O_2^-$  radikale je sledeći: resa >

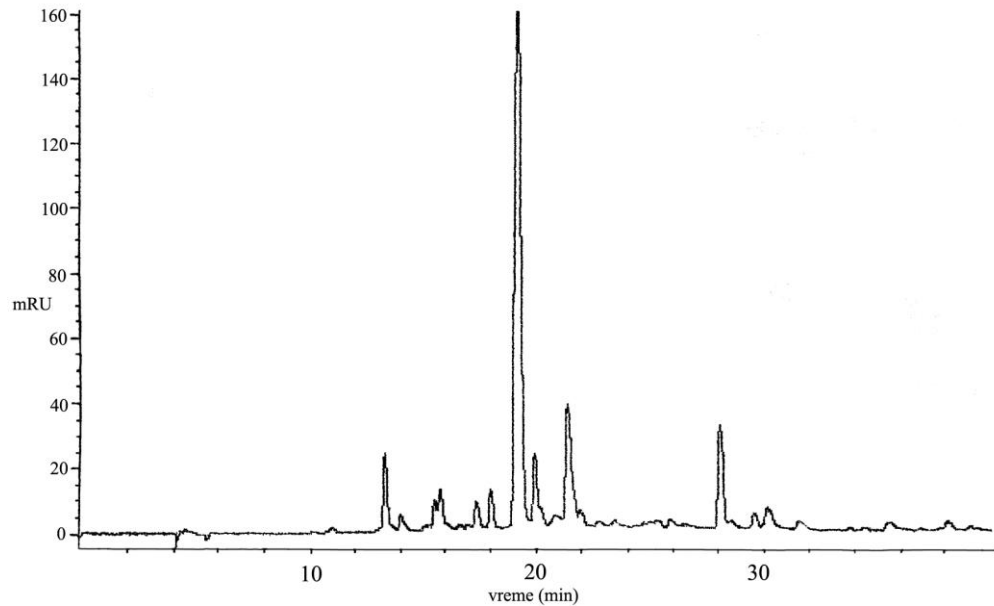
list > ježevice > stara kora drveta > spoljna braon kora ploda > mlada kora drveta > crvena unutrašnja kora ploda > srž ploda > ceo plod. Ispitivanjem kapaciteta ekstrakata za uklanjanje lipidne peroksidacije utvrđeno je da većina ispitivanih ekstrakata ispoljava aktivnost. Ekstrakt mlade kore drveta i celog ploda pitomog kestena izaziva signifikantno smanjenje membranske fludnosti kod lipozoma koji nisu tretirani u Fenton-ovoj rekciji, dok ekstrakti celog ploda lovanskog maruna, crvene unutrašnje kore i spoljne braon kore ploda lovanskog maruna izazivaju smanjenje koje nije tako izrazito. Ekstrakti rese pitomog kestena, celog ploda i srži lovanskog maruna ne ispoljavaju sposobnost zaštite lipozoma od peroksidacije.

8. Kapacitet ekstrakata za transformaciju organskih hidrofilnih radikala, ispitana kao sposobnost redukcije spin probe Tempon-a je najveći za ekstrakt rese pitomog kestena ( $A = 18,10\%$ ) i spoljnu braon koru lovanskog maruna ( $A = 12,60\%$ ). Ekstrakti lista pitomog kestena i mlade kore drveta imaju veoma malu aktivnost. U pogledu kapaciteta za transformaciju organskih hidrofilnih radikala (Tempon), ustanovljen je sledeći redosled aktivnosti analiziranih ekstrakata: resa > spoljna braon kora ploda > crvena unutrašnja kora ploda > ježevice > stara kora drveta > list > srž ploda > ceo plod > mlada kora drveta. Ispitivanje protektivnog delovanja ekstrakata u odnosu na UV zračenje određeno je kao sposobnost uklanjanja  $\cdot\text{OH}$  i  $\cdot\text{O}_2^-$  radikala nastalih nakon zračenja. Ekstrakti koji ispoljavaju pozitivne, ali relativno niske RI vrednosti za proizvodnju obe vrste radikala  $\cdot\text{OH}$  i  $\cdot\text{O}_2^-$  su spoljna braon kora lovanskog maruna ( $\text{RI } (\cdot\text{OH}) = 21$ ;  $\text{RI } (\cdot\text{O}_2^-) = 12$ ), resa sa kalemljenog italijanskog maruna ( $\text{RI } (\cdot\text{OH}) = 29$ ;  $\text{RI } (\cdot\text{O}_2^-) = 12$ ), kao i list lovanskog maruna ( $\text{RI } (\cdot\text{OH}) = 21$ ;  $\text{RI } (\cdot\text{O}_2^-) = 25$ ). Negativne RI vrednosti dobijene za ostale ekstrakte ukazuju na prooksidativnu aktivnost u vodenom rastvoru izloženom UV zračenju. Na osnovu prooksidativne aktivnosti, kao i slabe antioksidativne aktivnosti navedenih ekstrakata sa pozitivnim vrednostima RI u odnosu na oba ispitana radikala, može se zaključiti da se ispitivani ekstrakti *C. sativa* ne mogu koristiti u cilju UV zaštite.
9. Ekstrakti rese, lista i ježevica ispoljavaju aktivnost u cilju preveniranja/otklanjanja lipidne peroksidacije membrane eritrocita, jer dobijena razlika između parametra reda S za netretirane eritrocite i eritrocite tretirane sa  $\text{H}_2\text{O}_2$  nije statistički značajna. Efluks  $\text{K}^+$  nije statistički značajan u slučaju eritrocita izloženih  $\text{H}_2\text{O}_2$  u prisustvu ekstrakata rese kalemljenog italijanskog maruna, kao i za sva tri ekstrakta kestena (rese i lista) roda 2007. god. To ukazuje da ovi ekstrakti poseduju sposobnost zaštite membrane eritrocita. Ekstrakt ježevica daje manju vrednost efluksa kalijuma u odnosu na kontrolu, pa ne obezbeđuje zaštitu eritrocita.
10. Ispitivanjem *in vitro* antioksidativne aktivnosti primenom MTT testa je utvrđeno da ekstrakti rese i ježevica pitomog kestena, kao i lista lovanskog maruna imaju izuzetno visoku antioksidativnu aktivnost u ćeliji. Naročito je povoljna činjenica da su delotvorni u niskim koncentracijama (oko 0,02 mg/ml). Ekstrakti rese pitomog kestena i lista lovanskog maruna su slični po antioksidativnom kapacitetu i za njansu bolji od ekstrakta ježevica.

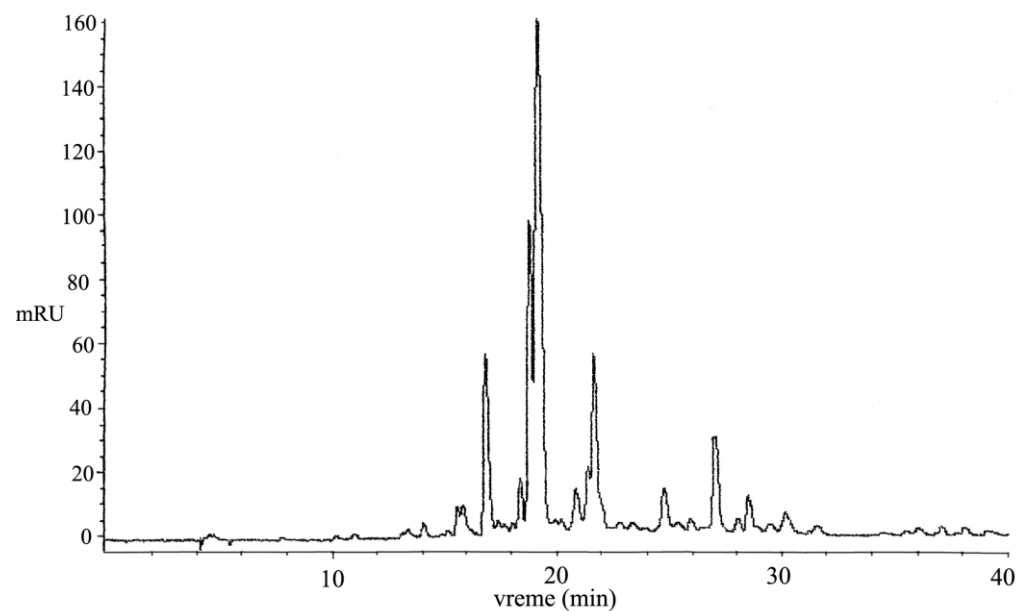
11. Antimikrobna aktivnost ekstrakata *C. sativa* određena je u odnosu na (G+) bakterije: *S. aureus*, *S. lutea*, *B. cereus*, *L. lactis ssp. lactis*, *M. pyrogenes var. albus*, kao i na (G-) bakterije: *P. mirabilis* i *S. typhimurium*. Najveću antimikrobnu aktivnost ispoljavaju ekstrakti rese i lista, koji imaju i visok sadržaj fenola i flavonoida. Značajnu antimikrobnu aktivnost daju ekstrakti kore drveta, ježevica i spoljne braon kore ploda. Ekstrakti srži ploda i celog ploda nisu ispoljili antimikrobnu aktivnost. Postoji značajna i jako značajna korelacija između antimikrobne aktivnosti ekstrakata, kao i antimikrobne i antioksidativne aktivnosti u odnosu na superoksid anjon radikale.
12. Ekstrakti lista, ježevica, spoljne braon i unutrašnje crvene kore ploda, kao i kore drveta *C. sativa* Mill. dobijeni primenom 50% etanola kao ekstragensa predstavljaju značajan izvor komponenata sa farmakološkim delovanjem u cilju smanjenja nivoa oksidativnog stresa, poseduju visok kapacitet sprečavanja lipidne peroksidacije, deluju u pravcu preveniranja/otklanjanja lipidne peroksidacije i zaštite membrane eritrocita, imaju visoku *in vitro* antioksidativnu aktivnost, a ispoljavaju i značajnu antimikrobnu aktivnost.

## 6. PRILOG

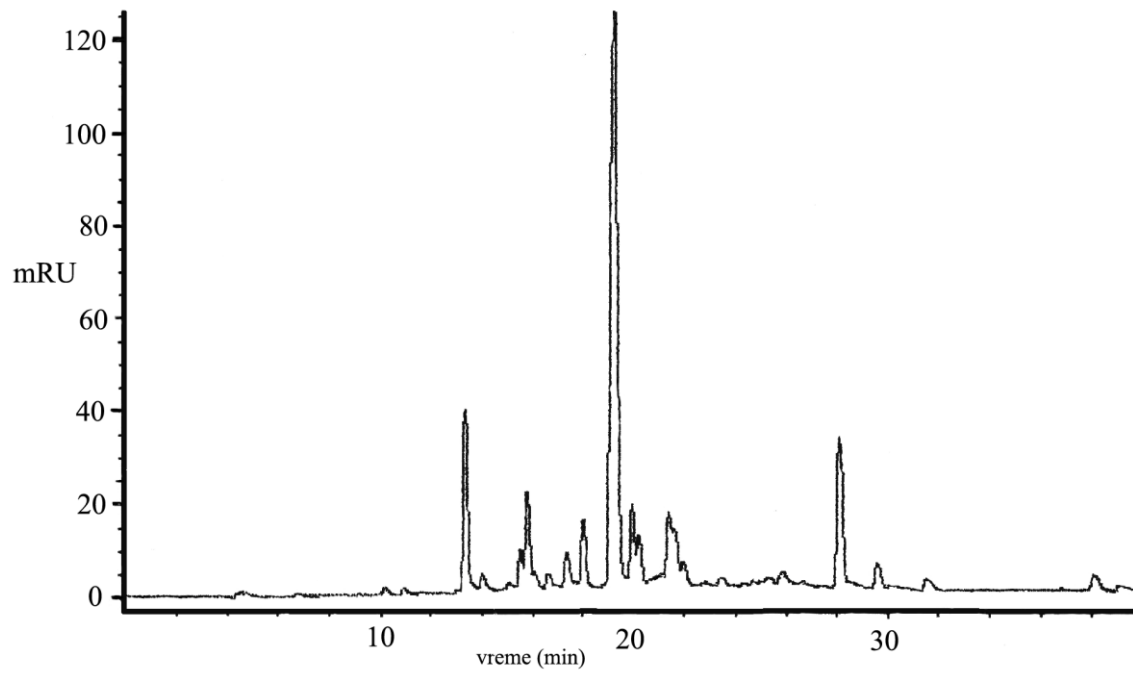
### 6.1. HPLC/DAD HROMATOGRAMI EKSTRAKATA KESTENA



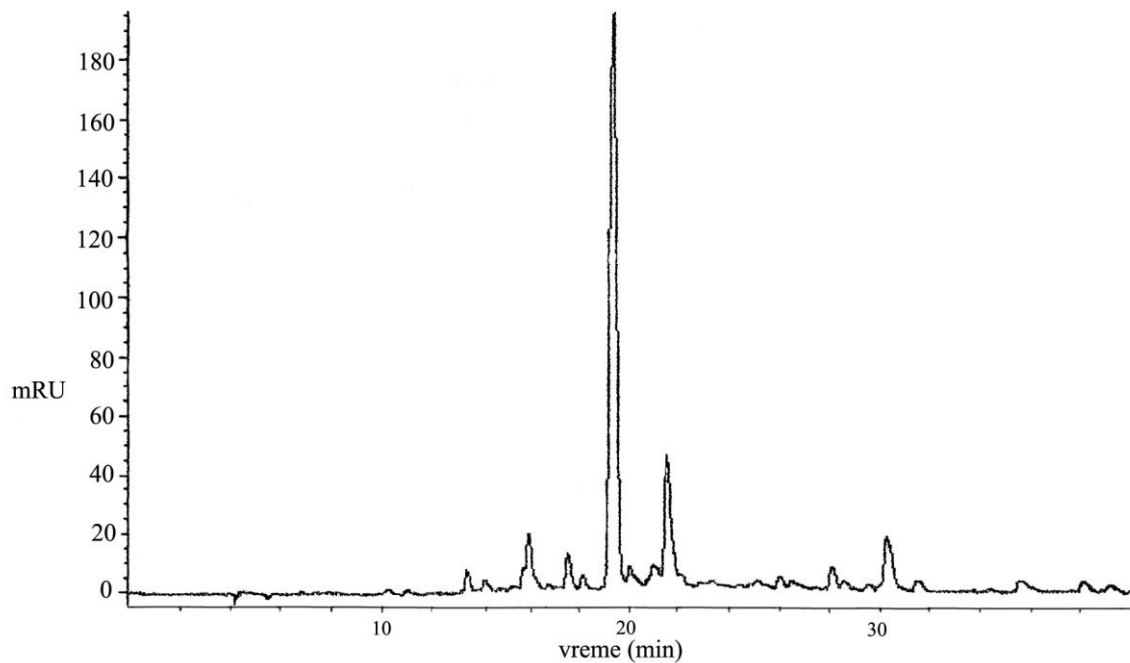
**Slika P1a.** List pitomog kestena



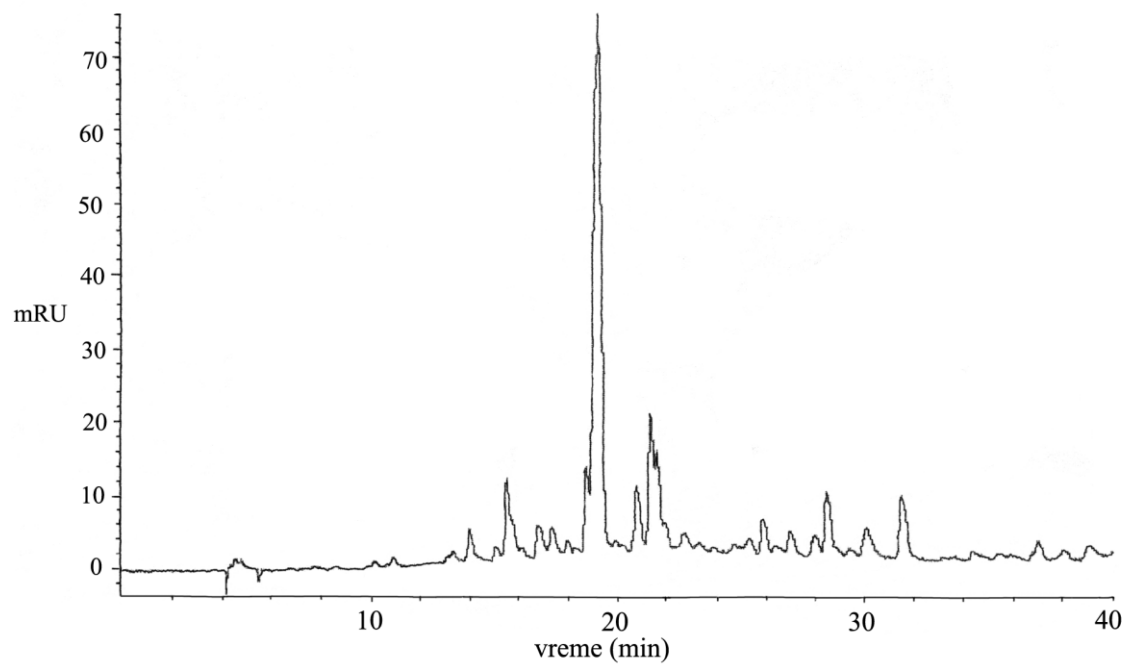
**Slika P1b.** Resa pitomog kestena



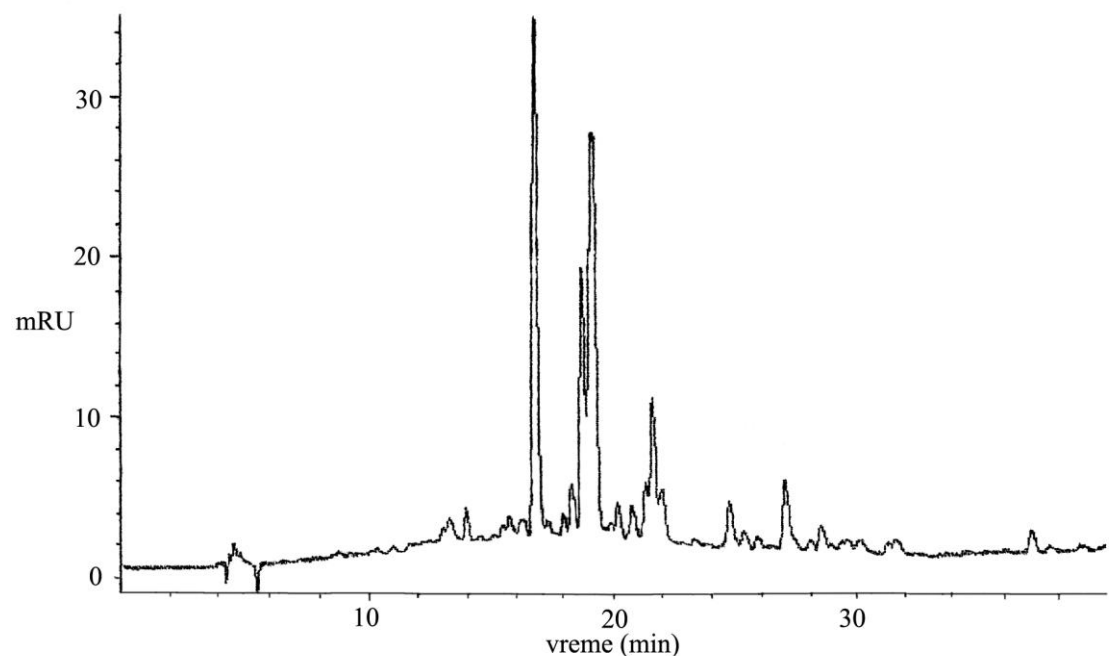
**Slika P1c.** List lovranskog maruna



**Slika P1d.** List kalemljenog italijanskog maruna



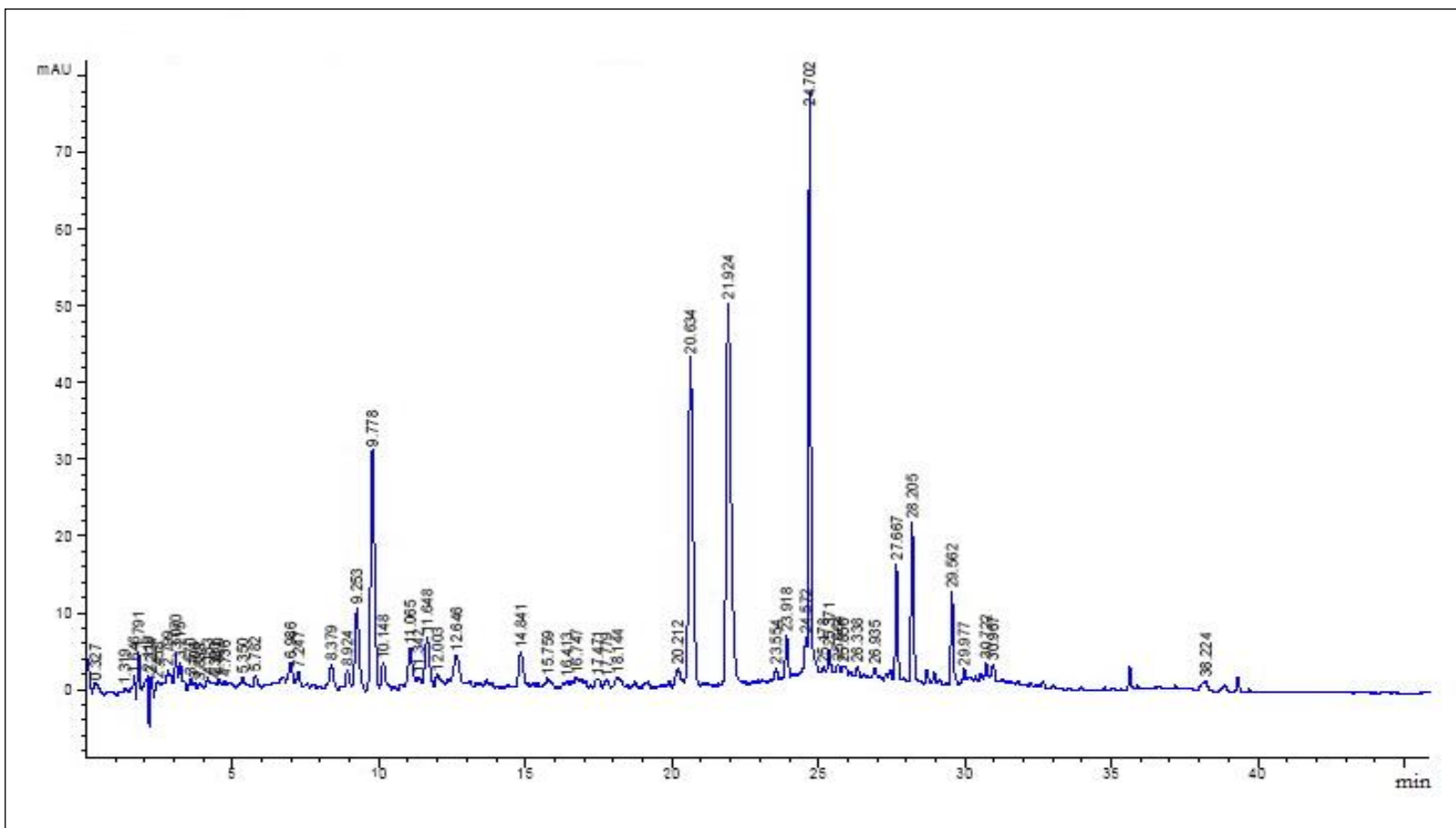
**Slika P1e.** Resa kalemljenog italijanskog maruna



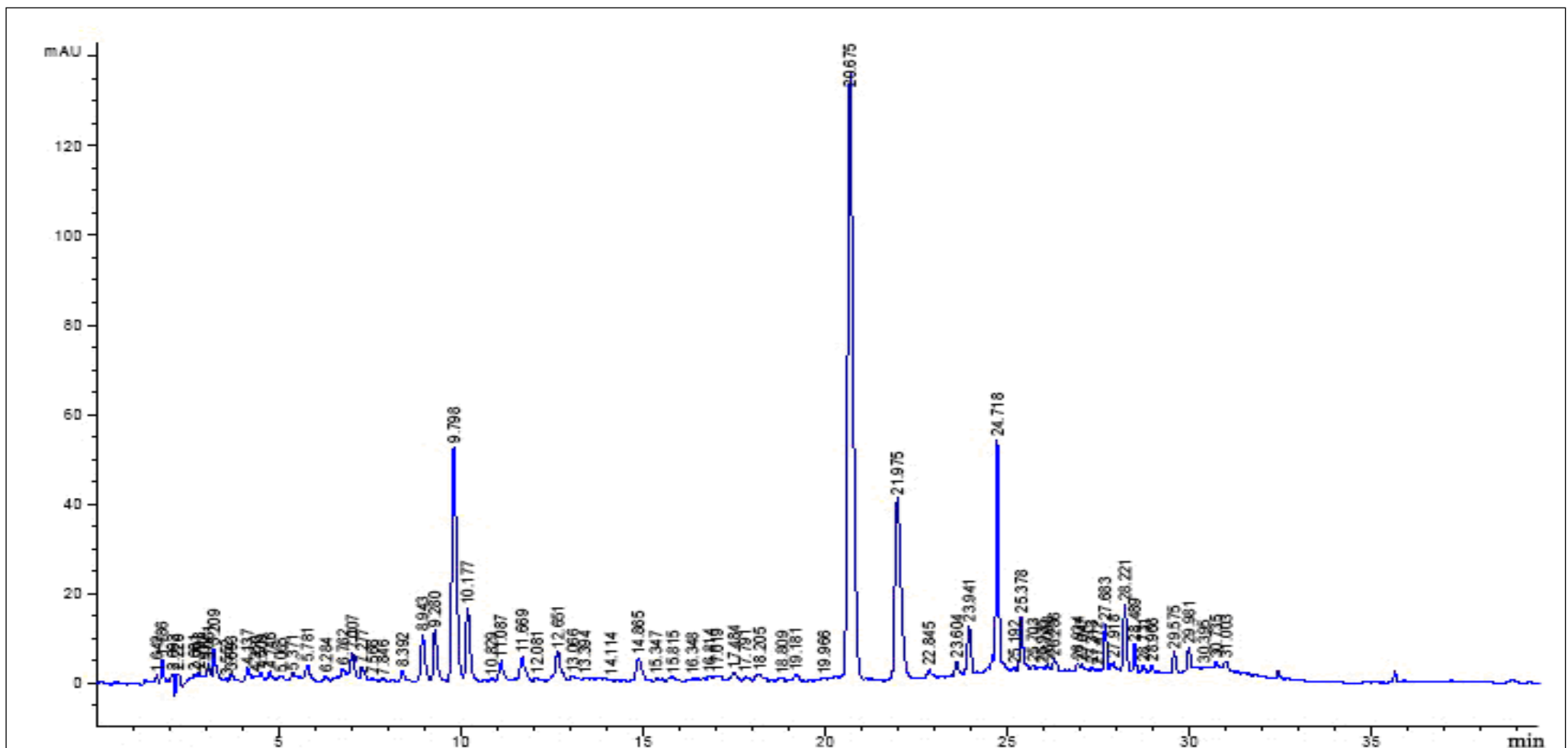
**Slika P1f.** Resa pitomog kestena (bez hidrolize)

**Slika P1.** HPLC/DAD hromatogrami ekstrakata

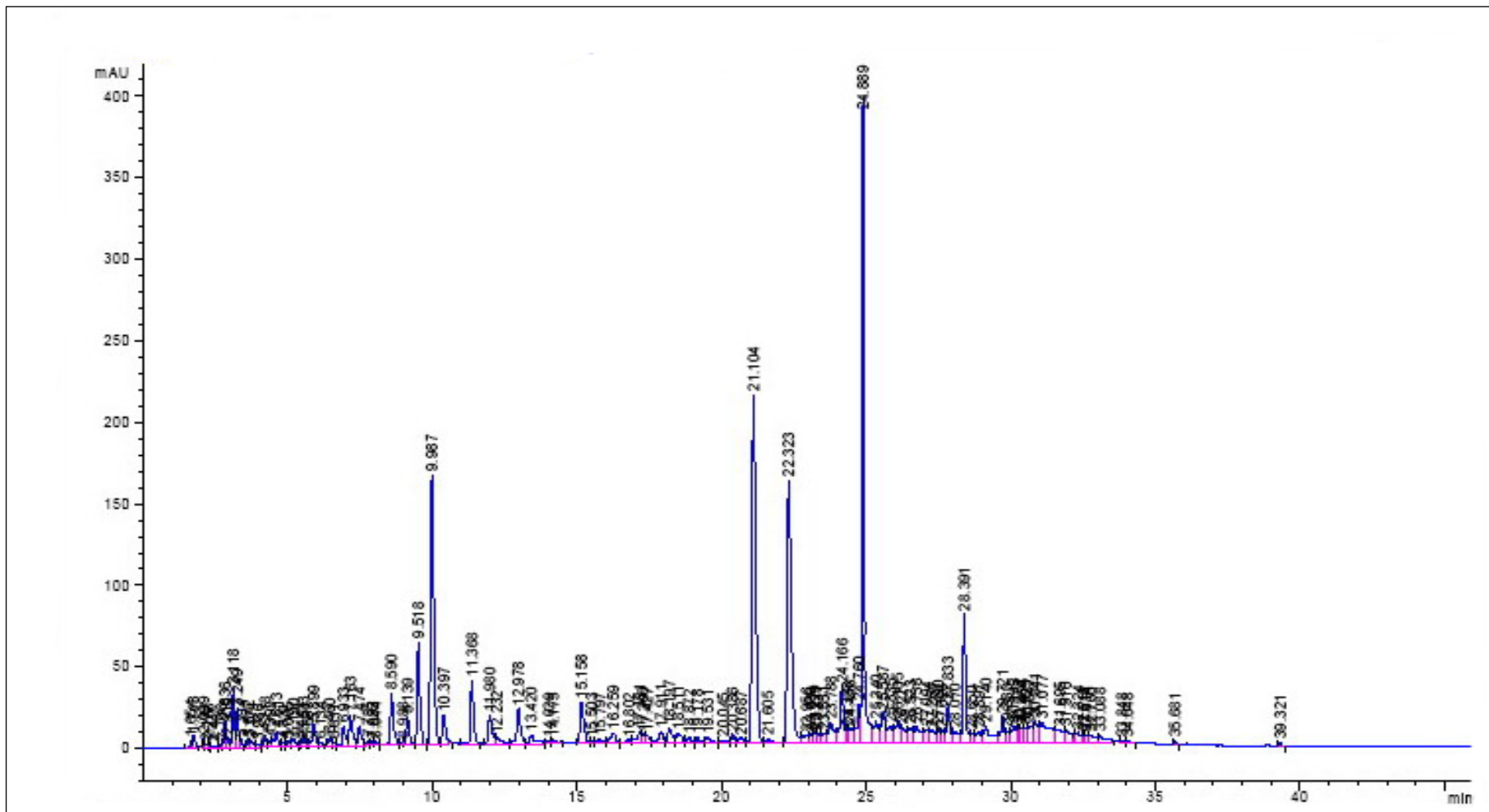
## 6.2. HPLC/MS HROMATOGRAMI EKSTRAKATA KESTENA



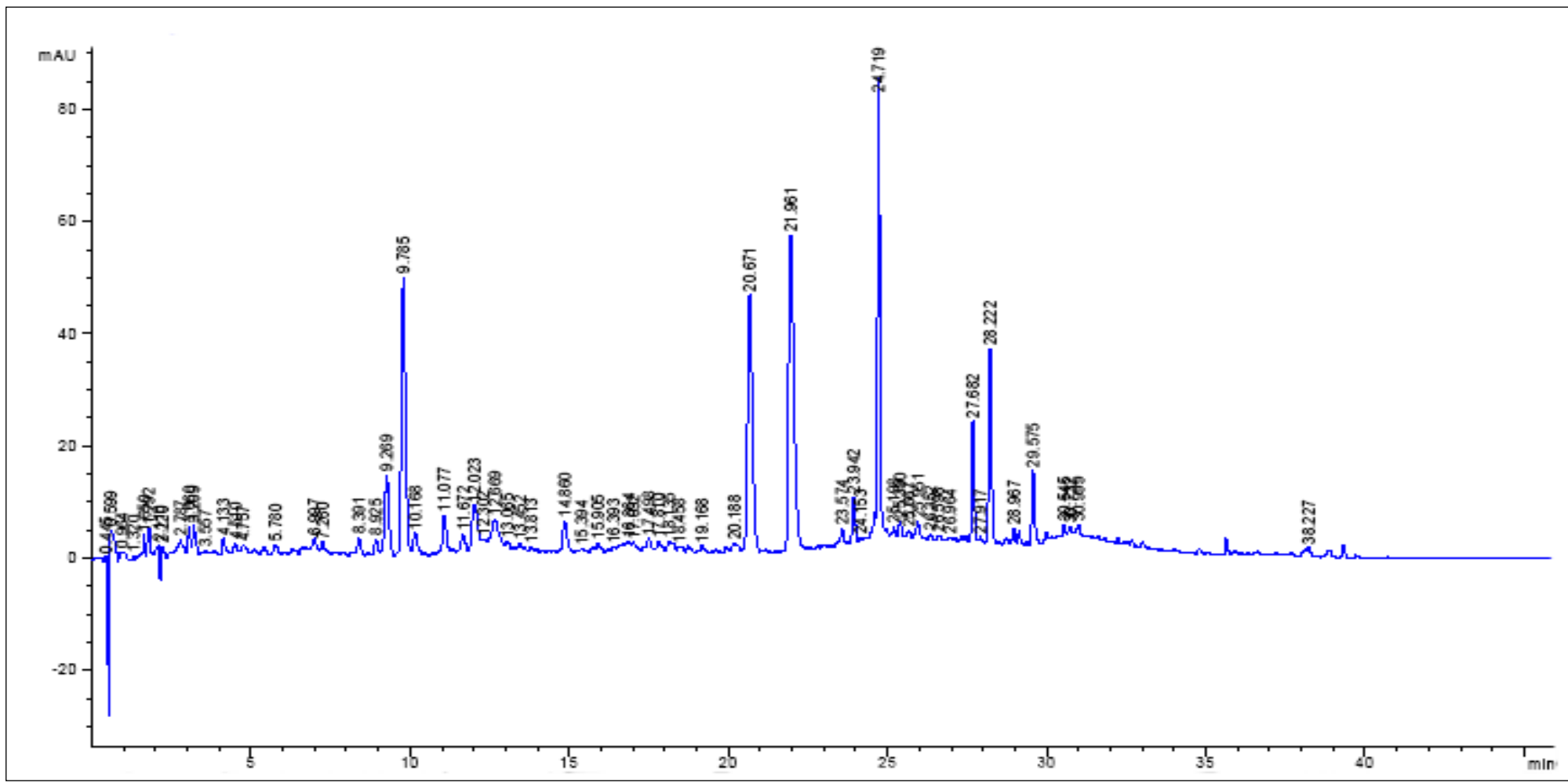
Slika P2a. List pitomog kestena (rod 2006. godine)



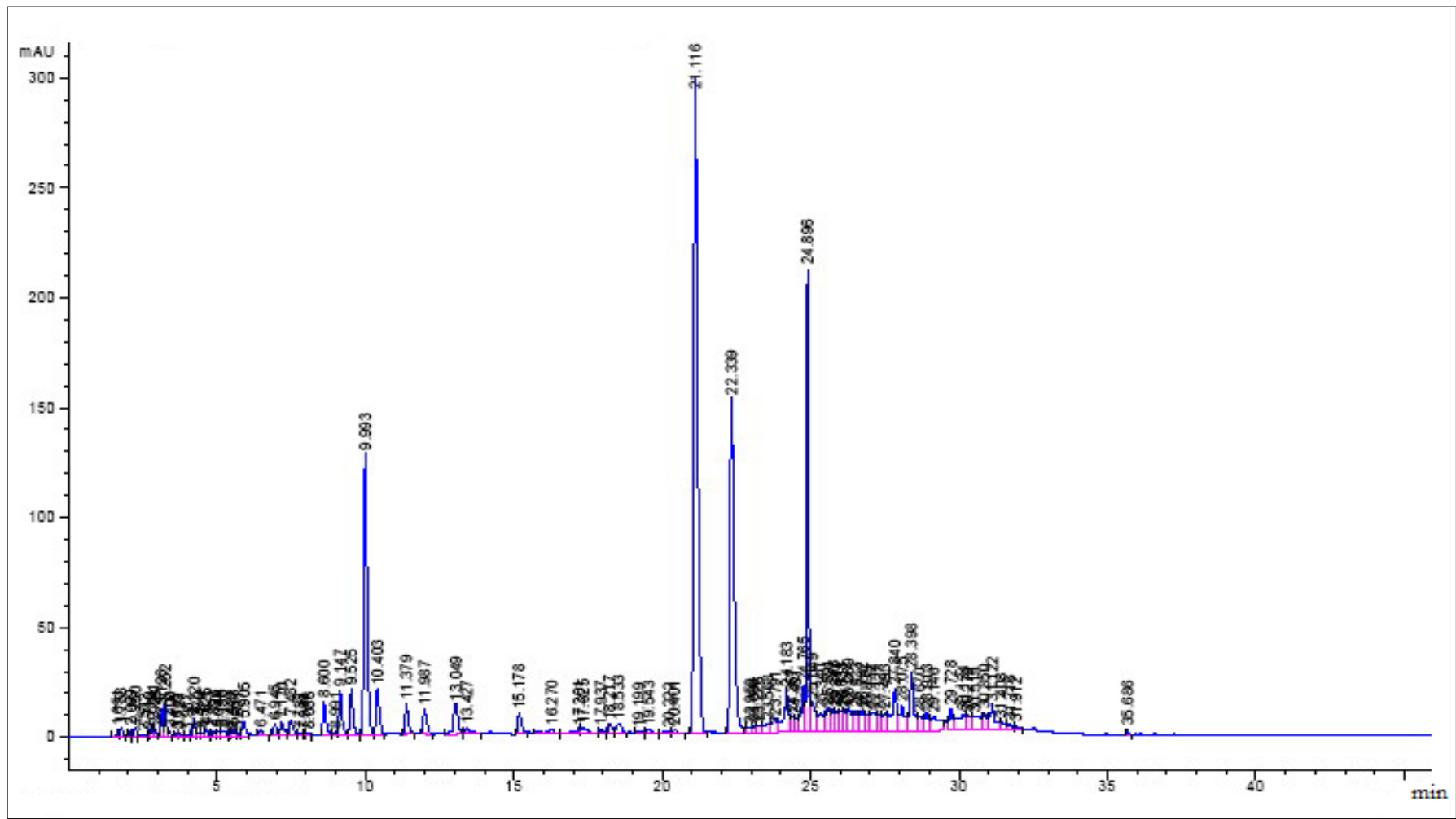
Slika P2b. Resa pitomog kestena (rod 2006. godine)



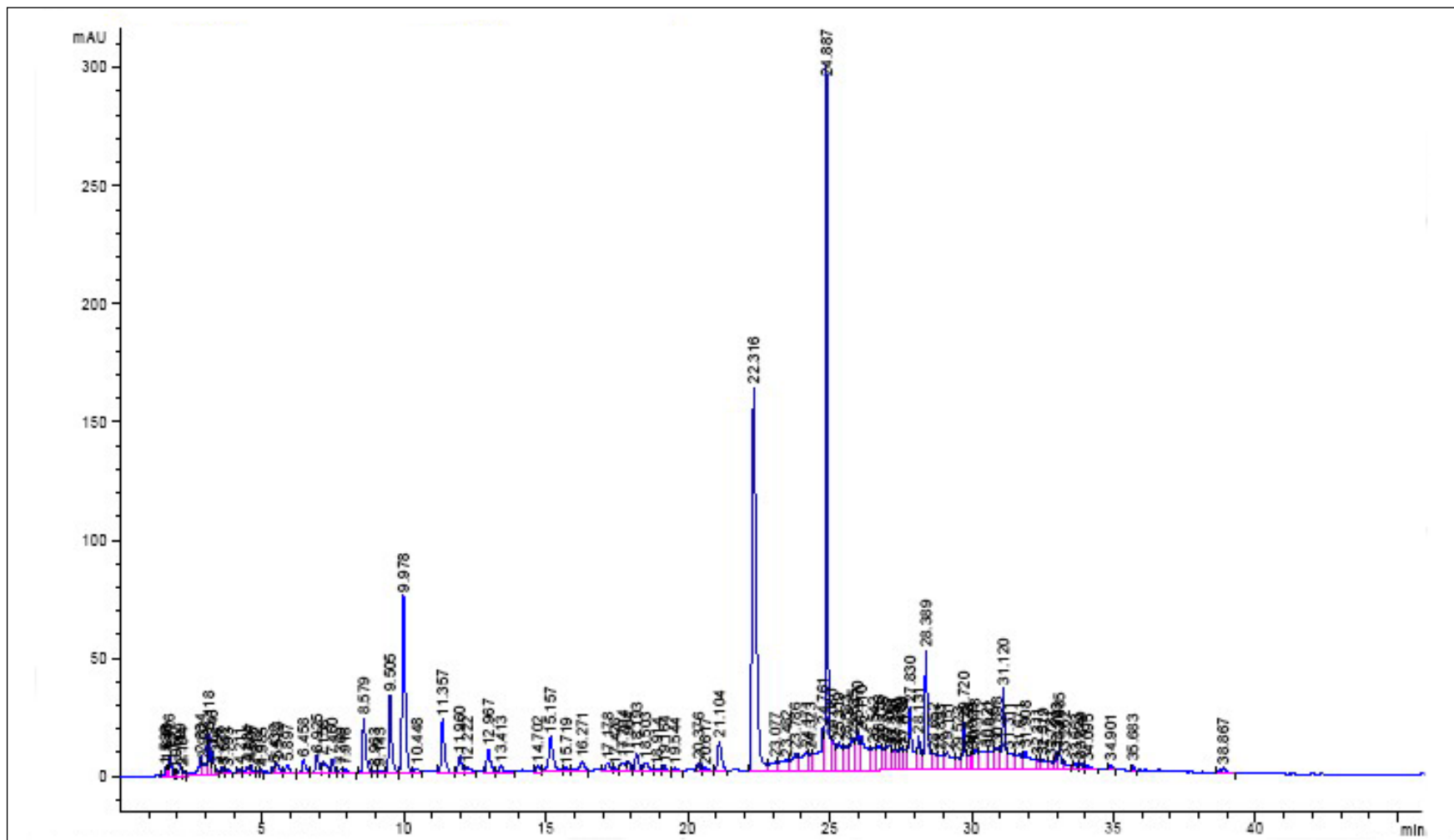
Slika P2c. List lovranskog maruna (rod 2006. godine)



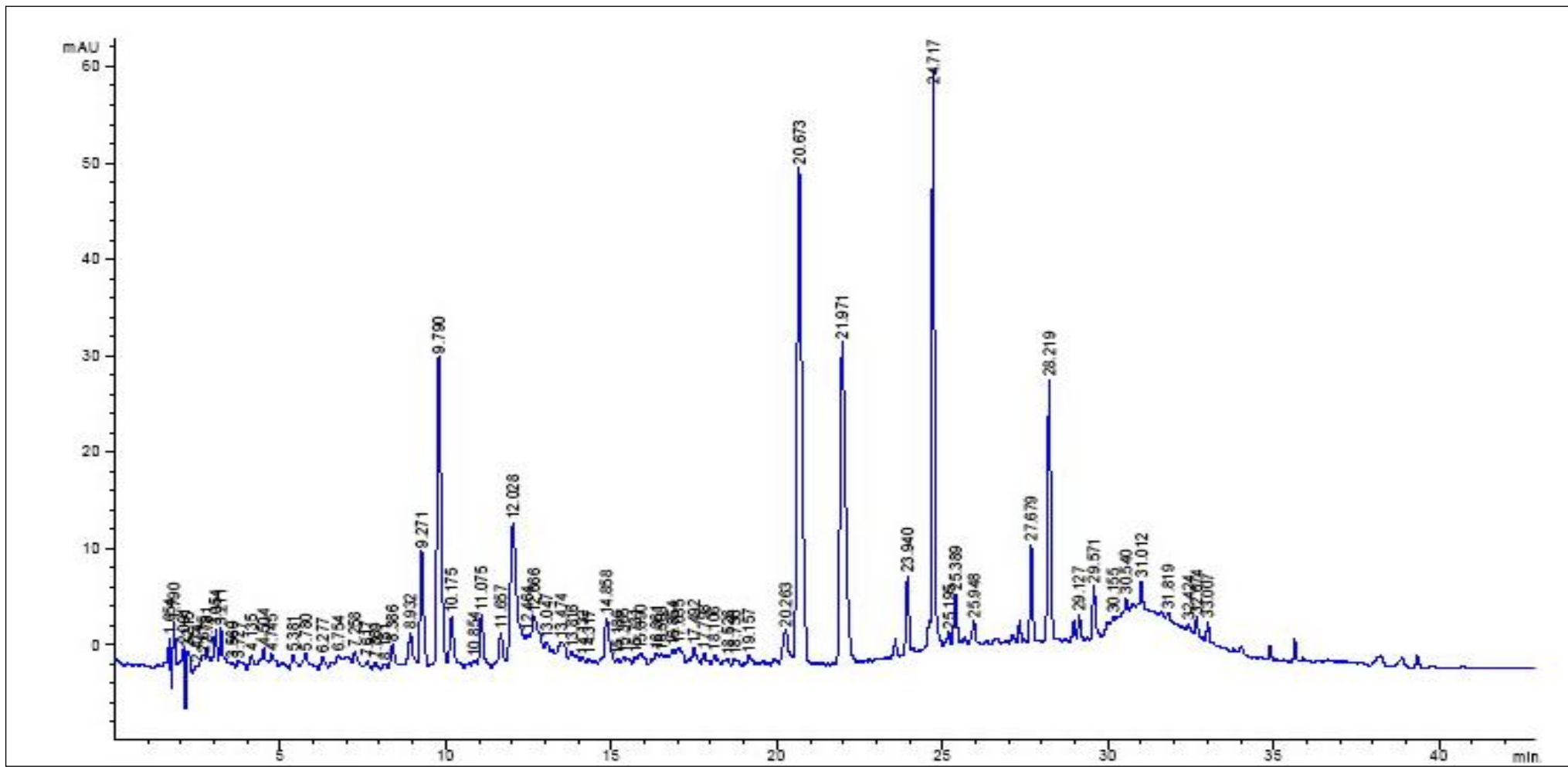
**Slika P2d.** List kalemljenog italijanskog maruna (rod 2006. godine)



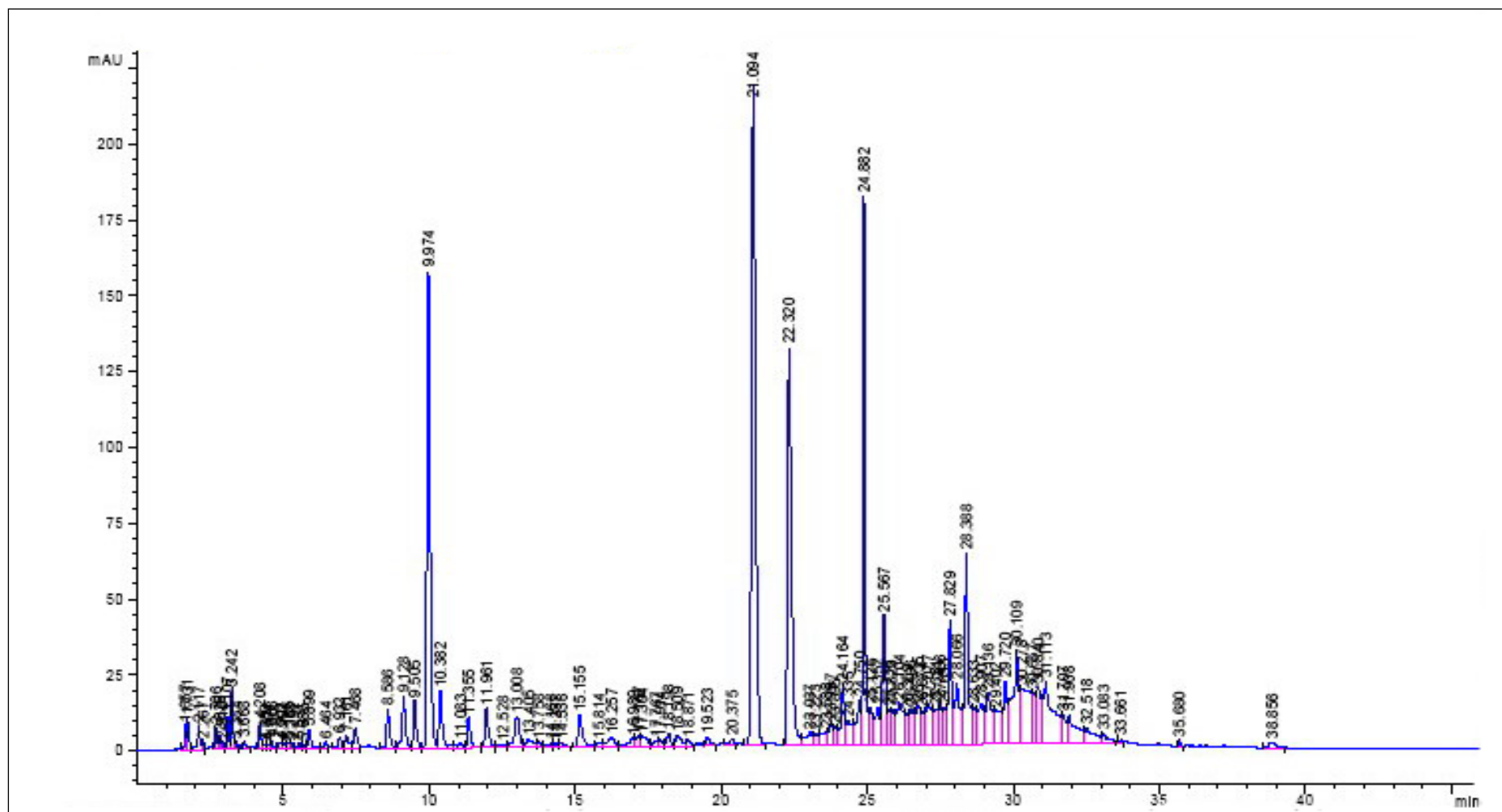
Slika P2e. Resa kalemljenog italijanskog maruna (rod 2006. godine)



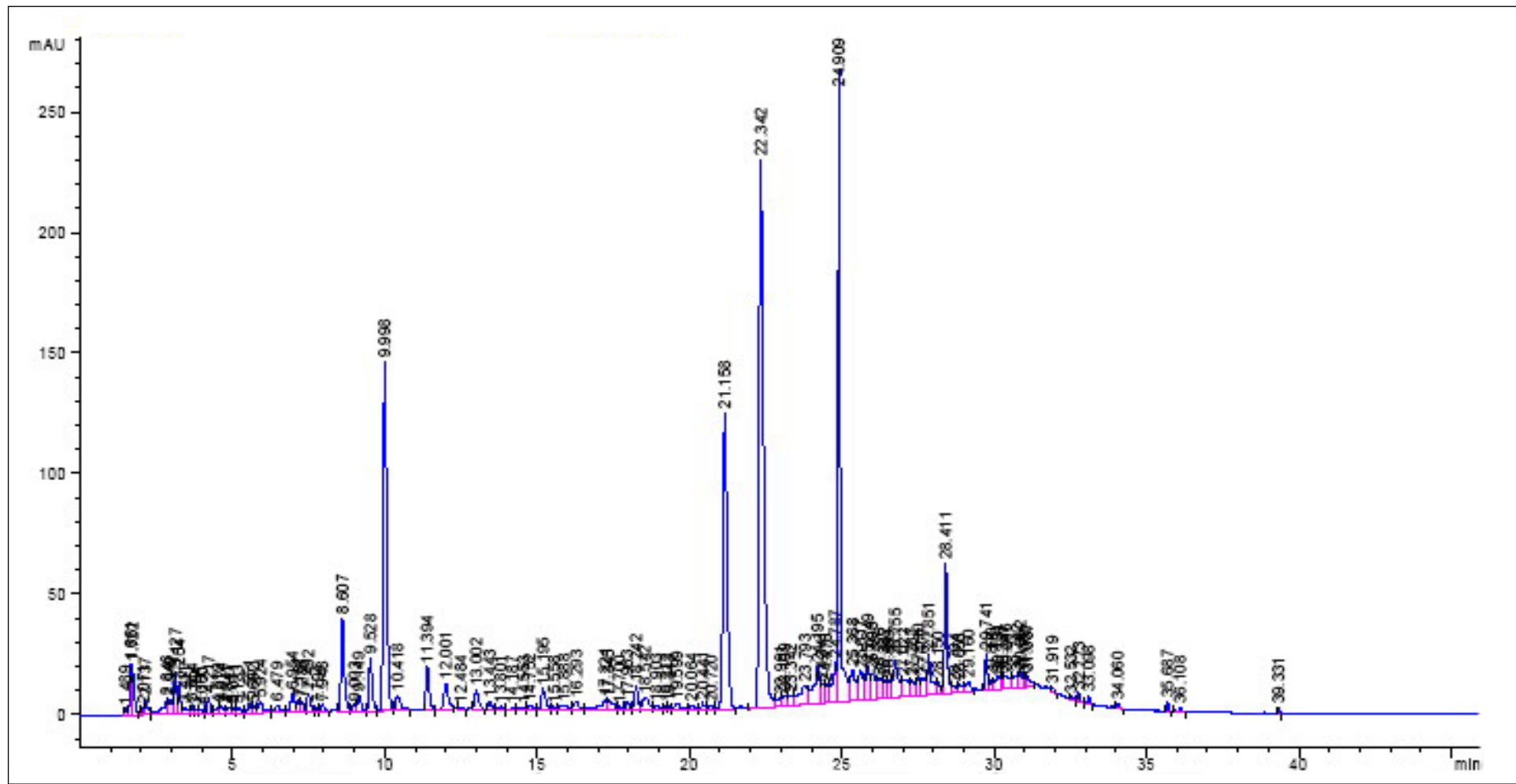
Slika P2f. Ježevice (rod 2006. godine)



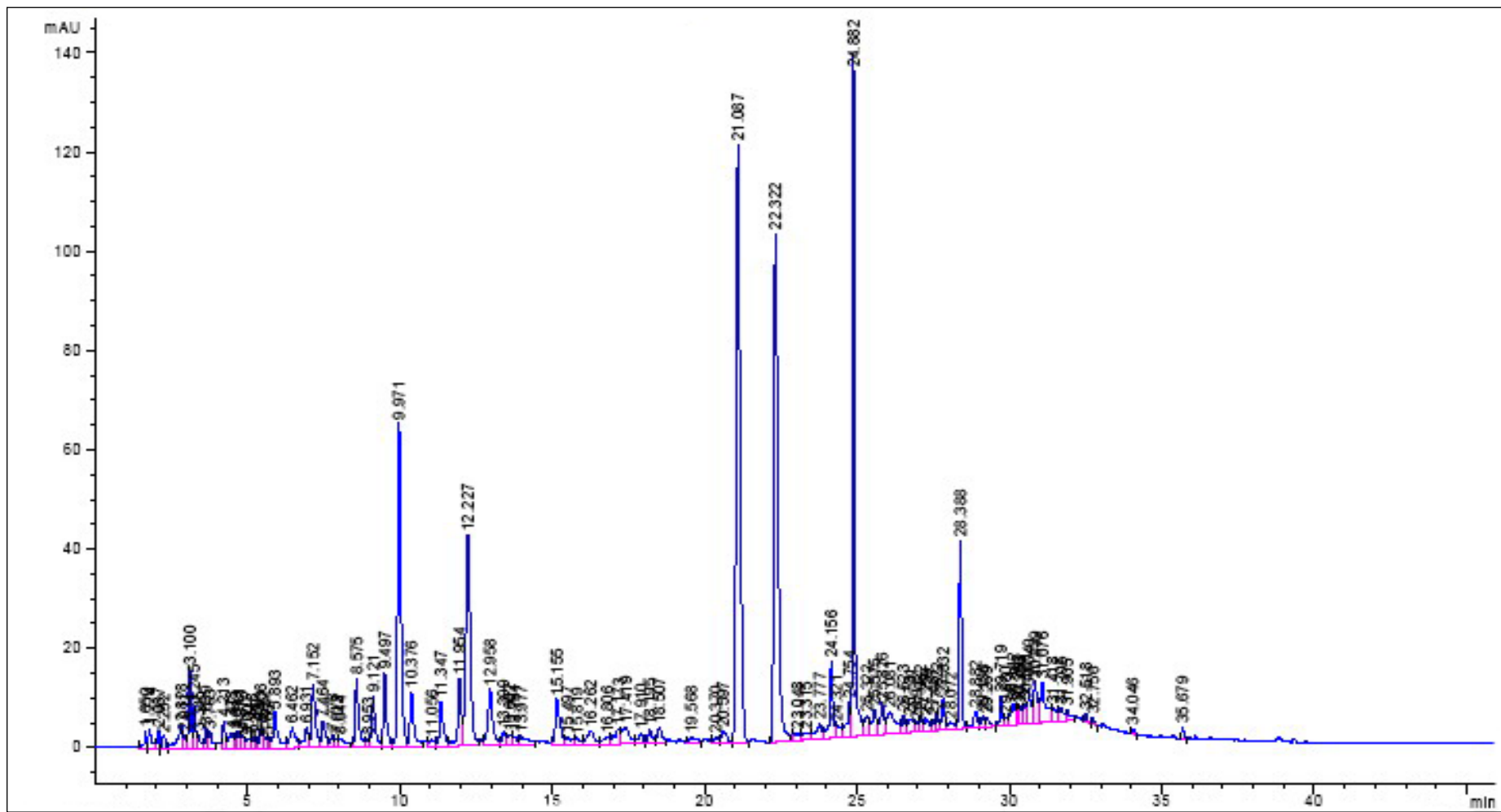
Slika P2g. List pitomog kestena (rod 2007. godine)



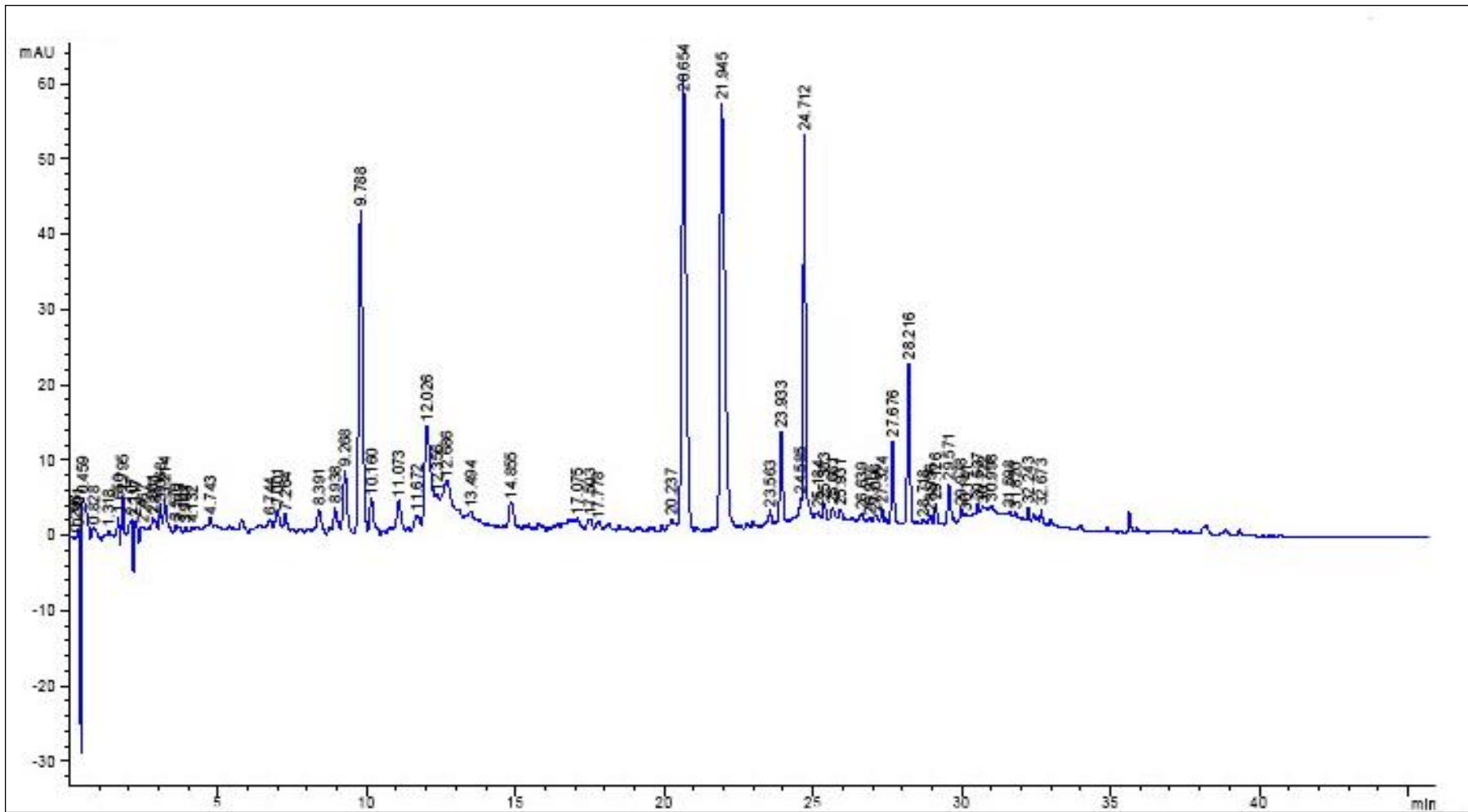
Slika P2h. Resa pitomog kestena (rod 2007. godine)



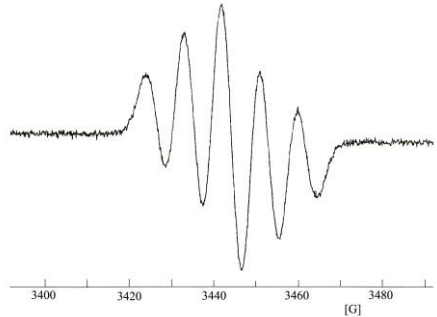
Slika P2i. List lovranskog maruna (rod 2007. godine)



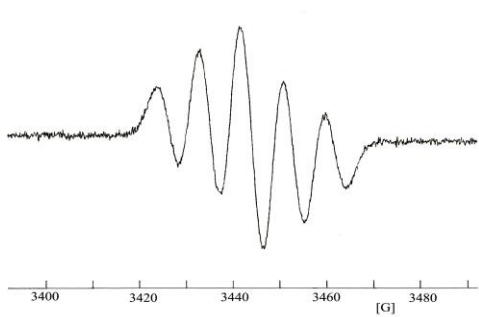
Slika P2j. Resa lovranskog maruna (rod 2007. godine)



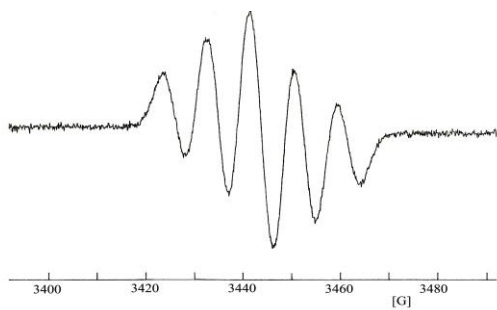
### 6.3. EPR SPEKTRI TRANSFORMACIJE DPPH RADIKALA



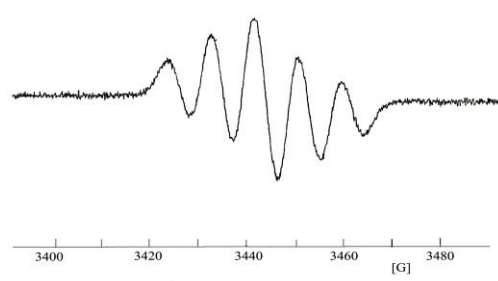
**Slika P3a.** Uzorak bez dodavanja ekstrakta  
(slepa proba)



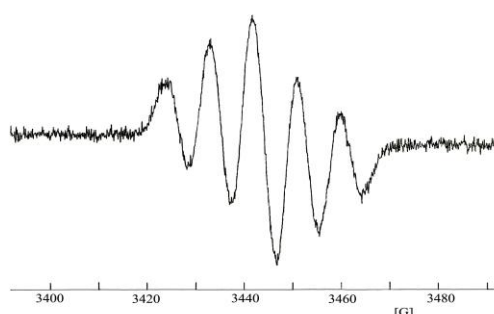
**Slika P3b.** Ekstrakt celog ploda pitomog  
kestena



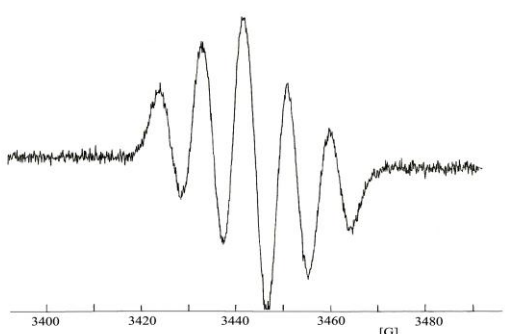
**Slika P3c.** Ekstrakt srži ploda ploda pitomog  
kestena



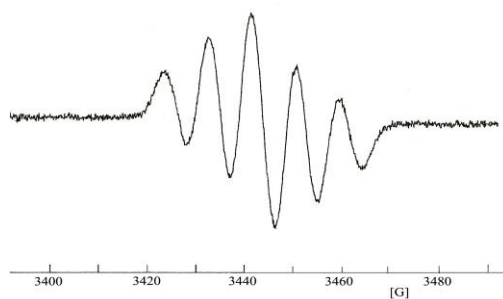
**Slika P3d.** Ekstrakt spoljne braon kore ploda  
ploda pitomog kestena



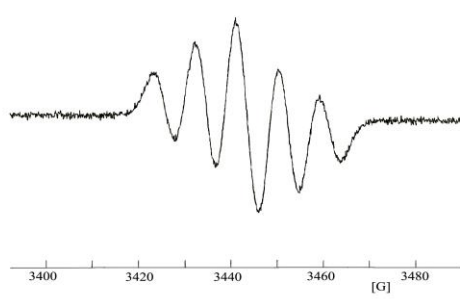
**Slika P3e.** Ekstrakt rese pitomog kestena



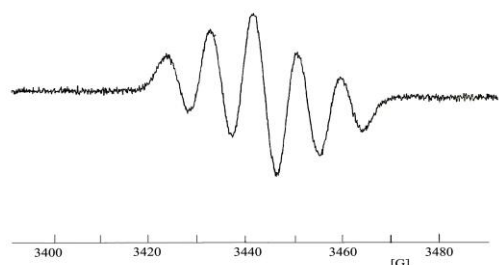
**Slika P3f.** Ekstrakt lista pitomog kestena



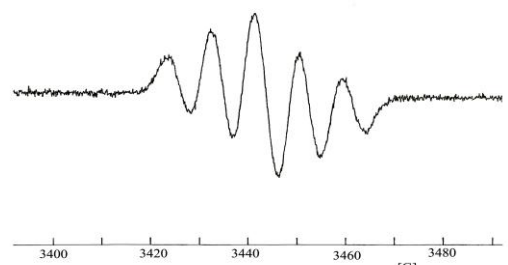
**Slika P3g.** Ekstrakt stare kore drveta



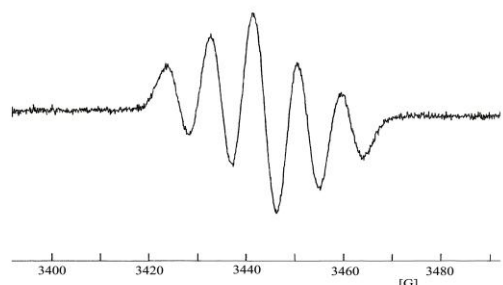
**Slika P3h.** Ekstrakt ježevica



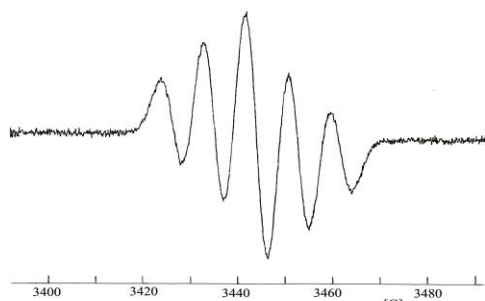
**Slika P3i.** Ekstrakt spoljne braon kore ploda lovranskog maruna



**Slika P3j.** Ekstrakt lista kore ploda lovranskog maruna



**Slika P3k.** Ekstrakt lista kalemljenog italijanskog maruna

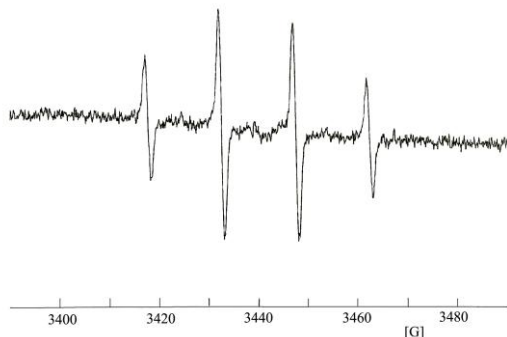


**Slika P3l.** Ekstrakt rese kalemljenog italijanskog maruna

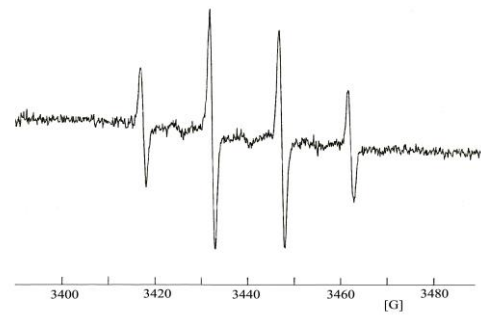
**Slika P3.** EPR spektar DPPH radikala

Na slici P3a je prikazan EPR spektar DPPH radikala uzorka bez dodavanja ekstrakta (slepa proba). Na slikama P3b-l su prikazani EPR spektri DPPH radikala identični slepoj probi kojima su dodati uzorci *C. sativa*.

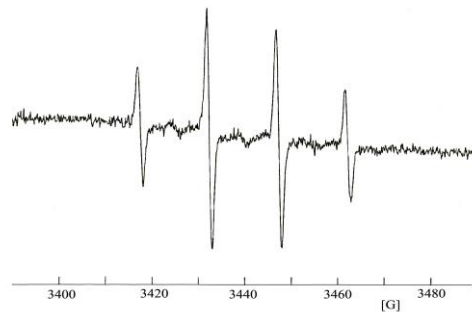
#### 6.4. EPR SPEKTRI TRANSFORMACIJE HIDROOKSI RADIKALA



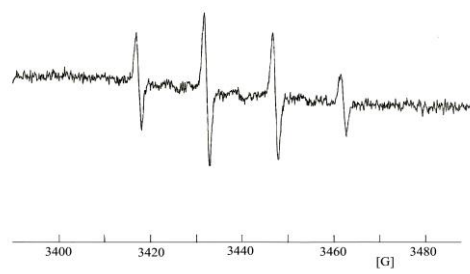
**Slika P4a.** Uzorak bez dodavanja ekstrakta  
(slepa proba)



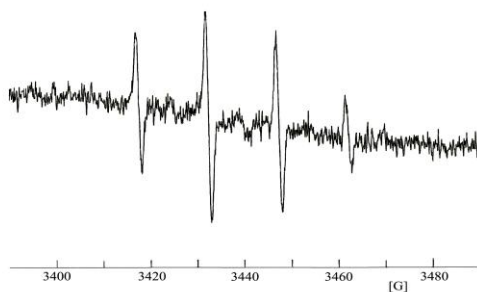
**Slika P4b.** Ekstrakt celog ploda pitomog  
kestena



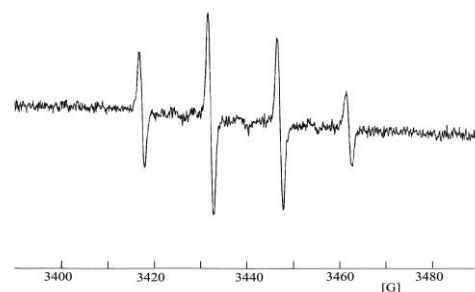
**Slika P4c.** Ekstrakt srži ploda pitomog kestena



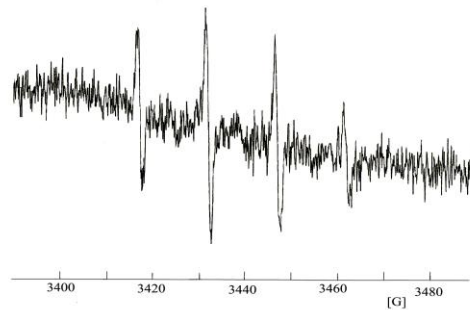
**Slika P4d.** Ekstrakt spoljne braon kore  
ploda pitomog kestena



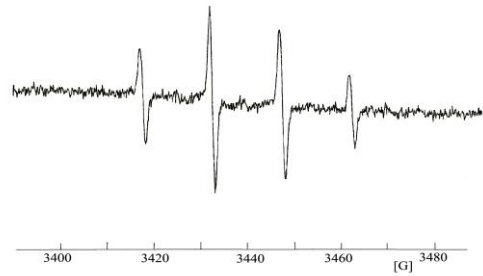
**Slika P4e.** Ekstrakt rese pitomog kestena



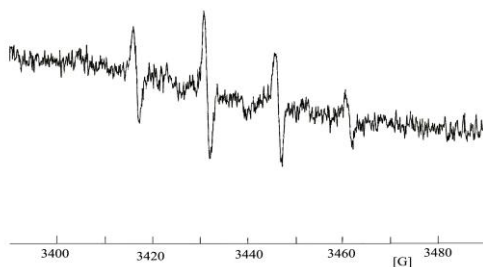
**Slika P4f.** Ekstrakt lista pitomog kestena



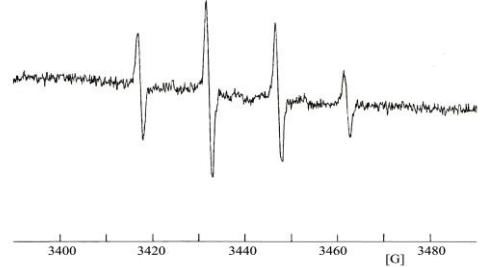
**Slika P4g.** Ekstrakt stare kore drveta



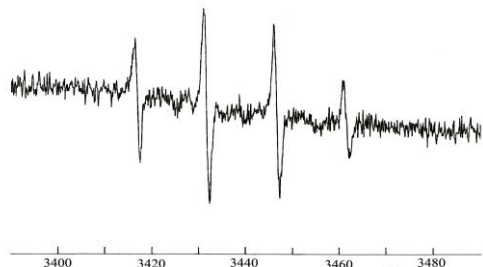
**Slika P4h.** Ekstrakt ježevica



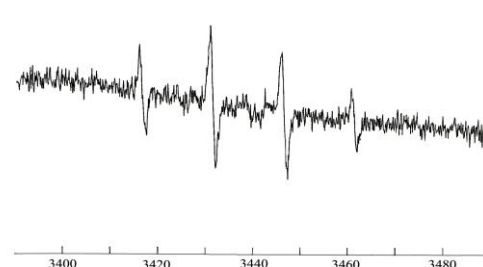
**Slika P4i.** Ekstrakt spoljne braon kore ploda lovranskog maruna



**Slika P4j.** Ekstrakt lista lovranskog maruna

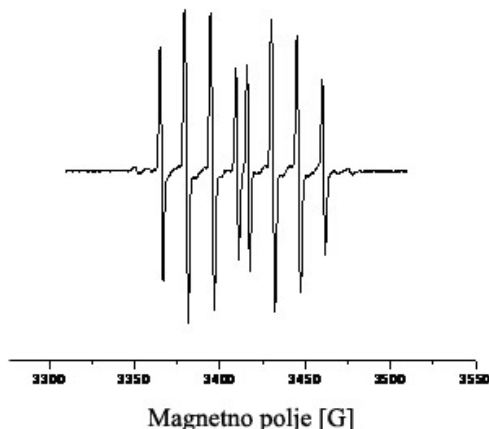


**Slika P4k.** Ekstrakt lista kalemljenog italijanskog maruna

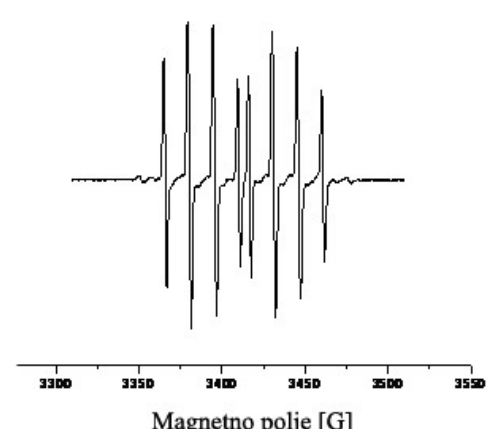


**Slika P4l.** Ekstrakt rese kalemljenog italijanskog maruna

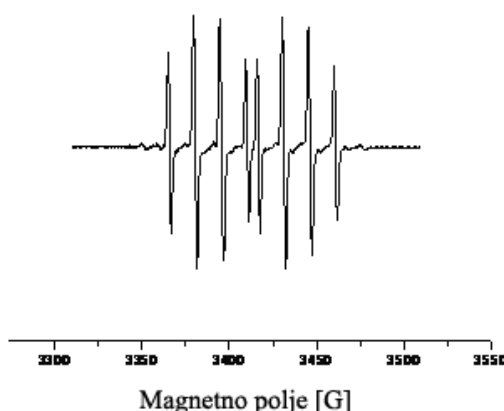
**Slika P4.** EPR spektar DMPO-OH spin adukta (rod 2006. godine) (aparat I)



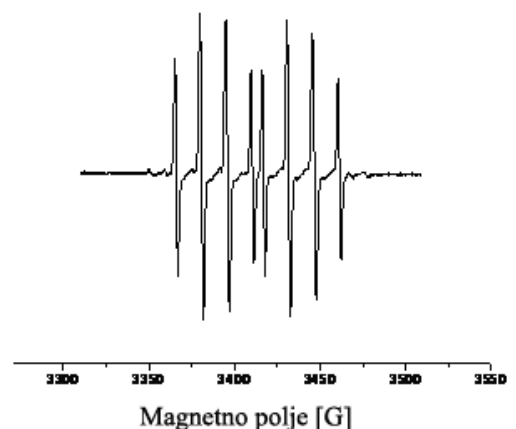
**Slika P5a.** Uzorak bez dodavanja ekstrakta  
(slepa proba)



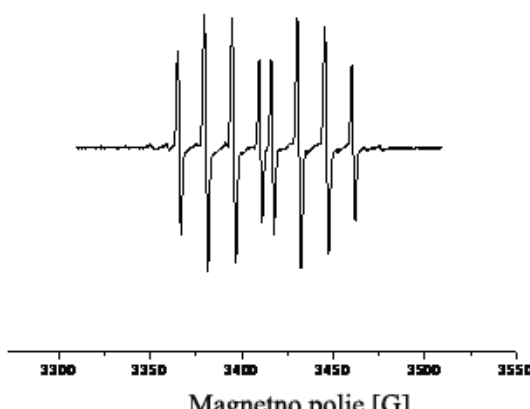
**Slika P5b.** Ekstrakt lista kalemljenog  
italijanskog maruna



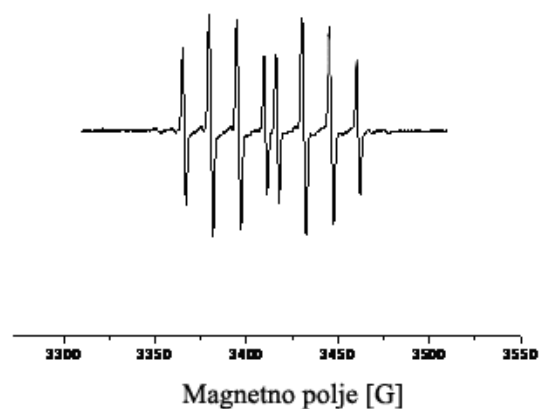
**Slika P5c.** Ekstrakt rese pitomog kestena



**Slika P5d.** Ekstrakt lista pitomog kestena



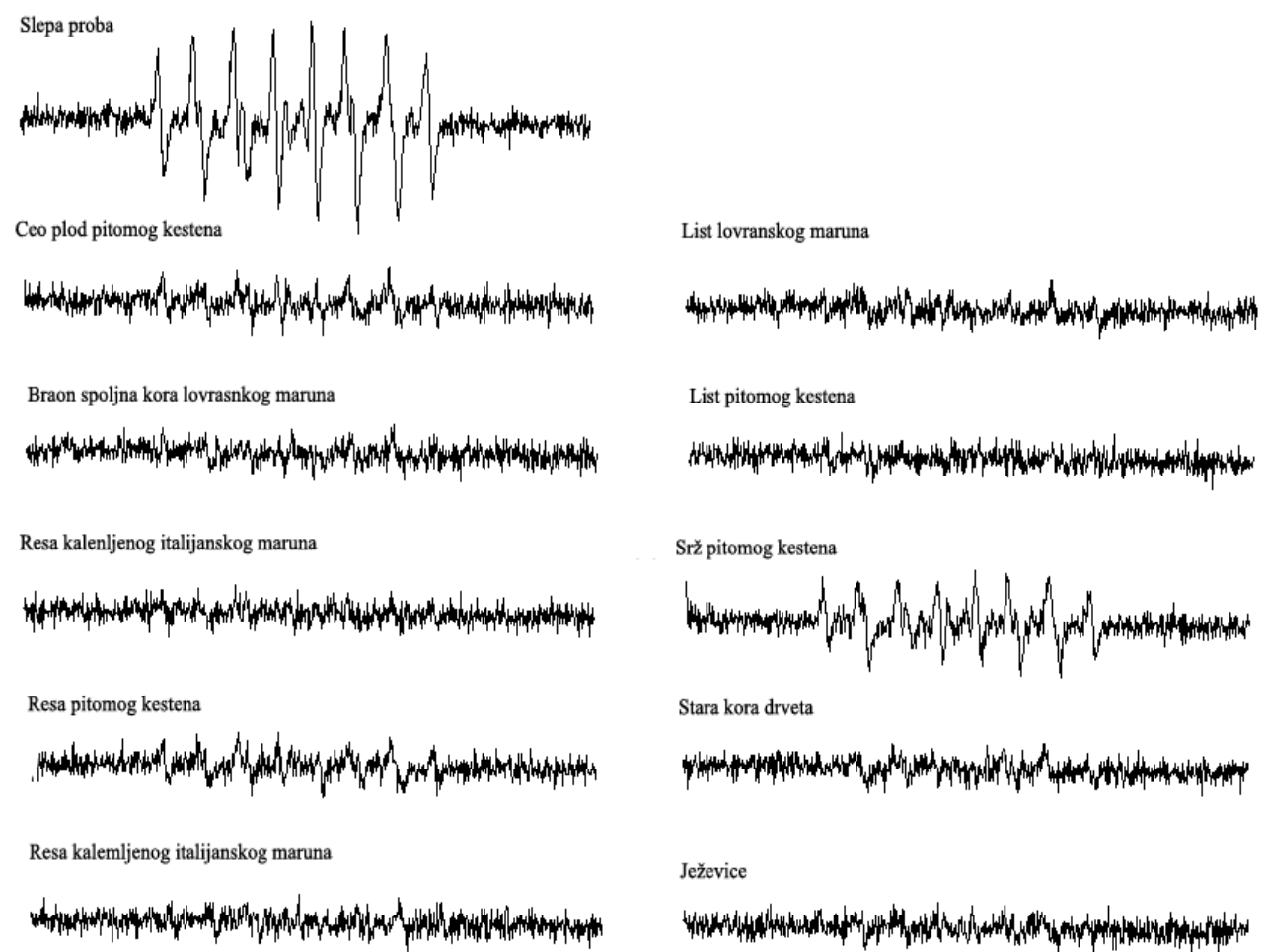
**Slika P5e.** Ekstrakt rese lovranskog maruna



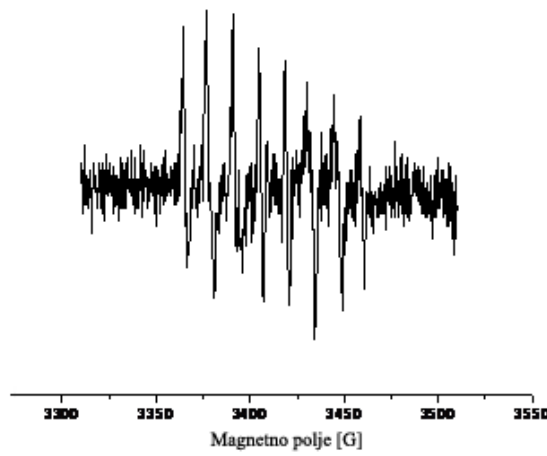
**Slika P5f.** Ekstrakt lista lovranskog maruna

**Slika P5.** EPR spektar DEMPO/OH spin adukta (rod 2007. godine) (aparat II)

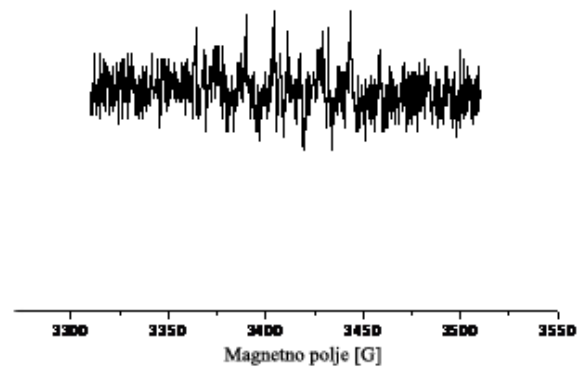
## 6.5. EPR SPEKTRI TRANSFORMACIJE SUPEROKSIDNOG ANJON RADIKALA



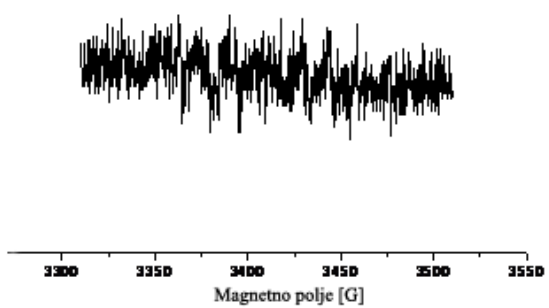
**Slika P6.** EPR spektri DEMPO adukta slepe probe i ekstrakata dobijeni u HX/XO sistemu



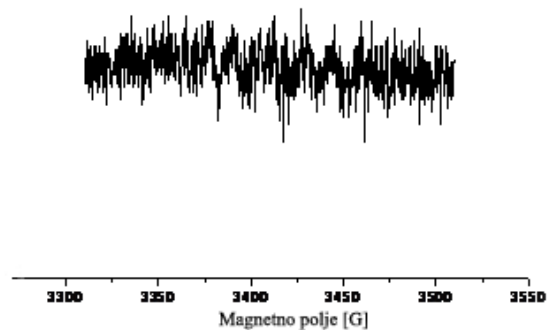
**Slika P7a.** Slepa proba



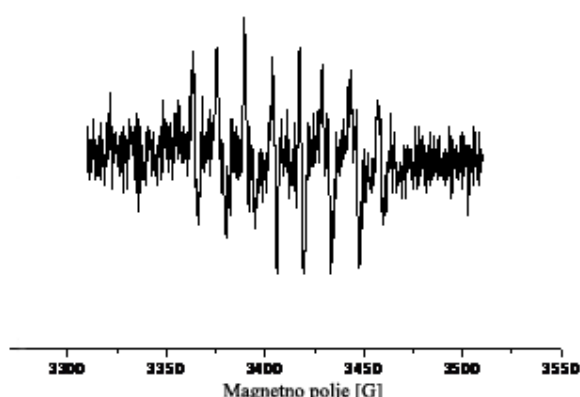
**Slika P7b.** Ekstrakt crvene unutrašnje kore ploda pitomog kestena



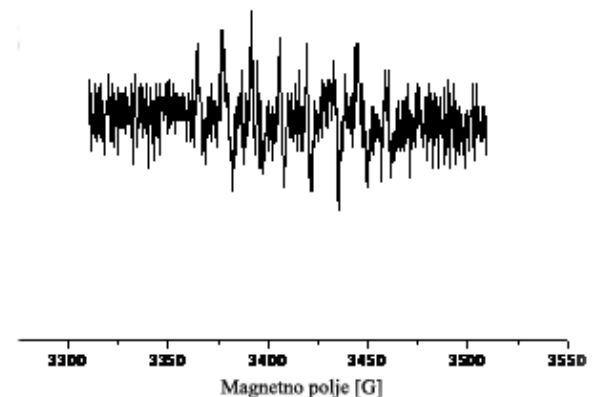
**Slika P7c.** Ekstrakt braon spolje kore ploda pitomog kestena



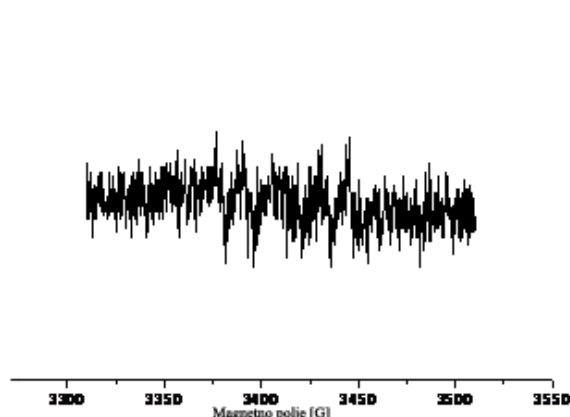
**Slika P7d.** Ekstrakt mlade kore drveta



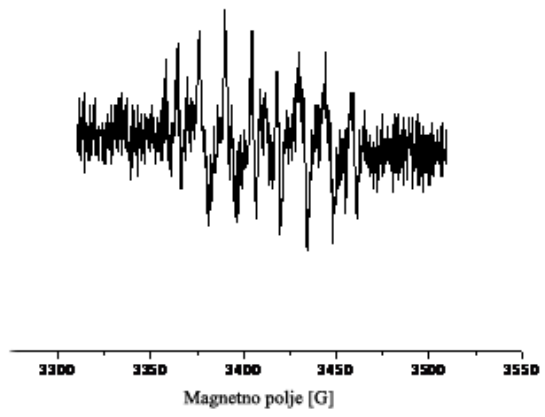
**Slika P7e.** Ekstrakt celog ploda lovranskog maruna



**Slika P7f.** Ekstrakt srži ploda lovranskog maruna



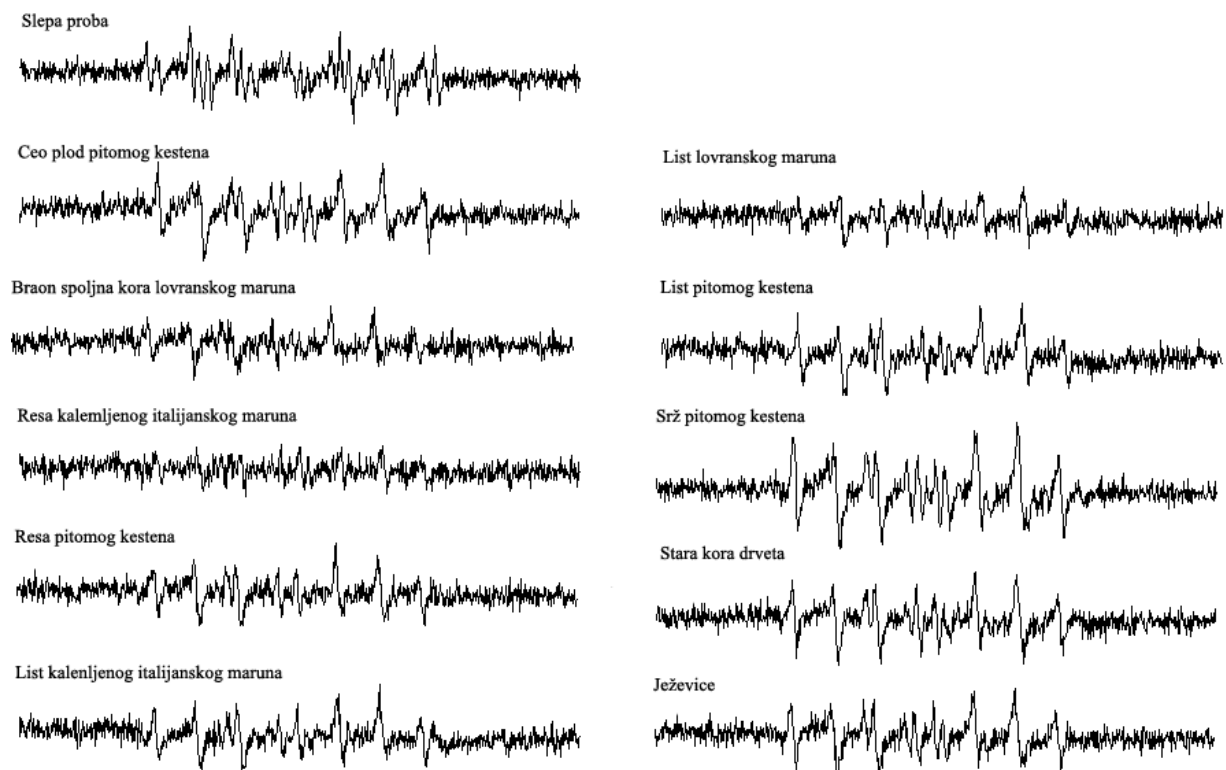
**Slika P7g.** Ekstrakt crvene unutrašnje kore ploda lovranskog maruna



**Slika P7h.** Ekstrakt celog ploda kalemljenog italijanskog maruna

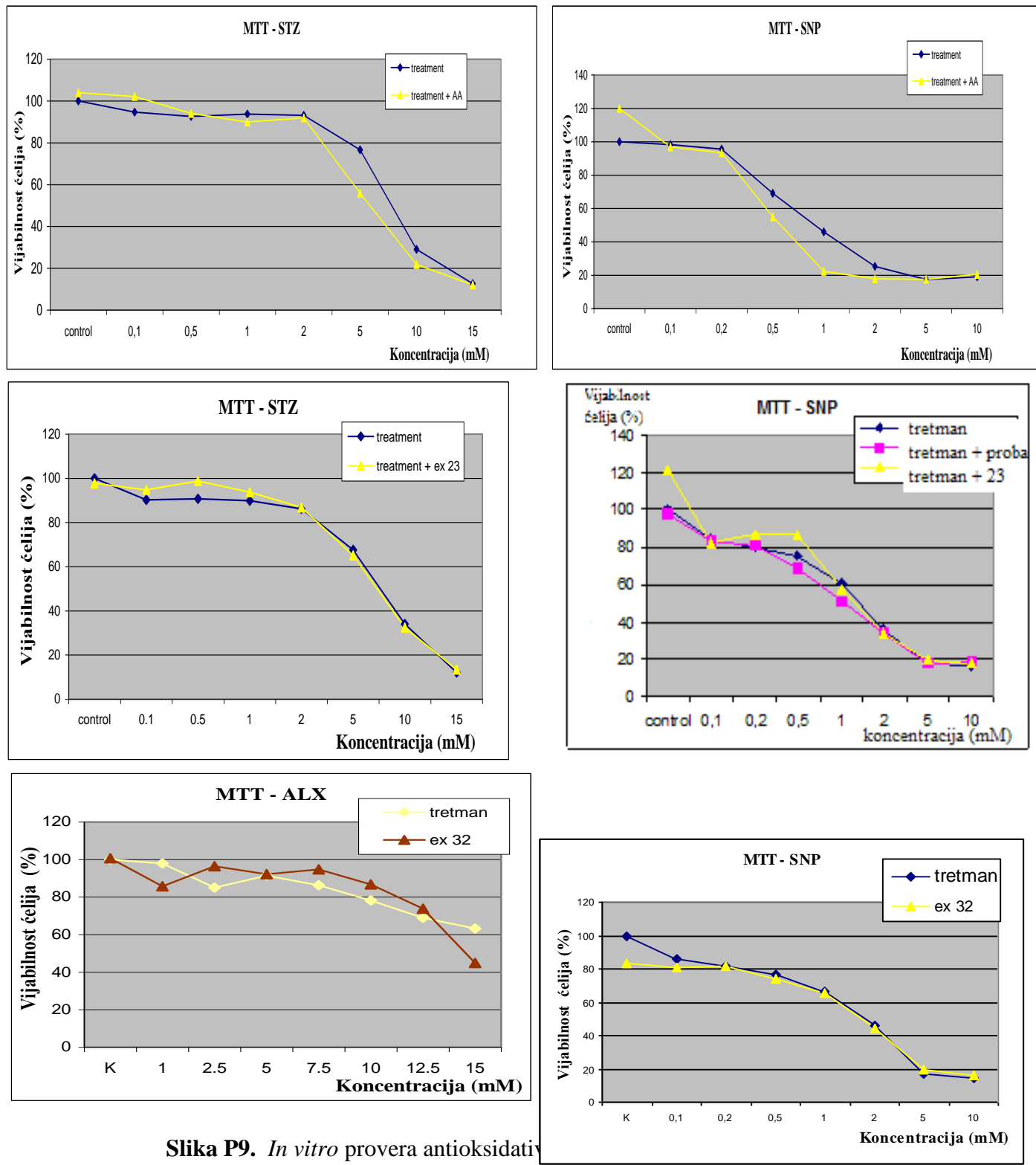
**Slika P7.** EPR spektri DEMPO adukta dobijeni u HX/XO sistemu (aparat II)

## 6.6. EPR SPEKTRI TRANSFORMACIJE HIDROKSI RADIKALA I SUPEROKSID ANJON RADIKALA GENERISANIH UV ZRAČENJEM



**Slika P8.** EPR signal dobijen UV zračenjem vodenog rastvora ekstrakta kestena

## 6.7. IN VITRO PROVERA ANTIOKSIDATIVNOG KAPACITETA



Slika P9. In vitro provera antioksidativnog kapaciteta

## 7. LITERATURA

1. Rates, S.M.K. : Plants as source of drugs, *Toxicon* 39, 603–613 (2001).
2. Kähkönen, M.P., Hopia, A.I., Vuorela, H.J., Rauha, J.P., Pihlaja, K., Kujala, T.S., Heinonen, M.: Antioxidant activity of plant extracts containing phenolic compounds, *Journal of Agricultural and Food Chemistry* 47, 3954-3962 (1999).
3. Felter, H.W.: *The Eclectic Materia Medica, Pharmacology and Therapeutics*, (1922).
4. Basile, A., Sorbo, S., Giordano, S., Ricciardi, L., Ferrara, S., Montesano, D., Castaldo Cobianci, R., Vuotto, M. L., Ferrara, L.: Antibacterial and allelopathic activity of extract from *Castanea sativa* leaves, *Fitoterapia* 71 (Suppl. 1), S110-116 (2000).
5. Hertog, M.G.L., Hollmann, P.C.H., Venema, D.P. (1992): Optimization of a quantitative HPLC determination of potentially anticarcinogenic flavonoids in vegetables and fruits, *J. Agric. Food Chem.* 40(9), 1591-1598 (1992).
6. Fine, A. M.: Oligomeric proanthocyanidin complexes: history, structure, and phytopharmaceutical applications, *Altern Med Rev* 5(2), 144 (2000).
7. Manach, C., Scalbert, A., Morand, C., Rémy, C., Jiménez, L.: Polyphenols: food sources and bioavailability, *American Journal of Clinical Nutrition* 79 (5), 727-747 (2004).
8. Ness, A.R., Powles, J.W.: Fruit and vegetables, and cardiovascular disease: a review, *Int J Epidemiol* 26, 1–13 (1997).
9. Howard, B.V., Kritchevsky, D.: Phytochemicals and cardiovascular disease: a statement for healthcare professionals from the American Heart Association, *Circulation* 95, 2591–2593 (1997).
10. Onyilagha, J., Grotewold, E.: The biology and structural distribution of surface flavonoids, *Recent Res. Devel. Plant Sci* 2, (2004).
11. Anthony, M.S., Clarkson, T.B., Bullock, B.C., Wagner, J.D.: Soy protein versus soy phytoestrogens in the prevention of diet-induced coronary artery atherosclerosis of male cynomolgus monkeys, *Arterioscler Thromb Vasc Biol* 17, 2524–2531 (1997).
12. Middleton, E., Kandaswami, C., Theoharides, T.C.: The effects of plant flavonoids on mammalian cells: implications for inflammation, heart disease, and cancer, *Pharmacol Rev* 52, 673–751 (2000).
13. Harborne, J.B., Williams, C.A.: Advances in flavonoid research since 1992, *Phytochemistry* 55, 481–504, (2000).
14. Shahidi, F., Naczk, M.: Food phenolics, sources, chemistry, effects, applications, PA, Technomic Publishing Co Inc, Lancaster (1995).
15. Clifford, M.N.: Chlorogenic acids and other cinnamates-nature, occurrence and dietary burden, *J Sci Food Agric* 79, 362–372 (1999).
16. Macheix, J.J., Fleuriet, A., Billot, J.: *Fruit phenolics*, FL, CRC Press, Boca Raton (1990).

17. Sosulski F, Krygier K, Hogge L.: Free, esterified, and insoluble-bound phenolic acids. 3, Composition of phenolic acids in cereal and potato flours, *J Agric Food Chem* 30, 337–340 (1982).
18. King, H.G.C.: Phenolic compounds of commercial wheat germ, *J Food Sci* 27, 446-454 (1962).
19. Tomas-Barberan, F., Clifford, M.: Flavanones, chalcones and dihydrochalcones-nature, occurrence and dietary burden, *J Sci Food Agric* 80, 1073–1080 (2000).
20. Cassidy, A., Hansley, B., Lamuela-Raventos, R.M.: Isoflavones, lignans and stilbenes-origins, metabolism and potential importance to human health, *J Sci Food Agric* 80, 1044-1062 (2000).
21. Lakenbrink, C., Lapczynski, S., Maiwald, B., Engelhardt, U.H.: Flavonoids and other polyphenols in consumer brews of tea and other caffeinated beverages, *J Agric Food Chem* 48, 2848-2852 (1996).
22. Arts, I.C.W., van de Putte, B., Hollman, P.C.H.: Catechin contents of foods commonly consumed in The Netherlands, 1, Fruits, vegetables, staple foods, and processed foods, *J Agric Food Chem* 48, 1746-1751 (2000).
23. Zhu, Q.Y., Zhang, A.Q., Tsang, D., Huang, Y., Chen, Z.Y.: Stability of green tea catechins, *J Agric Food Chem* 45, 4624–4628 (1997).
24. Mehansho, H., Butler, L.G., Carlson, D.M.: Dietary tannins and salivary proline-rich proteins: interactions, induction and defense mechanisms, *Ann Rev Nutr* 7, 423-440 (1987).
25. Wünschm, P., del Vedovo, S., Rosset, J., Smiley, M.: The tannin granules from ripe carob pod, *Lebens Wiss Techonol* 17, 351-354 (1984).
26. Hagerman, A.E., Butler, L.G.: Choosing appopriate methods and standards for assaying tannin, *J.Chem. Ecol.* 15, 1795-1810 (1989).
27. Santos-Buelga, C., Scalbert, A.: Proanthocyanidins and tannin-like compounds: nature, occurrence, dietary intake and effects on nutrition and health, *J Sci Food Agric* 80, 1094–1117 (2000).
28. Mazza, G., Maniati, E.: Anthocyanins in fruits, vegetables, and grains, FL, CRC Press, Boca Raton (1993).
29. Clifford, M.N.: Anthocyanins-nature, occurrence and dietary burden, *J Food Sci Agric* 80, 1063-1072 (2000).
30. Thompson, L.U., Robb, P., Serraino, M., Cheung, F.: Mammalian lignan production from various foods, *Nutr Cancer* 16, 43–52 (1991).
31. Adlercreutz, H., Mazur, W.: Phyto-oestrogens and Western diseases, *Ann Med* 29, 95–120 (1997).
32. Bertelli, A., Bertelli, A.A.E., Gozzini, A., Giovannini, L.: Plasma and tissue resveratrol concentrations and pharmacological activity, *Drugs Exp Clin Res* 24, 133–138 (1998).
33. Kuhnau, J.: The flavonoids. A class of semi-essential food components: their role in human nutrition, *World Rev Nutr Diet* 24, 117–191 (1976).
34. Sampson, L., Rimm, E., Hollman, P.C., de Vries, J.H., Katan, M.B.: Flavonol and flavone intakes in US health professionals, *J Am Diet Assoc* 102, 1414–1420 (2002).
35. Pietta, P., Simonetti, P., Roggi, C.: Dietary flavonoids and oxidative stress. In: Kumpulainen, J.T., Salonen, J.T.: Natural antioxidants and food quality in atherosclerosis and cancer prevention, Royal Society of Chemistry, London, 249-255 (1996).
36. Kumpulainen, J.T.: Intake of flavonoids, phenolic acids and lignans in various populations. In: Voutilainen, S., Salonen, J.T: Third international conference on

- natural antioxidants and anticarcinogens in food, health, and disease (NAHD), Kuopion Yliopisto, Finland, Helsinki, 24 (2001).
- 37. Heinonen, M.: Anthocyanins as dietary antioxidants. In: Voutilainen, S., Salonen, J.T.: Third international conference on natural antioxidants and anticarcinogens in food, and disease (NAHD), Kuopion Yliopisto, Finland, Helsinki, 25 (2001).
  - 38. Williamson, G.: Common features in the pathways of absorption and metabolism of flavonoids, In: Meskin, M.S., Davies, A.J., Lewis, D.S., Randolph, R.K., eds. Phytochemicals: Mechanisms of Action, CRC Press, Boca Raton, pp.21-33 (2004).
  - 39. Setchell, K.D., Brown, N.M., Lydeking-Olsen, E.: The clinical importance of the metabolite equol-a clue to the effectiveness of soy and its isoflavones, *J Nutr.* 132 (12), 3577-3584 (2002).
  - 40. Gugler, R.M., Leschik, M., Dengler, H.J.: Disposition of quercetin in man after single oral and intravenous doses, *European Journal of Clinical Pharmacology* 9, 229-234 (1975).
  - 41. Hollman, P.C., de Vries, J.H., van Leeuwen, S.D., Mengelers, M.J., Katan, M.B.: Absorption of dietary quercetin glycosides and quercetin in healthy ileostomy volunteers, *American Journal of Clinical Nutrition* 62, 1276-1282 (1995).
  - 42. Halliwell, B., Gutteridge, J.M.C.: Free Radicals in Biology and Medicine 3rd ed. New York: Oxford University Press, pp.140-184 (1999).
  - 43. Štefan, L., Tepšić, T., Zavidić, T., Urukalo, M., Tota, D., Domitrović, R.: Lipidna peroksidacija uzroci i posledice, *Medicina* 43, 84-93 (2007).
  - 44. Nishikawa, H.: Radical generation on hydroxyapatite by UV irradiation, *Materials Lett* 58, 14-16 (2004).
  - 45. Lampberth, J.D.: NOX enzymes and the biology of the reactive oxygen, *Nat Rev Immunol* 4, 181-189 (2004).
  - 46. Halliwell, B., Gutteridge, J.M.: The definition and measurement of antioxidants in biological systems, *Free Radic Biol Med* 18, 125-126 (1995).
  - 47. Halliwell, B.: Drug antioxidant effects, *Drugs* 42, 569–605 (1991).
  - 48. Dröge, W.: Free radicals in the physiological control of cell function, *Physiol Rev* 82, 47-95 (2002).
  - 49. Sies, H., Krinsky, N.I.: The present status of antioxidant vitamins and beta-carotene, *Am J Clin Nutr* 62, 1229–1300 (1995).
  - 50. Halliwell, B., Gutteridge, J.M.: Role of free radicals and catalytic metal ions in human disease: An overview, *Methods Enzymol* 186, 1-85 (1990).
  - 51. Rosen, G.M., Barber, M.J., Rauckman, E.J.: Disruption of erythrocyte membranal organization by superoxide, *J Biol Chem* 258, 2225-2228 (1983).
  - 52. Zicha, J., Kunes, J., Devynck, M.A.: Abnormalities of membrane function and lipid metabolism in hypertension, *Am J Hypertens* 12, 315–331(1999).
  - 53. Miller, D.M., Buettner, G.R., Aust, S.D.: Transition metals as catalysts of “autoxidation” reactions, *Free Radic Biol Med* 8 (1), 95-108 (1990).
  - 54. Fenton, H.J.H.: Oxidation of tartaric acid in presence of iron, *J Chem Soc* 65, 899-910 (1896).
  - 55. Domitrović, R., Tota, M., Milin, Č.: Oxidative stress in mice: effects of dietary corn oil and iron, *Biol Trace Elem Res* 113(2), 177-191 (2006).
  - 56. Letan, A.J.: The relation of structure to antioxidant activity of quercetin and some of its derivatives, II. Secondary (metal-complexing) activity, *J Food Sci* 31, 395–399 (1966).

57. Bindoli, A., Cavallini, L., Siliprandi, N.: Inhibitory action of silymarin on lipid peroxide formation in rat liver mitochondria and microsomes, *Biochem Pharmacol* 26, 2405–2409 (1977).
58. Takahama, U.: Suppression of lipid photoperoxidation by quercetin and its glycosides in spinach chloroplasts, *Photochem Photobiol* 38, 363–367 (1983).
59. Sorata, Y., Takahama, U., Kimura, M.: Protective effect of quercetin and rutin on photosensitized lysis of human erythrocytes in the presence of hematoporphyrin, *Biochim Biophys Acta* 799, 313–317 (1984).
60. Jha, H. C., von Recklinghausen, G., Zilliken, F.: Inhibition of in vitro microsomal lipid peroxidation by isoflavonoids, *Biochem Pharmacol* 34, 1367–1369 (1985).
61. Baumann, J., Wurm, G., von Bruchhausen, V.F.: Prostaglandin synthetase inhibition by flavonoids and phenolic compounds in relation to their  $\cdot\text{O}_2^-$  scavenging properties, *Arch Pharm* 313, 330–337 (1980).
62. Harman, D.J.: Aging: a theory based on free radical and radiation chemistry, *J. Geontol.* 11, pp. 298 (1956).
63. Finkel, T., Holbrook N. J.: Oxidants, oxidative stress and the biology of ageing, *Nature* 408, 239 (2000).
64. Pryor, W.A.: In *Modern Biological Theories of Aging* (Warner, H. R. Butler, R. N., Sprott R. L.), Raven, New York, pp. 89 (1987).
65. Krinsky, N.I., Peacocke, M., Russell, R.M.: Antioxidant vitamins, cancer, and cardiovascular disease, *N Engl J Med* 335, 1066–1077 (1996).
66. Sies, H.: *Oxidative Stress*, Academic Press, London (1985).
67. Kandaswami, C., Middleton, E.: Free radical scavenging and antioxidant activity of plant flavonoids, in *Free Radicals in Diagnostic Medicine*, Armstrong Ded, Plenum Press, New York pp. 351–376 (1994).
68. Rice-Evans, C.A., Miller, N.J., Bolwell, P.G., Bramley, P.M., Pridham, J.B.: The relative antioxidant activities of plant-derived polyphenolic flavonoids, *Free Rad. Res.* 22(4), 375–383 (1995).
69. Hodnick, W.F., Milosavljevic, E. B., Nelson, J. H., Pardini, R. S.: Electrochemistry of flavonoids, *Biochem. Pharmacol.* 37, 2607–2611 (1988).
70. Ariga, T., Hamano, M.: Radical scavenging action and its mode in procyanidins B-1 and B-3 from azuki beans to peroxy radicals, *Agric. Biol. Chem.* 54, 2499–2504 (1990).
71. Heijnen, C.G., Haenen, G.R., van Acker, F.A., van der Vijgh, W.J., Bast, A.: Flavonoids as peroxy nitrite scavengers: the role of the hydroxyl groups, *Toxicol In Vitro* 15 (1), 3–6 (2001).
72. Shahidi, F., Wanasyundara, P.K.: Phenolic antioxidants, *Crit. Rev. Food Sci. Nutr.* 32 (1), 67–103 (1992).
73. Salah, N., Miller, N.J., Pahanga, G., Tijuburg, L., Bolwell, G.P., Rive Evans, C.: Polyphenolic flavanols as scavengers of aqueous phase radicals and as chain-breaking antioxidants, *Arch. Biochem. Biophys.* 322 (2), 339–346 (1995).
74. Jovanović, S.V., Hara, Y., Steenken, S., Simic, M.G.: Antioxidant potential of gallicatechins, A pulse radiolysis and laser photolysis study, *J. Am. Chem. Soc.* 117(39), 9881–9888 (1995).
75. Rice-Evans, C.A., Miller, N., Paganga, G.: Structure-antioxidant activity relationships of flavonoids and phenolic acids, *Free Radic. Biol. Med.* 20 (7), 933–956 (1996).

76. Cao, G., Sofic, E., Prior, R.L.: Antioxidant and prooxidant behavior of flavonoids: structure-activity relationships, *Free Radic. Biol. Med.* 22 (5), 749-760 (1997).
77. Hopia, A., Heinonen, M.: Antioxidant activity of flavonol aglycones and their glycosides in methyl linoleate, *J. Am. Oil Chem. Soc.* 76 (1), 139-144 (1999).
78. Uri, N.: In : Autoxidation and Antioxidants; Lundberg, W. O., Ed., Interscience: London, pp. 133-169 (1961).
79. Macheix, J.-J. and Fleuriet, A.: Phenolic acids in fruits, In: Flavonoids in health and disease, Rice-Evans, C.A., Packer, L. Eds. Marcel Dekker Inc., New York, pp 35-59 (1998).
80. Castelluccio, C., Paganga, G., Melikian, N., Bolwell, G.P., Pridham, J., Samson, J. and Rive-Evans, C.: Antioxidant potential of intermediates in phenylpropanoid metabolism in higher plants, *FEBS Lett.* 368 (1), 188-192 (1995).
81. Hagerman, A.E., Riedl, K.M., Jones, A.G., Sovik, K.N., Ritchard, N.T., Hartzfeld, P.W., Riechel, T.L.: High Molecular Weight Plant Polyphenolics (Tannins) as Biological Antioxidants, *J. Agric. Food Chem.* 46, 1887-1892 (1998).
82. Salunkhe, D. K., Chavan, J. K., Kadam, S. S.: Dietary tannins: Consequences and remedies, CRC Press, Boca Raton, FL (1990).
83. Calliste, C.A., Trouillas, P., Allais, D.P., Simon, A., Duroux, J.L.: Free radical scavenging activities measured by electron spin resonance spectroscopy and B16 cell antiproliferative behaviours of seven plants, *J. Agr. Food Chem.* 49, 3321-3327. (2001).
84. Čađanović-Brunet, J.: Kiseonikovi slobodni radikali i prirodni antioksidansi, Zadužnina Andrejević, Beograd, s.36 (1998)
85. Rappoport, Z.: The Chemistry of Phenols, Part 1, John Wiley & Sons, Jerusalem, pp.140-144 (2003).
86. Havsteen, B.: Flavonoids, a class of natural products of high pharmacological potency, *Biochem Pharmacol* 32, 1141–1148 (1983).
87. Grange, J.M., Davey, R.W.: Antibacterial properties of propolis (bee glue), *J R Soc Med* 83, 159–160 (1990).
88. Dixon, R.A., Dey, P.M., Lamb, C.J.: Phytoalexins: Enzymology and molecular biology, *Adv. Enzymol.* 55, 100-136 (1983).
89. Recio, M.C., Ríos, J.L., Villar, A.: A review of some antimicrobial compounds isolated from medicinal plants reported in the literature 1978-1988, *Phytother. Res.* 3(4), 117-125 (1989).
90. Benevente-García, O., Catillo, J., Marin, F.R., Ortuño, A., Del Río, J.A.: Uses and properties of Citrus flavonoids, *J. Agric. Food Chem.* 45 (12), 4505-4515 (1997).
91. Chabot, S., Bel-Rhild, R, Chênevert, R., Piché, Y.: Hyphal growth promotion in vitro of the mycorrhizal fungus, *Gigaspora margarita* Becker & Hall, by the activity of structurally specific flavonoid compounds under CO<sub>2</sub>-enriched conditions, *New Phytol.* 122 (3), 461-467 (1992).
92. Tsuchiya, H., Sato, M., Mizazaki, T., Fujiwara, S., Tanigaki, S., Ohyama, M., Tanaka, T., Iinuma, M.: Comparative study on the antibacterial activity of phytochemical flavanones against methicillinresistant *Staphylococcus aureus*, *J. Ethnopharmacol.* 50 (1), 27- 34 (1996).

93. Mason, T.L., Wasserman, B.P.: Inactivation of red beet betaglucan synthase by native and oxidized phenolic compounds, *Phytochemistry* 26, 2197–2202 (1987).
94. Mori, A., Nishino, C., Enoki, N., Tawata, S.: Antibacterial activity and mode of action of plant flavonoids against *Proteus vulgaris* and *Staphylococcus aureus*, *Phytochemistry* 26 (8), 2231-2234 (1987).
95. Puupponen-Pimiä, R., Nohynek, L., Meier, C., Kätkönen, M., Heinonen, M., Hopia, A., Oksman-Caldentey, K.M.: Antimicrobial properties of phenolic compounds from berries, *J. Appl. Microbiol.* 90 (4), 494-507 (2001).
96. Sakanaka, S., Kim, M., Taniguchi, M., Yamamoto, T.: Antibacterial substances in Japanese green tea extract against *Streptococcus mutans*, a cariogenic bacterium, *Agric. Biol. Chem.* 53(9), 2307-2311 (1989).
97. Toda, M., Okubo, R., Ohnishi, Shimamura., T.: Antibacterial and bactericidal activities of Japanese green tea, *Jpn. J. Bacteriol.* 45, 561–566 (1989).
98. Vijaya, K., Ananthan, S., Nalini, R.: Antibacterial effect of theaflavin, polyphenon 60 (*Camellia sinensis*) and *Euphorbia hirta* on *Shigella* spp., a cell culture study, *J. Ethnopharmacol.* 49 (2), 115-118 (1995).
99. Mendoza, L., Wilkens, M. and Urzúa, A.: Antimicrobial study of the resinous exudates and of diterpenoids and flavonoids isolated from some Chilean *Pseudognaphalium* (Asteraceae), *J. Ethnopharmacol.* 58 (2), 85-88 (1997).
100. Tereschuk, M.L., Riera, M.V.Q., Castro, G.R., Abdala, L.R.: Antimicrobial activity of flavonoids from leaves of *Tagetes minuta*. *J. Ethnopharmacol.* 56 (3), 227-232 (1997).
101. Scalbert, A.: Antimicrobial properties of tannins, *Phytochemistry* 30, 3875–3883 (1991).
102. Waage, S.K., Hedin, P.A., Grimley, E.: A biologically-active procyanidin from *Machaerium floribundum*, *Phytochemistry* 23(12), 2785-2787 (1984).
103. Hada, S., Kakuchi, N., Hattori, M., Namba, T.: Identification of antibacterial principles against *Streptococcus mutans* and inhibitory principles against glucosyltransferase from the seed of *Areca catechu* L., *Phytother. Res.* 3 (4), 140-144 (1989).
104. Nishiawa, K., Nakata, I., Kishida, A., Ayer, W.A., Browne, L.M.: Some biologically active tannins of *Nuphar variegatum*, *Phytochemistry* 29 (8), 2491-2494 (1990).
105. Jones, G.A., McAllister, T.A. Muir, A. D., Cheng, K.J.: Effects of sainfoin (*Onobrychis viciifolia* scop.) condensed tannins on growth and proteolysis by four strains of ruminal bacteria, *Appl. Environ. Microbiol.* 60, 1374–1378 (1994).
106. Ahn, Y.J., Lee, C.O., Kweon, J.H., Ahn, A.W., Park, J.H.: Growth-inhibitory effects of *Galla Rhois*-derived tannins on intestinal bacteria, *J. Appl. Microbiol.* 84(3), 439-443 (1998).
107. Aziz, N.H., Farag, S.E., Mousa, L.A.A., Abo-Zaid, M.A.: Comparative antibacterial and antifungal effects of some phenolic compounds, *Micrabios* 93 (374), 43-54 (1998).
108. Wahdan, H.A.L.: Causes of the antimicrobial activity of honey, *Infection* 26 (1), 26-31 (1998).
109. Mira, L., Fernandez, M.T., Santos, M., Rocha, R., Florencio, M.H., Jennings, K.R.: Interactions of flavonoids with iron and copper ions: a mechanism for their antioxidant activity, *Free Radic Res* 36 (11), 1199-1208 (2002).

110. Haslam, E. : Natural Polyphenols (Vegetable Tannins) as Drugs: Possible Modes of Action, *J. Nat. Prod.* 59, 205-215 (1996).
111. Mojžošová, G., Kuhta, M.: Dietary Flavonoids and Risk of Coronary Heart Disease, *Physiol. Res.* 50, 529-535 (2001).
112. Williams, R.J., Spencer, J.P., Rice-Evans, C.: Flavonoids: antioxidants or signalling molecules? *Free Radic Biol Med.* 36 (7), 838-849 (2004).
113. Berridge, M.J.: A general survey of the mechanism and control of intestinal fluid transport, *Scand. J.Gastroenterol.* 18 (Suppl.87), 43-49 (1984).
114. Katz, A.M.: Molecular biology of calcium channels in the cardiovascular system, *Am. J. Cardiol.* 80 (9A), 171- 221 (1997).
115. Riviera, A., Conlin, P.R., Williams, G.H., Canessa, M.L.: Elevated lymphocyte cytosolic calcium in a subgroup of essential hypertensive subjects, *Hypertension* 28 (2), 213-218 (1996).
116. Locker, F.G., Silverberg, S.J., Bilezikian, J.P.: Optimal dietary calcium intake in primary hyperparathyroidism, *Am. J. Med.* 102 (6), 543-550 (1997).
117. Klin, M., Smogorzewski, M., Massry, S.G.: Chronic renal failure increases cytosolic  $\text{Ca}^{2+}$  of hepatocytes, *Am. J. Physiol.* 269 (1, Pt.1), 103-109 (1995).
118. Ikegaya, Y., Yoshida, M., Saito, H., Nishiyama, N.: Epileptic activity prevents synapse formation of hippocampal mossy fibers via L-type calcium channel activation in vitro, *J. Pharmacol. Exp. Ther.* 280 (1), 471-476 (1997).
119. Morales, M.A., Lozoya, X.: Calcium-antagonist effects of quercetin on aortic smooth muscle, *Planta Med.* 60 (4), 313-317 (1994).
120. Meli, R., Autore, G., di Carlo, G., Capasso, F.: Inhibitory action of quercetin on intestinal transit in mice, *Phytother. Res.* 4 (5), 201- 202 (1990).
121. Duarte, J., Pérez Vizcaíno, F., Utrilla, P., Jiménez, J., Tamargo, J., Zarzuelo, A.: Vasodilatory effects of flavonoids in rat aortic smooth muscle. Structure-activity relationships, *Gen. Pharmacol.* 24 (4), 857-862 (1993) .
122. Mukhtar, H., Das, M., Khan, W.A., Wang, Z.Y., Bik, D.P., Bickers, D.R.: Exceptional activity of tannic acid among naturally occurring plant phenols in protecting against 7,12-dimethylbenz(a)anthracene - benzo(a)pyrene-3-methylcholanthrene and N-methyl-N-nitrosourea-induced skin tumorigenesis in mice, *Can. Res.* 48 (9), 2361-2365 (1988).
123. Voorrips, L.E., Goldbohm, R.A., Verhoeven, D.T., van Poppel, G.A., Sturmans, F., Hermus, R.J., vanden Brandt, P.A.: Vegetable and fruit consumption and lung cancer risk in the Netherlands Cohort Study on diet and cancer (Abstr.), *Cancer Causes & Control* 11 (2), 101-115 (2000).
124. Dorant, E., van den Brandt, P.A., Goldbohm, R.A., Strumans, F.: Consumption of onions and a reduced risk of stomach carcinoma, *Gastroenterology* 110 (1), 12-20 (1996).
125. Kuntz, S., Wenzel, U., Daniel, H.: Comparative analysis of the effects of flavonoids on proliferation, cytotoxicity, and apoptosis in human colon cancer cell lines *Eur J. Nutr* 38 (3), 133 (1999).
126. Li, Y., Bhuiyan, M., Sarkar, F. H.: Induction of apoptosis and inhibition of c-erbB-2 in MDA-MB-435 cells by genistein, *Int. J. Oncol.* 15(3), 525 (1999).
127. Harmon, A.W., Harp, J.B.: Differential effects of flavonoids on 3T3-L1 adipogenesis and lipolysis, *Am. J. Physiol Cell Physiol* 280, 807 (2001).
128. Geahlen, R. L., Koonchanok, N. M., McLaughlin, J. L., Pratt, D. E.: Inhibition of protein-tyrosine kinase activity by flavanoids and related compounds, *J. Nat. Prod* 52, 982 (1989).

129. Naczk, M., Shahidi, F.: Extraction and analysis of phenolics in food, *Journal of Chromatography A* 1054, 95–111 (2004).
130. Robbins, R.: Phenolic Acids in Foods: An Overview of Analytical Methodology, *J. Agric. Food Chem.* 51, 2866-2887 (2003).
131. Antolovich, M., Prenzler, P., Robards, K., Ryan, D.: Sample preparation in the determination of phenolic compounds in fruits, *Analyst* 125, 989-1009 (2000).
132. Price, M.L. Butler, L.G.: Rapid visual estimation and spectrophotometric determination of tannin content of sorghum grain, *J. Agric. Food Chem* 25(6), 1268– 273 (1977).
133. Khanna, S.K., Viswanatham, P.N., Krishnan P.S and Sanwai, G.G. : Extraction of total phenolics in the presence of reducing agents, *Phytochemistry* 7(9), 1513-1517 (1968),
134. Deshpande, S.S.: Investigation of dry beans (*Phaseolus vulgaris* L.): microstructure, processing and antinutrients, Ph.D. thesis, University of Illinois, Champaign, IL, (1985).
135. Naczk, M., Shahidi, F., Sullivan, A.: Recovery of rapeseed tannins by various solvent systems, *Food Chem* 45, 51-54 (1992).
136. Hromadkova, Z., Ebringerova, A., Valachovic, P.: Ultrasound-assisted extraction of water-soluble polysaccharides from the roots of valerian (*Valeriana officinalis* L), *Ultrasonics Sonochem* 9, 37–44 (2002).
137. Posyniak, A., Zmudzki, J., Semeniuk, S.: Effects of the matrix and sample preparation on the determination of fluoroquinolone residues in animal tissues, *Journal of Chromatography A* 914, (1-2) (2001).
138. Li, H., Chen, B., Yao, S.: Application of ultrasonic technique for extracting chlorogenic acid from *Eucommia ulmoides* Oliv. (*E. ulmoides*), *Ultrasonics Sonochemistry* 12, 295–300 (2005).
139. Cseke, L, Kirakosyan, A., Kaufman, P., Warber, S., Duke, J., Briemann, H.: Natural Products from Plants, CRC Press Taylor & Francis Group, Boca Raton, (2006).
140. Salisova, M., Toma, S., Mason, T.J.: Comparison of conventional and ultrasonically assisted extractions of pharmaceutically active compounds from *Salvia officinalis*, *Ultrasonics Sonochem* 4, 131–134 (1997).
141. Romdhane, M., Gourdon, C.: Investigation in solid–liquid extraction: influence of ultrasound, *Chemical Engineering Journal* 87 (1), 11-19 (2005).
142. Escarpa, A., González, M. C.: Approach to the content of total extractable phenolic compounds from different food samples by comparison of chromatographic and spectrophotometric methods, *Anal. Chim. Acta* 427, 119-127 (2001).
143. Torres, A. M., Mau-Lastovicka, T., Rezaaiyan, R.: Total phenolics and high performance liquid chromatogrphy of phenolic acids in avocado, *J. Agric. Food Chem* 35, 921-925 (1987).
144. Meyer, A. S., Jepsen, S. M., Sørensen, N. S.: Enzymatic release of antioxidants for human low-density lipoprotein from grape pomace, *J. Agric. Food Chem.* 46, 2439-2446 (1998).
145. Folin, O.: Tyrosine and tryptophan determinations in proteins, *J. Biol. Chem.* 73, 672-649 (1927).
146. Singleton, V.L., Rossi, J.A.: Colorimetry of total phenolics with phosphomolybdic-phosphotungstic acid reagents, *Am. J. Enol.Vitic.* 16, 144-158 (1965).

147. Deshpande, S. S., Cheryan, M., Salunkhe, D. K: Tannin analysis of food products, CRC Crit. Rev. Food Sci. Nutr. 24, 401-449 (1986).
148. Gupta, R. K., Haslam, E.: Vegetable tannins structure and biosynthesis, In Polyphenols in Cereals and Legume,, ed. J. H. Hulse, Ottawa, pp. 15-24 (1980).
149. Sun, B., Ricardo-da-Silva, J.M., Spranger, I.: Critical factors of vanillin assay for catechins and proanthocyanidins, J.Agric.Food Chem. 46, 4267-4274 (1998).
150. Sarkar, S. K., Howarth, R. E.: Specificity of the vanillin test for flavanols, J. Agric. Food Chem 24, 317-320 (1976).
151. Price, M.L., Van Scyoc, S., Butler, L.G.: A critical evaluation of the vanillin reaction as an assay for tannin in sorghum grain, Journal of Agricultural and Food Chemistry 26 (5), 1214-1218 (1978).
152. Scalbert, A.: Quantitative methods for the estimation of tannins in the plant tissues, In: Hemingway, R.W. Lakc.P.E. (Eds), Plant polyphenols: Syntesis, Properties, Significance, Plenum Press, New York (1992).
153. Schofield, P., Mbungua, D.M., Pell, A.N.: Analysis of condensed tannins: a review, Animal Feed Science and Technology 91, 21-40 (2001).
154. Butler, L. G.: Effects of condensed tannin on animal nutrition. In Chemistry and Significance of Condensed Tannins; Hemingway, R. W., Karchesy, J. J., Eds.; Plenum Press, New York, 391-402 (1989).
155. Robards, K., Antolovich, M.: Analytical chemistry of fruit bioflavonoids: A review, Analyst 122(2), 11R-34R (1997).
156. Romani, A., Minunni, M., Mulinacci, N., Pinelli, P., Vincleri, F.F. : Comparison among differential pulse voltammetry, amperometric biosensor, and HPLC/DAD analysis for polyphenol determination, J. Agric. Food Chem. 48, 1197-1203 (2000).
157. Merken, H.M., Beecher, G.R.: Measurement of food flavonoids by high-performance liquid chromatography: A review. J Agric Food Chem 48, 577–599 (2000).
158. Senter, S.D., Robertson, J.A., Meredith, F.I.: Phenolic Compounds of the Mesocarp of Cresthaven Peaches during Storage and Ripening, J. Food Sci. 54, 1259-1268 (1989).
159. Hempel J., Bohm, H.: Quality and quantity of prevailing flavonoids of yellow and green French beans (*Phaseolus vulgaris* L.), J. Agric. Food Chem 44, 2114-2116 (1996).
160. Siess, M.H. Le Bon, A.M., Canivenc-Lavier, M.C., Amiot, M.J., Sabatier, S., Aubert, S.Y., Suschetet, M.: "Flavonoids in Honey and Propolis", J. Agric. Food Chem 44, 2297 -2301(1996)
161. Sanders, T.H., McMichael, R.W., Hendrix, K.W.: Occurrence of resveratrol in edible peanuts, J. Agric. Food Chem. 48, 1243-1246 (2000).
162. Covey, T.R., Lee, E.D., Bruins, A.P., Henion, J.D.: Liquid chromatography / mass spectrometry, Anal. Chem. 58 (14), 1451A-1461A(1986).
163. Dalluge, J.J., Nelson, B.C., Thomas, J.B., Welch, M.J., Sander, L.C.: Capillary liquid chromatography/electrospray mass spectrometry for the separation and detection of catechins in green tea and human plasma. Mass Spectrom. 11, 1753 (1997).
164. Yordanov, N.D.: Is our knowledge about the chemical and physical properties of DPPH enough to consider it as a primary standard for quantitative EPR spectrometry, Appl Magn Res 10, 339 (1996).
165. Ueda, H., Kuri, Z., Shida, S.: Electron-Spin-Resonance Studies of DPPH Solutions, J Chem Phys 36, 1676 (1962).

166. Buchachenko, A.L.: Stabilnije Radikali, AN USSR (1963).
167. Blois, M. S.: Antioxidant determinations by the use of a stable free radical, Science, 181, 1199-1200 (1958).
168. Bačić, G., Mojović, M.: EPR Spin Trapping of Oxygen Radicals in Plants, A Methodological Overview, Ann. N.Y. Acad. Sci. 1048, 230–243 (2005).
169. Roubaud, V., Sankarapandia, S., Kuppusamy, P., Tordob, P., Zweier, J.: Quantitative Measurement of Superoxide Generation Using the Spin Trap 5-(Diethoxyphosphoryl)-5-methyl- 1-pyrroline-N-oxide, Analytical Biochemistry 247 (2), 404-411 (1997).
170. Stolze, K., Udilova, N., Nohl, H.: Spin trapping of lipid radicals with DEPMPO-derived spin traps: detection of superoxide, alkyl and alkoxy radicals in aqueous and lipid phase, Free Radical Biology and Medicine 29 (10), 1005-1014 (2000).
171. Lorin, A., Flore, C., Thomas, A., Brasseur, R.: Les liposomes: description, fabrication et applications, Biotechnol. Agron. Soc. Environ. 8 (3), 163–176 (2004).
172. Mojović, M. Spasojević, I. Vučinić, M. Vučinić, Ž. Bačić G.: An EPR spin-probe and spin-trap study of the free radicals produced by plant plasma membranes, J. Serb. Chem. Soc. 70 (2) , 177–186 (2005).
173. Stopka, P., Křížová, J., Káfuňková, E.: EPR application in medicine and biology, Chem. Listy 99, 182-184 (2005).
174. Nishikawa, H.: Radical generation on hydroxyapatite by UV irradiation, Materials Lett; 58, 14-16 (2004).
175. Jurkiewicz, B.A., Buettner, G.R.: EPR Detection of Free Radicals in UV-Irradiated Skin: Mouse Versus Human, Photochemistry and Photobiology 64(6), 918-922 (1996).
176. Rowe, G.T., Eaton, L.R., Hess, M.L.: Neutrophil-derived, active oxygen species-mediated cardiovascular dysfunction, J Vol Cell Cardiol 16, 1075–1079 (1984).
177. Krötz, F., Sohn, H.Y., Pohl, U.: Reactive oxygen species: Players in the platelet game, Arterioscler Thromb Vasc Biol 24, 1988–1996 (2004).
178. Bullen, J., Griffiths, E., Roger, H.: Sepsis: The critical role of iron, Microbes and Infection 2, 409-415 (2000).
179. Sundaresan, M., Yu, Z.X., Ferrans, V.J., Irani, K, Finkel, T.: Requirement for generation of  $H_2O_2$  for platelet-derived growth factor signal transduction, Science 270, 296–299 (1995).
180. Lane, N.: A unifying view of ageing and disease: the double-agent theory, J Theoret Biol 225, 531–540 (2003).
181. Gao, Y.J., Hirota, S., Zhang, D,W, Janssen, L.J., Lee, R.M: Mechanisms of hydrogen-peroxide-induced biphasic response in rat mesenteric artery, Br J Pharm 138, 1085–1092 (2003).
182. Lin, M.T., Beal, M.F.: Mitochondrial dysfunction and oxidative stress in neurodegenerative diseases, Nature 443, 787–795 (2006).
183. Halliwell, B.: Reactive Species and Antioxidants, Redox Biology Is a Fundamental Theme of Aerobic Life, Plant Phys 141, 312–322 (2006).
184. Winterbourn, C. : Oxidative reactions of hemoglobin, Methods Enzymol 186, 265– 272 (1990).
185. Watanabe, H, Kobayashi, A., Yamamoto, T.: Alternations of human erythrocyte membrane fluidity by oxygen-derived free radicals and calcium, Free Rad Biol Med 8, 507-514 (1990).

186. Gambhir, K.K., Agarwal, V.R.: Potassium efflux: A simple method to determine intactness of erythrocytes, *J. Natl. Med. Assoc.* 82, 565-570 (1990).
187. Van der Zee, J., Dubbelman, T.M.A.R., Van Steveninck, J. *Biochim. Biophys. Acta* 818, 38-44 (1985).
188. Tsuda, K., Kimura, K., Nishio, I.: Leptin improves membrane fluidity of erythrocytes in humans via a nitric oxide-dependent mechanism - an Electron Paramagnetic Resonance investigation, *Biochem. Biophys. Res. Commun.* 297, 672-681 (2002).
189. Mosmann, T.: Rapid colorimetric assay for cellular growth and survival: Application to proliferation and cytotoxicity assays, *Journal of Immunological Methods* 65 (1-2), 55-63 (1983).
190. Davis, W.W., Stout, T.R.: Disc Plate Method of Microbiological Antibiotic Assay I. Factors Influencing Variability and Error, *Appl Microbiol.* 22(4), 659-665 (1971).
191. [http://sh.wikipedia.org/wiki/Pitomi\\_kesten](http://sh.wikipedia.org/wiki/Pitomi_kesten)
192. Rushforth, K.: *Trees of Britain and Europe*, Collins, London, pp.89 (1999).
193. Ertürk, Ü., Mert, C., Soylu, A.: Chemical Composition of Fruits of Some Important Chestnut Cultivars, *Brazilian Archives of Biology and Technology* 49, (2):183-188 (2006).
194. Bounous, G., Botta, R., Beccaro, G.: The chestnut: the ultimate energy source. Nutritional value and alimentary benefits, *Nucis - Information Bulletin of the Research Network on Nuts (FAO-CIHEAM)* 9, 44-50 (2000).
195. Mujić, I., Alibabić, V., Ibrahimpavić, J., Jahić, S., Muslimović, D.: Characteristics of the Chestnut From Una Sana Canton in Comparasion to Other Chestnut Varieties and the Influence of Different Preservation Techniques on Nutritive Values, *Acta Hort.* 768, 359-366 (2008).
196. Muratović, A., Kurtović, M., Jerebica, Dž.: *Voćarstvo, Studentska štamparija Univerziteta Sarajevo*, Sarajevo, pp.34 (1999).
197. Maurer, W.D., Fernández – Lopez, J.: Establishing in international sweet chestnut (*Castanea sativa* Mill) provenance test: preliminary steps. *Forest Snow and Landscape Research* 763, 482 – 486 (2001).
198. Vossen, P.: Chestnut Culture in California, (2000), <http://anracatalog.usdavis.edu>.
199. <http://ncnatural.com/NCNatural/trees/chestnut.html>
200. <http://ipm.ppws.vt.edu/griffin/accfcast.html>
201. <http://www.pp-ucka.hr/>
202. Hedrick, U. P.: *Sturtevant's Edible Plants of the World*, Dover Publications, Dover (1972).
203. Pizzoferrato, L., Rotilio, G., Paci, M.: Modification of Structure and Digestibility of Chestnut Starch upon Cooking: A Solid State  $^{13}\text{C}$  CP MAS NMR and Enzymatic Degradation Study, *J. Agric. Food Chem.* 47, 4060-4063 (1999).
204. Grassi, G., Mastronicola, M., Parente, A.: Atti del Covegno nazionale sul cestagno, Cison di Valmarino, Il tempo delle castagne 575 (1997).
205. Burennett, M.S.: The grainzhet grown on a tree. Reprinted from "Chestnutworks", Portland, Oregon: 12-15. Connor W.E. (1997): The beneficial effects of omega-4-fatty acids: cardiovascular disease and neuro-development, *Current opinion in Lipidology* 8, 1-3 (1998).
206. Connor, W.E.: The beneficial effects of omega-4-fatty acids: cardiovascular disease and neuro-development, *Current opinion in Lipidology* 8, 1-3 (1997).

207. USDA Database for the Flavonoid Content of Selected Foods Release 2.1, 2007
208. Uphof, J. C.: Dictionary of Economic Plants. Weinheim, Berlin (1959).
209. Culbreth, D.M.: A Manual of Materia Medica and Pharmacology (1927).
210. Hadrović, H.: Proučavanje pitomog kestena na području SAP Kosova u cilju stvaranja baze za njegovu selekciju, Peć, s.10-11 (1977).
211. Grieve, A.: Modern Herbal, Penguin, London (1984).
212. Romussi, G., Mosti, L., Cafaggi, S.: Glycoside und depside aus den blaettern von *Castanea sativa* Mill. Pharmazie 35 (10), 647-648 (1981).
213. Hiermann, A., Kedwani, S., Schramm, H.W., Seger, C.: A new pyrrole alkaloid from seeds of *Castanea sativa*, Fitoterapia 73, 22-27 (2002).
214. Ronnins, A.: Fluid Extracts of The New Pharmacopoeia, Botanical Medicine Monographs and Sundry (I) Vol55, pp.6 (1883).
215. Chevallier, A.: The Encyclopedia of Medicinal Plants, Dorling Kindersley, London (1996).
216. Liu, L., Zhou, J: Some Consideration on Chestnut Development in the 21<sup>th</sup> Century in China, Acta. Hort. 494, 85-88 (1998).
217. Allona, I., Collada, C., Casado, R., Paz-Ares, J., Aragoncillo, C.: Bacterial expression of an active class Ib chitinase from *Castanea sativa* cotyledons, Plant Mol Biol 32, 1171 (1996).
218. Guarnera, P.M.: Il patrimonio etnobotanico del Lazio. Regione Lazio Dipartimento di Biologia Vegetale, Roma, pp. 301(1994).
219. Viegi, L., Pieroni, A., Guarnera, P.M., Vangelisti, R.: A review of plants used in folk veterinary medicine in Italy as basis for a databank, Journal of Ethnopharmacology 89, 221–244 (2003).
220. Nepka, C., Asprodini, E., Kouretas, D.: Tannins, xenobiotic metabolism and cancer chemoprevention in experimental animals, Eur. J. Drug. Metabol. Pharmacol. 24, 183–189 (1999).
221. Cerda, B., Ceron J.J., Tomas-Barberan, F.A., Espin, J.C.: Repeated oral administration of high doses of the pomegranate ellagitannin punicalagin to rats for 37 days is not toxic, J Agric Food Chem (51), 3493–3501 (2003).
222. Pierpoint, W. S.:In Flavonoids in biology and medicine III, Current issues in flavonoids research; Das N. P., Ed., National University of Singapore, Singapore, pp. 55-78 (1990).
223. Zywicki, B., Reemtsma, T., Jekel, M. : Analysis of commercial vegetable tanning agents by reversed-phase liquid chromatography-electrospray ionization-tandem mass spectrometry and its application to wastewater, J. Chromatogr. A (970) 191–200 (2002).
224. Lin, L.Z i Harnly, J.M.: A Screening Method for the Identification of Glycosylated Flavonoids and Other Phenolic Compounds Using a Standard Analytical Approach for All Plant Materials, J. Agric. Food Chem. 55 (4), 1084 -1096 (2007).
225. Meyers, K.J., Swiecki, T.J., Mitchell, A.E.: Understanding the Native Californian Diet: Identification of Condensed and Hydrolyzable Tannins in Tanoak Acorns (*Lithocarpus densiflorus*), J. Agric. Food Chem. 54 (20), 7686 - 7691 (2006).
226. Yokozawa, T., Chen, C.P., Dong, E., Tanaka, T., Nonaka, G.I., Nishioka, I.: Study on the Inhibitory Effect of Tannins and Flavonoids against the 1,1-Diphenyl-2-picrylhydrazyl Radical - A newly found effect of hydrolysable-type tannin-containing crude drug and gallotannin, Biochemical Pharmacology 56 (2), 213-222 (1998).

227. Chance, B., Sies, H., Boveris, A.: Hydroperoxide metabolism in mammalian organs, *Physiological Reviews* 59, 527–605 (1979).
228. Jackson, S.K., Liu, K.J., Liu, M., Timmins, G.S.: Detection and removal of contaminating hydroxylamines from the spin trap DEPMPO, and re-evaluation of its use to indicate nitron radical cation formation and Sn1 reactions, *Free Rad Biol Med* 32, 228-232 (2002).
229. Johnson RM, Goyette G, Ravindranath Y, Ho YS. Hemoglobin autoxidation and regulation of endogenous H<sub>2</sub>O<sub>2</sub> levels in erythrocytes, *Free Rad Biol Med* 39, 1407-1417 (2005).
230. Hamill O.P. Potassium and chloride channels in red blood cells, In Single-Channel Recording, Eds Sakmann B and Neher E. Plenum Press, New York (1985).
231. Ogawa, A., S Terada, S. Kanayama, T., Masao, M., Morikawa, M., Kimuara, T., Yamaguchi, A., Sasaki, M., Yamada, H.: Improvement of Islet Culture with Sericin, *Journal of bioscience and bioengineering* 98 (3), 217–219 (2004).
232. Miliauskas, G., Venskutonis, P.R., van Beek, T.A.: Screening of radical scavenging activity of some medicinal and aromatic plant extracts, *Food Chemistry* 85, 231–237 (2004).
233. Rauha, J.P., Remes, S., Heinonen, M., Hopia, A., Kahkonen, M., Kujala, T., Pihlaja, K., Vuorela, H., Vuorela, P.: Antimicrobial effects of Finnish plant extracts containing flavonoids and other phenolic compounds, *Int. J. Food Microbiol.* 56, 3–12 (2000).
234. Dixon, R.A., Dey, P.M., Lamb, C.J.: Phytoalexins: Enzymology and molecular biology, *Adv. Enzymol.* 55, 100-136 (1983).
235. Yamada, H: Natural products of commercial potential as medicines, *Curr Opin Biotechnol* 2, 203–210 (1991).
236. Grujić i sar.: Kvalitet i analiza namirnica, Tehnološki fakultet u Banja Luci, pp. 56 (2001).
237. Pharmacopoeia Jugoslavica. Editio quarta (Ph.Jug. IV), Savezni zavod za zaštitu zdravlja, Beograd, s. 77 (1984).
238. Lepojević, Ž.: Praktikum hemije i tehnologije farmaceutskih proizvoda, Zmaj, Novi Sad, 19-20 (2000).
239. Singleton, V.L., Orthofer, R., Lamuela-Raventos, R.M.: Analysis of total phenols and other oxidation substrates and antioxidants by means of Folin-Ciocalteu reagent, *Methods in Enzymology* 299, 152-178 (1999).
240. Zhishen, J., Mengcheng, T., Jianming, W.: The determination of flavonoid contents in mulberry and their scavenging effects on superoxide radicals, *Food Chemistry* 64 (4), 555-559 (1999).
241. Porter, L.J., Histich, L.N., Chan, B.G.: The conversion of procyanidins and prodelphinidins to cyanidin and delphinidin, *Phytochemistry* 25, 233–230 (1986).
242. Graham, A.D.: Stabilization of the Prussian blue color in the determination of polyphenols. *J Agric Food Chem* 40, 801-805 (1992).
243. Dugan, L.L., Turetsky, D.M., Du, C., Lobner, D., Wheeler, M., Almli, C.R.: Carboxyfullerenes as neuroprotective agents, *Proc Natl Acad Sci USA* 94, 9434–9439 (1997).
244. Spasojević, I., Maksimović, V., Bačić, G.: 5-Fluorouracil effects on erythrocytes in relation to its cardiotoxicity: Membrane structure and functioning, *J. Chem. Inf. Model.* 25, 1680-1685 (2005).

245. Cooper, R.A.: Abnormalities of cell-membrane fluidity in the pathogenesis of disease, *N Engl J Med* 297, 371–377 (1977)
246. Vander, A., Sherman, J., Luciano, D.: *Human Physiology: the mechanisms of body functions*, McGraw Hill (1998).
247. Park, Y.J., Ahn, H.J., Chang, H.K., Kim, J.Y., Huh, K.H., Kim, S.M., Kim, Y.S.: The RhoGDI- $\alpha$ /JNK signalling pathway plays a significant role in mycophenolic acidinduced apoptosis in an insulin-secreting cell line, *Cellular Signalling* 21, 356–364 (2009).

## 8. BIOGRAFIJA



Jelena Živković je rođena 4. februara 1971. godine u Nišu. Diplomirala je na Prirodnometatičkom fakultetu u Nišu, studijska grupa Hemija 1994. godine, sa prosečnom ocenom 9,00. Iste godine počela je sa radom u Institutu za istraživanja u poljoprivredi "Srbija", Centru za vinogradarstvo i vinarstvo u Nišu kao mladi talenat, stipendista Ministarstva za nauku i tehnologiju Republike Srbije i upisala poslediplomske studije na Tehnološkom fakultetu u Novom Sadu na odseku Tehnologija vina.

Godine 1997. unapređena je u rukovodioca Enološke laboratorije, a 1998. godine je odbranila magistarski rad na Tehnološkom fakultetu u

Novom Sadu pod nazivom: "Prilog poznavanju acetaldehida u vinu", mentor prof. dr Nadežda Ružić. Prosečna ocena na poslediplomskim studijama je 9,67. Maja 2002. godine je unapređena u vršioca dužnosti direktora centra. Aktivno je učestvovala i na poslovima rukovodenja Sistemom kvaliteta i akreditacije Enološke laboratorije. Kao član US-Yugoslavia Young Scientist Exchange Program u organizaciji USDA-a boravila je 6 sedmica na Texas A&M University u Americi.

Autor i koautor je 54 rada, od kojih 4 rada objavljenih u časopisu međunarodnog značaja, 11 radova na skupovima međunarodnog značaja štampanih u celini, 5 radova u vodećem časopisu nacionalnog značaja, 5 radova u časopisu nacionalnog značaja, 12 radova saopštenih na skupovima nacionalnog značaja štampanih u celini i 17 radova saopštenih na skupu međunarodnog značaja štampanih u izvodu. Autor je udžbenika, Tomin Jasmina, Živković Jelena: Praktikum iz Farmaceutske hemije, Medicinski fakultet u Nišu (2006).

Izabrana je za asistenta 01.11.2008. godine na Medicinskom fakultetu u Nišu, Odseku za Farmaciju, a od 01.12.2004. godine izvodi praktičnu nastavu iz obaveznog predmeta nastavnog plana Farmacije, Farmaceutska hemija i Farmaceutska hemija II.